

**PADT  
REFORT**

PROYECTOS ANDINOS  
DE DESARROLLO  
TECNOLOGICO EN EL  
AREA DE LOS RECURSOS  
FORESTALES TROPICALES



**INFLUENCIA DE DEFECTOS EN LA  
RIGIDEZ Y RESISTENCIA DE VIGAS DE  
5 ESPECIES DE LA SUBREGION ANDINA**

HUGO SCALETTI F.

**GRUPO  
ANDINO**

JUNTA DEL ACUERDO  
DE CARTAGENA

*J. Salazar - mg*

JUNTA DEL ACUERDO DE CARTAGENA

PROYECTOS ANDINOS DE DESARROLLO TECNOLOGICO  
EN EL AREA DE LOS RECURSOS FORESTALES TROPICALES  
( PADT - REPORT )

INFLUENCIA DE DEFECTOS EN LA RIGIDEZ  
Y RESISTENCIA DE VIDAS DE CINCO ESPECIES  
DE LA SUBREGION ANDINA

Lima, Mayo 1983

Revisado Agosto de 1983

6080



## INFLUENCIA DE DEFECTOS EN LA RIGIDEZ Y RESISTENCIA DE VIGAS DE CINCO ESPECIES DE LA SUBREGION ANDINA

### RESUMEN

Se presentan resultados de ensayos de vigas de 5 especies latifoliadas de la subregión andina: *Simarouba amara*, *Hura crepitans*, *Cedrelinga catenaeformis*, *Brosimum uleanum* y *Myroxylon peruiferum*, cuyas densidades básicas están en el rango de 0.35 a 0.78.

El material estudiado incluyó desde vigas prácticamente sin defectos hasta elementos que serían rechazados según la práctica habitual de los aserraderos.

Se ensayaron un total de 526 vigas, de 4 cm x 14 cm de sección transversal y 3.00 m de luz, sometiéndolas a flexión por aplicación de cargas simétricas en los puntos tercios. Adicionalmente, se ensayaron probetas pequeñas libres de defectos, tomadas de las mismas vigas.

Para las especies estudiadas el defecto más importante, por su frecuencia e influencia en las propiedades mecánicas, es el grano inclinado. Las perforaciones de insectos son muy frecuentes en algunas especies. Estos defectos y otros tales como la inclusión de médula, nudos o escamas maduras son particularmente desfavorables cuando están asociados con ataques de hongos xilófagos. Pueden citarse además el duramen quebradizo y las fallas de compresión. Otros defectos tienen menos influencia o son poco frecuentes.

Los resultados obtenidos indican que los defectos influyen más en el módulo de rotura que en el módulo de elasticidad. La influencia es también

que las ensayadas en condición verde.

mas apreciable en las vigas ensayadas en condición seca al aire que en

la Regla de Clasificación Visual para Madera Estructural propuesta en el P&T-REPORT resulta efectiva para eliminar las vigas que tiene menor resistencia. Si se consideran los esfuerzos admisibles propuestos en el Manual de Diseño para Maderas del Grupo Andino y los correspondientes factores de seguridad y duración de carga, se observa que el módulo de clasificación visual no es tan efectiva para separar las vigas de menor resistencia.

Dada la poca influencia de los defectos en el módulo de elasticidad, la rotura de las vigas aceptadas por la clasificación es en todos los casos suficiente.

Dada la poca influencia de los defectos en el módulo de elasticidad, la clasificación visual no es tan efectiva para separar las vigas de menor MGE, excepto en casos extremos. Las vigas clasificadas muestran valores de MGE/vigas/MGE probetas con una distribución similar a la de vigas rechazadas por la Regla de Clasificación.

Las vigas de una de las especies ensayadas, que por su densidad básica poseían una ubicación en el límite inferior del grupo C, tuvieron modulos de elasticidad menores que los propuestos en el Manual de Diseño (tan sólo en un 5% más que el promedio como a nivel del 5º percentil). Cuálquier modificación a la Regla de clasificación sería poco efectiva en este caso y resulta más conveniente reubicar a esta especie en un grupo inferior.

En términos generales la Regla de Clasificación Visual propuesta puede considerarse adecuada, requiriéndose sólo pequeñas modificaciones. Se propone algunas alteraciones en lo relativo a medida, nudos sanos, ataques de hojas xilofágos, arqueaduras y escamaduras.

## I N D I C E

Lista de Tablas	i
Lista de Figuras	vi
Reconocimiento	viii
1. Introducción	1
2. Material y Metodología de Ensayo	2
2.1 Alcances del estudio	2
2.2 Especies estudiadas	2
2.3 Colección de muestras	5
2.4 Condición de las vigas al ensayarse	7
2.5 Registro de defectos y clasificación	9
2.6 Metodología de ensayo	9
2.7 Ensayos complementarios	11
3. Resultados de los Ensayos	12
4. Rígidez y Resistencia de Vigas en Relación a las Propiedades Mecánicas Observadas en Probetas Pequeñas	29
4.1 Módulo de elasticidad en probetas vs. módulo de elasticidad en vigas	29
4.2 Módulo de rotura en probetas vs. módulo de rotura en vigas	36
4.3 Módulo de elasticidad como predictor del módulo de rotura.	43
5. Influencia de Defectos en la Rígidez y Resistencia de Vigas a Escala Natural	47
5.1 Defectos más significativos	47
5.2 Médula	49

- C.7 Propiedades físicas y mecánicas de 106 viñas de Machinaga (Brosimum ulleanum) ensayadas en condición seca al aire.
- C.8 Propiedades físicas y mecánicas de 67 viñas de Estorague (Myroxylon pereirae) ensayadas en condición verde.
- D.1 Forma de falla y su relación con los efectos observados en las viñas de Marupa (Simalouba amara) ensayadas en condición verde.
- D.2 Forma de falla y su relación con los efectos observados en las viñas de Marupa (Simalouba amara) ensayadas en condición seca al aire.
- D.3 Forma de falla y su relación con los efectos observados en las viñas de Catahua amarilla (Hura crepitans) ensayadas en condición seca al aire.
- D.4 Forma de falla y su relación con los efectos observados en las viñas de Catahua amarilla (Hura crepitans) ensayadas en condición verde.
- D.5 Forma de falla y su relación con los efectos observados en las viñas de Tornillo (Cedrela lindigia catenaeformis) ensayadas en condición verde.
- D.6 Forma de falla y su relación con los efectos observados en las viñas de Tornillo (Cedrela lindigia catenaeformis) ensayadas en condición seca al aire.
- D.7 Forma de falla y su relación con los efectos observados en las viñas de Machinaga (Brosimum ulleanum) ensayadas en condición seca al aire.
- D.8 Forma de falla y su relación con los efectos observados en las viñas de Estorague (Myroxylon pereirae) ensayadas en condición seca al aire.
- E.1 Efecto de la medula en la resistencia y rigidez de las viñas.
- E.2 Efecto del duramen quebradizo en la resistencia y rigidez de las viñas.
- E.3 Efecto del grano inclinado en la zona central sobre la resistencia y rigidez de las viñas.
- E.4 Efecto del grano inclinado en cualquier zona sobre la resistencia y rigidez de las viñas.

- E.5 Efecto de nudos sanos en la zona 2 en la resistencia y rigidez de las vigas.
- E.6 Efecto de nudos sanos en la zona 8 en la resistencia y rigidez de las vigas.
- E.7 Efecto de nudos sanos en las zonas 4 y 6 en la resistencia y rigidez de las vigas.
- E.8 Efecto de nudos huecos en la zona 2 en la resistencia y rigidez de las vigas.
- E.9 Efecto de nudos huecos en la zona 8 en la resistencia y rigidez de las vigas.
- E.10 Efecto de nudos huecos en las zonas 4 y 6 en la resistencia y rigidez de las vigas.
- E.11 Efecto de las fallas de compresión en la resistencia y rigidez de las vigas.
- E.12 Efecto de perforaciones pequeñas en la zona 2 en la resistencia y rigidez de las vigas.
- E.13 Efecto de perforaciones pequeñas en la zona 8 en la resistencia y rigidez de las vigas.
- E.14 Efecto de perforaciones pequeñas en las zonas 4 y 6 en la resistencia y rigidez de las vigas.
- E.15 Efecto de perforaciones grandes en la zona 2 en la resistencia y rigidez de las vigas.
- E.16 Efecto de perforaciones grandes en la zona 8 en la resistencia y rigidez de las vigas.
- E.17 Efecto de perforaciones grandes en las zonas 4 y 6 en la resistencia y rigidez de las vigas.
- E.18 Efecto de ataque de hongos en la zona 2 en la resistencia y rigidez de las vigas.
- E.19 Efecto de ataque de hongos en la zona 8 en la resistencia y rigidez de las vigas.
- E.20 Efecto de ataque de hongos en las zonas 4 y 6 en la resistencia y rigidez de las vigas.

- E.21 Efecto de la arqueadura en la resistencia y rigidez de las vigas.
- E.22 Efecto de grietas de secado en las zonas 4 y 6 en la resistencia y rigidez de las vigas.
- E.23 Efecto de rajaduras en la resistencia y rigidez de las vigas.
- E.24 Efecto de escamaduras (aceboladuras) en la resistencia y rigidez de las vigas.
- E.25 Efecto de la medula en la relación entre propiedades mecánicas.
- E.26 Efecto del duramen quebradizo en la relación entre propiedades mecánicas de vigas y probetas.
- E.27 Efecto del grano inclinado en la zona central en la relación de propiedades de vigas y probetas.
- E.28 Efecto del grano inclinado en la cualquier zona en la relación de propiedades de vigas y probetas.
- E.29 Efecto de nudos sanos en la zona 2 en la relación entre propiedades de vigas y probetas.
- E.30 Efecto de nudos sanos en la zona 8 en la relación entre propiedades de vigas y probetas.
- E.31 Efecto de nudos sanos en las zonas 4 y 6 en la relación entre propiedades de vigas y probetas.
- E.32 Efecto de nudos huecos en la zona 2 en la relación entre propiedades de vigas y probetas.
- E.33 Efecto de nudos huecos en la zona 8 en la relación entre propiedades de vigas y probetas.
- E.34 Efecto de nudos huecos en las zonas 4 y 6 en la relación entre propiedades de vigas y probetas.
- E.35 Efecto de las fallas de compresión en la relación entre propiedades de vigas y probetas.
- E.36 Efecto de perforaciones pequeñas en la zona 2 en la relación entre propiedades de vigas y probetas.

- E.37 Efecto de perforaciones pequeñas en la zona 8 en la relación de propiedades de vigas y probetas.
- E.38 Efecto de perforaciones pequeñas en zonas 4 y 6 en la relación de propiedades de vigas y probetas.
- E.39 Efecto de perforaciones grandes en la zona 2 en la relación de propiedades de vigas y probetas.
- E.40 Efecto de perforaciones grandes en la zona 8 en la relación de propiedades de vigas y probetas.
- E.41 Efecto de perforaciones grandes en zonas 4 y 6 en la relación de propiedades de vigas y probetas.
- E.42 Efecto de ataques de hongos en la zona 2 en la relación de propiedades de vigas y probetas.
- E.43 Efecto de ataques de hongos en la zona 8 en la relación de propiedades de vigas y probetas.
- E.44 Efecto de ataques de hongos en zonas 4 y 6 en la relación de propiedades de vigas y probetas.
- E.45 Efecto de la arqueadura en la relación entre propiedades de vigas y probetas.
- E.46 Efecto de grietas de secado en zonas 4 y 6 en la relación de propiedades de vigas y probetas.
- E.47 Efecto de rajaduras en la relación entre propiedades mecánicas de vigas y probetas.
- E.48 Efecto de escamaduras en la relación entre propiedades mecánicas de vigas y probetas.

## Listado de Figuras

1. Zonas de extracción de la madera
2. Equipo de ensayo
3. Curvas típicas carga-deflexión para vigas a escala natural  
Especie: Martupa (Simalouba amara)
4. Curvas típicas carga-deflexión para vigas a escala natural  
Especie: Catahua amarilla (Huira crepitans)
5. Curvas típicas carga-deflexión para vigas a escala natural  
Especie: Tornillo (Cedrelina catenaeformis)
6. Curvas típicas carga-deflexión para vigas a escala natural  
Especie: Machín (Brosimum ulameum)
7. Curvas típicas carga-deflexión para vigas a escala natural  
Especie: Estorague (Myroxylon peruviferrum)
8. Histogramas del módulo de rotura en vigas y probetas de Martupa  
(Simalouba amara)
9. Histogramas del módulo de rotura en vigas y probetas de Catahua amarilla (Huira crepitans).
10. Histogramas del módulo de rotura en vigas y probetas de Tornillo (Cedrelina catenaeformis)
11. Histogramas del módulo de rotura en vigas y probetas de Machín  
(Brosimum ulameum) y Estorague (Myroxylon peruviferrum)
12. Histogramas del módulo de elasticidad en vigas y probetas de Martupa (Simalouba amara)
13. Histogramas del módulo de elasticidad en vigas y probetas de Catahua amarilla (Huira crepitans)
14. Histogramas del módulo de elasticidad en vigas y probetas de Tornillo (Cedrelina catenaeformis)

15. Histogramas del módulo de elasticidad en vigas y probetas de Manchinga (*Brosimum uleanum*) y Estoraque (*Myroxylon peruiferum*)
16. Histogramas del módulo de elasticidad en vigas y probetas. Vigas aceptadas por la Regla de Clasificación Visual vs. vigas rechazadas
17. Histogramas para la razón entre módulo de elasticidad en vigas y módulo de elasticidad en probetas, para cada una de las especies ensayadas
18. Histogramas para la razón entre módulo de elasticidad en vigas y módulo de elasticidad en probetas. Vigas ensayadas en condición verde vs. vigas ensayadas en condición seca al aire
19. MOE vigas vs. MOE probetas para 511 vigas ensayadas
20. MOE vigas vs. MOE probetas para vigas aceptadas según la Regla de Clasificación Visual
21. Histogramas para la razón entre módulo de rotura en vigas y módulo de rotura en probetas. Vigas aceptadas por la Regla de Clasificación Visual vs. vigas rechazadas
22. Histogramas para la razón entre módulo de rotura en vigas y módulo de rotura en probetas, para cada una de las especies estudiadas
23. Histogramas para la razón entre módulo de rotura en vigas y módulo de rotura en probetas. Vigas ensayadas en condición verde vs. vigas ensayadas en condición seca al aire
24. MOR vigas vs. MOR probetas para 511 vigas ensayadas
25. MOR vigas vs. MOR probetas para vigas aceptadas según la Regla de Clasificación Visual
26. MOR vs. MOE en probetas pequeñas libres de defectos
27. MOR vs. MOE para el conjunto de 526 vigas
28. MOR vs. MOE para vigas aceptadas según la Regla de Clasificación Visual
29. Zonas consideradas para la descripción de los defectos observados en cada viga

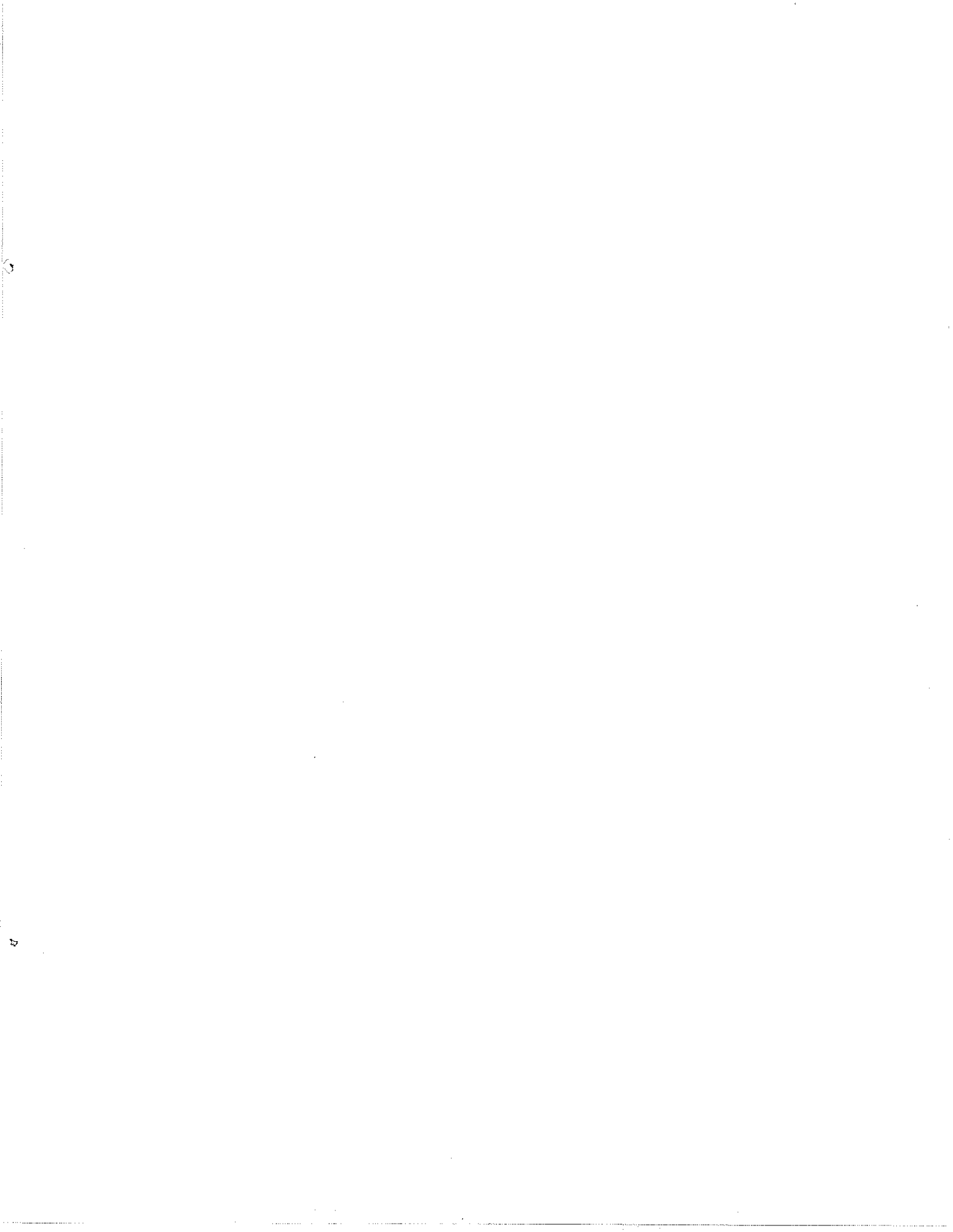
## RECONOCIMIENTO

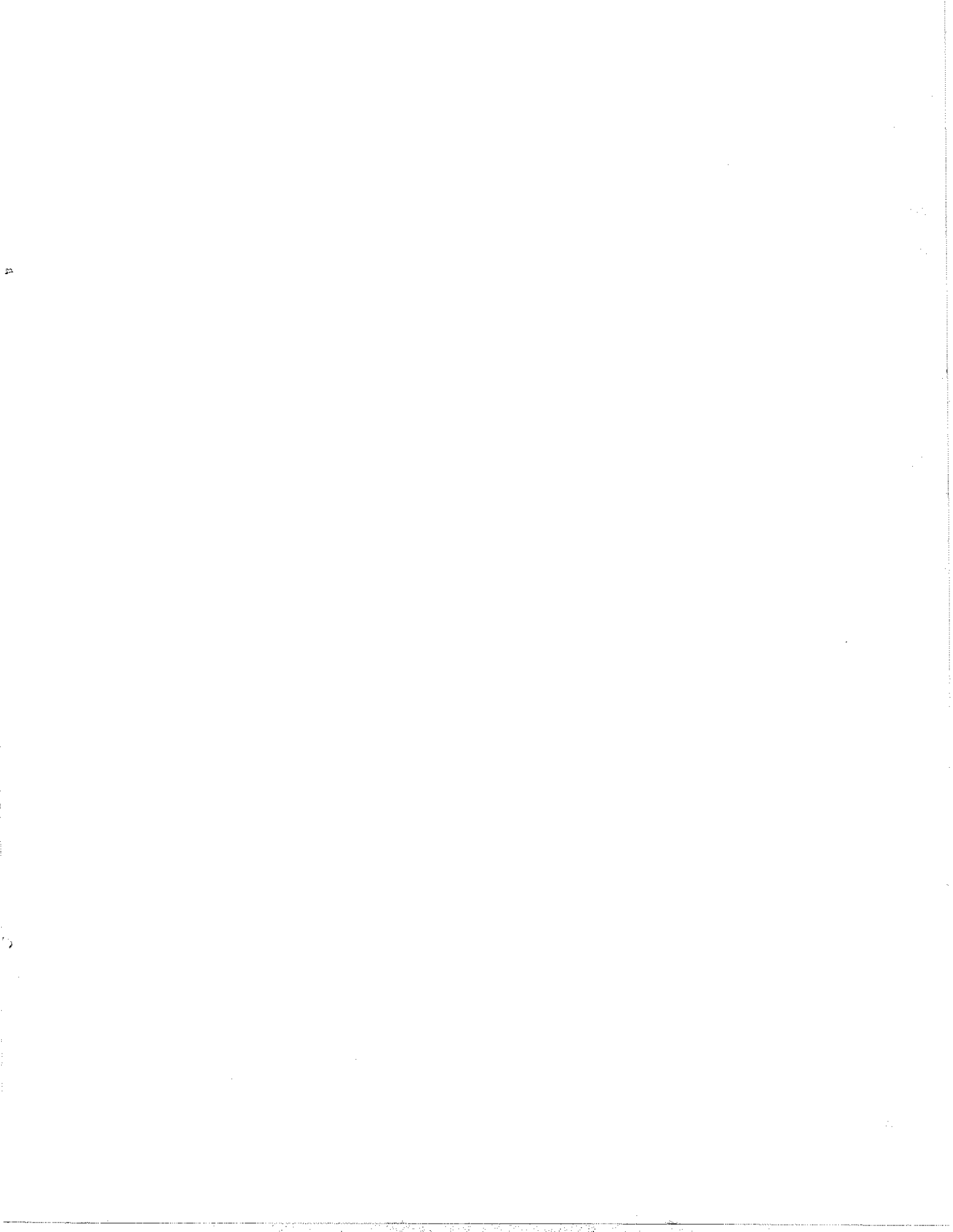
VII.

El programa de ensayos que es materia de este informe corresponde a la Segunda Fase del Estudio Integral de la Madera para la Construcción, que forma parte de Los Proyectos Andinos de Desarrollo Técnológico en el Área de Los Recursos Forestales Tropicales (PADT-REFORT) de la Junta del Acuerdo de Cartagena.

Este y otros estudios afines fueron posibles gracias al apoyo financiero del Centro Internacional de Investigaciones para el Desarrollo (CIDD) del Canadá.

Los ensayos de vigas y el procesamiento de la información se realizaron en el Laboratorio Andino de Ingeniería de la Madera (LADM), con la participación de: Ana María Sibille de Parra, Fernando Alvarrez, Antonio Collao, Alberto Sato, Héctor Segura, Hugo Scalietti, Luis Vargas Loli y Manuel Villena. Los ensayos de probetas se hicieron en el Departamento de Ingeniería Forestales de la Universidad Nacional Agraria "La Molina", en Lima, con la supervisión de los ingenieros Antonio Argote y Alberto Sato. El informe fue preparado por el Dr. Hugo Scalietti. Se agradece al Dr. Fred Keenan, de La Universidad de Toronto, quien revisó la versión preliminar de este informe e hizo valiosos comentarios y sugerencias.





## 1. INTRODUCCION

En la primera fase del Estudio Integral de la Madera para la Construcción del PADT-REFORT se estudiaron las propiedades físicas y mecánicas más importantes de 104 especies de la Subregión Andina. Para 46 de estas especies se hicieron ensayos de flexión con vigas a escala natural. Como resultado de estos ensayos, e incorporando la experiencia con especies latifoliadas de otras regiones, se ha propuesto una Regla de Clasificación Visual para Madera Estructural (1). Esta es una norma de control de calidad del material. Se han propuesto igualmente esfuerzos admisibles y módulos de elasticidad para la madera clasificada como estructural (2).

El programa de ensayos aquí considerado tuvo por objeto verificar la eficacia de esta Regla de Clasificación para rechazar las piezas de madera con rigidez y/o resistencia bajas y no rechazar aquellas con propiedades mecánicas aceptables. Todos los ensayos se hicieron a flexión.

Las maderas latifoliadas propias de la subregión Andina tienen por lo general resistencias mucho mayores que las maderas de coníferas, pero -a igual densidad- poseen módulos de elasticidad similares. El diseño de los elementos a flexión está controlado por deflexiones, a diferencia de lo que ocurre con otras maderas, para las que la resistencia es el factor limitante en la mayor parte de los casos.

Si se tratara de establecer una regla de clasificación específica para elementos a flexión debería ponerse especial énfasis en aspectos de durabilidad y en la posible influencia de defectos en el módulo de elasticidad aparente. Sin embargo, la Regla de Clasificación propuesta se refiere a elementos estructurales en general y no específicamente a vigas. Por lo tanto, aun reconociendo que los resultados obtenidos no son necesariamente aplicables a elementos con otros tipos de solicitud, se justifica analizar no sólo la influencia de los defectos en la rigidez sino también sus efectos en la resistencia.

## 2.0 MATERIAL Y METODOLOGIA DE ENSAYO

### 2.1 ALCANCES DEL ESTUDIO

La información analizada en los capítulos siguientes procede del ensayo de 526 vigas, de 5 especies, de aproximadamente 4 cm x 14 cm de sección transversal y 3.00 m de luz, sometidas a flexión por acción de cargas estáticas. También se consideran resultados de ensayos de probetas libres de efectos tomadas de las mismas vigas.

Los resultados obtenidos son estrictamente aplicables sólo a elementos de las dimensiones indicadas sometidos a flexión. Aunque las conclusiones pue- den extrapolarse a vigas de otras dimensiones, no son necesariamente válidas para elementos con otros tipos de solicitudes, como por ejemplo estados de tracción pura o flexocompresión.

Se ensayaron vigas de 5 especies representativas de diversos rangos de den- didad:

- *Simarouba amara*. Esta especie, de la familia Simaroubaceae, existe en los cinco países de la Subregión Andina. Se conoce con los nombres vul- gares: Marupa (Perú, Colombia), Amarugo (Bolivia), Cedro Amarugo (Ecuador)
- *Simarouba (Venezuela)*.

### 2.2 ESPECIES ESTUDIADAS

La *Simarouba amara* es una especie de la familia Simaroubaceae, que existe en el Ecuador, Perú, Bolivia y Colombia. La madera es de color blanco, con transición gradual a duramen de color blanco amarillento o crema. El grano es recto. La textura es media. Los poros de la madera es de baja densidad (Densidad Basica promedio = 0.35). La al- del pecho es de 70 cm.

Los árboles de esta especie presentan fuste recto, cilíndrico y sin ale- tas. La altura comercial promedio es de 20 m; el diámetro a la altura de los troncos de 10 cm es de 70 cm.

La madera es de color blanco, con transición gradual a duramen de color blanco amarillento o crema. El grano es recto. La textura es media. Los poros de la madera es de baja densidad (Densidad Basica promedio = 0.35). La al- del pecho es de 70 cm.

La madera es de color blanco, con transición gradual a duramen de color blanco amarillento o crema. El grano es recto. La textura es media. Los poros de la madera es de baja densidad (Densidad Basica promedio = 0.35). La al- del pecho es de 70 cm.

La madera es de color blanco, con transición gradual a duramen de color blanco amarillento o crema. El grano es recto. La textura es media. Los poros de la madera es de baja densidad (Densidad Basica promedio = 0.35). La al- del pecho es de 70 cm.

Los árboles de esta especie presentan fuste recto, cilíndrico y sin ale- tas. La altura comercial promedio es de 20 m; el diámetro a la altura de los troncos de 10 cm es de 70 cm.

Los árboles de esta especie presentan fuste recto, cilíndrico y sin ale- tas. La altura comercial promedio es de 20 m; el diámetro a la altura de los troncos de 10 cm es de 70 cm.

Tanto la albura como el duramen son atacables por insectos. La madera es atacable por hongos xilófagos. La médula es particularmente susceptible a estos ataques.

- Hura crepitans. Es una especie de la familia Euphorbiaceae. Se conoce como Catahua Amarilla (Perú), Ochoó (Bolivia), Ceibo Lechoso (Colombia), Habillo (Ecuador) o Jabillo (Venezuela). Los árboles tienen tronco recto cilíndrico, con base abultada. La altura comercial promedio es 10 m, con un diámetro a la altura del pecho de 90 cm. La madera es de densidad media ( $DB = 0.40$ ). La albura es de color blanco cremoso, con transición gradual a duramen pardo amarillento claro o gris olivo. El grano es recto o levemente entrecruzado. La textura es media.

La albura es atacable por insectos que ocasionan perforaciones pequeñas. El siguiente defecto en importancia para esta especie es el grano inclinado. Las fallas de compresión son frecuentes.

- Cedrelinga catenaeformis. Es una especie de la familia Mimosaceae, que se conoce con los nombres vulgares: Tornillo (Perú), Achapo (Colombia) o Seique (Ecuador).

Los árboles de esta especie tienen fuste recto, cilíndrico, dominante, con una altura comercial promedio de 30 m. El diámetro promedio a la altura del pecho es de 65 cm.

La madera es de densidad media ( $DB = 0.50$ ). La albura es de color crema amarillento, bien diferenciada del duramen, de color marrón rojizo pálido. El grano es entrecruzado. La textura es gruesa. Los poros son visibles a simple vista.

La albura es susceptible a los ataques biológicos. El duramen es poco susceptible al ataque de hongos e insectos. El defecto predominante en esta especie es el grano inclinado. Las fallas de compresión son muy frecuentes en Tornillo de ciertas procedencias, distintas de las consideradas para este estudio.

---

\*/ Valor medic para las vigas estudiadas. La madera de la misma especie pero de otras procedencias tiene distinta densidad (3).

Brosimum ulatum. Esta especie, de la familia Moraceae, se conoce con los nombres vulgares: Manchilinga (Perú), Avichuri (Colombia) o Tílico (Ecuador). En los árboles de esta especie el tronco es generalmente recto cilíndrico, con alejas pronunciadas, de hasta 3 m de altura. La altura comercial es del orden de 15 m. El diámetro promedio por encima de las raíces tabulares es de 50 cm. La madera es de densidad alta ( $DB = 0.68$ ). La alburra es de color crema, con transición gradual a duramen de color pardo amarillento. El grano es entrecruzado. La textura es fina. Los efectos característicos de la especie son el grano inclinado y las tabulares de hasta 2 m de altura. La altura comercial promedio es de 17 m; los árboles de esta especie son de tronco recto cilíndrico, con alejas el diámetro promedio por encima de las raíces tabulares es de 70 cm; la madera es de densidad muy alta ( $DB = 0.78$ ). La alburra es de color marrón muy pálido, bien diferente por encima de la especie es tabular, de color pardo rojizo. El grano es entrecruzado. La textura es entre media y fina. El efecto más importante en esta especie es también la inclinación del grano. La alburra es atacable por insectos (perfuraciones pedunculadas) y hongos. El duramen presenta ocasionalmente perforaciones grandes.

Una descripción más detallada de las características anatómicas de las especies estudiadas puede encuadrarse en la referencia (3). En las referencias (4 a 9) se presentan resultados de ensayos de propiedades físicas y mecánicas de éstas y otras especies de la Subregión. En las referencias (4 a 9) se presentan resultados de ensayos de propiedades físicas y mecánicas de éstas y otras especies de la Subregión.

Mroxylon peruvifolium. Es una especie de la familia Papiionaceae. Los nombres vulgares utilizados en la Subregión son Estotague (Perú), Venecuela), Palo Trebol (Bolivia), Balasmo (Colombia) o Sandalo (Ecuador). Los árboles de esta especie son de tronco recto cilíndrico, con alejas el diámetro promedio por encima de las raíces tabulares es de 17 m; las tabulares de hasta 2 m de altura. La altura comercial promedio es de 17 m; los árboles de esta especie son de tronco recto cilíndrico, con alejas el diámetro promedio por encima de las raíces tabulares es de 70 cm; la madera es de densidad alta ( $DB = 0.78$ ). La alburra es de color marrón muy pálido, bien diferente por encima de la especie es tabular, de color pardo rojizo. El grano es entrecruzado. La textura es entre media y fina. El efecto más importante en esta especie es tabular, de color pardo rojizo. La madera es de densidad muy alta ( $DB = 0.78$ ). La alburra es de color marrón muy pálido, bien diferente por encima de la especie es tabular, de color pardo rojizo. El grano es entrecruzado. La textura es entre media y fina.

### 2.3 Colección de Muestras

Toda la madera utilizada en los ensayos fue colectada directamente del bosque.

Las vigas de Tornillo (*Cedrelinga catenaeformis*) procedieron de Tingo María (Huánuco - Perú). El mapa de la figura 1 muestra la zona de extracción que corresponde a bosque húmedo tropical.

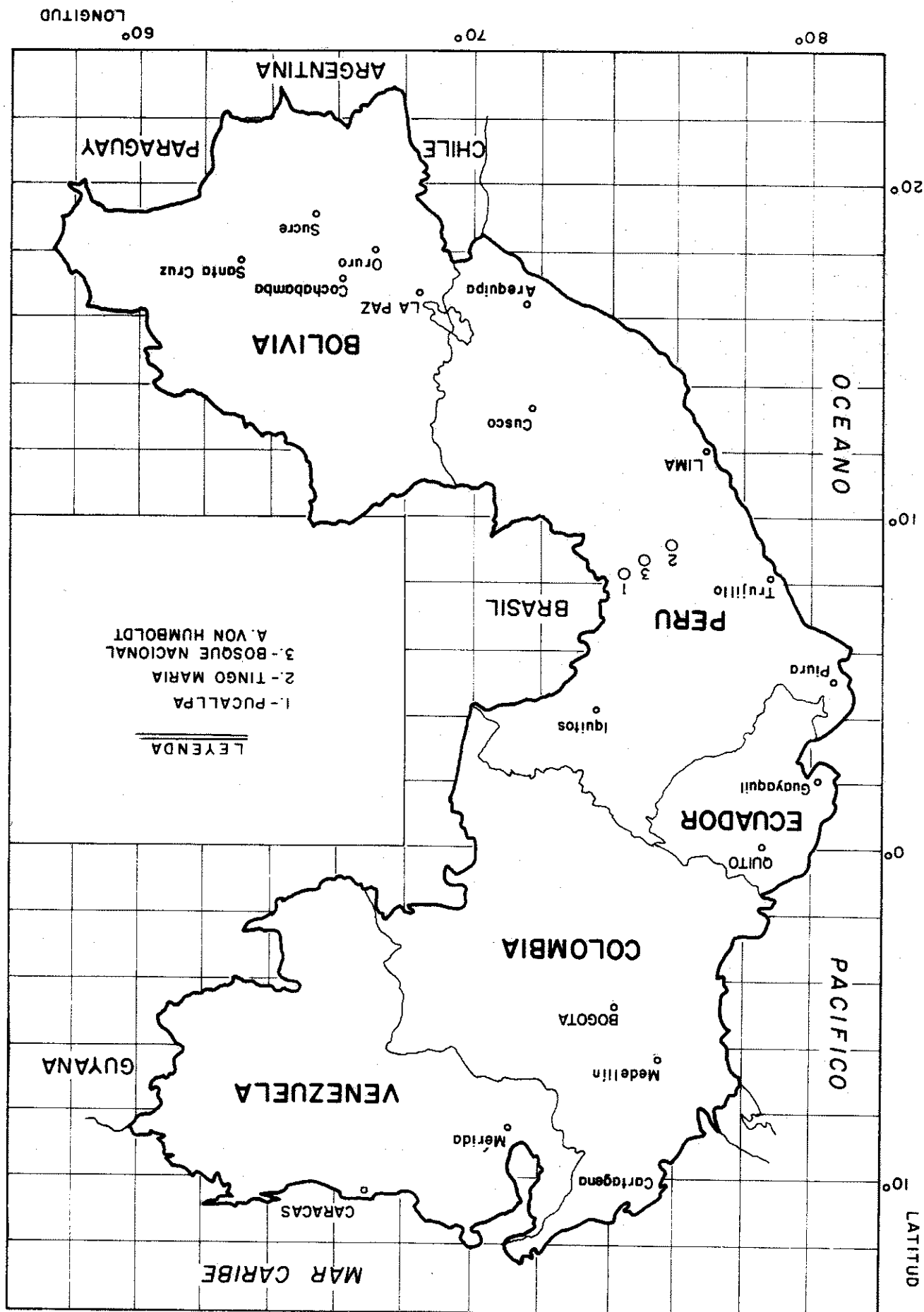
Tanto las vigas de Marupá (*Simarouba amara*) como las de Catahua amarilla (*Hura crepitans*) procedieron de Pucallpa (Ucayali, Perú). Esta zona es de bosque muy húmedo premontano tropical en transición a bosque muy húmedo tropical.

La Manchinga (*Brosimum uleanum*) y el Estoraque (*Myroxylon peruiferum*) se colectaron en el Bosque Nacional Alexander Von Humbolt (Ucayali, Perú), que corresponde a bosque húmedo tropical.

Se colectaron un total de 12 árboles de Tornillo, 12 árboles de Catahua, 13 árboles de Marupá, 9 árboles de Manchinga y 7 de Estoraque. De cada árbol se sacaron entre una y tres trozas, tomándose entre tres y nueve vigas de cada troza.

La madera fue transportada desde las zonas de extracción al laboratorio de ensayos, ubicado en Lima, en cuartones de 7" x 7", de cada uno de los cuales se reaserraron 3 vigas. Excepción a lo anterior fueron la Manchinga y el Estoraque. Por ser estas especies moderadamente difíciles de aserrar, las piezas se prepararon directamente a 2 1/4" x 7". La longitud de las piezas fue en promedio de 4 m.

Las trozas de Catahua fueron preservadas por aspersión, para reducir el ataque de insectos. También se aplicaron preservantes (sales hidrosolubles) a las vigas de Marupá, Catahua y Manchinga, después del aserrío.



## 2.4 Condición de las Vigas al Ensayarse

Aproximadamente un tercio de las vigas se ensayaron en condición verde, es decir con un contenido de humedad superior al punto de saturación de las fibras. El resto se ensayó en condición seca al aire, es decir al contenido de humedad de equilibrio. (Apéndice C).

Excepto en el caso del Tornillo, las vigas ensayadas en condición verde procedieron de los mismos árboles y trozas que las vigas secas, repartiéndose la madera en proporción 1:2 para los ensayos en condición verde y seca al aire, respectivamente. Para el Tornillo ésto no fue posible, ya que la inclusión de vigas secas en el programa de ensayos se decidió después de completar los ensayos de esta especie en condición verde.

Para la Manchinga y el Estoraque se consideraron también dos grupos de vigas, para ser ensayadas en condición verde y seca al aire. Sin embargo, como resultado de demoras imprevistas en el transporte, la madera llegó al laboratorio de ensayos 4 meses después del aserrío y, dadas sus dimensiones relativamente pequeñas, con contenidos de humedad aproximadamente iguales al contenido de humedad equilibrio.

Las vigas programadas para ensayos en condición verde se mantuvieron en un ambiente saturado hasta el inicio de los ensayos, excepto por los períodos necesarios para el habilitado a las dimensiones finales y el registro de los defectos.

Las vigas para ser ensayadas en condición seca al aire se habilitaron a dimensiones 10% mayores, en previsión de contracciones, y se apilaron adecuadamente para evitar alabeos excesivos durante el secado.

La tabla 2.1 indica el tiempo promedio transcurrido entre la habilitación preliminar y el ensayo. Los contenidos de humedad tabulados son también promedios. La tabla 2.2 indica el número de vigas de cada especie ensayadas en cada condición.

373	153	
		Estorague
67	--	
106	--	Manchинга
55	56	Tormillo
72	62	Catahua Amatilla
73	35	Marupa
		Especies
		Vigas Ensayadas en Condición Verde Seca al Aire
		Vigas Ensayadas en Condición Verde Seca al Aire

Tabla 2.2 Número de Vigas de Cada Especie Ensayadas en Cada Condición.

Especie	CH inicial	CH final	T (meses)	
				Estorague
				Manchинга
				Tormillo
				Catahua Amatilla
				Marupa
				Especies
				Vigas Ensayadas en Condición Verde Seca al Aire
				Vigas Ensayadas en Condición Verde Seca al Aire

Tabla 2.1 Tiempo Promedio de Apilado de las Vigas Ensayadas en Condición Seca al Aire.

## 2.5 Registro de Defectos y Clasificación

Se hizo un registro detallado de los defectos observados en cada viga, teniendo como referencia los defectos considerados en la Regla de Clasificación Visual para Madera Estructural del PADT-REFORT (1). Esta Regla de Clasificación se presenta en el apéndice A.

Las tablas del apéndice B indican el tipo y la importancia de los defectos observados en cada una de las vigas antes de ensayarse.

Para documentación adicional, se fotografiaron todas las vigas antes y después de los ensayos.

Con el fin de verificar la aplicabilidad de la regla de clasificación, las vigas se calificaron como aceptadas (A) o rechazadas (R). La calificación de cada viga se indica en el apéndice C. Dado que el material de ensayo se seleccionó y habilitó tratando de incluir defectos, sólo 182 de las 526 vigas estudiadas fueron calificadas como aceptables.

## 2.6 Metodología de Ensayo

Los ensayos se realizaron según la norma ASTM D 1988-67 (1974) (10).

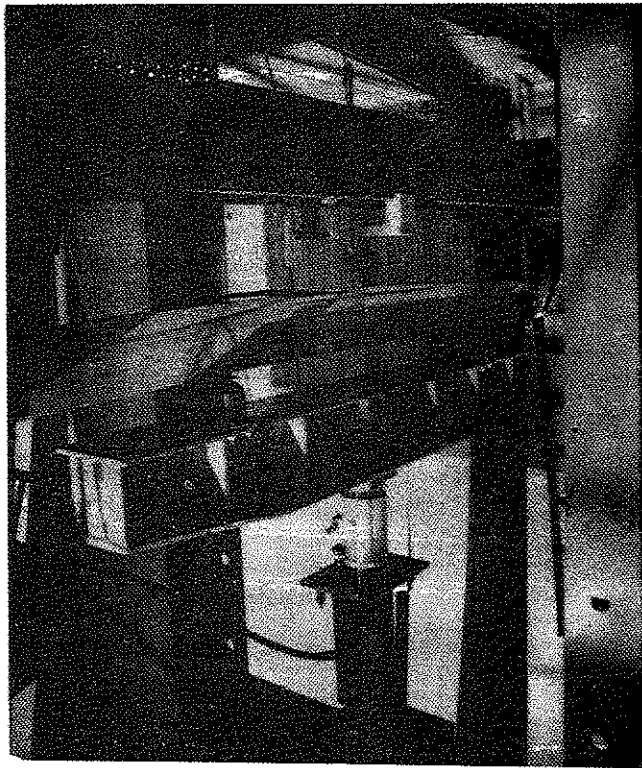
Las vigas se colocaron sobre apoyos simples, con 3m de luz, sometiéndose a flexión por acción de cargas simétricas en los puntos tercios.

Se utilizaron arriostres en dos secciones, intermedias entre los apoyos y los puntos de aplicación de carga, para restringir el pandeo lateral-torsional.

Las fotografías de la figura 2 muestran el equipo utilizado.

aplicación de la carga

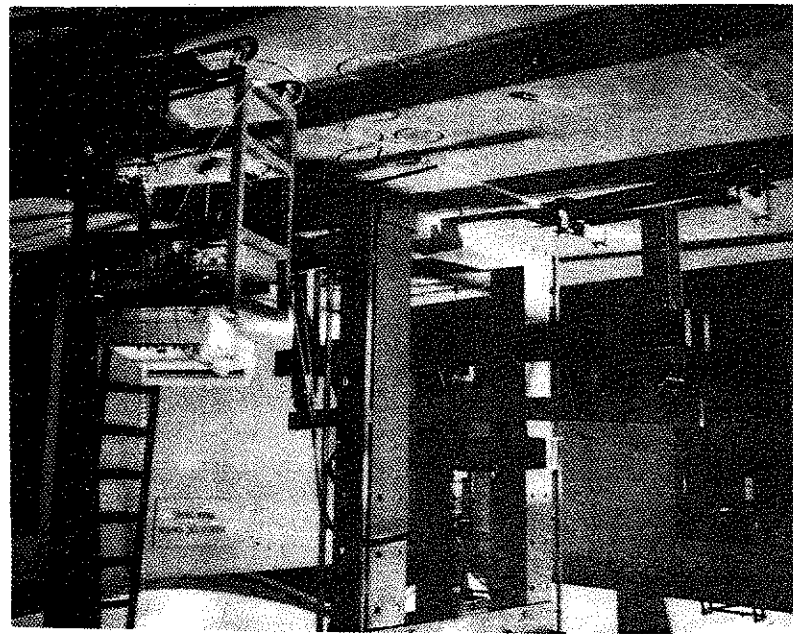
Vista del sistema de



EQUIPO DE ENSAYO

FIG. 2

Marco de carga y equipo de medición  
y registro de cargas y deflexiones



Durante cada ensayo, la velocidad de deformación se mantuvo aproximadamente constante, alcanzándose la carga máxima en no menos de 6 ni más de 20 minutos.

Se registraron cargas totales vs. deflexión al centro. Con esta información se determinaron módulos de elasticidad (MOE), esfuerzos al límite proporcional (ELP) y módulos de rotura (MOR).

Igualmente, se registraron las formas de falla y su posible relación con los defectos de las vigas.

#### 2.7 Ensayos complementarios.

Flexión estática en probetas pequeñas libres de defectos: se tomaron dos probetas de 2.5 cm x 2.5 cm x 41 cm de zonas no afectadas por la falla, y en lo posible una del canto en tracción y otra del canto en compresión de la viga. Estas se ensayaron, en la misma condición de humedad de las vigas, según la norma ASTM D 143-52 (1972), parte II (11).

No fue posible obtener probetas libres de defectos en 15 vigas (7 de Marupá, 6 de Catahua Amarilla, 1 de Tornillo y 1 de Estoraque).

Para 37 vigas solo pudo obtenerse una probeta libre de defectos.

Determinación de la densidad y contenido de humedad: Se tomaron dos probetas de cada viga, de zonas próximas a la falla, realizándose los ensayos según las normas COPANT 460 y 461 (12,13). Para el caso de vigas ensayadas en condición verde, las densidades reportadas son densidades básicas (masa seca al horno entre volumen verde). Para las vigas secas las densidades reportadas corresponden al contenido de humedad de equilibrio.

### 3. RESULTADOS DE LOS ENSAYOS

La información obtenida se refiere principalmente a las propiedades mecánicas de las vigas ensayadas y sus correspondientes probetas libres de efectos.

Las figuras 3 a 7 muestran curvas de carga vs. deflexión al centro de las vigas de mayor densidad y menor contenido de humedad.

Luz que pueden considerarse típicas para las vigas de las especies estudiadas. En promedio, se obtuvieron mayores rigideces y resistencias con diámetros. En promedio, se obtuvieron mayores rigideces y resistencias con diámetros.

En las vigas ensayadas en condición verde la mayor parte de las fallas se iniciaron en la zona sometida a máximos esfuerzos de compresión. En cambio, con las vigas ensayadas en condición seca al aire se tuvo mayor fricción entre los efectos de falla originales en el canto en tracción. Las excepciones fueron de fallas originadas en la forma de falla, con mayor frecuencia de fallas bruscas y ruidosas.

Las tablas del apéndice C resumen las propiedades mecánicas más importantes de cada una de las vigas ensayadas y promedios de las correspondientes probetas. En el apéndice D se indican las formas de falla y su posible relación con efectos observados antes de ensayar.

En las figuras 8 a 11 se presentan histogramas para el módulo de rotura en vigas y en probetas libres de efectos de cada especie, ensayadas en condición verde y en condición seca al aire. Las figuras 12 a 15 muestran histogramas para el módulo de elasticidad.

En las figuras 8 a 11 se presentan histogramas para el módulo de rotura en vigas y en probetas libres de efectos de cada especie, ensayadas en condición verde y en condición seca al aire. Las figuras 12 a 15 muestran histogramas para el módulo de elasticidad.

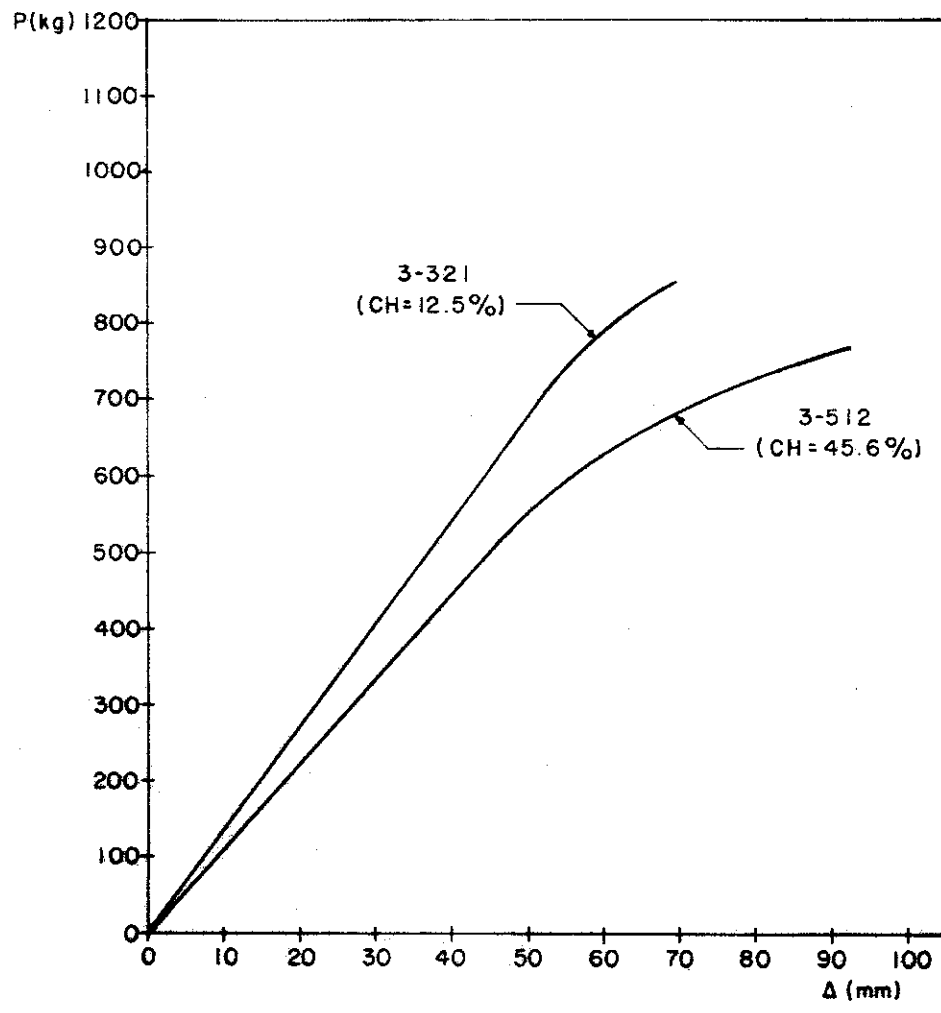
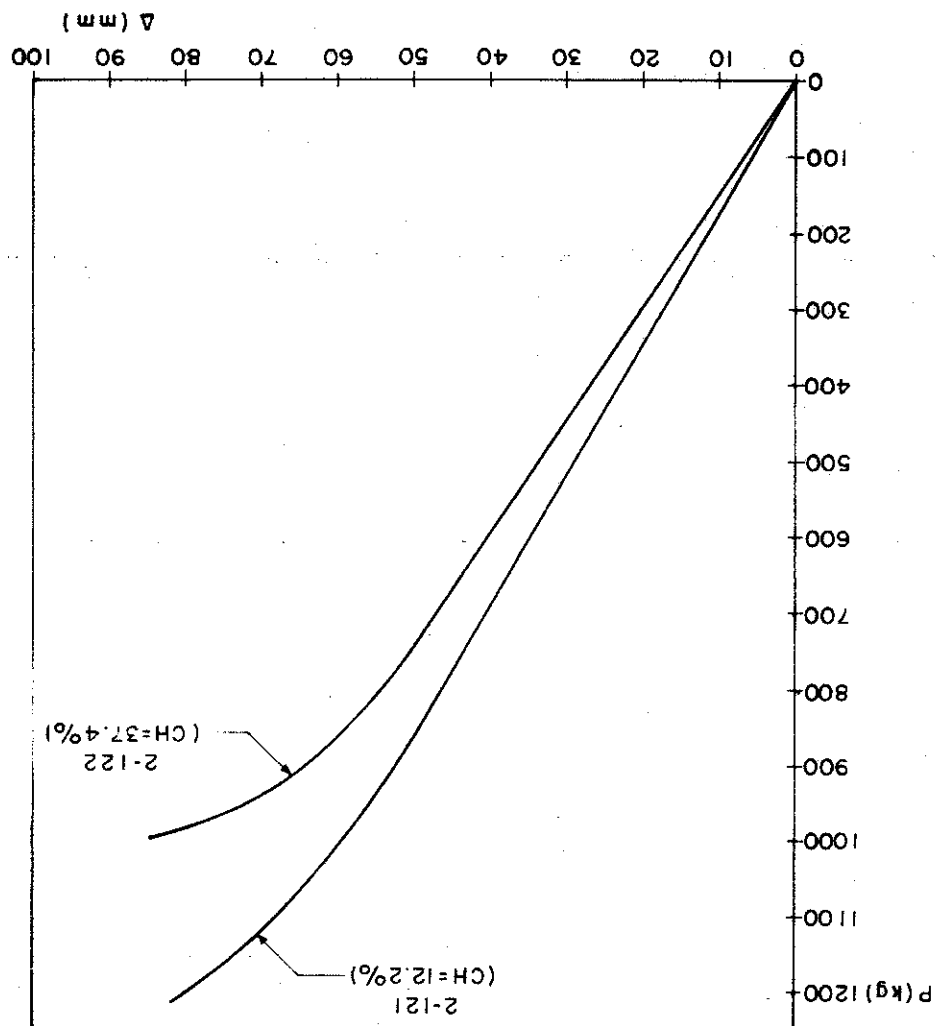


FIGURA 3 CURVAS TIPICAS CARGA-DEFLEXION PARA VIGAS A ESCALA NATURAL  
ESPECIE: MARUPA (SIMAROUBA AMARA)

FIGURA 4 CURVAS TIPICAS CARGA-DEFLEXION PARA VIGAS A ESCALA NATURAL  
ESPECIE : CATAHUA AMARILLA ( HURA CREPITANS )



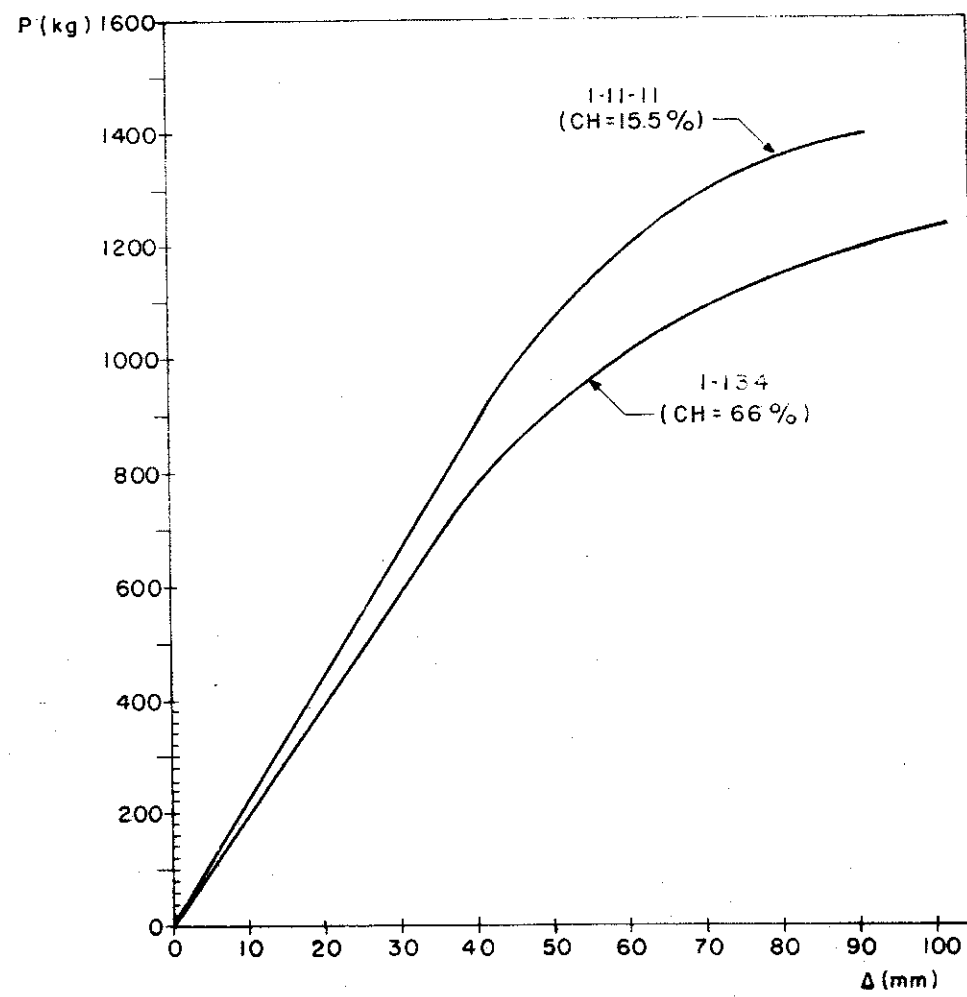
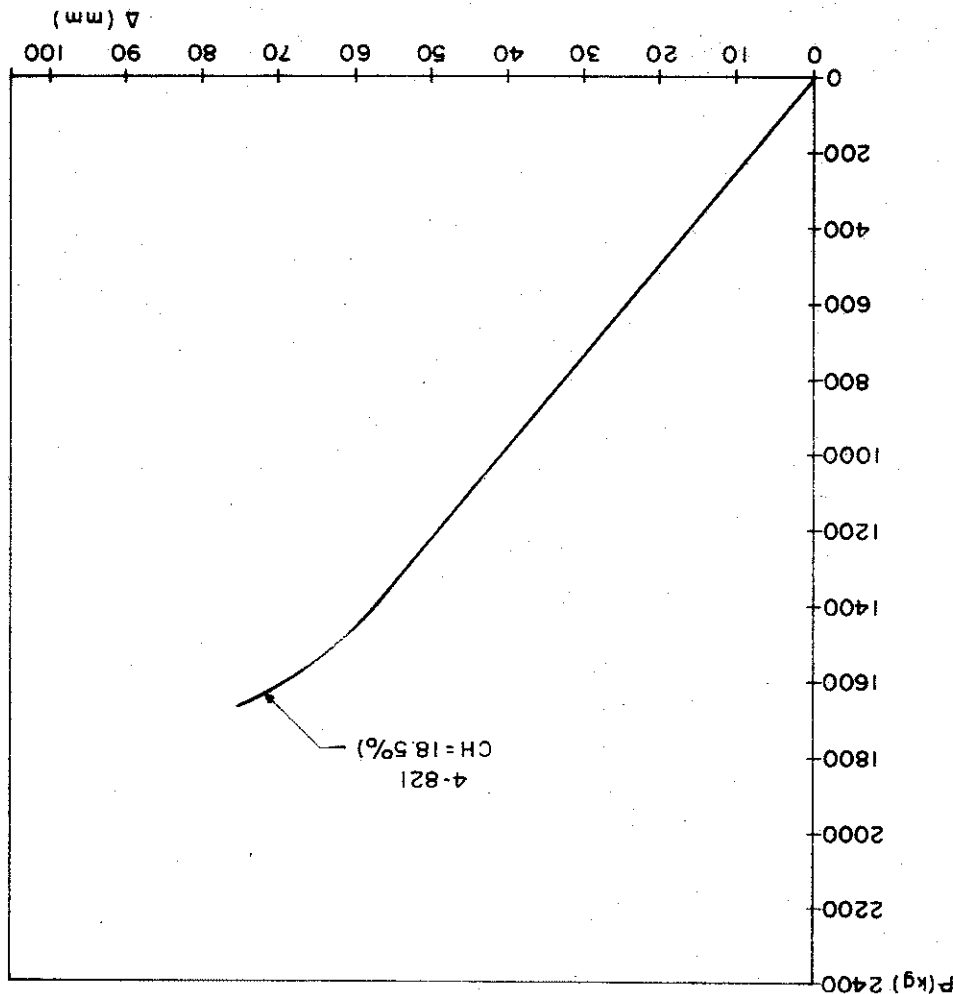


FIGURA 5 CURVAS TIPICAS CARGA-DEFLEXION PARA VIGAS A ESCALA NATURAL  
ESPECIE : TORNILLO (CEDRELINGA CATENAEFORMIS )

FIGURA 6 CURVA TIPICA CARGA-DEFLEXION PARA VIGA A ESCALA NATURAL  
ESPECIE : MANCHINGA (BROSIMUM ULEANUM )



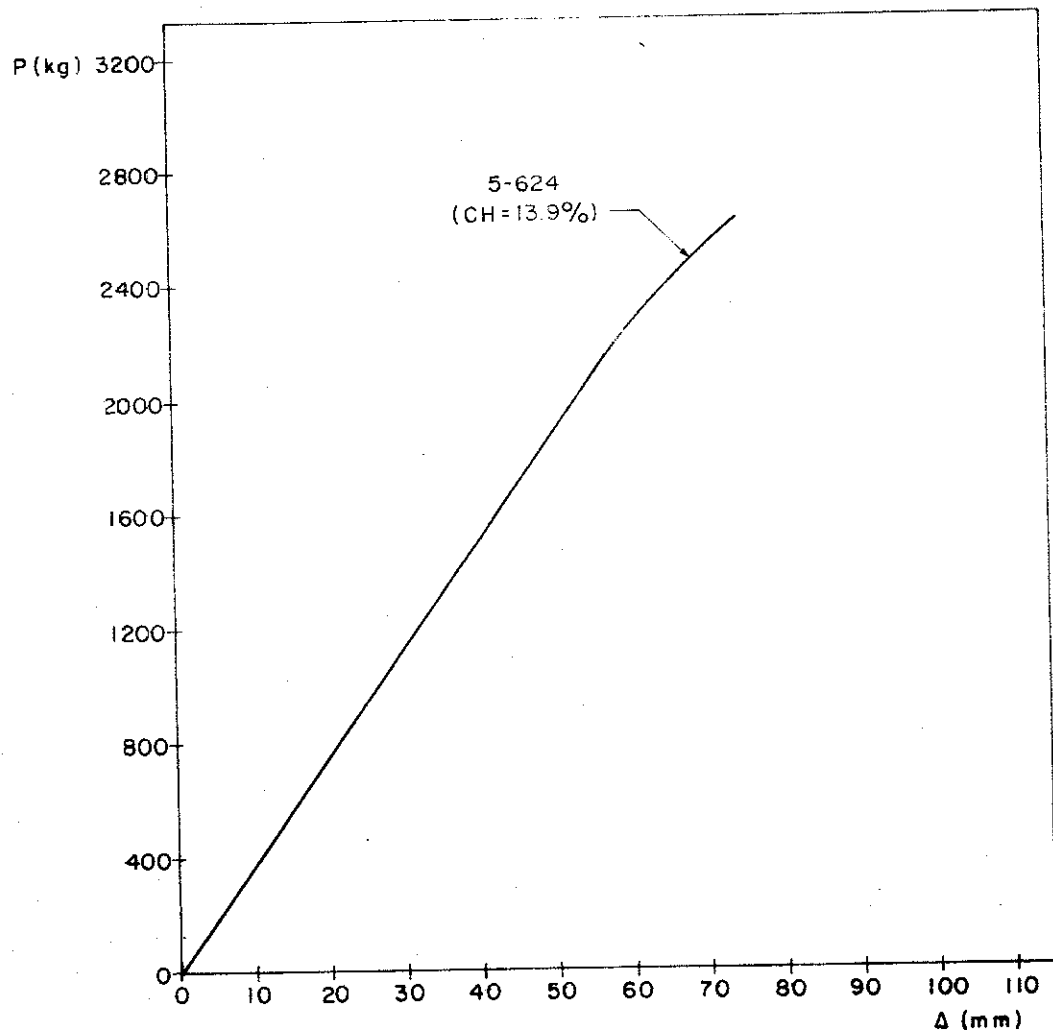
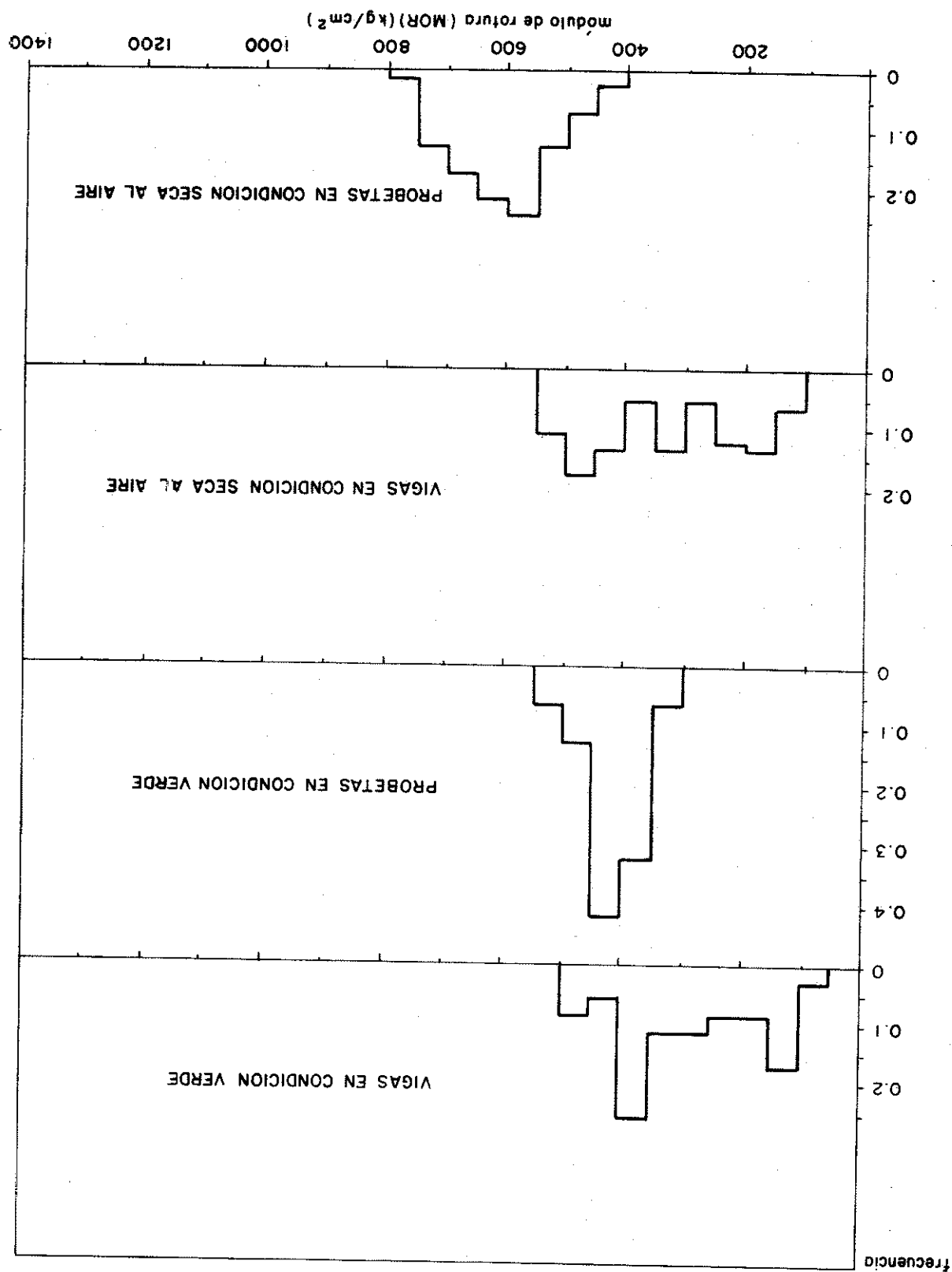


FIGURA 7 CURVA TIPICA CARGA-DEFLEXION PARA VIGA A ESCALA NATURAL  
ESPECIE: ESTORQUE (*MYROXYLON PERUFERUM*)

FIGURA 8 HISTOGRAMAS DEL MODULO DE ROTURA EN VIGAS Y PROBETAS  
DE MARUPA (SIMARROUBA AMARA)



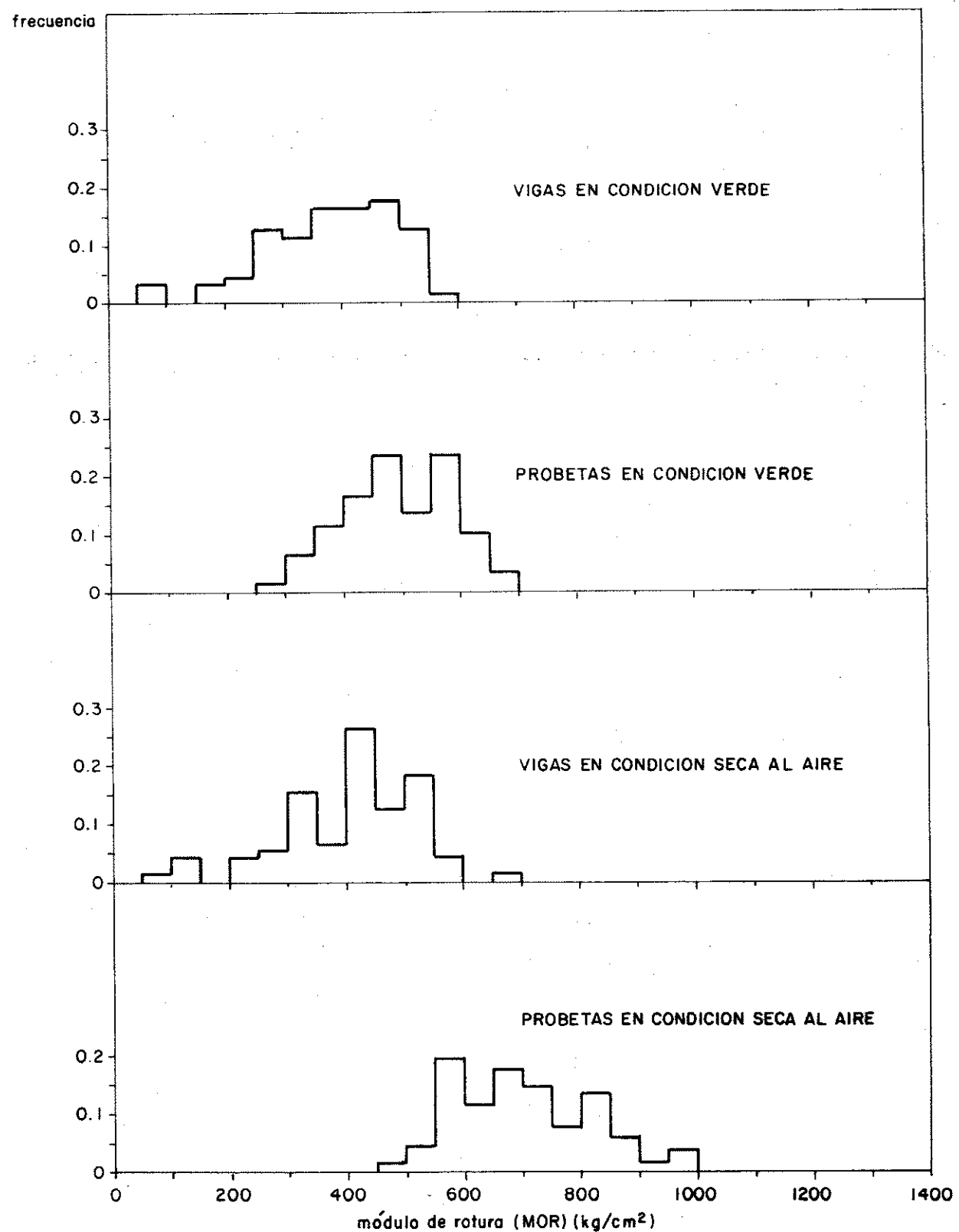
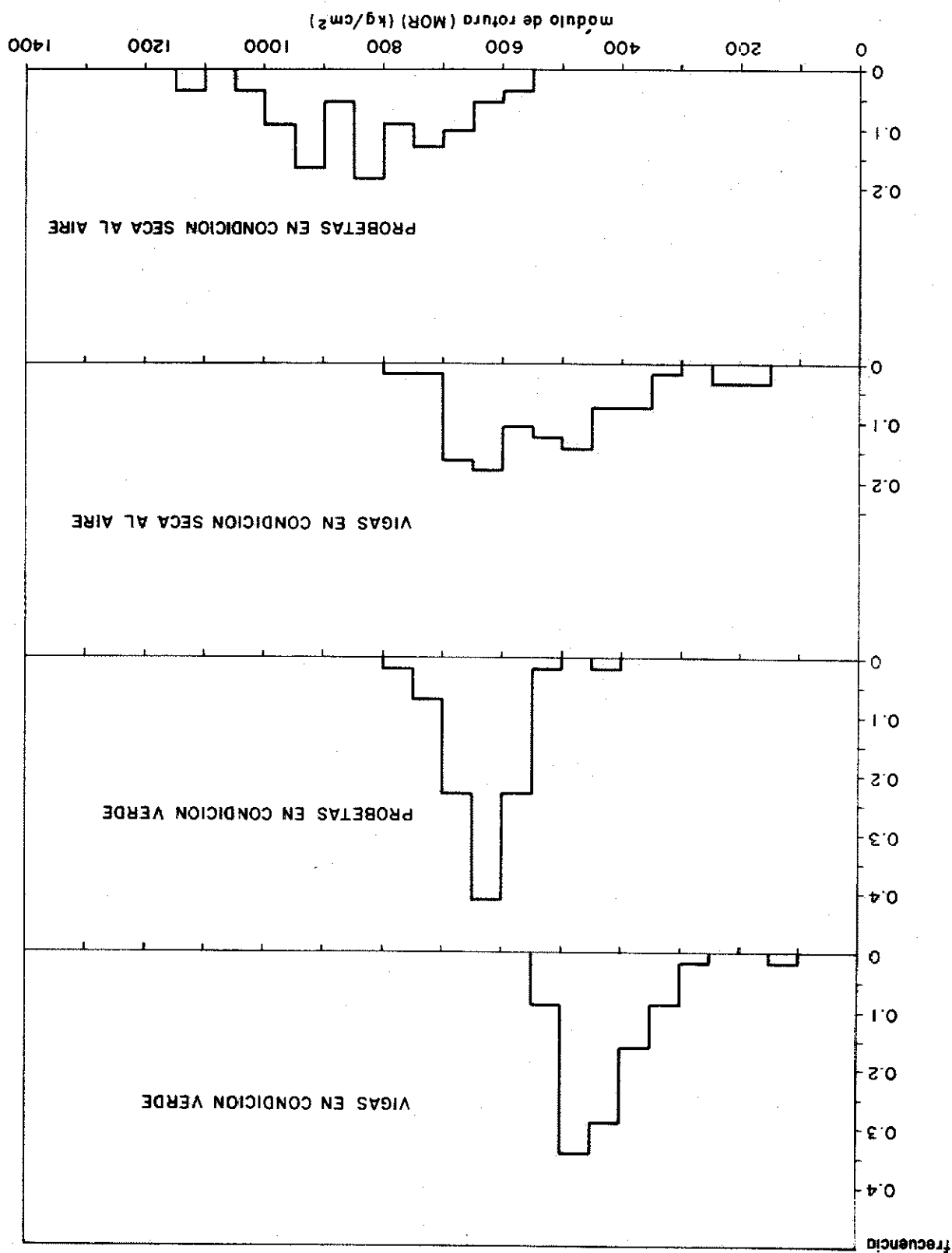


FIGURA 9 HISTOGRAMAS DEL MÓDULO DE ROTURA EN VIGAS Y PROBETAS DE CATAHUA AMARILLA (*HURA CREPITANS*)

FIGURA 10 HISTOGRAMAS DEL MÓDULO DE ROTURA EN VIGAS Y PROBETAS  
DE TORNILLO (CEDRELINA CATENA FORMIS)



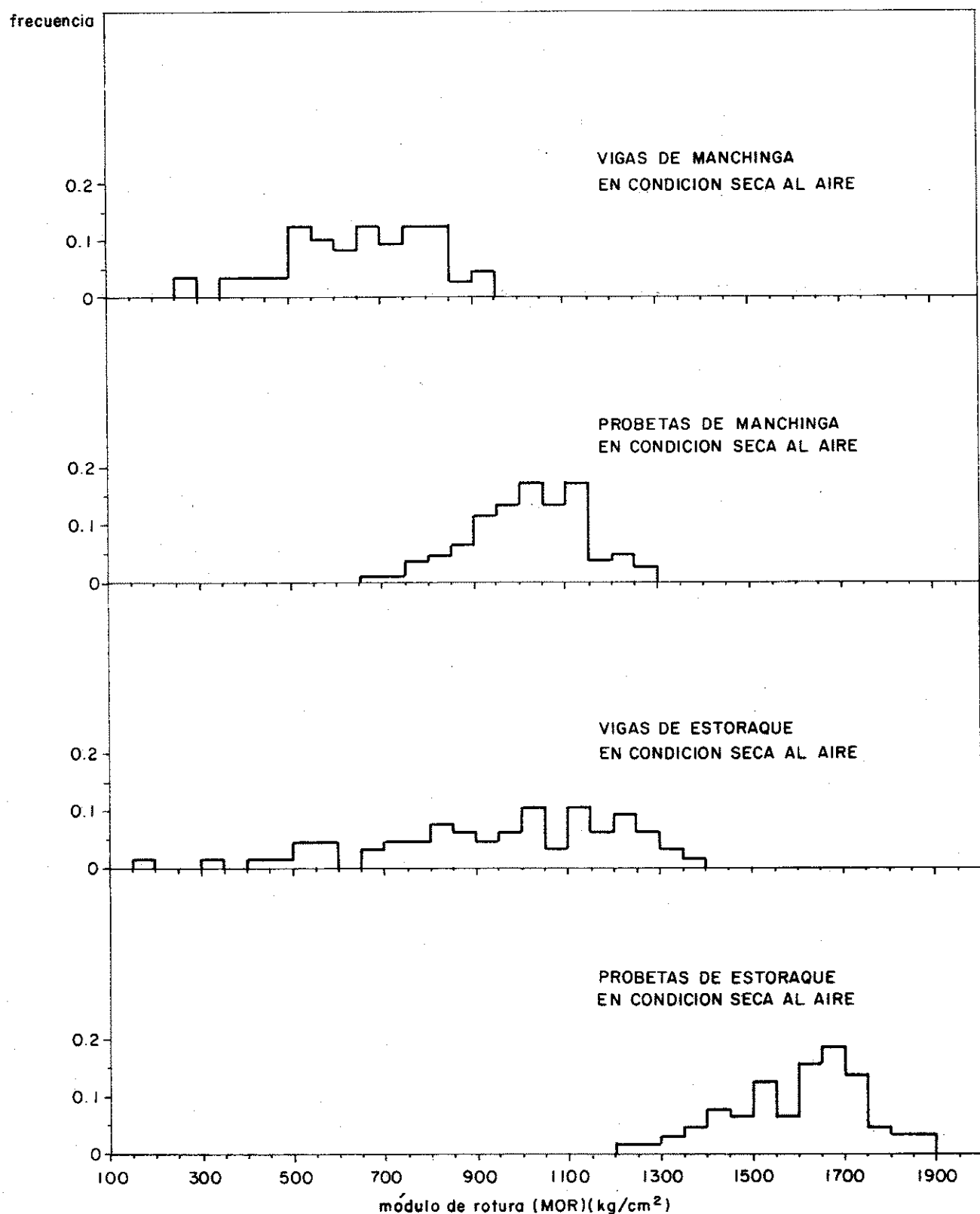
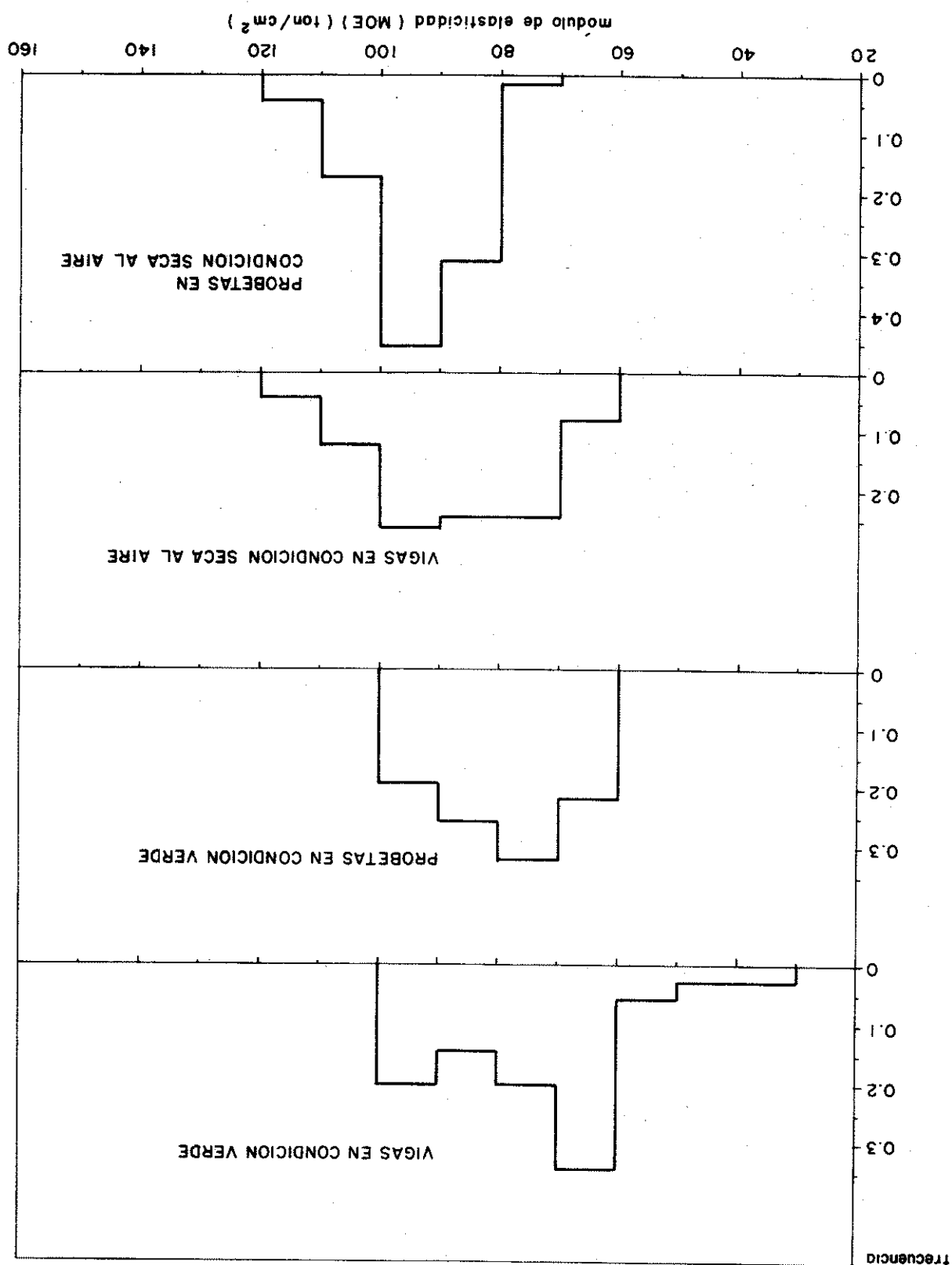


FIGURA II HISTOGRAMAS DEL MODULO DE ROTURA EN VIGAS Y PROBETAS  
DE MANCHINGA (*BROSIMUM ULEANUM*) Y ESTORAQUE (*MYROXYLON PERUFERUM*)

FIGURA 12 HISTOGRAMAS DEL MÓDULO DE ELÁSTICIDAD EN VIGAS Y PROBETAS DE MARUPA (SIMARROUBA AMARA)



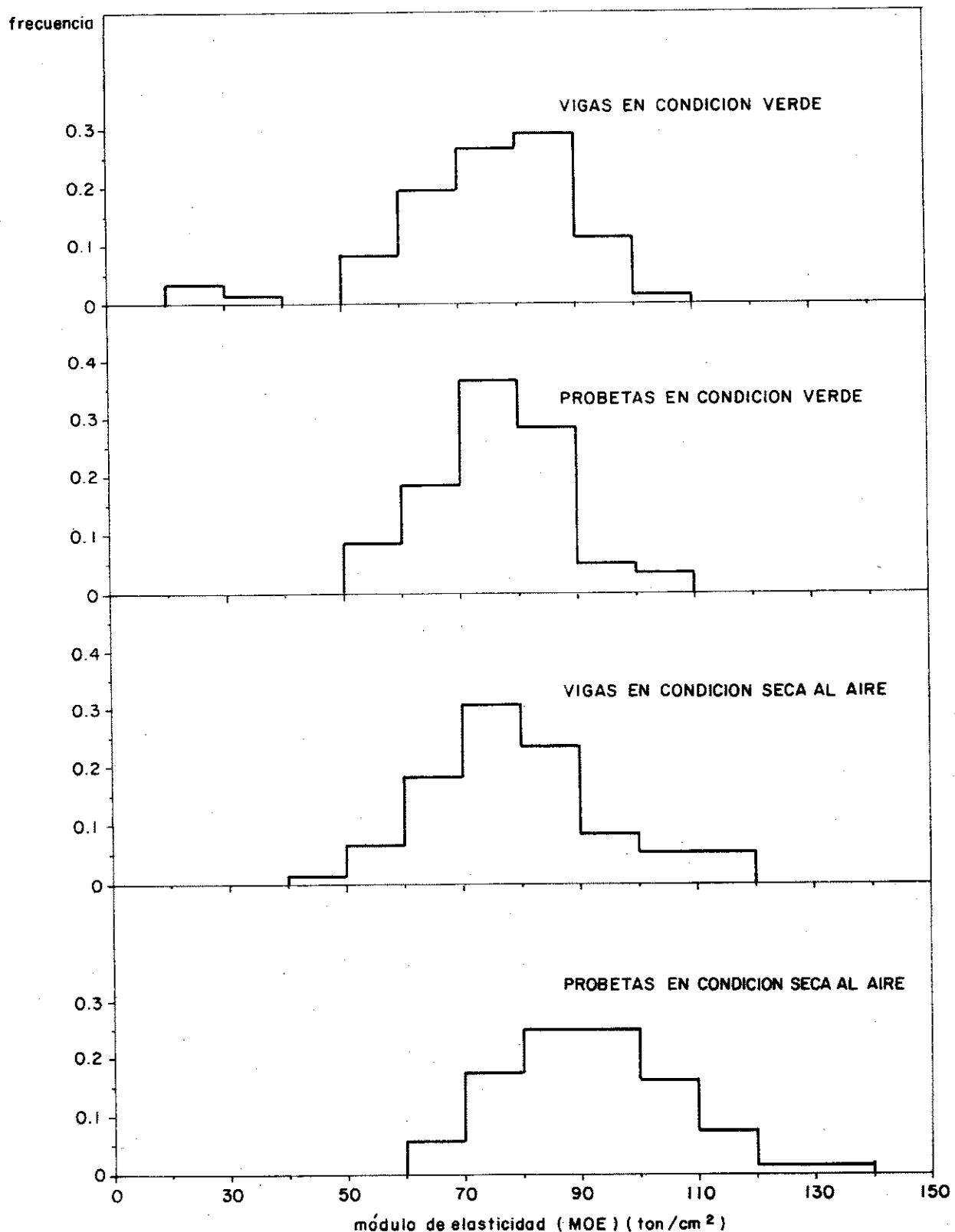
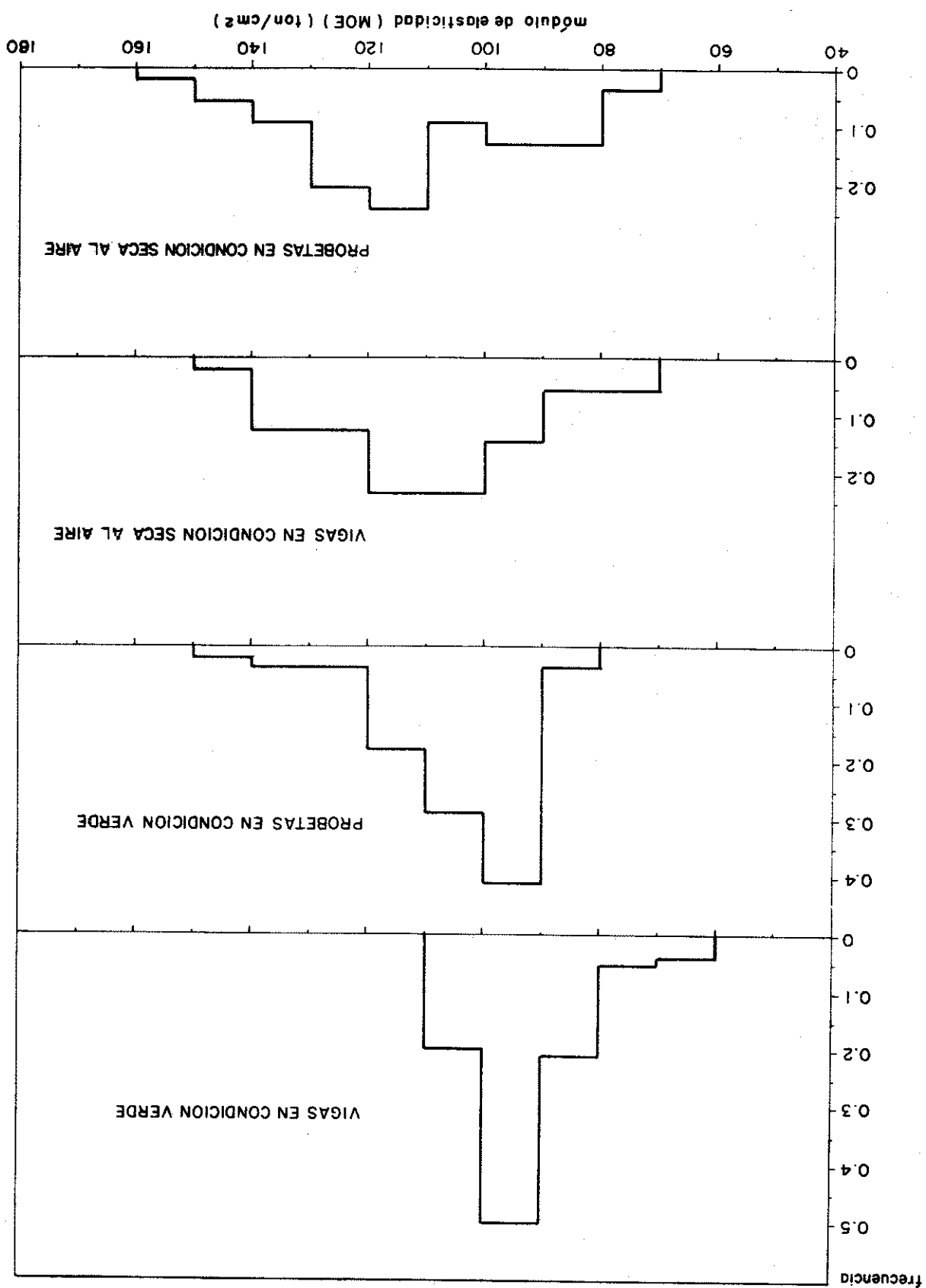


FIGURA 13 HISTOGRAMAS DEL MODULO DE ELASTICIDAD EN VIGAS Y PROBETAS DE CATAHUA AMARILLA ( HURA CREPITANS )

FIGURA 14 HISTOGRAMAS DEL MÓDULO DE ELASTICIDAD EN VIGAS Y PROBETAS DE TORNILLO (CEDRELLINGA CATENA EFORMS)



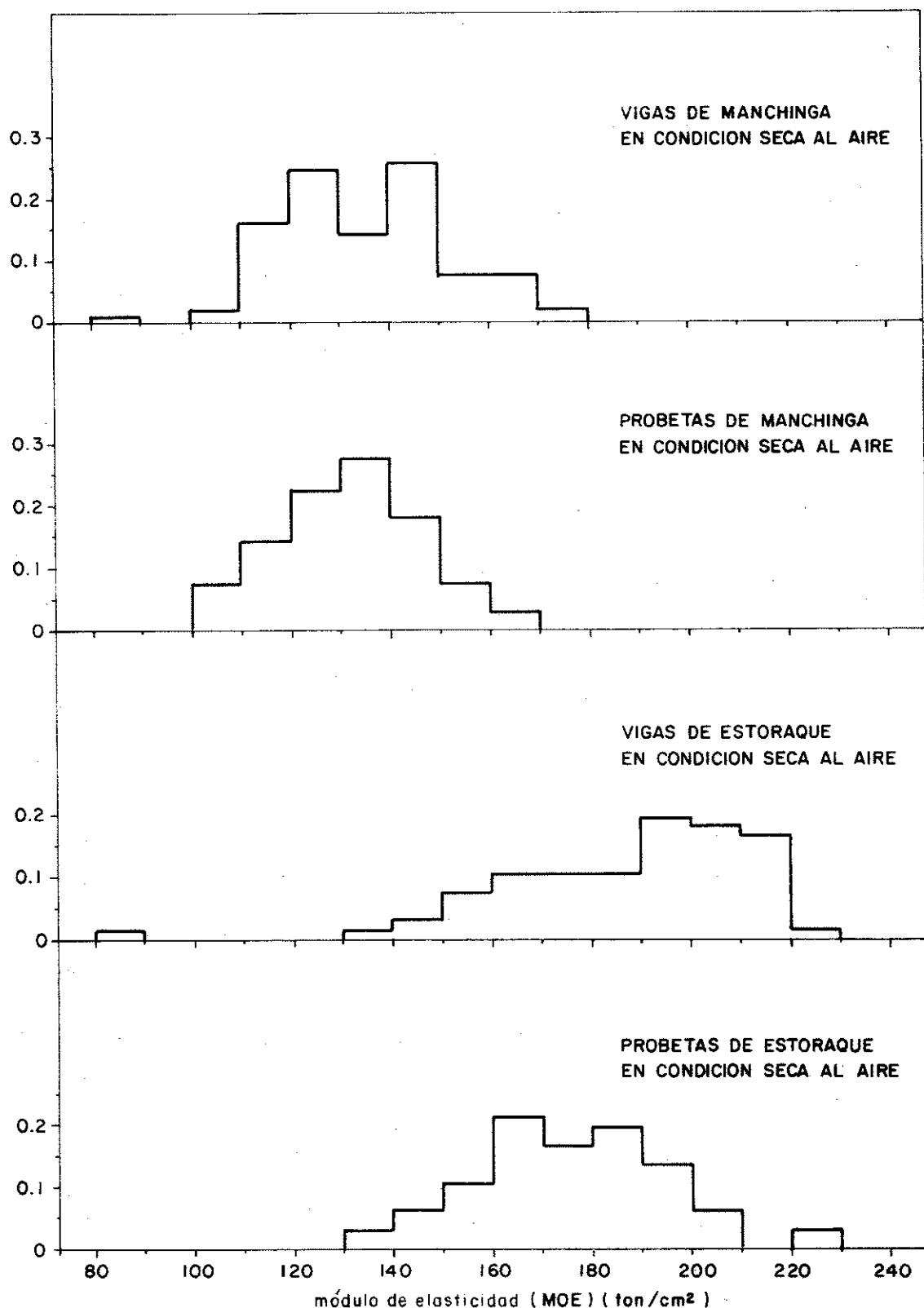


FIGURA 15 HISTOGRAMAS DEL MÓDULO DE ELASTICIDAD EN VIGAS Y PROBETAS DE MANCHINGA (*BROSIMUM ULEANUM*) Y ESTORAQUE (*MYROXYLON PERUFERUM*)

En la tabla 3.1 se indican los valores medios de módulo de rotura viñas de cada una de las 5 especies estudiadas, en condición verde y la razón MOE viñas/MOE probetas, obtenidos con las MOP probetas) y la razón MOE viñas/MOE probetas, factor de calidad (MOP viñas/ (MOR), módulo de elasticidad (MOE), factor de calidad (MOP viñas/ MOR) que se presentan separadamente los resultados correspondientes a viñas de aquellas rechazadas. El efecto de la Regla de Clasificación Visual y a dichos factores de acuerdo con la tabla 3.2, en la que se comparan los valores mínimos evidentes en la tabla 3.2, en la que se comparan los valores mínimos de cada grupo.

Con pocas excepciones, el módulo de rotura en viñas fue menor que el de las correspondientes probetas. El "efecto de tamayo" puede en este caso explícitamente reducirse en el MOR del orden de 15% (14). Sin embargo, las diferencias observadas fueron por lo general mayores y demuestran la influencia de los efectos en la resistencia.

En promedio, el MOR obtenido para viñas y probetas ensayadas en condición seca al aire fue mayor que el MOR de viñas y probetas ensayadas en condición verde. Sin embargo, los resultados obtenidos para viñas seca muestra una dispersión más dispersión, por lo que un 5% de la influencia del contenido de humedad en el MOR de viñas es menos notable.

Los efectos tienen en general mayor efecto en la resistencia que las diferencias menores apreciables entre viñas y probetas, lo que indica que en términos relativos a lo observado para el MOR, en el MOP se tiene en rigidez.

TABLA 3.1 VALORES MEDIOS DE LAS PROPIEDADES MECÁNICAS PARA LAS VIGAS DE LAS DIVERSAS ESPECIES ENSAYADAS

Especie	Marupá			Catahua			Tornillo			Manchinga			Estoraque		
Condición (verde o seca al aire)	V	S	V	S	V	S	V	S	V	S	S	S	S	S	S
<b>Módulo de Rotura, MOR (kg/cm<sup>2</sup>)</b>															
Aceptadas	402	469	445	492	436	573	775	1089							
Rechazadas	244	277	317	361	413	495	613	863							
Todas	289	340	381	410	426	528	653	944							
<b>Módulo de elasticidad, MOE (ton/cm<sup>2</sup>)</b>															
Aceptadas	88	96	82	83	94	114	149	281							
Rechazadas	69	83	68	79	92	108	133	179							
Todas	74	87	75	80	93	110	135	187							
<b>Factor de Calidad (MOR vigas/MOR probetas)</b>															
Aceptadas	.93	.74	.85	.70	.68	.74	.74	.66							
Rechazadas	.62	.39	.72	.56	.68	.62	.61	.55							
Todas	.72	.57	.79	.60	.68	.65	.64	.59							
<b>Relación MOE vigas/MOE probetas</b>															
Aceptadas	1.00	1.00	1.06	.94	.91	1.00	1.06	1.12							
Rechazadas	.92	.89	.94	.86	.89	1.00	1.02	1.03							
Todas	.95	.93	1.00	.88	.90	1.00	1.03	1.06							
<b>Número de vigas</b>															
Aceptadas	10	24	31	19	32	16	26	24							
Rechazadas	25	49	31	53	24	39	80	43							
Todas	35	73	62	72	56	55	106	67							

TABLA 3-2 VALORES MÍNIMOS DE LAS PROPIEDADES MECÁNICAS PARA LAS VIGAS DE LAS DIVERSAS ESPECIES ENSAYADAS

	Especie		Condición (verde o seca al aire)		Marupá		Catahua		Tornillo		Manchinga		Estoraque	
	V	S	V	S	V	S	V	S	V	S	V	S	S	S
<b>Módulo de Rotura, MOR (kg/cm<sup>2</sup>)</b>														
Aceptadas	349	383	331	367	325	430	584	1024						
Rechazadas	76	115	78	60	126	178	259	150						
<b>Módulo de elasticidad, MOE (ton/cm<sup>2</sup>)</b>														
Aceptadas	69	81	60	59	65	84	118	158						
Rechazadas	38	63	28	45	64	75	85	81						
<b>Factor de Calidad (MOR vigas/MOR probetas)</b>														
Aceptadas	.80	.67	.62	.59	.54	.61	.61	.43						
Rechazadas	.20	.19	.18	.06	.23	.21	.27	.09						
<b>Relación MOE vigas/MOE probetas</b>														
Aceptadas	.34	.88	.74	.66	.58	.81	.92	.89						
Rechazadas	.56	.71	.38	.42	.58	.73	.73	.49						
<b>Número de vigas</b>														
Aceptadas	10	24	31	19	32	16	26	24						
Rechazadas	25	49	31	53	24	39	80	43						
Todas	35	73	62	72	56	55	106	67						

#### 4. RIGIDEZ Y RESISTENCIA DE VIGAS EN RELACION A LAS PROPIEDADES MECANICAS OBSERVADAS EN PROBETAS PEQUEÑAS.

##### 4.1 Módulo de Elasticidad en Probetas vs. Módulo de Elasticidad en Vigas.

Las figuras 16 a 18 presentan histogramas para la razón entre el MOE en vigas y el MOE en probetas pequeñas libres de defectos. Para aproximadamente 80% de las vigas ensayadas esta razón estuvo entre 0.7 y 1.1, aun que se observaron valores en el rango entre 0.38 y 1.45.

Aproximadamente 44% de las vigas tuvieron un MOE superior al promedio de las correspondientes probetas. Las deformaciones de corte, no consideradas en el cómputo de los módulos de elasticidad, pero que tienen mayor importancia relativa en las probetas, podrían explicar parte de los valores obtenidos en el rango de 1.0 a 1.1 (26% de las vigas ensayadas). Los valores mayores sólo pueden ser explicados por la no uniformidad del material en algunas de las vigas.

Comparando los histogramas de MOE vigas/MOE probetas obtenidos para las vigas rechazadas y las vigas aceptadas por la Regla de Clasificación Visual (Fig. 16), se observan distribuciones similares. Esto puede explícarse porque la mayor parte de los defectos tienen poca influencia en la rigidez. El valor medio para la razón MOE vigas/MOE probetas resultó 0.98 considerando toda la población estudiada, 1.01 para las vigas aceptadas y 0.96 para las vigas rechazadas. El valor mínimo fue 0.38 para las vigas rechazadas y 0.57 para las aceptadas. Para el 5° percentil la diferencia fue menos marcada, obteniéndose 0.73 y 0.78, respectivamente.

En algunas especies la Regla de Clasificación Visual resultó un poco más eficaz para seleccionar las vigas de mayor rigidez (Fig. 17). Esto podría deberse a las distintas características anatómicas y a la mayor o menor frecuencia de ciertos defectos que sí influyen en el MOE.

La figura 18 muestra distribuciones similares para la razón MOE vigas/  
MOE probetas de los especímenes ensayados en condición verde y aquellos  
ensayados en condición seca. Esto indica que el efecto del contenido de  
humedad en el MOE de vigas es similar al que se observa en probetas.

En términos generales, hay una buena correlación entre el MOE en vigas  
y el MOE de las correspondientes probetas libres de defectos. La figura  
19 muestra resultados para 51 vigas, de las que fue posible obtener  
probetas libres de defectos, incluyendose tanto las vigas aceptadas como  
las rechazadas por la Regla de Clasificación. La recta de regresión re-  
presenta límites de defectos, incluyendose tanto las vigas aceptadas como  
probetas libres de defectos, de las que fue posible obtener  
muestra resultados para 51 vigas, de las que fue posible obtener  
probetas libres de defectos por la Regla de Clasificación. La recta de regresión re-  
sulta:

MOE vigas = 1.075 MOE probetas - 10.6 ton/cm<sup>2</sup>  
con un coeficiente de correlación  $r = 0.910$ , lo que significa que approxi-  
madamente 83% de la variabilidad observada en el MOE de vigas puede explicarse  
por la variabilidad de los defectos, es decir por las propiedades  
meccánicas de la madera, independientemente de los defectos.

En la figura 20 se ha graficado MOE vigas vs. MOE en probetas consideran-  
do solo las vigas aceptadas. En este caso se tiene:

$$MOE \text{ vigas} = 1.115 \quad MOE \text{ probetas} - 11.4 \text{ ton/cm}^2$$

esta expresión es similar a la anterior, más aun si se considera la gran  
diferencia de calidad de las poblaciones comparadas.

$$\text{con un coeficiente de correlación } r = 0.935 (r^2 = 0.87).$$

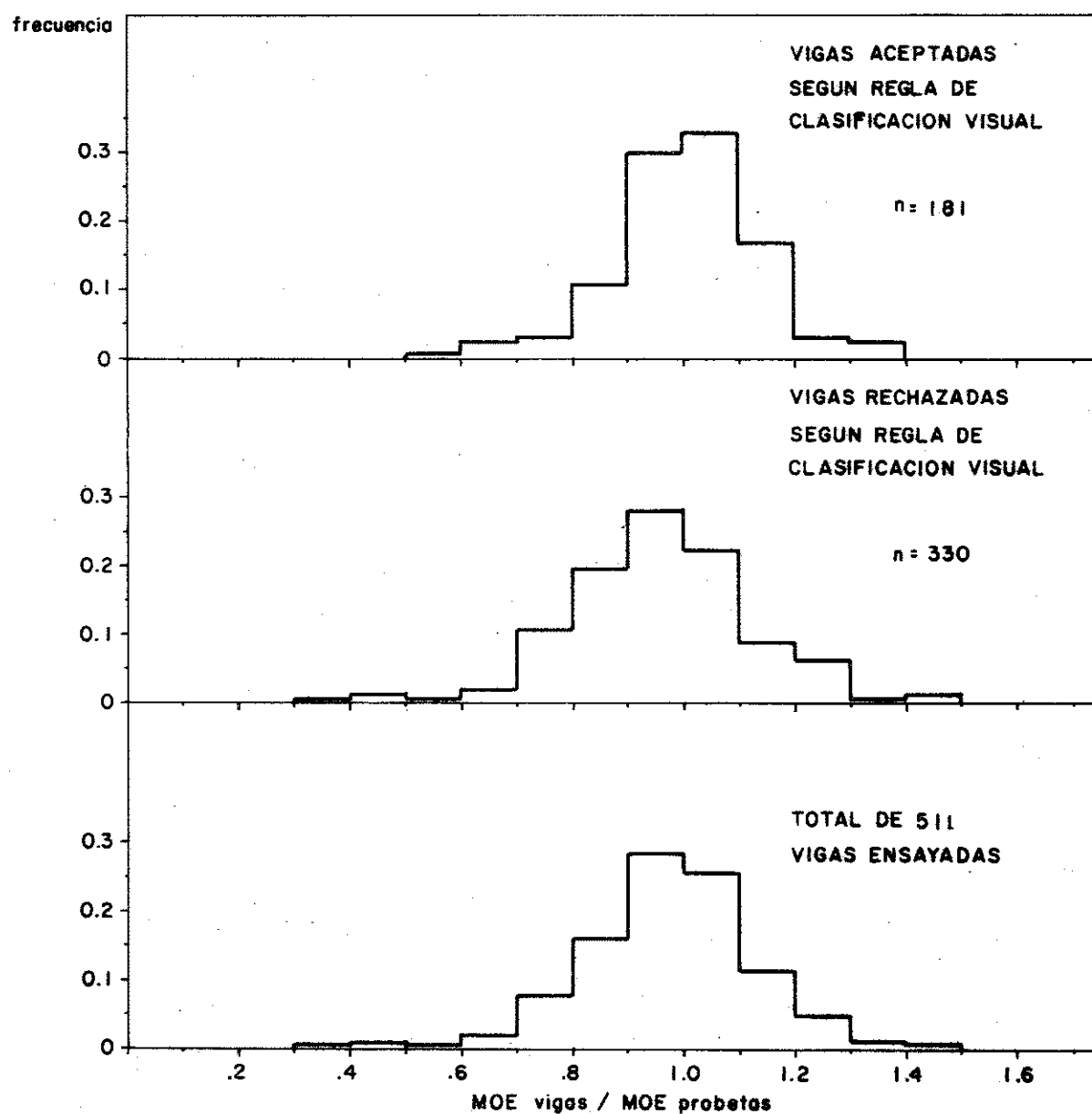
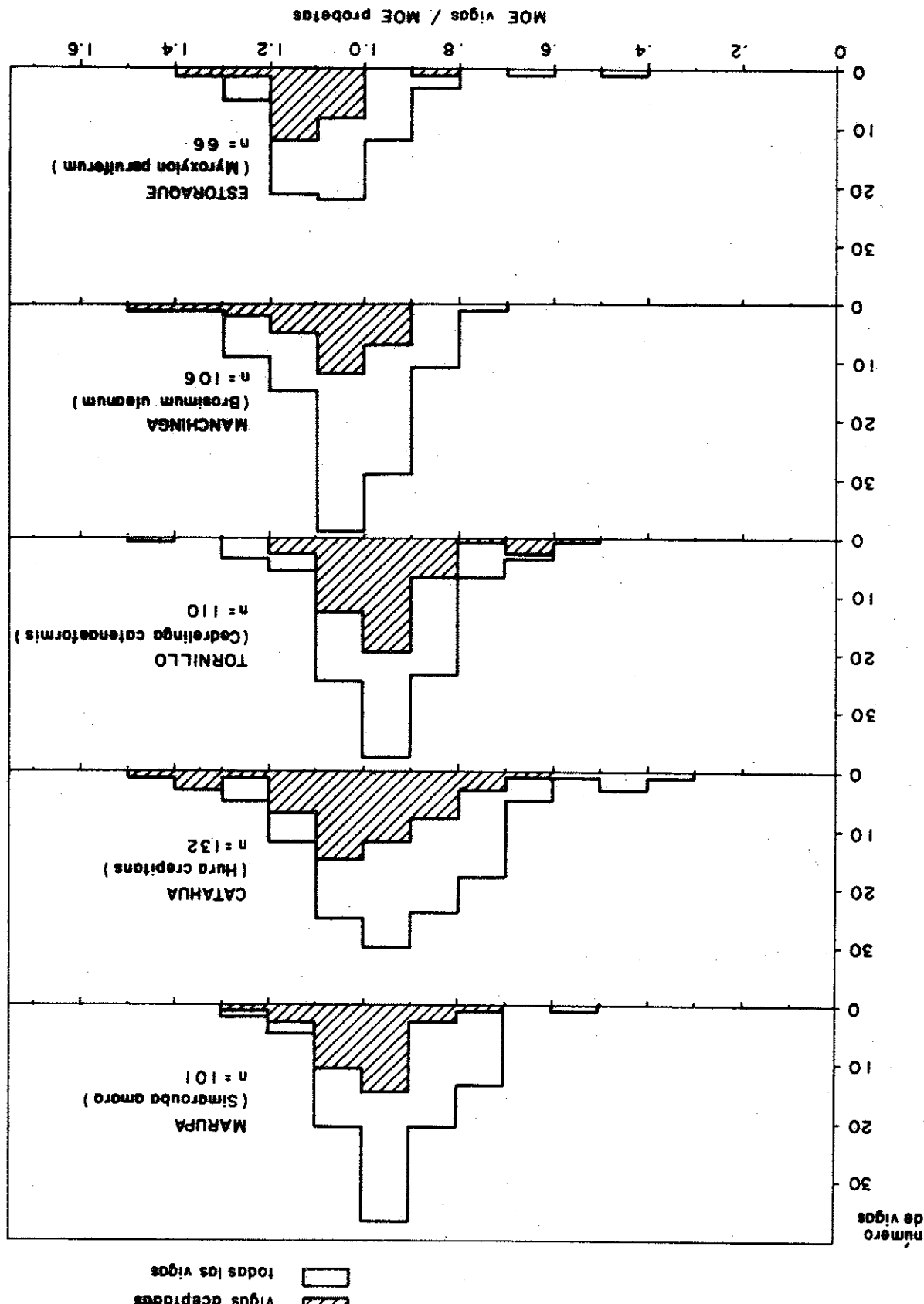


FIGURA 16 HISTOGRAMAS PARA LA RAZON ENTRE MODULO DE ELASTICIDAD EN VIGAS  
Y MODULO DE ELASTICIDAD EN PROBETAS  
VIGAS ACEPTADAS POR LA REGLA DE CLASIFICACION VISUAL VS. VIGAS RECHAZADAS

FIGURA 17

HISTOGRAMAS PARA LA RAZÓN ENTRE MÓDULO DE ELASTICIDAD EN VÍGAS Y  
MÓDULO DE ELASTICIDAD EN PROBETAS PARA CADA UNA DE LAS ESPECIES

ENSAYADAS



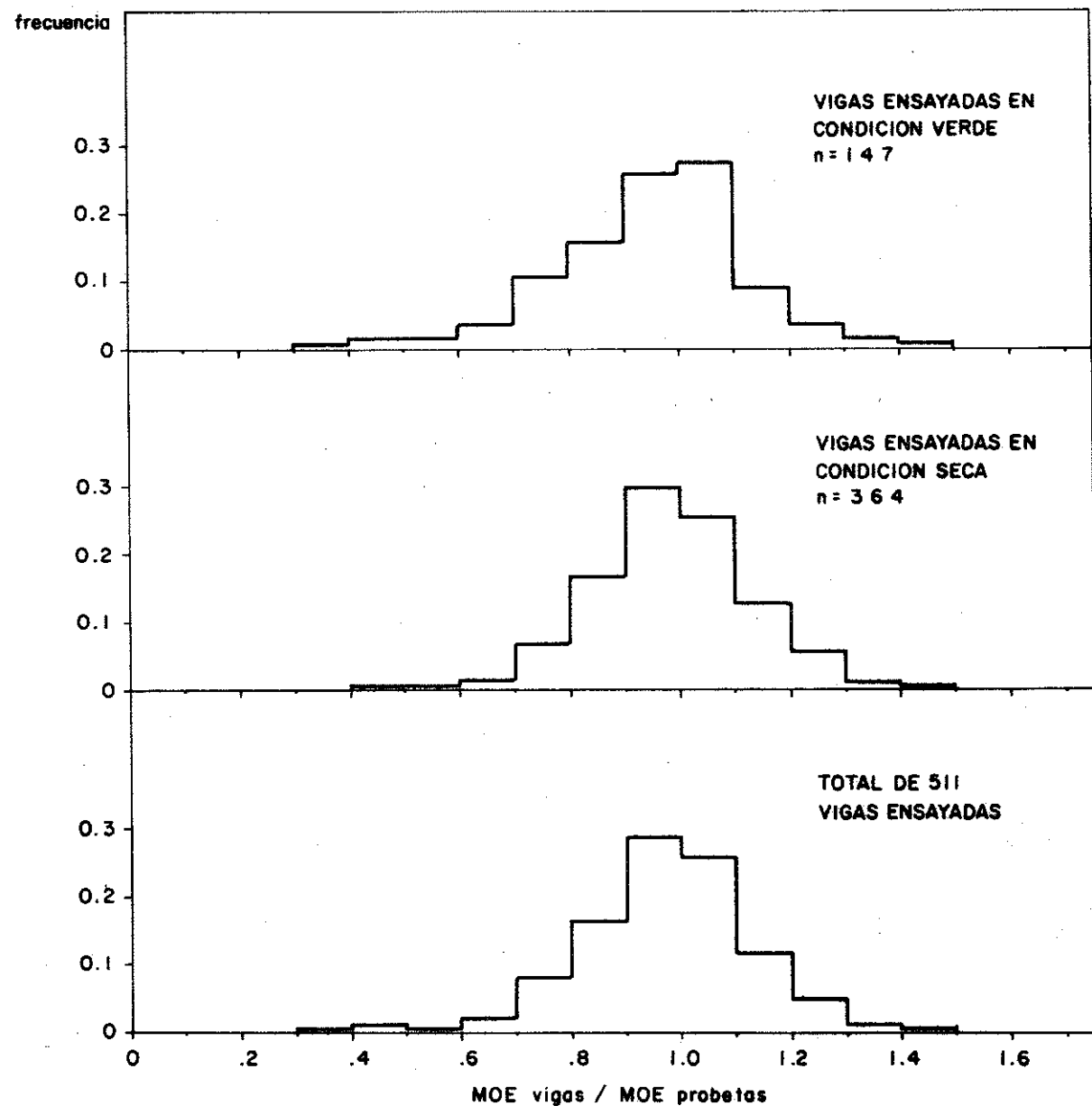


FIGURA 18 HISTOGRAMAS PARA LA RAZON ENTRE MODULO DE ELASTICIDAD EN VIGAS Y  
MODULO DE ELASTICIDAD EN PROBETAS  
VIGAS ENSAYADAS EN CONDICION VERDE VS. VIGAS ENSAYADAS EN CONDICION SECA AL AIRE

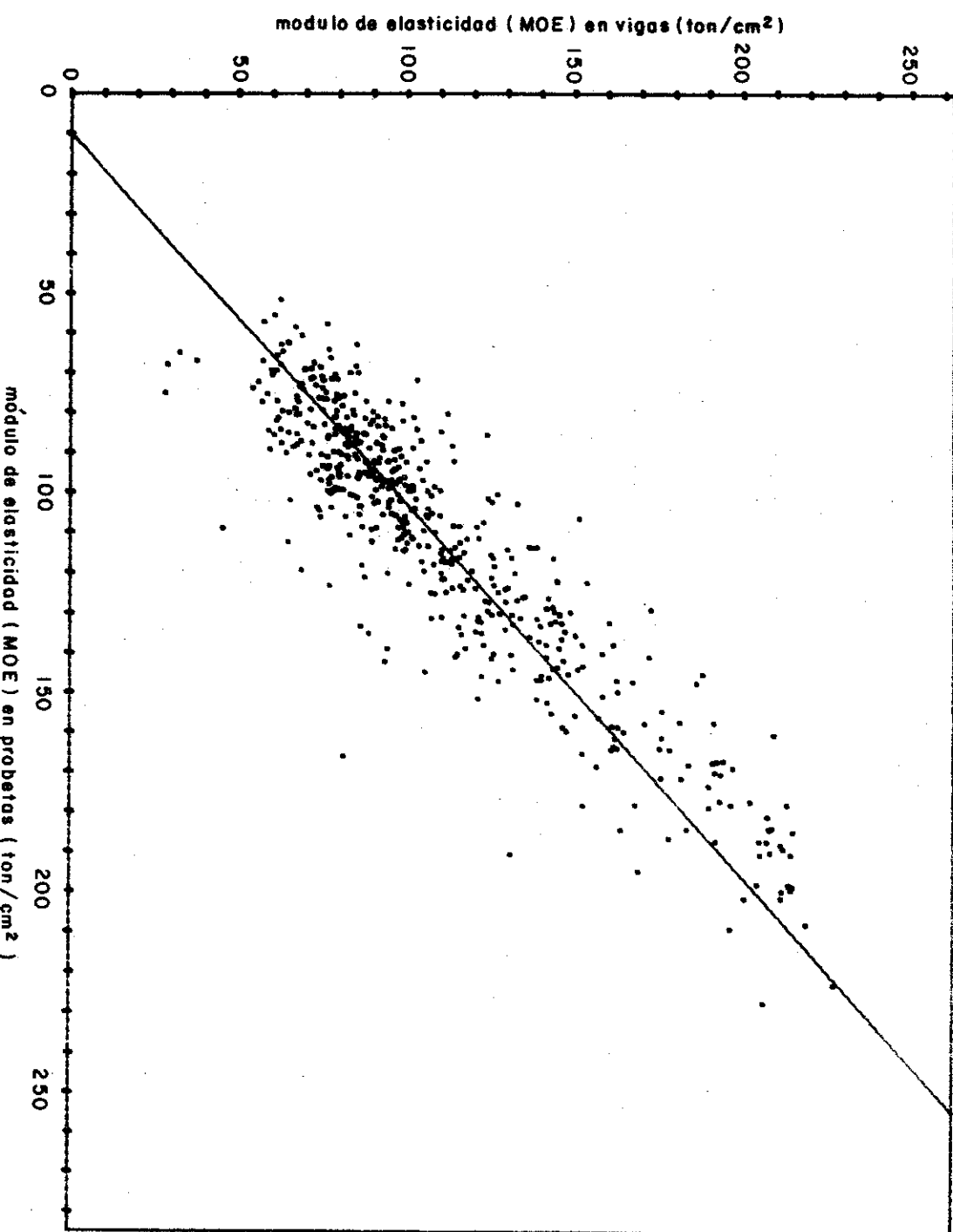


FIGURA 19 MOE VIGAS VS. MOE PROBETAS PARA 511 VIGAS ENSAYADAS

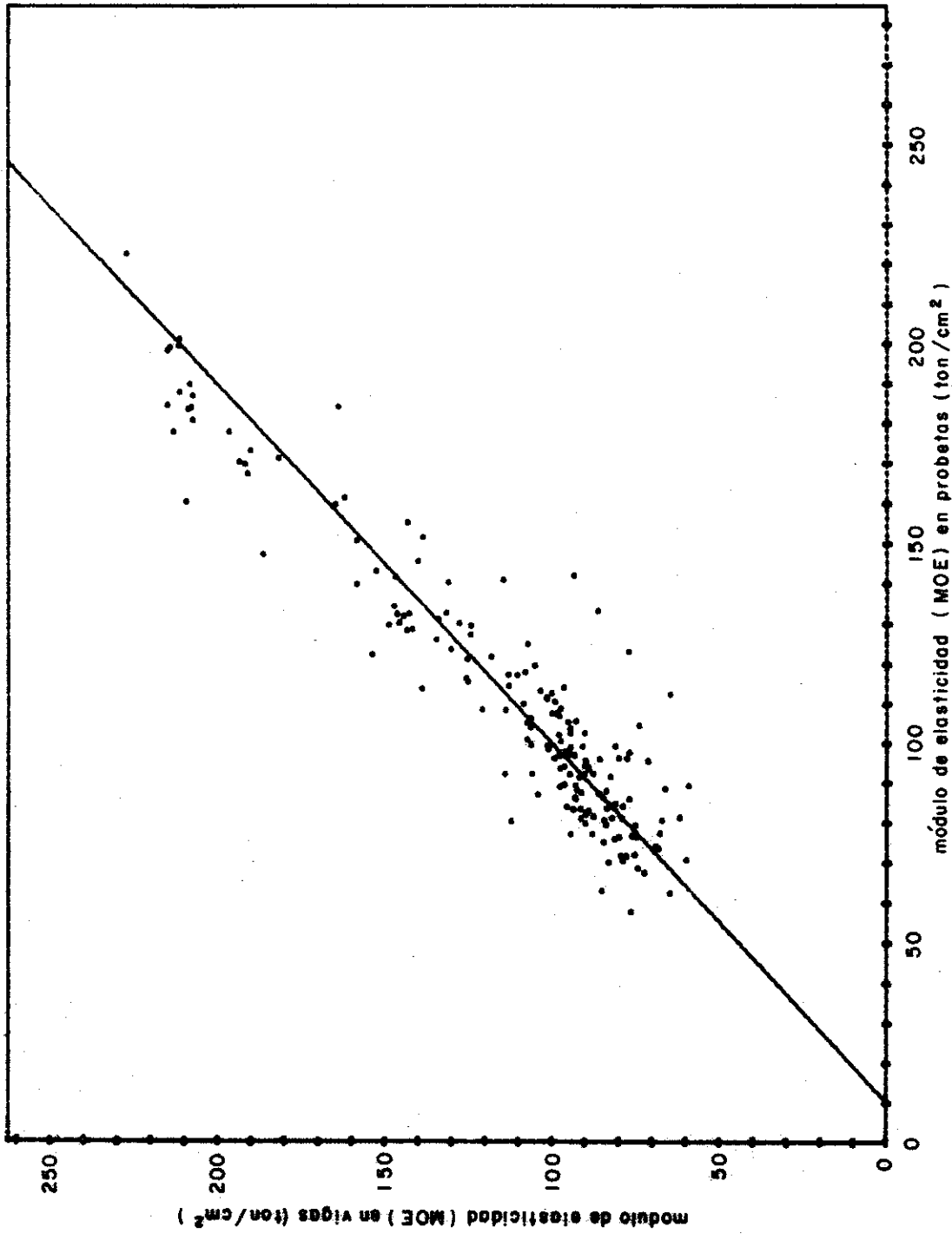


FIGURA 20 MOE VIGAS VS. MOE PROBETAS PARA VIGAS ACEPTADAS SEGUN LA REGLA DE CLASIFICACION VISUAL

Las figuras 21 a 23 muestran histogramas para el "Factor de Calidad", es decir La razón entre el MOR de vigas y el MOR promedio de las correspondientes probetas. En 98.4% de las vigas se tuvieron factores de calidad menores que 1.

4.2 Modulo de Rotura en Probetas vs. Modulo de Rotura en Vigas.

Comparando los histogramas para el factor de calidad de las vigas aceptadas por la Regla de Clasificación Visual y de aquellas rechazadas, se concluye que los defectos tienen un efecto importante en el módulo de rotura. Mas aún, la Regla de Clasificación es efectiva en eliminar una proporción apreciable de las vigas con factor de calidad más bajo.

El valor medio del factor de calidad para el conjunto de todas las vigas ensayadas fue 0.65. Para las vigas aceptadas el promedio fue 0.74, contra 0.60 para las vigas rechazadas. Las diferencias son más apreciables en los valores mínimos (0.43 para las vigas aceptadas, 0.06 para las rechaza das) o para el 5º percentil (0.59 y 0.24, respectivamente). Solo 2 vigas aceptadas (de Estorague) tuvieron factor de calidad menor que 0.50.

Por otro lado, puede observarse que la Regla de Clasificación describe algunas vigas con factor de calidad alto. Esto se debe a la presencia de defectos no aceptables en zonas poco esforzadas al someter al elemento a flexión, como en los ensayos aquí considerados. Si embargo, para cierto tipo de solicitud -particularmente tracción pura y flexo-tracción- estos defectos podrían ser muy perjudiciales a la resistencia. Los histogramas de la figura 22, que corresponden a factores de calidad para las vigas de cada especie consideradas por separado, muestran en cada caso un efecto de la Regla de Clasificación análogo al observado pa ra todos las vigas como un conjunto.

El contenido de humedad tiene influencia notoria en los factores de calidad. En la figura 23 se muestran histogramas para las vigas ensayadas en condición verde y en condición seca al aire. Los valores medios y mínimos son menores para las vigas secas. Esto se explica porque, si bien la reducción del contenido de humedad tiene un efecto favorable tanto en el MOR de vigas como en el MOR de probetas, el incremento es mayor para estas últimas. Puede por lo tanto afirmarse que la influencia de los defectos en la resistencia es más importante en las vigas con menor contenido de humedad.

Al graficar el MOR de probetas libres de defectos contra el MOR en vigas (figura 24) se observa mucho mayor dispersión que en la gráfica análoga para el MOE. En este caso se tiene:

$$\text{MOR vigas} = 0.552 \text{ MOR probetas} + 65.4 \text{ kg/cm}^2$$

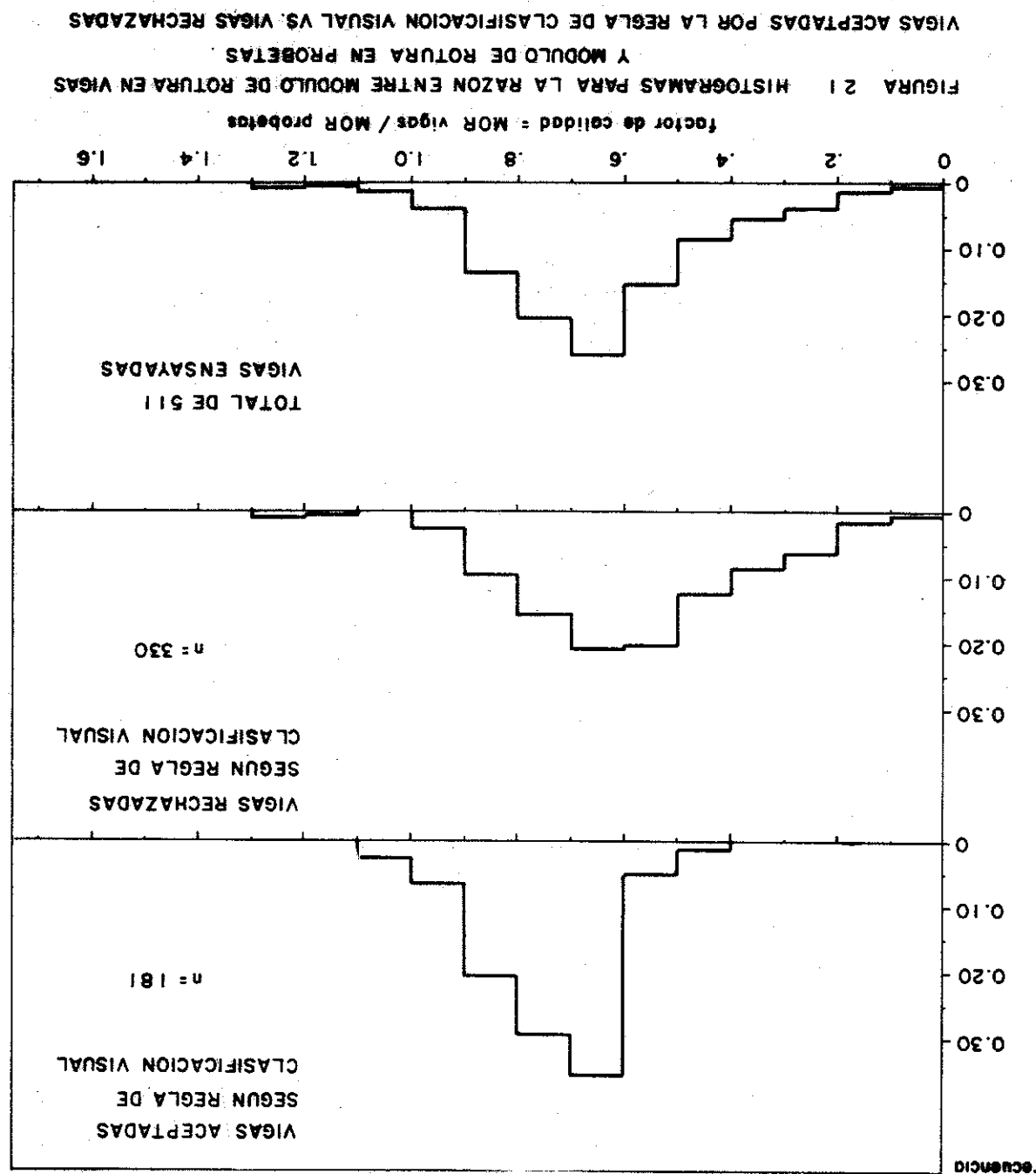
con un coeficiente de correlación  $r = 0.809$  ( $r^2 = 0.65$ ). Si se considera toda la población estudiada, el MOR de probetas no es un buen predictor del MOR de vigas.

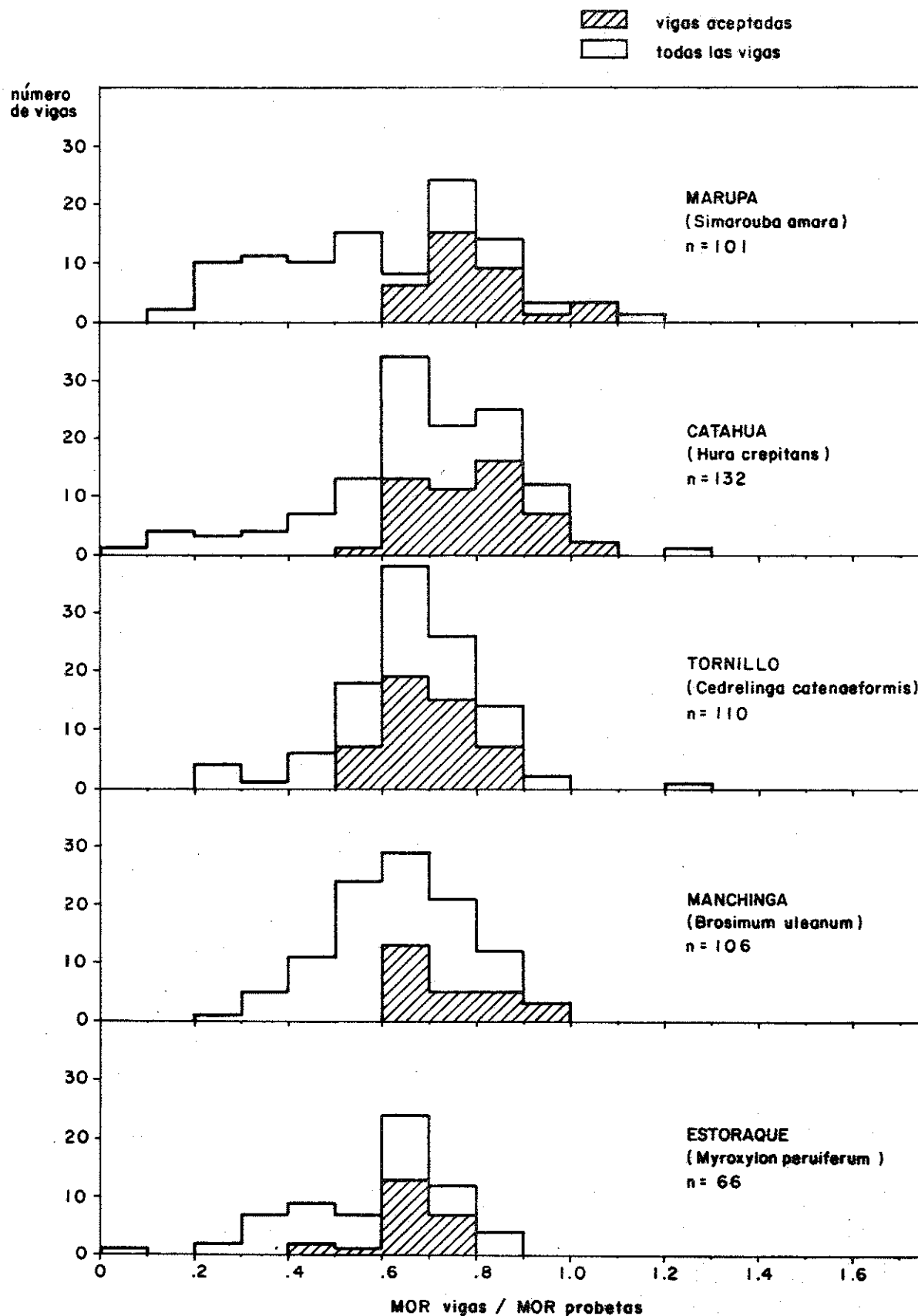
Por otro lado, si sólo se consideran las vigas aceptadas por la Regla de Clasificación Visual (figura 25) se obtiene;

$$\text{MOR vigas} = 0.598 \text{ MOR probetas} + 102 \text{ kg/cm}^2$$

con un coeficiente de correlación  $r = 0.942$  ( $r^2 = 0.89$ ).

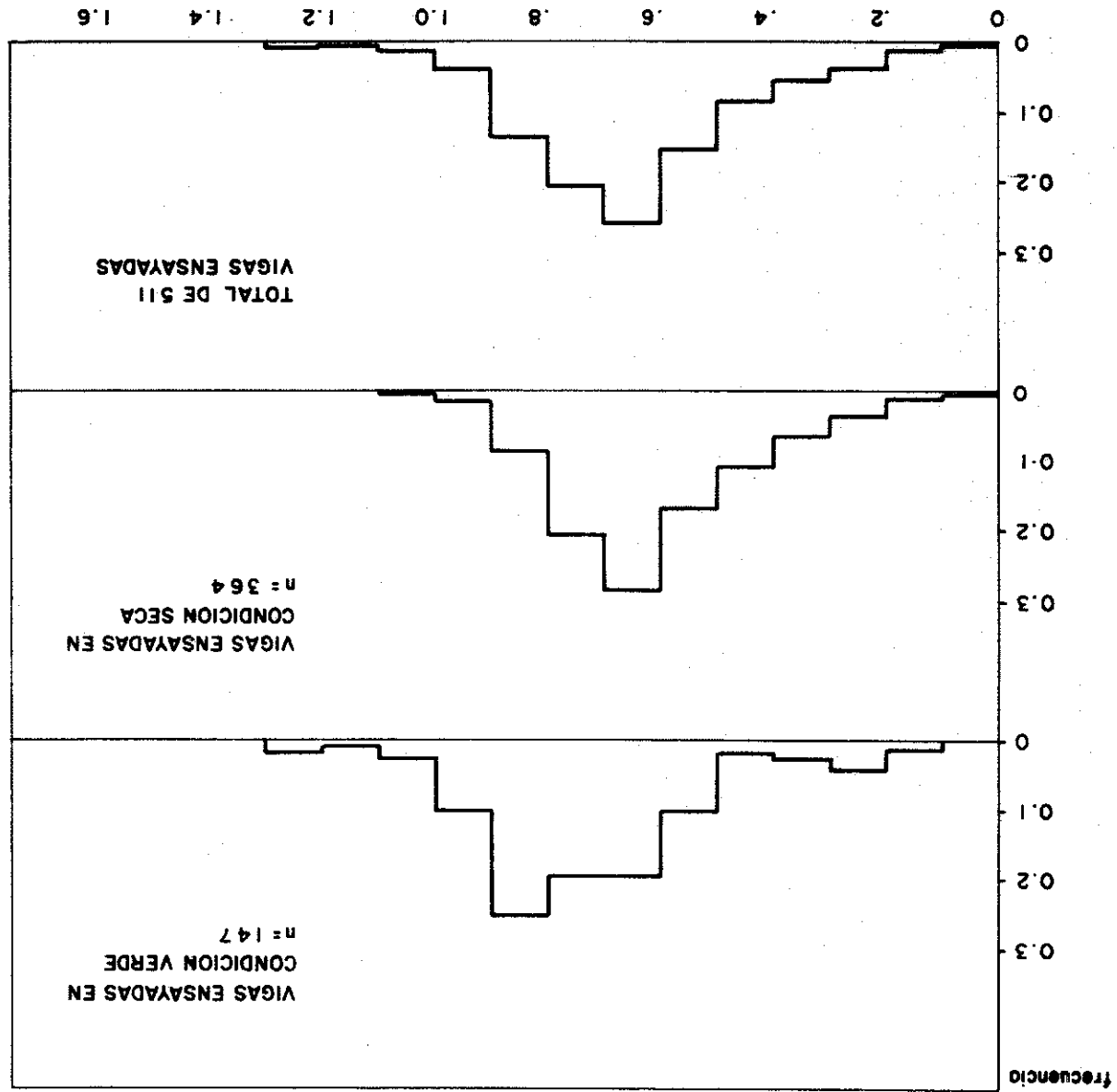
Estos resultados confirman la influencia de los defectos en la resistencia,





VIGAS ENSAYADAS EN CONDICION VERDE VS. VIGAS ENSAYADAS EN CONDICION SECA AL AIRE  
 MODULO DE ROTURA EN RAZON ENTRE MODULO DE ROTURA EN VIGAS Y  
 HISTOGRAMAS PARA LA RAZON ENTRE MODULO DE ROTURA EN VIGAS Y

MOR vigaas / MOR probetas



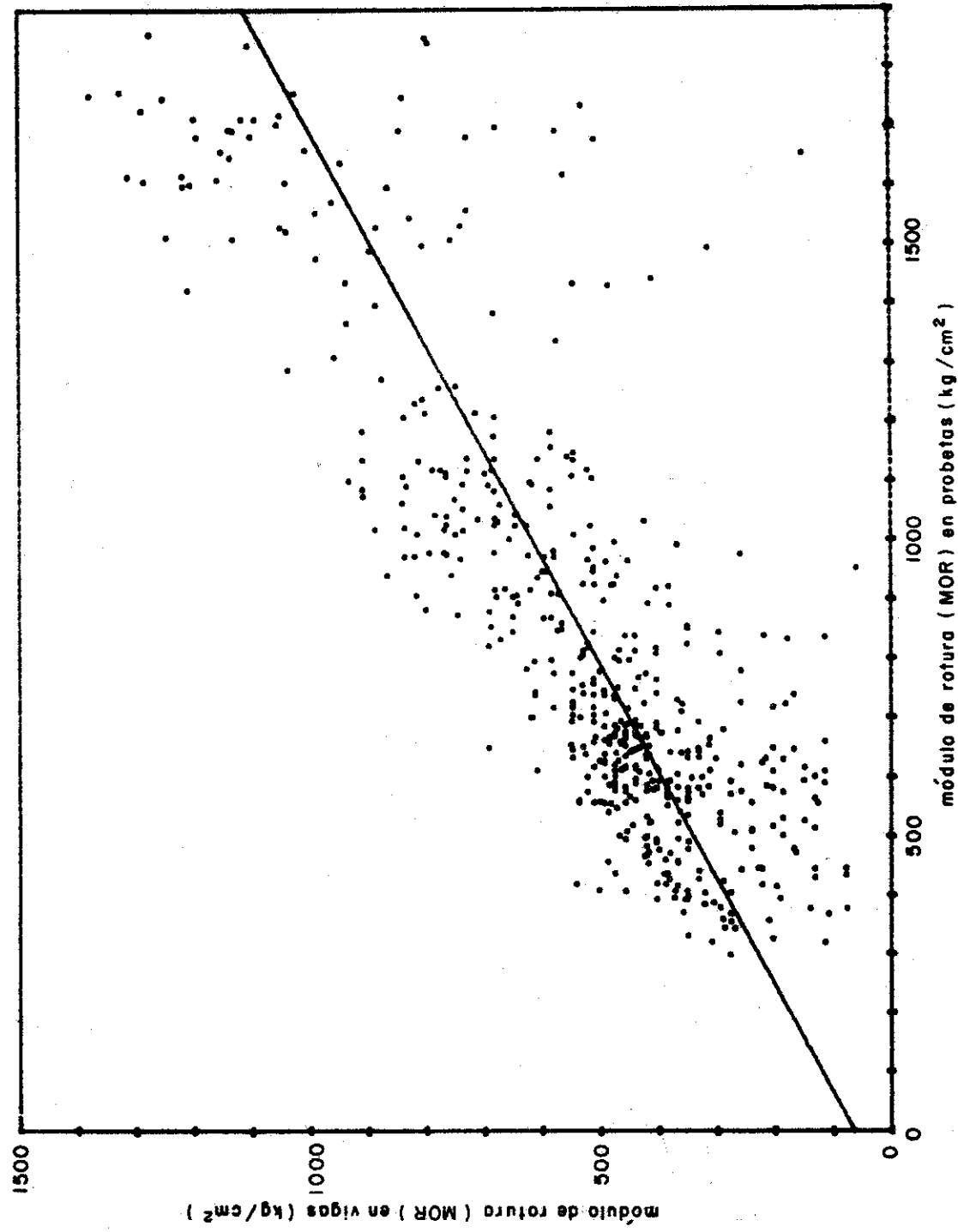


FIGURA 24 MOR VIGAS VS. MOR PROBETAS PARA 511 VIGAS ENSAYADAS

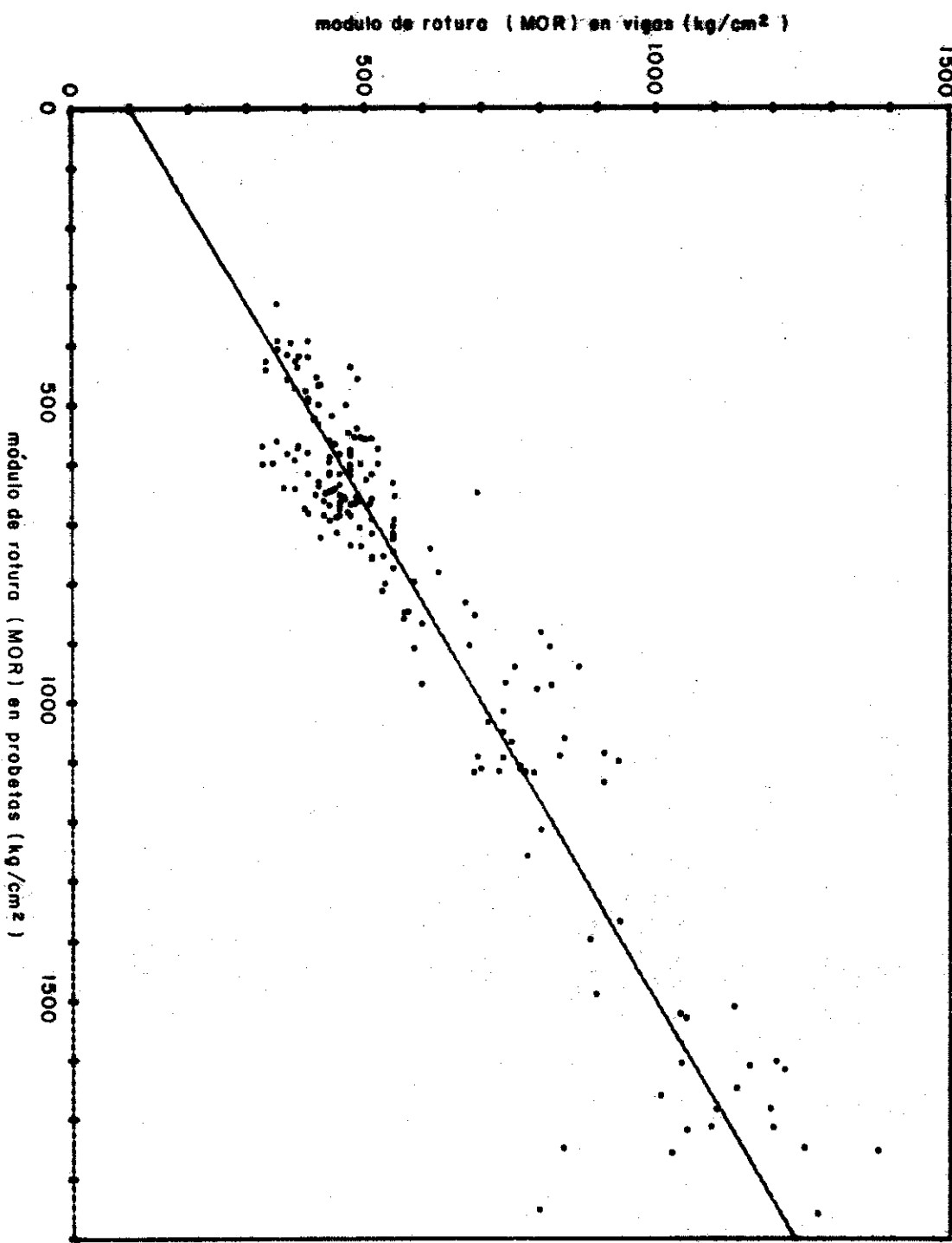


FIGURA 25 MOR VIGAS VS. MOR PROBETAS PARA VIGAS ACEPTADAS SEGUN LA REGLA DE CLASIFICACION VISUAL.

#### 4.3 Módulo de Elasticidad como Predictor del Módulo de Rotura.

En la figura 26 se muestran resultados para módulo de elasticidad en probetas pequeñas libres de defectos contra los respectivos módulos de rotura. Los puntos corresponden a promedios para las probetas de cada una de las vigas. Se observa una buena correlación entre ambas variables, obteniéndose:

$$\text{MOR probetas} = 1.011 \times 10^{-2} \quad \text{MOE probetas} = 302 \text{ kg/cm}^2$$

con un coeficiente de correlación  $r = 0.934$  ( $r^2 = 0.87$ ,  $n = 511$ )

Dado que los defectos influyen mucho más en la resistencia que en la rigidez, la correlación entre MOR y MOE de vigas a escala natural no es tan buena como para probetas libres de defectos. La figura 27 muestra resultados para 526 vigas ensayadas, para las que se tiene:

$$\text{MOR vigas} = 5.42 \times 10^{-3} \quad \text{MOE vigas} = 71.7 \text{ kg/cm}^2$$

El coeficiente de correlación en este caso resulta  $r = 0.863$  ( $r^2 = 0.74$ ). Estos resultados indican que el módulo de elasticidad en vigas no es buen predictor del correspondiente módulo de rotura, lo que tiene implicancias para la clasificación mecánica.

Por otro lado, si sólo se consideran las vigas aceptadas por la Regla de Clasificación Visual (figura 28) se obtiene:

$$\text{MOR vigas} = 5.40 \times 10^{-3} \quad \text{MOE vigas} = 15.9 \text{ kg/cm}^2$$

con un coeficiente de correlación  $r = 0.926$  ( $r^2 = 0.86$ ,  $n = 181$ ).

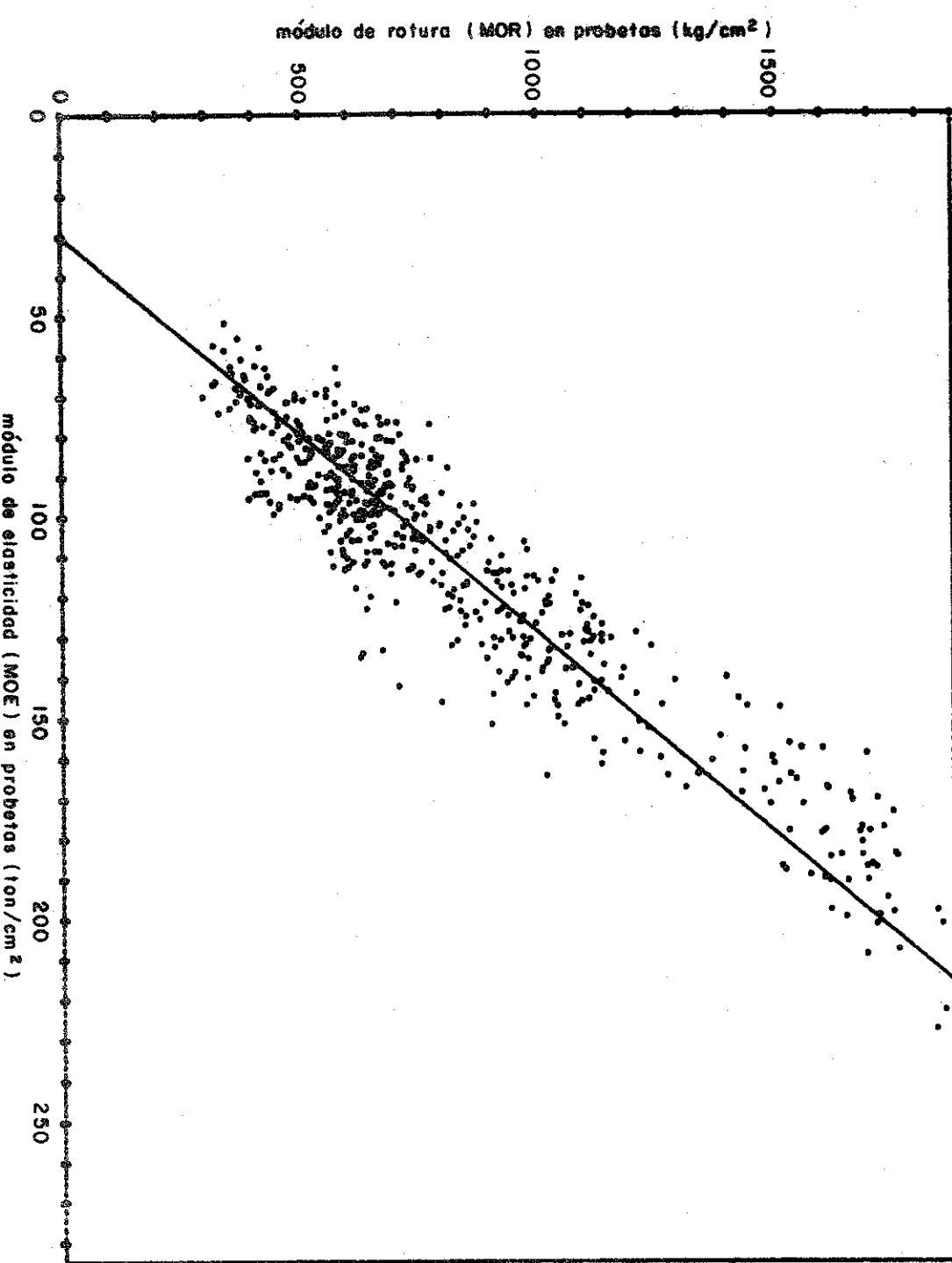


FIGURA 26 MOR VS. MOE EN PROBETAS PEQUEÑAS LIBRES DE DEFECTOS

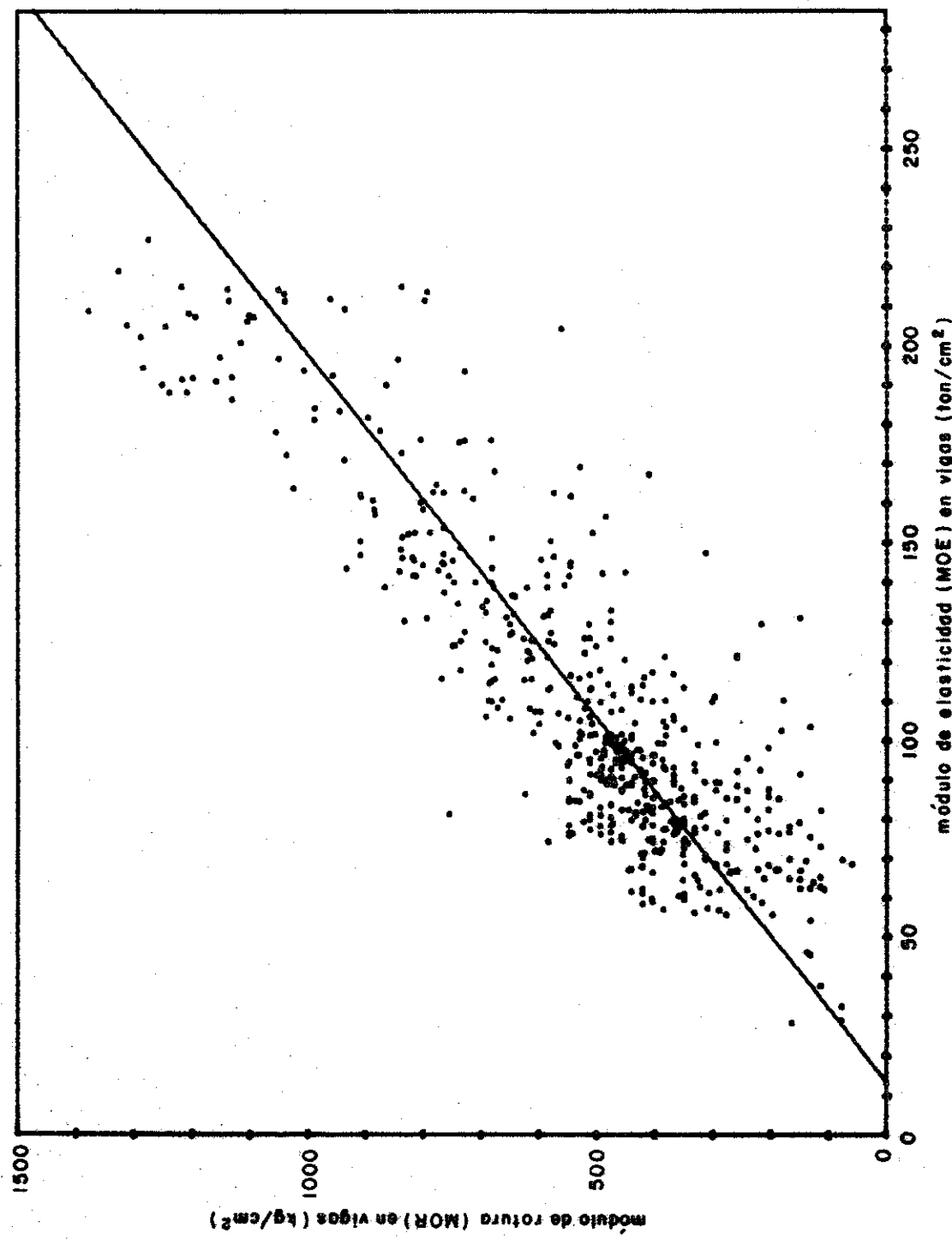


FIGURA 27 MOR VS. MOE PARA EL CONJUNTO DE 526 VIGAS

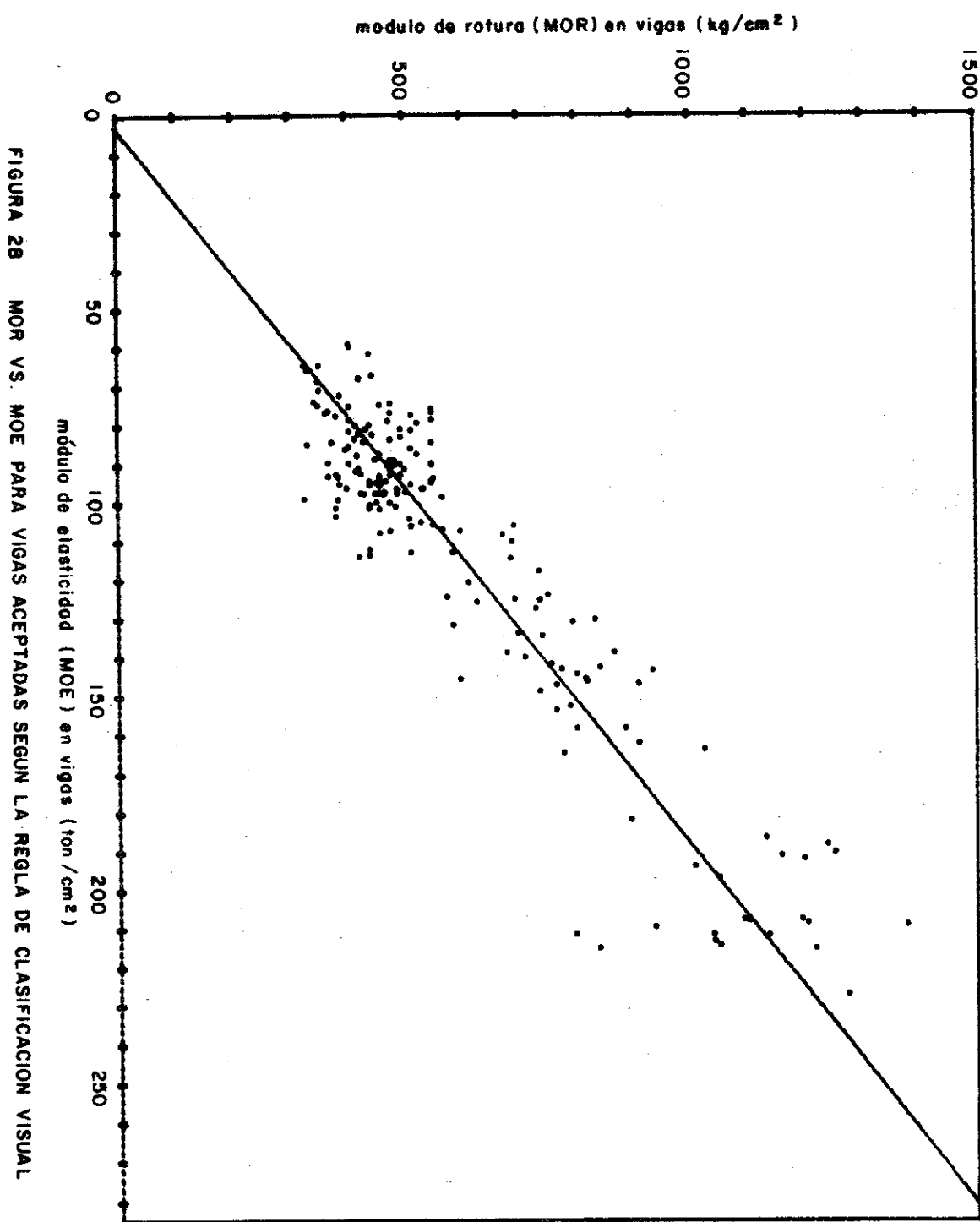


FIGURA 28 MOR VS. MOE PARA VIGAS ACEPTADAS SEGUN LA REGLA DE CLASIFICACION VISUAL

## 5. INFLUENCIA DE DEFECTOS EN LA RIGIDEZ Y RESISTENCIA DE VIGAS

### 5.1 Defectos más Significativos

Por su frecuencia e influencia en la resistencia y la rigidez, el defecto más importante en las vigas de las especies estudiadas es la inclinación del grano. Aproximadamente 70% de las vigas ensayadas presentaron inclinaciones del grano, en diversos grados de magnitud o extensión. Se incluyen en éstas las vigas en las que la inclinación del grano observado en la superficie fue una manifestación del grano entrecruzado. En 190 vigas (36% del total) se presentaron inclinaciones mayores que 1/8, el máximo permitido por la Regla de Clasificación Visual. Sólo en 90 de éstas (17% del total) se presentaron inclinaciones mayores que 1/8 en la zona central, más esforzada.

Las distorsiones locales en la orientación del grano debidas a la presencia de nudos se consideran en la Regla de Clasificación como un defecto diferente. La tolerancia en este caso se refiere al diámetro (medio) del nudo, especificándose distintos límites para nudos sanos y para nudos huecos y/o atacados. Se observaron nudos sanos en 120 vigas (23%); en 40 de éstas los nudos fueron calificados como no aceptables. Los nudos huecos y/o atacados fueron menos frecuentes (13.5% de las vigas), con mayor incidencia en las vigas secas.

Después del grano inclinado, las perforaciones pequeñas son el defecto más frecuente, particularmente en algunas especies, como la Manchinga. En 96% de las vigas de esta especie se observaron perforaciones pequeñas. En el conjunto de vigas de las 5 especies estudiadas 53% tuvieron perforaciones pequeñas, frecuentemente con ataque de hongos. En 103 casos (20% del total de vigas ensayadas), las perforaciones fueron abundantes y/o alineadas como para considerarse no aceptables según la Regla de Clasificación Visual.

Se observaron perforaciones grandes en 45% de las vigas de Estorake y en 40% de las vigas de Tornillo. Para otras especies este defecto

Se presentaron rajaduras en 10% de las viñas ensayadas en condición

de hongos (26%).

en caja y canto (28% de los casos) o cuando se combinó con ataques fue particularmente desfavorable cuando se presentó simultáneamente verde y 13% de aquellas ensayadas en condición seca. Este efecto se tuvo escamaduras en 4% de las viñas ensayadas en condición

Las propiedades mecánicas de la madera propiamente dicha, quebradizo tuvo efecto notorio en la resistencia. Por otro lado, la presencia de alburra incidido en una mayor frecuencia de ataques biológicos, no tiene donde evidencia de menor rigidez o resistencia por el duramen de estas viñas se incluyó medula. Con pocas excepciones, el

En 17 viñas (3% del total) se observó duramen quebradizo. En 71%

por su asociación con ataques de hongos.

fue más frecuente en las viñas de Marupa (23% de los ensayos) y este rague (11%). Este efecto puede afectar grandemente la resistencia atacada por hongos xilofagos (60% de los casos). En 88% de las viñas con medula también se observaron nudos. La inclusión de medula aproximadamente 8% de las viñas incluyeron medula, frecuentemente atacada por hongos xilofagos (60% de los casos). En 88% de las viñas

de extracción y transporte.

La mayor frecuencia de este efecto depende no sólo de las técnicas pecie, sino también de la procedencia de la madera y de las técnicas catahuas amarillas, 4 de Tormitillo, 1 de Machinaga y 4 de Estorague. Vieron fallas de compresión antes de ensayar (4 de Marupa, 18 de rigidesz fueron muy perjudiciales a la resistencia. El efecto en las ensayadas fue menos marcado. De las 526 viñas aquí estudiadas 30 tu-

Con pocas excepciones, las fallas de compresión observadas antes de

grado no aceptable.

fue menos frecuente. De las 526 viñas ensayadas, 15% tuvieron perforaciones grandes aceptables y aproximadamente 6% el mismo efecto en

verde y en 15% de las vigas secas. En total, 30 vigas tuvieron rajaduras inaceptables según la Regla de Clasificación Visual; sin embargo, sólo en 3 casos las rajaduras fueron el defecto causante de la falla. Aproximadamente 10% de las vigas tuvieron grietas de secado. En 10 vigas las grietas fueron calificadas como no aceptables, pero en ningún caso causaron reducciones apreciables en la resistencia o la rigidez.

Diversos defectos de alabeo fueron corregidos con garlopa al habilitarse las vigas. No obstante esto, antes de los ensayos se observaron arqueaduras en 27% de las vigas y encorvaduras con una frecuencia de 12%. No se observaron torceduras o abarquillado. Como podía preverse, la encorvadura no tuvo efecto en las propiedades mecánicas de las vigas. La arqueadura tuvo posiblemente influencia en el pandeo lateral-torsional, aunque sólo 18% de las vigas con este defecto fallaron por pandeo.

En las secciones siguientes se analiza en mayor detalle la influencia de los defectos de cada tipo. Diversas tablas que comparan las propiedades mecánicas de vigas con y sin estos defectos se presentan en el apéndice E.

## 5.2 Médula

Este defecto se considera aceptable cuando la médula incluida es pequeña y no presenta deterioro, pudriciones, perforaciones o rajaduras. La Regla de Clasificación Visual no especifica dimensiones máximas para lo que puede considerarse médula pequeña. Sin embargo, el criterio utilizado para los ensayos que aquí se presentan (diámetro máximo 1 cm, longitud máxima 50 cm) parece ser adecuado (ver tablas E.1 y E.25).

Con excepción de una viga de Tornillo, cuya forma de falla no tuvo relación con este defecto, las vigas con médula aceptable tuvieron

MOR similar al MOR de viñas sin medula. Por otro lado, las viñas con medula no aceptable tuvieron MOR significativamente menor, con reducciones del orden de 50% en el promedio para algunas especies. Para el factor de Calidad (razón MOR viñas/MOR probetas) los resultados fueron análogos. Comparando los resultados obtenidos para las viñas recicladas pero sin medula, con los correspondientes a viñas dos fueron análogos. Compartiendo los resultados obtenidos para las viñas recicladas pero sin medula, con las correspondientes a viñas con medula no aceptable tuvieron MOR significativamente menor, con 526 ensayadas, tuvo una falla directamente relacionada con la presencia de medula (y la inclinación del grano).

La influencia de la medida en el MOE y en la razón MOE viñas/MOE probetas es menos importante, aunque se aprecia también en viñas con medida aceptable. La medida de clasificación para no permitir este efecto, la proporción de viñas recicladas se incrementaría muy poco (0,4% para la población estudiada). Esto se debe a que las viñas con medida presentan por lo general otros defectos, frecuentemente no aceptables. Tal modificación parece conveniente, ya que evitaria la inclusión de una parte del arbol muy susceptible de ataques biológicos.

Los resultados obtenidos para el MOR no son consistentes, observando que las propiedades mecánicas de viñas con y sin duramen quiebradizo, no así en las de Tomillo y Manchilinga (en las viñas de Catshua amarilla no se reducen en el MOR promedio de las viñas de Marupa y Estorade, se reducen en el MOR promedio de las viñas de Marupa y Estorade, pero no se presenta este efecto). Esta inconsistencia puede deberse a que las viñas de Tomillo y Manchilinga (en las viñas de Catshua amarilla no se reducen en el MOR promedio de las viñas de Marupa y Estorade, pero no se presenta este efecto).

### 5.3 Duramen quebradizo

Este efecto no se considera aceptable. Las tablas E.2 y B.26 compara-

a la no calificación del defecto, ni por su gravedad ni por su ubicación. En promedio, las vigas con duramen quebradizo tuvieron un Factor de Calidad menor en 20% al del resto de la población estudiada, lo que indica la influencia de este defecto en la resistencia.

La influencia en la rigidez, caracterizada por el MOE, es menor. No se observaron diferencias significativas entre la razón MOE vigas/MOE probetas de las vigas con duramen quebradizo y los correspondientes resultados para vigas sin este defecto.

#### 5.4 Grano Inclinado

Este defecto se considera aceptable si la inclinación no excede 1/8. Sin embargo, para la situación particular de un elemento sometido a flexión la influencia del grano inclinado depende también, en gran medida, de su ubicación, siendo más desfavorable cuando se presenta en la zona de máximo momento.

La tabla E.3 compara módulos de rotura y módulos de elasticidad para vigas con grano recto, con inclinación de grano aceptable y con inclinación de grano no aceptable en la zona central. En los tres casos, la referencia es el mayor defecto presente en esa zona. La tabla E.4 es similar, excepto que se refiere a la inclinación del grano en cualquier parte de la viga. Las tablas E.27 y E.28 contienen información análoga para el Factor de Calidad y la razón MOE vigas/MOE probetas.

Las vigas con inclinación de grano mayor que 1/8 en la zona central tuvieron MOR promedio entre 10% y 44% menor que el correspondiente promedio para vigas con grano recto. Defectos similares en las zonas laterales influyeron mucho menos en el MOR. Las inclinaciones de grano moderadas, independientemente de su ubicación, tuvieron poco efecto en el MOR.

El efecto de la inclinación del grano en el MOE fue menor que el ob-

La orientación de cortes de las viñas tuvo cierta influencia en el manejo o menor efecto de la inclinación del grano observado en las caras o en el canto. La tabla 5.1 presenta algunas resultados para viñas con grano inclinado no aceptable en la zona central. En las viñas con grano inclinado se observó que para aquellas con grano en el canto, se tuvo un promedio 6% menor que para aquellas con grano recto. Para viñas con grano inclinado no aceptable en la zona central, se tuvo un promedio 6% menor que para aquellas con grano recto. Sin embargo, para 90 viñas en las que se tuvo una inclinación de grano no aceptable en la zona central, más esforzada, el factor de calidad promedio se redujo en 18% (14% para las viñas ensayadas en condición verde, 19% para aquellas ensayadas en condición seca) que para aquellas en las que se tuvo una inclinación de grano recto. El efecto del grano inclinado en la razón MOE viñas/MOE probetas fue muy similar a los de las viñas con grano recto. Para las viñas con grano inclinado moderado tuvieron factores de calidad similares a las viñas con grano inclinado moderado.

El efecto del grano inclinado en la razón MOE viñas/MOE probetas fue menor. Para viñas con grano inclinado no aceptable en la zona central, se tuvo un promedio 6% menor que para aquellas con grano recto. Sin embargo, para las viñas en las que se tuvo una inclinación de grano no aceptable en la zona central, más esforzada, el factor de calidad promedio se redujo en 18% (14% para las viñas ensayadas en condición verde, 19% para aquellas ensayadas en condición seca) que para aquellas en las que se tuvo una inclinación de grano recto. Esta reducción fue algo más pronunciada en las viñas ensayadas en condición verde (9%).

Las viñas con grano inclinado moderado tuvieron factores de calidad similares a las viñas con grano recto. Para las viñas con grano inclinado moderado tuvieron factores de calidad similares a las viñas con grano recto. Sin embargo, para 90 viñas en las que se tuvo una inclinación de grano no aceptable en la zona central, más esforzada, el factor de calidad promedio se redujo en 18% (14% para las viñas ensayadas en condición verde, 19% para aquellas ensayadas en condición seca) que para aquellas en las que se tuvo una inclinación de grano recto. El efecto del grano inclinado en la razón MOE viñas/MOE probetas fue menor. Para viñas con grano inclinado no aceptable en la zona central, se tuvo un promedio 6% menor que para aquellas con grano recto. Sin embargo, para las viñas en las que se tuvo una inclinación de grano no aceptable en la zona central, más esforzada, el factor de calidad promedio se redujo en 18% (14% para las viñas ensayadas en condición verde, 19% para aquellas ensayadas en condición seca) que para aquellas en las que se tuvo una inclinación de grano recto. Esta reducción fue algo más pronunciada en las viñas ensayadas en condición verde (9%).

TABLA 5.1 VALORES MEDIOS DEL FACTOR DE CALIDAD Y LA RAZÓN MOE VIGAS/MOE PROBETAS PARA VIGAS CON DIVERSAS ORIENTACIONES DE CORTE Y CON GRANO INCLINADO EN LA ZONA CENTRAL

A. FACTOR DE CALIDAD (MOR vigas/MOR probetas)

Orientación de Corte	Radial			Tangencial			Oblicua *		
	n	Fc	n	Fc	n	Fc	n	Fc	
Vigas con grano recto en la zona central	59	.66	118	.64	76	.65,			
Vigas con inclinación de grano aceptable en caras	39	.72	61	.69	45	.71			
Vigas con inclinación de grano aceptable en canto en compresión	27	.68	30	.65	28	.63			
Vigas con inclinación de grano aceptable en canto en tracción	19	.65	24	.71	22	.67			
Vigas con inclinación de grano no aceptable en caras	11	.45	30	.51	24	.55			
Vigas con inclinación de grano no aceptable en canto en compresión	7	.55	9	.57	10	.50			
Vigas con inclinación de grano no aceptable en canto en tracción	7	.51	5	.67	10	.48			
Vigas con inclinación de grano no aceptable simultáneamente en cara y canto en compresión	2	.51	2	.46	7	.52			
Vigas con inclinación de grano no aceptable simultáneamente en cara y canto en tracción	4	.43	3	.62	3	.53			

TABLA 5.1 (Continuación)

B. RAZON MOE VIGAS/MOE PROBETAS

Orientación de Corte		Radial n R	Tangencial n R	Oblícuas n R	*
Vigas con grano recto en la zona central					
Vigas con inclinación de grano aceptable en caras	59	.99	118	.99	76 .98
Vigas con inclinación de grano aceptable en canto en compresión	39	.98	61	.99	45 .97
Vigas con inclinación de grano aceptable en canto en tracción	27	.99	30	.99	28 .96
Vigas con inclinación de grano no aceptable en caras	19	.99	24	.99	22 .95
Vigas con inclinación de grano no aceptable en canto en compresión	11	.94	30	.93	24 .89
Vigas con inclinación de grano no aceptable en canto en tracción	7	.95	9	1.02	10 .82
Vigas con inclinación de grano no aceptable simultáneamente en cara y canto en compresión	7	1.01	5	.99	10 .93
Vigas con inclinación de grano no aceptable simultáneamente en cara y canto en tracción	2	.97	2	1.15	7 .82

\* Se incluyen en este grupo las vigas con orientación de corte entre radial y oblicua y entre tangencial y oblicua.

## 5.5 Nudos Sanos

La Regla de Clasificación permite nudos sanos con diámetro no mayor que 1/4 del ancho de la cara o 4 cm. No se permiten nudos arracimados.

Para elementos sometidos a esfuerzos no uniformes, como es el caso para los ensayos aquí considerados, la influencia de los nudos en la rigidez y resistencia depende no sólo de su magnitud, sino también de su ubicación. En esta sección se hace referencia a la zona de máximos esfuerzos de compresión (zona 2), a la de máximos esfuerzos de compresión (zona 8) y a las de máximos esfuerzos cortantes (zonas 4 y 6). Las tablas E.5 a E.7 y E.29 a E.31 comparan algunos resultados.

Para las vigas ensayadas en condición verde los nudos sanos ubicados en la zona 2 tuvieron mayor efecto que nudos sanos de dimensiones similares en la zona 8; lo contrario ocurrió para las vigas en condición seca. Esto es consistente con la tendencia general observada en la forma de falla: las vigas verdes fallaron más frecuentemente en compresión que las vigas secas. El efecto de los nudos sanos ubicados en las zonas de máximos esfuerzos cortantes fue mayor en las vigas secas.

La información disponible es limitada y no permite cuantificar el efecto de los nudos en el MOR y el MOE.

El Factor de Calidad promedio de las vigas con nudos no aceptables en la zona 2 fue 37% menor que el de las vigas sin este defecto.

Para la zona 8 la reducción fue 43%, mientras que para vigas con nudos en las zonas 4 ó 6 la reducción fue 20%. Los correspondientes porcentajes para la razón MOE vigas/MOE probetas fueron 14, 10 y 7%, respectivamente.

Las vigas con nudos sanos aceptables y el subconjunto de vigas acep-

En promedio, el Factor de Calidad de las vigas con nudos huecos no aceptables en La zona 8 fue 38% menor que el de vigas sin este defecto. Para vigas con el mismo defecto en La zona 2 la reducción fue

millas más a los de vigas aceptadas pero sin nudos. "nudos huecos", que no tienen ataques de hongos xilófagos, si son si-gos xilófagos. Los resultados para el grupo de "vistas aceptadas con muchos casos corresponden a nudos pedidos pero con ataques de hongos para el grupo de "vistas con nudos huecos huecos", que en basos por ser atacados. Esto explica algunas variaciones relativamente gruesas para el grupo de "vistas con nudos huecos acceptables" que entre los nudos huecos sanos y aquellos incluidos en este distinción entre los nudos huecos huecos, sin hacer tablas o no aceptables solo en función de sus dimensiones, como acepta E.34. Para estas tablas los nudos han sido calificados como aceptables antes mencionadas se comparan en las tablas E.8 a E.10 y E.32 zonas antes mencionadas de las vigas con y sin nudos huecos en las propiedades mecánicas de las vigas con y sin nudos huecos en las

zona (zona 2) y en las zonas de máximos esfuerzos cortantes (4 y 6). Se permiten nudos huecos o deteriorados con un diámetro no mayor que 2 cm 6 1/8 del ancho de la cara. Los nudos huecos fueron más desfavorables cuando se ubicaron en la zona de máximos esfuerzos de tracción (zona 8), tanto en las vigas en condiciones verde como en aquella ensayadas en condición seca. También fueron aceptables los efectos de nudos huecos en la zona de máxima esfuerzos de compresión (zona 2) y en las zonas de máximos esfuerzos cortantes (4 y 6).

## 5.6 Nudos Huecos, Deteriorados o Atacados

Calidad similar a los de vigas del mismo grupo pero sin nudos, excepto cuando los nudos se ubicaron en las zonas de máxima esfuerzo cortante. Para las vigas con nudos aceptables en estas zonas (4 y 6), el Factor de Calidad fue 12% menos que el de vigas de calidad similar pero sin nudos. Esto indica que la Regla de Clasificación es menos exigente para nudos (en ciertas ubicaciones) que para otros efectos y una revisión de las tolerancias para nudos podría ser conveniente.

29%, mientras que si el defecto se presentó en las zonas 4 ó 6 se tuvo un promedio menor en 32%. En la razón MOE vigas/MOE probetas los porcentajes de reducción fueron 13, 9 y 14%. Es interesante observar que el efecto que sobre la rigidez tienen los nudos huecos en las zonas 4 ó 6 es más pronunciado que el de otros defectos con la misma ubicación (incluso ataques de hongos xilófagos).

### 5.7 Fallas de Compresión

Aunque la información disponible corresponde a pocas vigas, es evidente la influencia de este defecto en la resistencia y, en menor medida, en la rigidez (ver tablas E.11 y E.35).

Con pocas excepciones, el MOR de las vigas con este defecto fue muy inferior al correspondiente promedio para vigas de la misma especie en la misma condición. Las excepciones se dieron cuando las fallas de compresión estuvieron localizadas en zonas poco esforzadas. Sin embargo, debe tenerse presente que las fallas de compresión visibles son por lo general indicadores de defectos similares no visibles, que podrían ubicarse en zonas más esforzadas. Además, la Regla de Clasificación está orientada a un control de calidad del material, sin referirse a un uso específico. Por ello, las vigas con defectos de este tipo deben ser descartadas.

El Factor de Calidad de las vigas con fallas de compresión fue en promedio inferior en 30% al del resto de vigas, e incluso inferior en 23% al de las vigas rechazadas por otros defectos, con un mínimo de 0.09 (para una viga cuya falla estuvo relacionada directamente con una falla de compresión preexistente). La influencia de las fallas de compresión fue más notoria en las vigas ensayadas en condición seca al aire.

Se tuvo poca evidencia de interacción entre fallas de compresión y otros defectos. 57% de las vigas con fallas de compresión presen-

## 5.8. Performaciones Pequeñas

La influencia de las fallas de compresión en la rigidez es menor que en la resistencia. En promedio, la razón M0E/vigas/M0E probe-tas para las vigas con este efecto fue 88% del promedio para todas las vigas. También en este caso se obtuvo un valor menor para las vigas secas.

Tarón también otros efectos no aceptables. Estas tuvieron un factor de calidad 6% menor al obtenido para las vigas que, de no ser por las fallas de compresión, habrían sido aceptadas.

Solo se permiten performances pequeñas (de diámetro no mayor que 3 mm) si se presentan en forma moderada y no están alineadas. Se ha considerado aquí como tolerancia 10 performances por decímetro cuadrado. Algunos resultados obtenidos para vigas con y sin este efecto drado. Algunas performances que tolerancia 10 performances por decímetro cuadrado. Para las vigas de especies de menor densidad, particularmente mas importante para las especies de menor densidad, particularmente la Martupa. Para las vigas de esta especie, la reducción de el MOR promedio que puede atribuirse a la presencia de perforación es pequeña no aceptable es entre 36% y 54%, dependiendo de la ubicación del defecto. En general, las performances tuvieron mayor influencia cuando se presentaron en la zona de máximos esfuerzos de cación de la tubería.

Los resultados obtenidos para el Factor de Calidad confirman la mayor influencia de las performances en el cañón en tracción. Los efectos de performances en las zonas de máximos esfuerzos cortantes (4 y 6) son en cierta medida sorprendentes, si se considera que para (4 y 6) son en cierta medida sorprendentes, si se considera que para las dimensiones ensayadas los esfuerzos en estas zonas son viegas de las dimensiones ensayadas.

Los resultados obtenidos para el Factor de Calidad confirman la menor influencia de las performances en el cañón en tracción. Los efectos de performances en las zonas de máximos esfuerzos cortantes (4 y 6) son en cierta medida sorprendentes, si se considera que para las dimensiones ensayadas los esfuerzos en estas zonas son viegas de las dimensiones ensayadas.

y E.36 a E.38.

En las zonas más esfuerzadas se resumen en las tablas E.12 a E.14 lo que se observó en las performances obtenidas para vigas con y sin este efecto drado. Algunas performances que tolerancia 10 performances por decímetro cuadrado que como resultado de la perforación se obtuvieron en las zonas de menor densidad, particularmente la Martupa. Para las vigas de esta especie, la reducción de el MOR promedio que puede atribuirse a la presencia de perforación es entre 36% y 54%, dependiendo de la ubicación del defecto.

Las performances en proporción a los admisibles.

Aunque los Factores de Calidad son menores para las vigas secas, la reducción debida a perforaciones pequeñas parece ser mayor para las vigas verdes. También puede verse que, en promedio, las vigas con perforaciones aceptables tuvieron Factor de Calidad 8% menor que el correspondiente promedio para vigas sin perforaciones pequeñas. Esto se explica por la frecuente asociación de este defecto con ataques de hongos; si sólo se consideran los resultados para vigas aceptadas, con y sin perforaciones pequeñas, no se observan diferencias.

Los efectos de las perforaciones pequeñas en la rigidez fueron porcentualmente menores.

### 5.9 Perforaciones Grandes

La Regla de Clasificación permite hasta un máximo de tres perforaciones grandes (de insectos) por metro lineal. En las tablas E.15 a E.17 y E.39 a E.41 se comparan propiedades mecánicas de vigas con y sin este defecto en las zonas sometidas a los máximos esfuerzos de compresión, tracción o corte.

Excepto en los resultados para las vigas de Estoraque, la influencia que las perforaciones grandes tienen sobre el MOR es apreciable. En cambio, no se tuvieron reducciones significativas en las rigideces.

Los promedios de Factores de Calidad de las vigas con perforaciones grandes no aceptables fueron entre 5% y 26% menores que aquellos de vigas sin este defecto. Para las vigas ensayadas en condición verde los mayores efectos correspondieron al caso de perforaciones grandes ubicadas en el canto en compresión (zona 2). En las vigas secas el defecto fue más crítico en el canto en tracción (zona 8).

En la razón MOE vigas/MOE probetas no se observaron diferencias significativas, excepto cuando las perforaciones grandes estuvieron en las zonas de máximos esfuerzos cortantes (zonas 4 y 6). En este caso la reducción atribuible a perforaciones grandes no aceptables fue de 5%

Numerosas viñas con argüedadura aceptable tuvieron MOR y Factor de Calidad bajos en términos relativos a los de viñas de la misma especie y calidad.

Para los ensayos de viñas aquí considerados la encorvadura no tuvo efectos apreciables en la rigidez o resistencia. La argüedadura si afectó la resistencia, particularmente en las viñas de las especies más densas, pero prácticamente no influyó en la rigidez (ver tablas E.21 y E.45).

La forma más frecuente de alabeo fue la argüedadura, es decir la curvatura gla de Clasificación si no excede 3 cm por cada 3 m. La encorvadura (curvatura en la dirección fuerte) se permite hasta un máximo de 1 cm por cada 3 m. El efecto en su dirección debil. Este efecto es permitido por la Regla de Elemento en su dirección debil.

### 5.11 Alabeos

En promedio, las viñas con ataques de hongos xilofágos en las zonas de máximos esfuerzos de tracción o compresión tuvieron un Factor de Calidad menor que el de viñas sin hongos o con hongos cromogénos. Cuando el 31% menor que el de viñas sin hongos se presentó en las zonas de máximos esfuerzos de compresión o tracción o compresión tuvieron un Factor de Calidad de corto efecto fue algo menor (25%). Las reducciones observadas en la razón MOR viñas / MOR probetas fueron del orden de 8%.

Las viñas con ataques de hongos cromogénos tuvieron propiedades mecánicas comparables a las del resto de la población estudiada, no así aquellas con hongos xilofágos. Este efecto tuvo mayor incidencia cuando se ubicó en las zonas más esforzadas (ver tablas E.18 a E.20 y E.42 a E.44). Su influencia fue aún mayor cuando se combinó con otros defectos que facilitaron la penetración de los hongos xilofágos en la madera, tales como medula, nudos y escarchón de los hongos xilofágos en la madera, tal vez como resultado de ataques y en menor medida, perforaciones, grietas y rajaduras.

La Regla de Clasificación no es suficientemente explícita en lo relativo a ataques de hongos. Por su naturaleza, los hongos cromogénos adecuadamente idénticos debieran considerarse aceptables. Los elementos con ataques de hongos xilofágos deberían descartarse, aun cuando en apariencia el ataque sea sólo superficial.

### 5.10 Ataques de Hongos

Algo similar se observa en el grupo de vigas cuya falla por pandeo podría relacionarse con una arqueadura calificada como aceptable. Esto indica que la tolerancia en la Regla de Clasificación es excesiva, más aún si se considera que la arqueadura no es tan crítica en un elemento sometido a flexión como lo sería en elementos a compresión o flexocompresión.

Si se hubiera considerado un límite de 1 cm por cada 3 m aproximadamente 42% de las arqueaduras habrían sido calificadas como no aceptables (contra 5.5% con la tolerancia actual). Esto implicaría rechazar sólo 3% más vigas, dado que la mayor parte de las vigas con arqueadura también tuvieron otros defectos, frecuentemente no aceptables. Por otro lado, aunque los valores medios de MOR y Factor de Calidad serían poco afectados, los valores mínimos aumentarían significativamente. Por ejemplo, el Factor de Calidad mínimo para vigas cuya forma de falla tuvo relación con arqueadura aceptable sería 0.53, en lugar del 0.30 actual.

Si la tolerancia fuera de 1.5 cm en 3 m, 25% de las arqueaduras habrían sido no aceptables y se habrían rechazado 1.5% más vigas que con la regla actual.

#### 5.12 Grietas de Secado

Este defecto se permite si las grietas son escasas y poco profundas (máximo 2 mm). Las grietas fueron poco frecuentes en las vigas ensayadas; en ningún caso tuvieron relación directa con la falla. En las tablas E.22 y E.46 se comparan propiedades mecánicas de vigas con grietas en las zonas de máximo esfuerzo cortante con las correspondientes propiedades de vigas sin este defecto.

Aunque algunas vigas con grietas tuvieron baja resistencia, el efecto de este defecto fue en general poco importante. El MOE fue similar o aun mayor que para el resto de vigas de la misma especie y calidad.

### 5.13 Rajaduras

La Regla de Clasificación permite rajaduras sólo en un extremo del elemento y con una longitud no mayor que el ancho de la cara. Esto permite que muy conservador para elementos sometidos a flexión (con la relación Iuz/peralte de las vigas ensayadas).

Las tablas E.23 y E.47 comparan propiedades mecánicas de las vigas con las tablas E.23 y E.47 comparan propiedades mecánicas de las vigas con las tablas E.24 y E.48 comparan propiedades mecánicas de las vigas sin escamadura y con este efecto en grado aceptable o no aceptable.

Este efecto es el más importante en el grupo de separaciones del lino. La Regla de Clasificación permite escamaduras superficiales, para las al ejes de la pieza y no mayores que  $1/4$  de su longitud. Las tablas E.24 y E.48 comparan propiedades mecánicas de las vigas sin escamadura para otras se presentan con alto contenido de humedad.

### 5.14 Escamaduras o Acepilladuras

Los resultados obtenidos para el Factor de Calidad y para la razón MOR/MOE probetas fueron cualitativamente similares a los obtenidos para MOR y MOE, con pocas excepciones. Contrariamente a lo observado para otros efectos, la "influencia de las rajaduras" fue más notoria para las vigas ensayadas en condición verde. Esto es consistente con la hipótesis del parafuso anterior, ya que las rajaduras no debilitan las vigas ensayadas en condición verde. Esto es consistente para las vigas ensayadas en condiciones de las rajaduras no debilitadas para otros efectos, ya que las rajaduras con alta contenido de humedad.

Este efecto es el más importante en el grupo de separaciones del lino. La Regla de Clasificación permite escamaduras superficiales, para las al ejes de la pieza y no mayores que  $1/4$  de su longitud. Las tablas E.24 y E.48 comparan propiedades mecánicas de las vigas sin escamadura y con este efecto en grado aceptable o no aceptable.

Las vigas con escamadura no aceptable tuvieron mucho menor MOR que las vigas de la misma especie y calidad ensayadas en igual condición, con reducciones de hasta 60%. También las vigas con escamaduras aceptables tuvieron, en promedio, resistencias menores que el resto de la población de la misma especie. Esto puede explicarse por la frecuente asociación de este defecto con ataques de hongos xilófagos (26% de los casos) y con inclinación de grano (74%, en 70% de éstas mayor que 1/8).

Los efectos en el MOE sólo fueron apreciables para escamaduras no aceptables. Se observaron reducciones entre 3% y 10%, excepto en dos vigas de Catahua amarilla, que tuvieron 75% y 38% del correspondiente MOE promedio.

Los resultados obtenidos para el Factor de Calidad y la razón MOE vigas/MOE probetas fueron similares a los obtenidos para MOR y MOE. En promedio, las vigas con escamaduras no aceptables tuvieron un Factor de Calidad 27% menor y una reducción de 8% en la razón MOE vigas/MOE probetas.

Es importante recalcar que las escamaduras fueron especialmente perjudiciales cuando tuvieron ataques de hongos xilófagos. Para vigas con esta combinación de defectos el Factor de Calidad promedio fue 0.39, contra 0.60 para las vigas con escamaduras (incluso no aceptables) pero sin ataques de hongos. Para las vigas con hongos xilófagos, pero sin escamaduras el promedio fue 0.49.

Las escamaduras que afectaron simultáneamente cara y canto (y por lo tanto no fueron superficiales), tuvieron mayor efecto en la resistencia. Por ejemplo, 8 vigas presentaron escamaduras que involucraron una cara y el canto en tracción; éstas tuvieron un Factor de Calidad promedio de 0.38. De estas vigas, 5 presentaron ataque de hongos xilófagos. El valor medio del Factor de Calidad en este último grupo fue 0.27.

La Regla de Clasificación Visual del PDT-REPORT resulta efectiva en el eliminar un efecto muy importante en las propiedades mecánicas. Esto se debe a que la rotura de los correspondientes probetas. Sin embargo, algunas modifica-  
ciones a la Regla de Clasificación propuesta parecen convenientes:  
- NO aceptar elementos que incluyan medula. Esto significa inclu-  
- mentar muy poco el porcentaje de madera rechazada. Por otro lado,  
- se elimina una zona del árbol muy susceptible de ataques biológicos.  
- Revistar las tolerancias para nudos sanos. Esto es necesario, para  
- ser consistentes con lo exigido para otros defectos. También debe-  
- cos.

El grano inclinado es el efecto más frecuente e importante desde el punto de vista de las propiedades mecánicas. Las perforaciones produ-  
- yes cuando se presentan asociadas con ataques de hongos. Otros defec-  
- tos son muy frecuentes en algunas especies y particularmente perjudicia-  
- las que favorecen los ataques de hongos xilofagos son la inclusión de medula, los nudos y las escamaduras. Las fallas de compresión tienen  
- elimitinar un gran porcentaje de las viñas con factor de calidad bajo, es decir con modulo de rotura bajo en términos relativos a los modulos de rotura de las correspondientes probetas. Sin embargo, algunas modifi-  
- caciones a la Regla de Clasificación propuesta parecen convenientes:

Los defectos tienen más influencia en la resistencia que en la dispersión, excepto cuando solo se consideran viñas previamente clasifi-  
- cadas. El modulo de elasticidad en probetas es un buen predictor del desy la resistencia de viñas con defectos. También en este caso, si correspaldiente modulo de rotura, pero no ocurre lo mismo entre la rigi-  
- dad y la corrección mejorablemente. Solo se consideran viñas aceptadas por la Regla de Clasificación Vi-  
- sual La corrección mejora apreciablemente.

rían evitarse los nudos en aristas, que por lo general implican dis continuidades en el grano.

- Limitar las arqueaduras a 1/300 de la longitud del elemento. La tolerancia actual es excesiva, particularmente para elementos sometidos a compresión o flexocompresión.

La Regla de Clasificación debería ser también más explícita en rechazar ataques de hongos xilófagos, en albura o duramen, aun cuando sean superficiales.

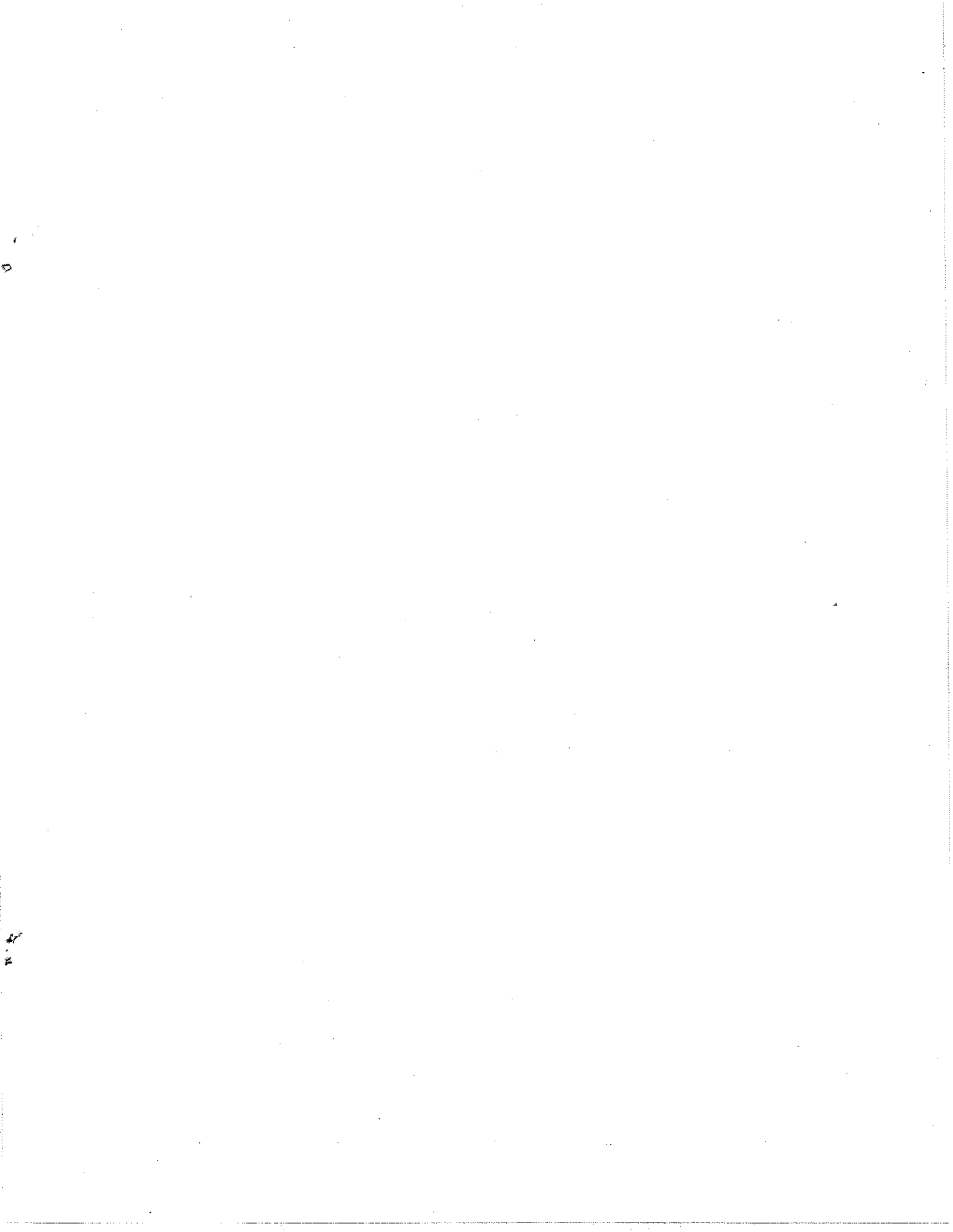
Dada la poca influencia de los defectos en la rigidez, la Regla de Clasificación Visual no es igualmente eficaz para separar las vigas de menor MOE. Es importante señalar que cualquier modificación a la regla propuesta sería igualmente poco efectiva. El 5° percentil del MOE de vigas es del orden de 70% del correspondiente promedio, independiente de la calidad de las vigas. Esto es consistente con lo propuesto en el Manual de Diseño para Maderas del Grupo Andino (2) para el MOE.

Por otro lado, si se tratara de establecer una regla de clasificación visual exclusiva para elementos sometidos a flexión, que constituyen un alto porcentaje de los elementos utilizados en viviendas pequeñas y cuyo diseño está controlado por rigidez, ésta podría ser mucho más simple que la Regla de Clasificación actual, limitándose a aquellos defectos que pueden afectar la durabilidad.

1. Proyectos Andinos de Desarrollo Tecnológico en el Área de Los Recursos Forestales Tropicales (PADT-REPORT), 1982. "Manual de Diseño para Maderas del Grupo Andino".  
2. PADT-REPORT, 1982. "Manual de Diseño para Maderas del Grupo Andino".  
3. PADT-REPORT, 1981. "Descripción General y Anatomía de 105 Maderas del Grupo Andino".  
4. PADT-REPORT, 1980. "Estudio de Propiedades Físicas y Mecánicas de La Madera de 104 Especies de Los bosques Tropicales de La Subregión Andina. Edición Preliminar, JUNAC, Lima.  
5. PADT-REPORT, 1982. "Tablas de Propiedades Físicas y Mecánicas de La Madera de 20 Especies de Bolivia". JUNAC, Lima.  
6. PADT-REPORT, 1982. "Tablas de Propiedades Físicas y Mecánicas de La Madera de 24 Especies de Colombia". JUNAC, Lima.  
7. PADT-REPORT, 1982. "Tablas de Propiedades Físicas y Mecánicas de La Madera de 20 Especies de Ecuador". JUNAC, Lima.  
8. PADT-REPORT, 1982. "Tablas de Propiedades Físicas y Mecánicas de La Madera de 20 Especies del Perú". JUNAC, Lima.  
9. PADT-REPORT, 1982. "Tablas de Propiedades Físicas y Mecánicas de La Madera de 20 Especies de Venezuela". JUNAC, Lima.

#### REFERENCIAS

10. American Society for Testing and Materials (ASTM), 1974. "Standard Methods of Static Tests of Timbers in Structural Sizes". ASTM D 198-67 (1974). Philadelphia.
11. American Society for Testing and Materials (ASTM), 1972. "Standard Methods of Testing Small Clear Specimens of Timber. Part II Secondary Methods". ASTM D 143-52 (1972). Philadelphia.
12. Comisión Panamericana de Normas Técnicas (COPANT), 1972, "Método de Determinación del Contenido de Humedad". Norma COPANT 460.
13. COPANT, 1972. "Método de Determinación del Peso Específico Aparente" Norma COPANT 461.
14. Bohannan, B. 1966. "Effect of Size on Bending Strength of Wood Members". USDA Forest Service, Research Paper FPL. 56
15. U. S. Forest Products Laboratory, 1974. "Wood Handbook: Wood as an Engineering Material". USDA Agriculture Handbook N° 72, rev. Washington, D.C.



## APENDICE A

## REGLA DE CLASIFICACION VISUAL DEL PADT-REFORT \*

<u>DEFECTOS</u>	<u>TOLERANCIAS</u>
<b>1. ALABEOS</b>	
- Abarquillado	No se permite
- Arqueadura	Se permiten 3 cm por cada 300 cm de longitud, o su equivalente: $h/L \leq 1\%$
- Encrvadura	Se permite 1 cm por cada 300 cm de longitud, o su equivalente: $h/L \leq 0.33\%$
- Torcedura	Se acepta sólo si es muy leve y en una sola arista
<b>2. ALBURA**</b>	Se permite albura sana no preservada hasta 25% de la pieza. Sin restricciones cuando está debidamente preservada. No se permite si está atacada por hongos xilófagos
<b>3. ARISTA FALTANTE</b>	Se permite en una sola arista, con un borde no mayor que 5 cm y una longitud máxima de 50 cm en elementos de 3 m, o su equivalente
<b>4. DURAMEN QUEBRADIZO</b>	No se permite
<b>5. ESCAMADURA</b>	Se acepta si es superficial, paralela al eje de la pieza y no mayor que 1/4 de su longitud
<b>6. FALLAS DE COMPRESSION</b>	No se permiten
<b>7. GRANO INCLINADO</b>	Se permite en cara o canto hasta un máximo de 1/8
<b>8. GRIETAS DE SECADO</b>	Se permiten en forma moderada y con 2 mm de profundidad máxima
<b>9. MEDULA**</b>	Se acepta si es pequeña, sana y/o tratada
<b>10. NUDOS</b>	
- Nudos sanos	Se permiten con diámetro máximo de 4 cm o de 1/4 del ancho de la cara. No se aceptan nudos arracimados
- Nudos huecos	Se permiten con diámetro de hasta 2 cm o 1/8 del ancho de la cara

## EFECTOS

A.2

### ANCHAS

#### PARENQUIMA DE BANDAS

No se acepta en piezas que van a ser sometidas a esfuerzos de compresión

### GRANDES

#### PERFORACIONES

Se permiten hasta un máximo de 3 agujeros por metro, no pasantes ni alineados

### RADADURAS

#### PERFORACIONES

Se permite solo en uno de los extremos y de una longitud no mayor que el ancho de la cara de la pieza

## TOLERANCIAS

- (\*) Esta versión de la Regla de Clasificación Visual, valida al momento de realizarse los ensayos, ha sido modificada posteriormente.
- (\*\*) Tolerancia modificada posteriormente a este estudio.

## APENDICE B

## DEFECTOS OBSERVADOS EN LAS VIGAS ENSAYADAS

Las tablas B.1 a B.5 indican los defectos observados en cada una de las vigas ensayadas.

El código de cada viga está compuesto por: especie, número de árbol, número de troza (de abajo hacia arriba) y número de viga (independientemente para cada troza). Los números asignados a cada especie son:

- 1 Tornillo (*Cedrelinga catenaeformis*)
- 2 Catahua amarilla (*Hura crepitans*)
- 3 Marupá (*Simarouba amara*)
- 4 Manchinga (*Brosimum uleanum*)
- 5 Estoraque (*Myroxylon peruiferum*)

Después del código de cada viga se indica su orientación de corte. Las letras R, T, O significan corte radial, tangencial u oblicuo, respectivamente. Donde figuran 2 letras se tuvo una orientación variable a lo largo de la viga. R\* indica vigas con orientación radial en los extremos pero tangencial en la zona central.

Las columnas con encabezamientos A, B, ...N, O corresponden a los diversos tipos de defectos considerados en la Norma de Clasificación Visual del PADT-REFORT (Apéndice A), en el orden siguiente:

- A Médula
- B Duramen quebradizo
- C Inclinación del grano
- D Nudo sano
- E Nudo hueco, suelto o deteriorado
- F Fallas de compresión
- G Perforaciones pequeñas
- H Perforaciones grandes
- I Hongos
- J Arqueadura

La información para defectos tales como nudos, perforaciones de insectos, ataque de hongos o grietas de secado se presenta en 9 columnas, que corresponde a 9 "zonas" de la viga. Estas zonas quedan definidas en una dirección por las secciones de apoyo y las secciones de aplicación de las cargas y en la otra dirección por los planos que dividen a la viga en tres partes y en tres primeras corresponden a 3 zonas del canto en compresión y las tres últimas a 3 zonas análogas del canto en tracción. En las 9 columnas intermedias se tiene información para 9 zonas de ambas caras.

Para escamaduras o acebolilladuras se han considerado 9 columnas que corresponden a tres zonas del canto en compresión, 3 zonas de las caras y 3 del canto den a tres zonas del canto en tracción. Para rajaduras se presentan dos columnas, una para cada extremo en tracción. Para rajaduras se presentan dos columnas, una para cada extremo.

En cada caso, los defectos observados han sido cuantificados. Un 1 indica un efecto aceptable según la Regla de Clasificación Visual, mientras que 2 indica defectos de magnitud o extensión no aceptables. En el caso de numeros indican números donde no se observó el efecto.

No se incluyen algunos defectos (parénquima bandeados, abarquillado, torque duro), que no se presentaron en las vigas estudiadas.

- K Encorvadura
- L Grietas de secado
- M Rajaduras
- N Escamaduras o acebolilladuras
- O Arista faltante

**FIGURA 29 ZONAS CONSIDERADAS PARA LA DESCRIPCION DE LOS DEFECTOS OBSERVADOS EN CADA VIGA**

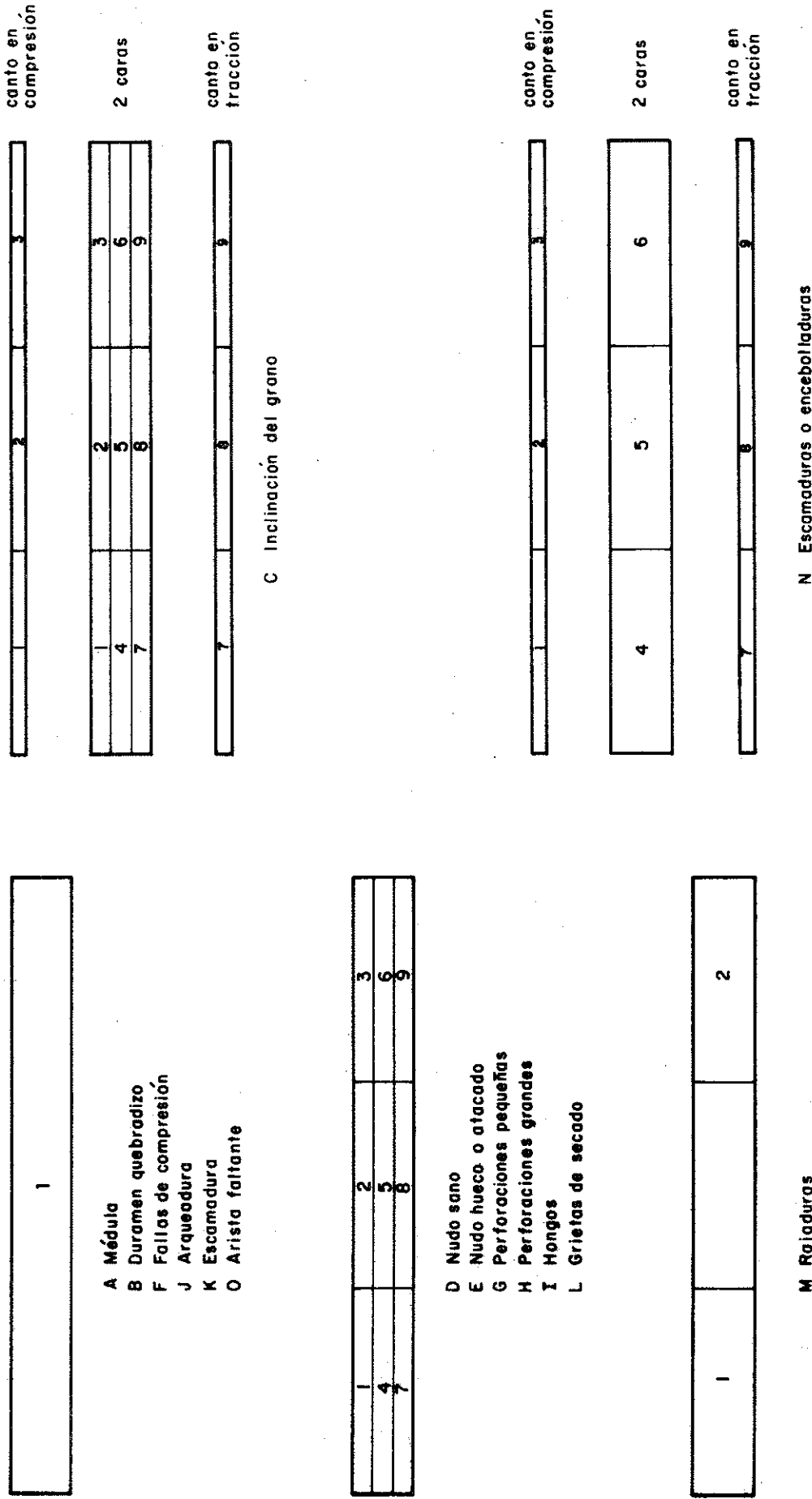


Tabla B.1

DEFECTOS OBSERVADOS EN LAS VIGAS DE MARIFIA (Sinarroba amara)

B.4

viga	A	B	C	D	E	F	G	H	I	J	K	L	M	N	O		
	1	1	123	123456789	789	123456789	123456789	1	123456789	123456789	123456789	1	1	123456789	12	123456789	1
3 112	0		1.	1.	1.	1.	1.	1.	1.	1.	1.	1.	1.	1.	1.	1.	1.
3 115	RT	2	11	1112.	1.		1.		1.	1.	211			11121.	2		
3 122	T	2												111111.	1		
3 212	T	2															
3 312	T			11.	2.		11.	1.	1.	1.	1.	1.	1.	1.	1.	1.	
3 322	R							2.	1.	1.	1.	1.	1.	1.	1.	1.	
3 412	T								1.								
3 512	T	2	2	11.	1.	1.	1.		1.								
3 515	T			11.	1.	1.	1.										
3 522	R			11.	1.	1.											
3 612	T			11.	1.	1.											
3 622	T																
3 712	RT	2		2.	11.	1.											
3 722	RT	2			2.	2.		22.									
3 725	T																
3 812	R																
3 825	T								2.								
3 826	OT									2.							
3 828	TR										1.						
3 82E	T										1.						
3 912	TR	2	2	1.		1.		1.	1.	1.	1.	1.	1.	1.	1.	1.	1.
3 922	T																
3 925	T																
3 932	T																
31012	TO	2	2			14.	22.	22.	1.	2.	2.	2.					
31022	TO	2								1.	1.						
31032	T	2		111	1.	11.			1.	1.							
31112	TO			11.	111	1.	1.										
31122	R			1.	1.				11.								
31125	R									2.							
31212	T	2		21.	11.	1.	1.	21.		3.	2.	2.					
31222	TU																
31225	OT																
31232	T	1		121	1.	1.	11.		1.	1.	2.						
31312	RO	1															
3111	O		1.						11.		1.	1.					

Tabla B. 1  
(continuacion)

DEFECTOS OBSERVADOS EN LAS VIGAS DE MARUPA (*Simarouba amara*)

Tabla B.1  
(continuación)

DEFECTOS OBSERVADOS EN LAS VIGAS DE MARUFA (Simarouba amara)

viga	A	B	C	D	E	F	G	H	I	J	K	L	M	N	O
3 827	OT		1.	2.		1.2	1.	2.							1.
3 829	TO	2	11	11	11	11				1111111	1	1111111	1		1
3 82A	O	2	1	11	11	11				1	11	1			22 22
3 82C	TO		111	111	111					1	1	222222			1
3 82D	T		2							11		222	1		1.
3 82F	T									1					2.
3 914	OR	2	2		2			4	4	1		2222			222222
3 915	TR		1	1.	1.	2.		1	1.	1		2. 2			2. 2.
3 921	T			1		1		2		1		11			2.
3 923	T									1					2.
3 924	T									1					
3 926	TR									1		2. 22			22. 2.
3 931	T			1.	1.					1	1.	1.			2.
3 933	T			1.	2.	21				111111	1		2.		11. 11
31011	OT	2		1	1.	21	21		21.	1.1.1	1.2				
31013	TR	1						21.	211			1.1			
31021	TR				21.	22.	2			2	2. 1.21	E22. 12.			
31023	T					21.	21.	21							
31031	T					2			1		1.	12.			
31033	T								1	1.	2.				
31111	RO								21.	1.	1.	2.			
31113	TO	1								1.		11.			
31121	O						2			111222222					
31123	O									111222222	1.		2.		
31124	O									1111111	1				
31126	TR								2	11112112	21.	1221.			
31213	TR	2		1	11121	1.	31.	2	11	2		1.	12.	2.	
31221	TR	1								1.	1.	1.			
31223	TR														
31224	TO														
31226	TR														
31231	T														
31233	T	1		1.	1.	1.	1.	2.							
31311	T	2		1	1.	1.	1.	2.							
31313	OT														

Tabla B.2

DEFECTOS OBSERVADOS EN LAS VIGAS DE CATAHUA AMARILLA (Huara crepitans)

viga	A	B	C	D	E	F	G	H	I	J	K	L	M	N	O
2 112 R	11 1.	11 1.	1.												
2 115 R	111 111111	111													
2 122 O	1..	1..	11..	1	11										
2 125 R	1..	1..	11..	1	1..										
2 212 T	1..	121211121													
2 215 RD	121														
2 222 T	1..	2..	2..	121											
2 225 O	1..	1..	1..	1..											
2 315 R	11	1..	111111	111											
2 412 TO	1	1	111111												
2 415 O	0		1	11											
2 422 O			211	1	1										
2 425 T				111	211										
2 511 R				1	1..	211									
2 512 R				1..	11..	11..	1								
2 513 R				11	111		11								
2 514 OR						111111	1								
2 515 T						11	11								
2 516 T						1	1								
2 522 R						11	11								
2 523 R						111	1								
2 525 R						111	1								
2 611 T						1									
2 612 T							1..	11..	11						
2 613 T							1..	11..	11	1					
2 614 R							2..	1..							
2 615 R							1..	1..							
2 616 R							1	1..							
2 617 R							1	1..	1						
2 618 R								1	1..	1					
2 619 R									11						
2 621 O										111..1					
2 622 O										111..1					
2 623 GR											1				

DEFECTOS OBSERVADOS EN LAS VIGAS DE CATAJUA AMARILLA ( <i>Hura crepitans</i> )
(continuacion)

B.8

Tabla B-2  
(continuación)

viga	A	B	C	D	E	F	G	H	I	J	K	L	M	N	O
2 124 R	1	1	123	123456789	789	123456789	123456789	1	123456789	123456789	1	123456789	123456789	12	123456789
2 126 R															
2 211 T			2	12	121										
2 213 O			1	221	22	2									
2 214 OR			222			22									
2 216 GR			11												
2 221 T			2	21	21										
2 223 O			22		2										
2 224 O			1	1	12	21									
2 311 R			1	1	1	1	1								
2 313 R			111	11	11	1									
2 314 T					11	12	11								
2 321 OT						1	1	11111							
2 323 T							11	11							
2 324 O							1	111	1						
2 326 O							11	12	1						
2 411 TO							11	1							
2 413 O							1	111							
2 414 R							1								
2 416 OT							111111	21							
2 421 O															
2 423 O							22	22	1						
2 424 T								111111121							
2 426 T							11	11	11						
2 524 R							11			211					
2 717 T							11	11	1	1					
2 721 TO							11	11	1	1					
2 723 O							11	11	11	11					
2 724 R							11	1	1	1	212	4			
2 726 R							1	1	11	1					
2 811 R															
2 813 O								111	111	111					
2 814 T							111	111	111	111					
2 816 O							21	21	2	2					

Tabla B.2  
(continuacion)

DEFECTOS OBSERVADOS EN LAS VIGAS DE CATAHUA AMARILLA ( <i>Hura crepitans</i> )															
	A	B	C	D	E	F	G	H	I	J	K	L	M	N	O
viga	1	1	123	123456789	789	123456789	123456789	1	123456789	123456789	123456789	1	1	123456789	12
2	817	R		1,1											1
2	819	OT			1,1									11	1
2	821	OR				1									1
2	823	R	2	12	211111212	2,		33,3							
2	911	O	2	11	1,	111111									
2	913	T		1,	1,	2111	1								
2	914	OR				1,	1,								
2	916	RT				11,									
2	921	O						2,		2,					
2	923	R							2,						
2	924	OR		11,	11111111	1,1									
2	926	R		1,	1,1,2										
2	927	R		11	11,1										
2	931	OR		2,	2,22,2212	212									
2	943	O		11	1,11,11,1	21,									
2	954	T		2,1	11,1211										
2	964	T		2,	1,1,1,1,	1,									
2	974	O	1,	11111111											
2	983	R		1,	11,										
2	984	O		11,	1,1,	1,									
2	996	OT		211	1,1111,12	2,1									
2	999	TR	1	212	12212212	212	3,13,	3,							
2	1023	OT		121	22211121	11									
2	1116	O		1,	1,1,										
2	1121	RT	2	11	12,21,21,	21,		33,3							
2	1123	R		1,	1,2122112	2,		3333		3,					
2	1214	O		21	1,	211,2,	11,				1,				
2	1216	TO		11,	1,1211,	1,	2,2	3,	3,	1					
2	1221	O			21111111	11,					1,1,11				
2	1223	R			11	22111112,	21		31,3,					1,	
2	1224	R			21,			2,					2,		
2	1226	O						2,					2,		

Table E-3

DEFECTOS OBSERVADOS EN LAS VIGAS DE TOENILLO (catedralica gatenseiformis)

A	B	C	D	E	F	G	H	I	J	K	L	M	N	O	
viga	1	1	123	123456789	789	123456789	123456789	1	123456789	123456789	1	123456789	123456789	1	
	1	112	R	.....	1	.....	.....	11	..1.	1	.....	1	.....	1	
	1	113	OR	.....	2	.....	.....	1	11	1	.....	1	.....	2	
	1	114	R	.....	2	.....	.....	1	11	11	2	2	2	2	
	1	121	T	.....	2	.....	.....	1	11	11	1	1	1	1	
	1	122	O	.....	2	.....	.....	1	11	11	1	1	1	1	
	1	123	TO	.....	1	2.	22	22	1	1.	1.	1	1	1	1
	1	124	T	.....	2	.....	.....	1	11	11	1	1	1	1	1
	1	131	T	.....	2	.....	.....	1	11	11	1	1	1	1	1
	1	132	T	.....	2	21	21	1	1	1	1	1	1	1	1
	1	133	RO	.....	2	.....	.....	1	11	11	2	2	2	2	2
	1	134	T	.....	2	.....	.....	1	11	11	2	2	2	2	2
	1	211	O	.....	2	.....	.....	1	11	11	1	1	1	1	1
	1	212	O	.....	11111	1.	22	22	1	1.	1.	1.	1.	1.	1.
	1	213	T	.....	11111	1.	22	22	1	1.	1.	1.	1.	1.	1.
	1	221	TO	.....	111	1.	1.	1.	111	1.	1.	1.	1.	1.	1.
	1	223	O	.....	111	1.	1.	1.	111	1.	1.	1.	1.	1.	1.
	1	224	T	.....	111	1.	1.	1.	111	1.	1.	1.	1.	1.	1.
	1	231	T	.....	111	1.	1.	1.	111	1.	1.	1.	1.	1.	1.
	1	232	O	.....	111	1.	1.	1.	111	1.	1.	1.	1.	1.	1.
	1	233	T	.....	111	1.	1.	1.	111	1.	1.	1.	1.	1.	1.
	1	234	TO	.....	1	1.	1.	1.	111	1.	1.	1.	1.	1.	1.
	1	311	T	.....	1	1.	1.	1.	111	1.	1.	1.	1.	1.	1.
	1	312	T	.....	1	1.	1.	1.	111	1.	1.	1.	1.	1.	1.
	1	313	R	.....	1	1.	1.	1.	111	1.	1.	1.	1.	1.	1.
	1	314	O	.....	1	1.	1.	1.	111	1.	1.	1.	1.	1.	1.
	1	321	OR	.....	1	1.	1.	1.	111	1.	1.	1.	1.	1.	1.
	1	322	O	.....	1	1.	1.	1.	111	1.	1.	1.	1.	1.	1.
	1	323	O	.....	1	1.	1.	1.	111	1.	1.	1.	1.	1.	1.
	1	324	O	.....	1	1.	1.	1.	111	1.	1.	1.	1.	1.	1.
	1	331	T	.....	2	.....	.....	1	111	1.	1.	1.	1.	1.	1.
	1	332	T	.....	2	.....	.....	1	111	1.	1.	1.	1.	1.	1.
	1	333	T	.....	1	1.	1.	1.	111	1.	1.	1.	1.	1.	1.
	1	334	O	.....	1	1.	1.	1.	111	1.	1.	1.	1.	1.	1.
	1	411	O	.....	1	1.	1.	1.	111	1.	1.	1.	1.	1.	1.
	1	412	O	.....	1	1.	1.	1.	111	1.	1.	1.	1.	1.	1.
	1	413	OT	.....	1	1.	1.	1.	111	1.	1.	1.	1.	1.	1.
	1	414	T	.....	12	.....	.....	1	111	1.	1.	1.	1.	1.	1.
	1	421	O	.....	1	1.	1.	1.	111	1.	1.	1.	1.	1.	1.

Tabla B.3  
(continuación)

DEFECTOS OBSERVADOS EN LAS VIGAS DE TORNILLO (*Cedrela* *catenaeformis*)

viga	A	B	C	D	E	F	G	H	I	J	K	L	M	N	O
1 422	0							1	1	1					
1 423	OR		1					1	1	11	1	1			
1 424	0									2		1	2		
1 431	T										1		1		
1 433	T				1	1	11								
1 434	0														
1 511	T				1			3	2	1		1			
1 512	T							2	1						
1 513	T									1					
1 514	T										1		1		
1 521	0										1		1		
1 522	OR										1	1	2	2	1
1 523	OT										1	1	1	1	1
1 524	0														
1 531	T														
1 533	0														
1 534	0							11	11						
1 611	OT							2	1						
1 612	TR							1	2	12	1	1			
1 613	T							1	1	22	2				
1 614	T							2	12	21	1				
1 615	T	1						2	22	12	22	2			
1 616	T							1	2	2					
1 617	T							2	22	22					
1 618	T							1	1	1					
1 711	T							2	1	1					
1 712	T							1	1	11					
1 713	T							1	11						
1 714	T							1	1	111					
1 715	T							2	1	1					
1 716	T							1	1	111					
1 717	T							1	1	111					
1 718	TR	2						1	1	1					
1 811	T							2	22	11	22	1			
1 812	T							21	1	1					
1 813	T							22							
1 814	T							1	12	1					

Tabla B.3  
(continuación)

DEFECTOS OBSERVADOS EN LAS VIGAS DE TORNILLO (Cedrelina catenaiformis)

viga	A	B	C	D	E	F	G	H	I	J	K	L	M	N	O
1 815	0		21.		1		1.	11.							
1 816	0		21.												12 . . . . .
1 817	0														
1 818	T						1.								
1 911	T			2 . . . . .		1 . . . . .									
1 912	0T			2 . . . . .		1 . . . . .									
1 913	T			2 . . . . .		3 . . . . .	333333	2 . . . . .	22.						
1 914	T0			2 . . . . .		4 . . . . .				12112122	1 . . . . .				
1 915	0			21.			1 . . . . .	1 . . . . .		1 . . . . .	1 . . . . .				
1 916	T			21.			11 . . . . .	12 . . . . .				2 . . . . .			
1 917	T0			21.			11 . . . . .	12 . . . . .					1 . . . . .		
1 918	0			21.			11 . . . . .	12 . . . . .					1 . . . . .		
11011	T			21.			1 . . . . .			111 . . . . .	1 . . . . .				
11012	R			21.			1 . . . . .			111 . . . . .	1 . . . . .				
11013	T			2 . . . . .		1 . . . . .				1 . . . . .					
11014	0			2 . . . . .		1 . . . . .				1 . . . . .					1 . . . . .
11015	T			21.		1 . . . . .				1 . . . . .					
11016	T			21.		1 . . . . .				1 . . . . .					
11017	T			12 . . . . .		1 . . . . .				1 . . . . .					
11018	T			12 . . . . .		1 . . . . .				1 . . . . .					
11111	T			12 . . . . .		1 . . . . .				1 . . . . .					
11112	T			12 . . . . .		1 . . . . .				1 . . . . .					
11113	0T			21.		2 . . . . .		1 . . . . .							
11114	T			21.		2 . . . . .		1 . . . . .							
11116	T			21.		2 . . . . .		1 . . . . .							
11117	T			21.		2 . . . . .		1 . . . . .							
11118	T			21.		2 . . . . .		1 . . . . .							
11211	T			21.		2 . . . . .		1 . . . . .							21 . . . . .
11212	T			21.		2 . . . . .		1 . . . . .							1 . . . . .
11213	T			21.		2 . . . . .		1 . . . . .							2 . . . . .
11214	0			222 . . . . .		2 . . . . .		1 . . . . .							
11215	T			222 . . . . .		2 . . . . .		1 . . . . .							
11216	T			222 . . . . .		2 . . . . .		1 . . . . .							
11217	T			222 . . . . .		2 . . . . .		1 . . . . .							
11218	0			2 . . . . .		2 . . . . .		1 . . . . .							

Tabla B. 4

DEFECTOS OBSERVADOS EN LAS VIGAS DE MANCHINGA (*Brosimum aleutum*)

viga	A	B	C	D	E	F	G	H	I	J	K	L	M	N	O		
	1	1	123	123456789	789	123456789	123456789	1	123456789	123456789	123456789	1	1	123456789	12	123456789	1
4 111 R								1.									
4 112 R									111								
4 121 O					11					11111111							
4 131 O					11	1.	1.				11111111						
4 211 R								1.		121, 11, 11							
4 212 R										11111111							
4 221 R										11111111							
4 231 R										11111111							
4 311 T								1.			11111111						
4 321 T								1.			11111111						
4 331 T									1.		11111111						
4 332 O		2	2						2.							2	
4 411 O								1.									
4 421 R										121222							
4 431 FQ										22222222							
4 432 O						12.	1.	2			11.221124						
4 511 T			2					1.			11111111						
4 521 O										11111111							
4 531 R										11111111							
4 532 R										11111111							
4 611 O										11111111							
4 612 O								12.	12		22222222						
4 621 R								1.	21		11111111						
4 631 F*						222	22.	221221		1.	1.	1.					
4 711 T										11111111							
4 712 O										11111111							
4 721 T								1.			22222222						
4 731 R										11111111							
4 811 T								2.	2.		11111111						
4 821 O								12.	22		11111111						
4 822 O											22222222						
4 831 O								1.		111, 12							
4 911 R								2.			1.111, 11						
4 912 T								22			11.11111						
4 921 R								21.	21		12121122						
4 931 T								1.	2		111, 1.						
								2.	2.	1112							
										112112112							
										22.22.	22.	1.	111111				

Tabla B.4  
(continuación)

EFECTOS OBSERVADOS EN LAS VIGAS DE MANCHINGA (Brasimón oleastina)

viga	A	E	C	B	E	F	G	H	I	J	K	L	M	N	O
4 113	0		1.												
4 114	R			1.											
4 122	D		1.	2. 2211212 212	1.	1.				22. 12111.					
4 123	O			2. 21222212						1. 111221					
4 124	T			211. 1. 11. 2						1. 1. 22					
4 132	T			12. 1. 11. 2						11111111.					
4 133	O			1. 11. 2. 1. 2						111. 11. 1					
4 134	RO			11. 1.						2111111					
4 213	R			111. 1. 2. 1. 12						21121111.					
4 214	DR			1.						212121221					
4 222	R			22						111111					
4 223	O			112						1. 11. 11					
4 224	RO					1.				111111					
4 232	R			2. 2 221212. 2				2		11111121					
4 233	T			1. 21. 1.						22111111					
4 234	R			12. 12.		2. 2				112222					
4 312	T			21. 12. 12						11111111.					
4 313	R			1. 1. 1.						12112. .2					
4 314	R					1.				11. 11. 11.					
4 322	T					1. 1.				12111. .1					
4 324	T					2. 1. 1. 1.				111111111					
4 333	O							22.		122121111					
4 334	R									122121111					
4 412	TO									111111111					
4 413	T									122222222					
4 414	T									1. 2122122					
4 422	DR									122122121					
4 423	R									1111111.					
4 424	R									211. .1.					
4 433	R									111122222					
4 434	R									111. .21.		12. 2	111. .1		
4 512	R										111. .1.				
4 513	R										11. 1. .1				
4 514	R										21. 1. .1				
4 522	R										122. 21. .1		11. 11. .1		

Tabla B.4  
(continuación)

EFEKTOS OBSERVADOS EN LAS VIGAS DE MANCHINGA (*Brosimum ulareum*)

Viga	A	B	C	D	E	F	G	H	I	J	K	L	M	N	O
4 523	R			1.					1111.1.			11. 11. 1			
4 533	O			1.					11111111						
4 534	R			2. 2	211111. 1.		12		111111			11111111			
4 535	R								111222			111.1.			
4 613	O								1111.1.			11111111			
4 614	O								11111122			11111.11	1		
4 615	T			2. 1	1. 2.				11. 1. 11			111111			
4 622	TO			1.	1. 1.				121111.11			1			
4 623	R	2	2		2.	22. 21.	211		1. 2.			11. 1. 12			
4 632	R	2	2			222222122			111111.1			1			
4 633	O					1. 1122.			222222221						
4 634	O					1. 2. 2. 211			22222111			1. 1. 1.			
4 713	T					12. 2.			1. 11. 11.			11. 111. 11			
4 714	O								11111111			11111111			
4 722	R					2. 2. 2.			1. 12.			11. 1. 11			
4 723	T								222121.22						
4 724	OT								22212222						
4 732	OT								12112122			1. 11.			
4 733	R					1. 1. 1. 11.			1111.11			11111111			
4 812	T					11.			11111111			11111111			
4 913	T								1. 11. 11.			11. 21. 2			
4 823	T								13222222			22.			
4 824	O					2. 1. 1. 2.	1.		11122111			1221. 2.			
4 825	T					1. 1.			22222222			11.			
4 832	T	2	2	111	2. 2. 2.	2.		22. 2	11. 11. 1.						
4 833	R*			1.	1. 11. 2.	1.			1. 1. 1. 1.			11.			
4 834	RO	2	2		1.	22222211	22.		2. 1.						
4 913	R					11.									
4 914	O								11111111			11111111			
4 922	T			1.		1.			11111111			11. 1.			
4 923	R			11.		11.			1. 1. 1111			11111111			
4 924	O								221. 1. 11	12. 22.	22.	2. 2.			
4 932	O								12111. 1			1			
4 933	O								11. 1. 1.	22122.	22.	1111. 11.			
4 934	O								11111111	12. 11.					
		2							1. 11.	1. 2.	2.	1111. 11. 1			
									1						

Table B.5

EFEKTOS OBSERVAUDS EN LAS VÍAS DE ESTIRAGUE (MATERIALS PERMITIDOS)

Tabla B.5  
(continuación)

DEFECTOS OBSERVADOS EN LAS VIGAS DE ESTORNAQUE (*Myroxylon peruvium*)

viga	A, B	C	D	E	F	G	H	I	J	K	L	M	N	O
5 222	T0													
5 223	OT						1	1						
5 224	TO			2	1, 2	2	1, 1	1						
5 232	T			2	2, 2	2, 21	22	1						
5 233	O			2	22	2, 21	21	1						
5 312	0			2	22	2, 21	21	1						
5 331	T			2	21	211	21	1						
5 412	T			2	2, 11									
5 413	T			2	2, 11									
5 414	T			2	1		1							
5 422	T			2	1		2							
5 423	T			1	1			1						
5 424	T			1	1			1						
5 433	T			1	1			1						
5 434	T			1	1			1						
5 513	T			1	1			1						
5 514	T			1	1			1						
5 515	T			1	1			1						
5 522	T			1	1			1						
5 523	O			1	1			1						
5 532	O			1	1			1						
5 533	R			1	1			1						
5 534	R			1	1			1						
5 612	R			1	1			1						
5 613	T			1	1			1						
5 614	T			2	2, 12, 21									
5 615	T			2	2, 12, 21									
5 623	T			1	1			1						
5 624	T			1	1			1						
5 632	OT			1	1			1						
5 722	O			1	1			1						
5 732	T			2, 1	2, 2	2	2, 1							
5 733	T			2, 1	1, 12	1								

## APENDICE C

## PROPIEDADES FISICAS Y MECANICAS DE LAS VIGAS ENSAYADAS.

Las tablas C.1 a C.8 resumen las propiedades físicas y mecánicas más importantes de cada una de las vigas ensayadas. DB indica densidad básica, DSA indica la densidad en condición seca al aire. CH indica el contenido de humedad. El código de cada viga indica: especie, número de árbol (1 ó 2 dígitos), número de troza (de abajo hacia arriba) y número de vigas (independientemente para cada troza).

Las columnas siguientes indican la orientación de corte: radial (R), tangencial (T), oblicuo (O), variable entre radial y oblicuo (RO) o entre tangencial y oblicuo (TO) y en algunos casos variable entre radial y tangencial (RT, R\*).

La clasificación de las vigas según la Regla de Clasificación Visual del PADT-REFORT (ver apéndice A y B) se indican en la columna siguiente. R corresponde a vigas rechazadas y A a las aceptadas como de calidad estructural.

Los módulos de elasticidad (MOE), esfuerzos al límite proporcional (ELP) y módulos de rotura (MOR) han sido determinados con hipótesis de homogeneidad e isotropía, es decir con las fórmulas habituales de la teoría de vigas. Para estos cálculos se utilizaron las dimensiones reales de los especímenes. En la determinación de los módulos de elasticidad, a partir de las cargas y deflexiones correspondientes al límite proporcional, no se han considerado deformaciones de corte. Esto significa que los valores de MOE que figuran en las tablas son ligeramente menores que los reales, posiblemente en un 5% a 10%.

Los resultados que se presentan para probetas pequeñas libres de defectos corresponden por lo general a promedios de 2 ensayos. En 37 vigas solo pudo obtenerse una probeta de flexión estática sin defectos. Para 15 de las vigas ensayadas no se pudieron obtener probetas libres de defectos.

Tabla C.1

RESUMEN DE PROPIEDADES FÍSICAS Y MECÁNICAS DE 35 VIGAS  
DE MARUPA (Simarouba amara) ENSAYADAS EN CONDICIÓN VERDE

Viga	Vigas a escala natural					Probetas pequeñas libres de defectos				
	MUE	ELF	MOR	DB	CH(%)	MUE	MUR	CH(%)	MUR	
3 112 O	96710	275	488	40	39.3	97820	456			
3 115 RT	55740	197	197	31	58.7	77280	415			
3 122 T	96410	331	486	42	47.7	59520	541			
3 212 T	62170	241	241	34	40.1	99350	445			
3 312 T	80080	205	223	35	37.8	76400	404			
3 322 R	73830	232	277	33	43.4	76000	394			
3 412 T	67160	191	191	41	34.7	64630	384			
3 512 T	62860	223	322	33	45.6	64080	359			
3 515 T	76630	241	291	31	45.7	65400	392			
3 522 R	87870	241	355	36	56.5	84130	420			
3 612 T	81570	277	403	30	53.9	97020	458			
3 622 T	93190	259	367	37	52.1	95520	393			
3 712 RT	71080	132	354	33	75.6	66930	319			
3 722 RT	37500	78	114	33	45.7	96260	437			
3 725 T	99260	275	385	35	61.7	94100	407			
3 812 T	79580	259	373	36	64.6	71270	368			
3 825 T	72240	277	277	32	71.8	70480	393			
3 828 OT	78580	287	403	35	49.2					
3 828 TR	69850	168	313	34	63.1					
3 P2E TR	83200	258	389	34	48.5	84440	460			
	46000.	138								

Tabla C.4  
(continuacion)

RESUMEN DE PROPIEDADES FISICAS Y MECANICAS DE 35 VIGAS  
DE MARUFA (Simarouba amara) ENSAYADAS EN CONDICION VERDE

Viga	Vigas a escala natural			Probetas pequeñas libres de defectos		
	MCE	ELP	MOR	DB	CH(%)	MCE
3 922	A	T	349.	349.	53.0	74060.
3 925	R	R	76.	76.	63.8	69200.
3 932	T	R	132	132	52.5	73650.
31012	TO	R	150.	150.	23.7	84250.
31022	T	A	241.	381.	37.2	86000.
31032	T	R	62210.	109.	36.3	67300.
31112	TO	A	96280.	260.	26.0	69600.
31122	R	R	69480.	96.	34.	69280.
31125	R	R	66950.	149.	37	45.0
31212	T	R	66820.	259.	37	59.0
31222	TO	R	98600.	421.	34	52.8
31225	OT	R	80700.	277.	33	58.1
31232	T	R	71630.	241.	38	43.0
31312	RO	R	60450.	230.	37	49.7
valor medio			74074.	222	35	49.9
desv estandard			15116.	77.	03	4.9
coef variacion			20	35	06	1.2
					25	1.3

Tabla C.2  
PROPIEDADES FÍSICAS Y MECÁNICAS DE 73 VIGAS DE MARUFA  
(Simarouba amara) ENSAYADAS EN CONDICIÓN SECA AL AIRE

C.4

Viga	MOE	ELF	MOR	Dsa	CH(%)	MOE	MOR
Vigas a escala natural							
Protetas pequeñas libres de defectos							
3 111 TO	85500.	331.	403.	40	11.7	96010.	582.
3 113 T	106290.	295.	367.	50	12.9	113360.	729.
3 114 O	76220.	223.	223.	44	12.6	94040.	418.
3 116 RO	67850.	168.	168.	45	12.1		
3 121 T	90180.	365.	348.	44	13.0	102660.	719.
3 123 OR	64930.	168.	168.	40	13.7	80030.	479.
3 211 T	73100.	115.	115.	43	12.6	94560.	610.
3 213 TO	92480.	331.	331.	41	13.6	98570.	634.
3 311 T	89490.	314.	314.	44	12.4	101160.	585.
3 313 TO	65780.	150.	205.	41	14.2	105560.	649.
3 321 O	74450.	310.	349.	38	12.5	90550.	575.
3 323 RO	79950.	277.	277.	41	12.1	89900.	572.
3 411 TO	114110.	421.	421.	49	14.4	92330.	533.
3 413 TR	76310.	187.	187.	43	11.9	86510.	501.
3 511 TR	93430.	331.	385.	41	12.1	97130.	575.
3 513 TR	79630.	349.	349.	42	12.8	88330.	582.
3 514 TO	83660.	403.	476.	43	11.7	87960.	611.
3 516 TO	98230.	115.	205.	45	12.2	91060.	582.
3 521 O	100610.	323.	439.	42	12.2	99690.	597.
3 523 TR	91180.	613.	421.	46	11.8	81030.	468.
3 611 TR	87610.	150.	205.	38	12.7	92450.	518.
3 613 TR	90960.	385.	476.	40	12.2	87610.	584.
3 621 TO	113780.	295.	439.	43	13.2	108320.	591.
3 623 TO	72500.	132.	226.	44	13.2		
3 711 R	85220.	187.	187.	36	12.4		
						96490.	530.

Tabla C. 2  
(continuación)

PROPIEDADES FÍSICAS Y MECÁNICAS DE 73 VIGAS DE MARUPA  
(Simar cuba amara) ENSAYADAS EN CONDICIÓN SECA AL AIRE

Viga	Vigas a escala natural				Probetas pequeñas libres de defectos			
	MOE	ELP	MOR	Usa	CH(%)	MUE	MUR	
3 715	R R R	494	44	13.2	105930.	624.		
3 721	T T	187	38	13.0	85330.	575.		
3 723	T A	313	40	12.1	99480.	665.		
3 724	T A A	349	43	13.2	100910.	620.		
3 726	T A A	421	46	12.4	114510.	692.		
3 611	R	512	42	12.9	97000.	561.		
3 613	O	531	439	12.9	111500.	675.		
3 621	T	349	456	12.5	98640.	616.		
3 622	T	349	456	12.5	96490.	639.		
3 623	O	241	331	12.7	90560.	582.		
3 624	O	349	456	12.6	92310.	725.		
3 626	O	331	421	12.1	99670.	587.		
3 627	OT	331	421	13.0	82710.	483.		
3 829	TO	403	45	13.4	95770.	495.		
3 824	O	207	331	12.2	95100.	692.		
3 825	TO	403	44	12.2	105640.	738.		
3 826	O	132	38	12.6	82980.	514.		
3 827	OT	403	46	12.9	85070.	616.		
3 829	TO	132	38	12.6	90600.	611.		
3 82A	O	132	40	12.4	79450.	590.		
3 82C	TO	150	43	12.5	86620.	511.		
3 82D	T	168	313	12.5	84760.	661.		
3 82F	T	168	42	12.7	67190.	668.		
3 911	OR	115	42	12.2	38000.	654.		
3 913	T	115	41	12.2	476	663.		
3 921	T	241	42	12.2	99320.	663.		
3 923	T	349	494	12.9				
3 924	T	403	503	12.6				
3 926	T	313	41	12.6				
3 931	T	331	41	13.3				

Tabla C. 2  
(continuación)

PROPIEDADES FÍSICAS Y MECÁNICAS DE 73 VIGAS DE MADERA  
Címaroña amarilla ENsayadas CONJUNTO SECCION SECA AL FAIRE

C.6

Viga	Vigas a escala natural			Pruebas pequeñas libres de defecções		
	MOE	ELF	MOR	Dia	CH (%)	MUE
3 933	T	R		82430.	205.	205.
31011	OT	R		62500.	132.	132.
31013	T	R		79830.	367.	367.
31021	T	R		79190.	150.	150.
31023	T	R		72240.	277.	277.
31031	T	R		76830.	168.	168.
31033	T	R		89010.	367.	367.
31111	RO	R		102250.	403.	530.
31113	TO	A		95200.	403.	512.
31121	O	R		103580.	152.	152.
31123	O	R		91500.	150.	150.
31124	O	R		99730.	295.	295.
31126	R	R		95510.	241.	241.
31211	T	R		78140.	168.	168.
31213	T	R		76630.	241.	331.
31221	T	A		92770.	349.	476.
31223	T	A		87460.	367.	457.
31224	O	A		93140.	340.	458.
31226	T	R		101310.	403.	512.
31231	T	R		88530.	259.	41.
31233	T	A		94550.	421.	548.
31311	T	R		96720.	367.	439.
31313	OT	R		87310.	115.	39.
valor medio					340.	42.
desv. estandar					280.	12.
coef. variacion					98.	7
					153.	5
					07	4
					04	09
					07	13

Tabla C.3

PROPIEDADES FÍSICAS Y MECÁNICAS DE 62 VIGAS DE CATAJUA  
AMARILLA (Hura crepitans) ENsayadas EN CONDICIÓN VERDE

Viga	Vigas a escala natural			Proetas pequeñas libres de defectos		
	MOE	ELP	MOR	DE	CH (%)	MOE
2 112 R	885370.	168.	277.	37	90. 2	293.
2 115 R	95710.	259.	421.	35	99. 2	
2 122 O	61910.	329.	421.	36	37. 4	501.
2 125 R	77200.	214.	363.	42	45. 0	543.
2 212 T	61300.	210.	306.	31	30. 8	387.
2 215 RO	66730.	205.	269.	32	36. 5	65650.
2 222 T	57380.	176.	309.	31	49. 3	58440.
2 225 O	62280.	205.	288.	32	53. 4	320.
2 315 R	97290.	348.	466.	39	34. 6	344.
2 412 TO	67090.	279.	444.	34	79. 7	659.
2 415 O	59820.	271.	404.	38	69. 9	519.
2 422 O	71420.	313.	418.	36	75. 2	490.
2 425 T	74650.	349.	456.	33	67. 3	472.
2 511 R	87140.	331.	458.	41	54. 7	71020.
2 512 R	94410.	331.	468.	44	45. 0	509.
2 513 R	87750.	256.	418.	46	52. 5	495.
2 514 OR	89010.	367.	483.	46	49. 5	556.
2 515 T	78810.	331.	472.	46	40. 2	548.
2 516 T	89930.	394.	494.	46	47. 2	600.
2 522 R	76220.	223.	367.	38	85. 9	454.
2 523 R	84930.	205.	331.	42	79. 7	57740.
2 525 R	65950.	205.	331.	41	99. 2	428.
						442.
						88650.

Tabla C.3  
(continuacion)

PROPIEDADES FÍSICAS Y MECÁNICAS DE 62 VIGAS DE CATAHUA  
AMARILLA (Hormigón ripitano) ENSAYADAS EN CONDICIÓN VERDE

C.8

Viga	Vigas a escala natural			Proetas pequeñas libres de defectos				
	MOE	ELP	MOR	DE	CH (%)	MOE		
2 611	89810.	367.	548.	44	52.0	82040.	633.	
2 612	81160.	365.	512.	46	51.2	75880.	558.	
2 613	T A	349.	494.	46	47.5	70000.	556.	
2 614	R R	84770.	341.	537.	46	40.7	68370.	556.
2 615	R A	83820.	367.	476.	44	57.3	79420.	587.
2 616	R A	86090.	349.	512.	44	47.6	67430.	617.
2 617	R A	95550.	349.	458.	46	52.5	63940.	584.
2 618	R A	82420.	361.	444.	44	46.8	91670.	645.
2 619	R A	91270.	403.	501.	47	43.2	63410.	559.
2 621	OR A	79350.	394.	523.	46	52.6	71700.	576.
2 622	O A	87460.	367.	523.	46	44.0	81480.	600.
2 623	OR A	93680.	349.	551.	45	38.2	63390.	654.
2 711	R R	77130.	132.	205.	45	49.6	66290.	325.
2 712	OR R	32390.	78.	78.	44	47.9	64910.	434.
2 713	R R	64960.	119.	212.	39	43.6	62350.	357.
2 718	O R	76400.	268.	542.	47	50.0	91100.	419.
2 722	OR A	77670.	295.	380.	36	46.2	71580.	472.
2 725	RO A	74290.	331.	476.	34	38.3	68580.	437.
2 812	O R	28880.	78.	78.	46	41.9	67970.	447.
2 815	T T	60550.	150.	358.	30	44.1	55430.	370.
2 818	O A	84490.	241.	374.	44	42.5	75160.	396.
2 822	OR A	72270.	259.	389.	34	49.2	67390.	419.

Tabla C.3  
(continuacion)

PROPIEDADES FISICAS Y MECANICAS DE 62 VIGAS DE CATAHUA  
AMARILLA (Hura crepitans) ENSAYADAS EN CONDICION VERDE

Viga	Vigas a escala natural			Probetas pequeñas libres de defectos		
	MOE	ELP	MOR	DB	CH(%)	MOE
2 912	0 R	205.	34.9.	42	25.8	32140.
2 915	0R R	277.	277.	40	48.4	479.
2 922	R R	150.	34.9.	31	71.7	393.
2 925	O R	245.	269.	38	50.4	424.
2 928	R A	241.	351.	34	64.8	406.
21012	O R	277.	367.	36	25.0	455.
21015	TO A	92510.	4225.	38	26.2	466.
21022	O R	150.	277.	43	44.1	354.
21025	DR R	150.	295.	44	38.7	379.
21112	TO R	259.	367.	39	30.1	76130.
21115	RD R	325.	424.	46	29.1	79360.
21122	RO R	165.	165.	39	36.0	472.
21211	R R	65220.	187.	45	25.2	629.
21212	R A	74890.	241.	34.9.	16.3	562.
21213	R R	71900.	268.	400.	42	22.1
21215	O R	66550.	270.	270.	40	29.1
21222	O A	83490.	195.	414.	39	30.9
21225	DR R	52820.	150.	213.	43	27.2
						84700.
						536.
valor medio	75316.	263.	381.	40	48.3	75951.
desv estandard	15469.	85.	112.	05	16.2	11062.
coef variacion	21	32	29	12	38	15
						19

Tabla C. 4

**PROPIEDADES FÍSICAS Y MECÁNICAS DE 72 VIGAS DE CÁTALUÑA  
AMARILLA (Huesca y Huesca) ENSE (VALS) EN CONDICIÓN SECA**

Viga	Vigas a escala natural			Problemas pequeños libres de defectos		
	MDE	ELP	MGR	Dsa	CH (%)	MDE
						MGR
2 111 R	92200.	168.	259.	44	11. 9	96640.
2 113 R	78660.	187.	349.	45	12. 2	98970.
2 114 O	89700.	187.	367.	46	11. 7	95480.
2 116 TO	110010.	241.	403.	55	11. 2	99630.
2 121 OT	91440.	367.	512.	47	12. 1	92690.
2 123 O	78320.	349.	494.	43	11. 4	81240.
2 124 R	85920.	314.	349.	50	12. 2	103390.
2 126 RR	62950.	216.	403.	50	12. 0	8555.
2 211 T	77830.	192.	331.	39	12. 6	741.
2 213 O	59530.	239.	349.	38	12. 3	69360.
2 214 OR	74870.	241.	241.	43	11. 9	93330.
2 216 OR	67940.	241.	295.	40	12. 1	80390.
2 221 T	61060.	259.	349.	35	11. 9	69480.
2 223 O	58460.	295.	421.	43	11. 9	668.
2 224 RR	56200.	226.	331.	31	12. 2	75390.
2 311 R	100390.	403.	530.	61	11. 5	109930.
2 313 T	106200.	458.	692.	56	12. 2	99710.
2 321 OT	80240.	223.	349.	46	12. 1	93130.
2 323 T	93420.	205.	385.	46	12. 4	81670.
2 324 R	66540.	277.	403.	34	11. 8	567.
2 324 R	77530.	241.	385.	45	11. 9	103770.
2 326 O	90630.	331.	458.	47	11. 4	96690.
2 411 TO	76680.	386.	548.	48	12. 3	85950.
2 413 O	78580.	367.	548.	44	12. 1	84070.
2 414 R	75840.	349.	548.	45	12. 1	76690.

Tabla C.4  
(continuacion)

PROPIEDADES FISICAS Y MECANICAS DE 72 VIGAS DE CATAHUA  
AMARILLA (Hueso crepitante) ENSAYADAS EN CONDICION SECA

C.12

Viga	Vigas a escala natural				Probetas pequenas libres de defectos			
	MOE	ELP	MOR	Dsa	CH (%)	MUE	MOR	
2 924	OR	R	R	329.	476.	45	11.4	90600.
2 926	R	R	A	313.	421.	43	13.3	77150.
2 927	R	R	A	302.	403.	41	11.5	683.
21011	OR	R	R	349.	458.	41	12.1	74960.
21013	O	R	R	379.	476.	44	11.4	65340.
21014	T	R	R	409.	512.	47	11.6	765.
21016	T	R	R	86770.	406.	49	11.9	108650.
21021	O	R	R	89300.	287.	55	11.1	94110.
21023	R	R	R	87310.	287.	55	11.1	121090.
21024	O	R	R	113510.	249.	349.	11.4	116550.
21111	OT	R	R	84570.	432.	530.	11.5	86540.
21113	TR	R	R	74290.	331.	385.	45	11.2
21114	OT	R	R	76270.	379.	494.	42	11.9
21116	D	A	A	76830.	337.	476.	44	11.3
21121	RT	R	R	102940.	150.	349.	51	11.2
21123	R	R	R	82210.	78.	114.	47	11.6
21214	O	R	R	67280.	187.	223.	42	11.9
21216	TO	R	R	88770.	295.	439.	57	11.7
21221	O	A	R	112200.	295.	439.	50	12.0
21223	R	R	R	74220.	260.	403.	50	11.9
21224	R	R	R	68360.	205.	205.	50	12.9
21226	O	R	R	65270.	114.	114.	47	11.9
								101940.
valor medio						46	11.9	91987.
desv estandard						118.	5	15192.
coef variacion						30	17	16

C.12

Tabla C.4  
(continuación)

PROPIEDADES FISICAS Y MECANICAS DE 72 VIGAS DE CATAHUA  
AMARILLA (Hormigón pilitante) ENSAYADAS EN CONDICION SECA

Viga	Vigas a escala natural						Próbetas pequeñas libres de defectos		
	MOE	ELP	HOR	Dia	CH(%)	MOE	MUE	MUE	
2 416 OT	87440.	259.	295.	40	12.0	85290	52.1.		
2 421 O	77460.	331.	512.	47	11.6	96120	75.6.		
2 423 O	74250.	439.	584.	50	12.1	97100	86.9.		
2 424 T	67340.	403.	439.	50	11.6	88090	81.2.		
2 426 T	84560.	349.	548.	47	12.0	86280	72.5.		
2 524 R	78270.	286.	421.	47	11.6	77150	77.4.		
2 717 T	94370.	476.	512.	60	11.9	139780	95.3.		
2 721 TO	61660.	313.	439.	45	11.8	81300	69.3.		
2 723 O	67880.	295.	421.	40	12.0	77320	63.7.		
2 724 R	72780.	295.	349.	42	11.7	73220	64.9.		
2 726 R	79830.	367.	439.	42	12.1	76330	61.9.		
2 811 R	45320.	132.	132.	55	11.7	108690	56.4.		
2 813 O	89430.	232.	295.	57	11.9	109390	80.3.		
2 814 T	68030.	333.	421.	38	11.7	73500	63.1.		
2 816 O	57080.	279.	385.	35	12.4	67620	58.2.		
2 817 O	105140.	223.	530.	54	12.3	119540.	81.2.		
2 819 O	113050.	314.	584.	52	12.0	117300	79.7.		
2 821 OR	74800.	295.	458.	38	11.9	76560	68.6.		
2 823 R	75180.	313.	403.	41	11.2	71970.	61.7.		
2 911 O	68540.	60.	60.	44	12.5	119280.	95.1.		
2 913 T	98600.	403.	566.	50	12.4	107550	86.0.		
2 914 OR	62430.	333.	421.	37	12.0	622930	37.8.		
2 916 RT	82950.	218.	403.	54	11.4	110700.	81.7.		
2 921 O	73340.	214.	349.	51	14.7	103730.	62.5.		
2 923 R	85230.	277.	548.	47	12.0	87720.	64.6.		

Tabla C. 5

PROPIEDADES FISICAS Y MECANICAS DE 56 VIGAS DE TORNILLO  
(Cedrelaing catenaeformis) ENSAYADAS EN CONDICION VERDE

Viga	Vigas a escala natural						Proetas pequeñas libres de defectos			
	MUE	ELP	MOR	DE	CH(%)	MUR	MUE	ELP	MOR	DE
1 112	R	A	451.	59	92.0	107520.	715.			
1 113	OR	R	394.	53	82.2	109020.	667.			
1 114	R	R A	298.	433.						
1 121	T	A	379.	475.	49	76.5	108940.	640.		
1 122	O	A	316.	502.	49	67.7	100480.	626.		
1 123	TO	R	367.	437.	50	53.8	97120.	661.		
1 124	T	A A	349.	349.	50	67.0	100830.	633.		
1 131	T	A A	302.	386.	49	67.1	98000.	570.		
1 132	T	A	97870.	325.	464.	52	60.6	102210.	655.	
1 133	RO		100030.	307.	475.	53	69.1	112690.	602.	
1 134	T	R R	86290.	321.	416.	50	61.8	103440.	607.	
1 211	O	R R	81720.	298.	433.	47	66.0	106210.	610.	
1 212	O	R	98390.	295.	464.	51	59.5	111400.	613.	
1 213	T	RA	82320.	275.	410.	50	67.1	95940.	579.	
1 221	TO	A A	99410.	298.	485.	51	74.4	106120.	567.	
1 223	O	A A	98950.	325.	325.	54	79.8	110470.	600.	
1 224	T	A A	73900.	302.	343.	50	62.3	104510.	599.	
1 231	T	A A A	64630.	253.	325.	49	54.0	112420.	571.	
1 232	O	A A A	103430.	295.	379.	49	53.1	113360.	594.	
1 233	T	A A A	91810.	325.	416.	45	58.0	91390.	523.	
			76870.	258.	361.	45	49.4	123150.	640.	

Tabla C.5  
(continuación)

PROPIEDADES FÍSICAS Y MECÁNICAS DE 56 VIGAS DE TORNILLO  
(Cedrelina cateniformis) ENSAYADAS EN CONDICIÓN VERDE

Viga	Vigas a escala natural			Próbatas pequeñas libres de defectos		
	MOE	ELF	MOR	EB	CH(%)	MOE
1 234 TO	89490.	314.	416.	43	64.2	112230.
1 311 T A	86220.	302.	397.	49	66.7	133250.
1 312 T A	93480.	348.	491.	47	63.6	142060.
1 313 R A	94850.	329.	451.	52	70.2	98000.
1 314 D A	97630.	314.	424.	50	70.7	96740.
1 321 OR	89370.	271.	289.	50	77.2	112370.
1 322 O A	97790.	321.	430.	55	67.7	106360.
1 323 O A	98910.	361.	469.	46	66.1	114640.
1 324 O A	101430.	348.	379.	50	66.3	111300.
1 331 T A	88690.	369.	469.	47	102.1	135010.
1 332 T A	64030.	126.	126.	49	73.6	90160.
1 333 T A	79960.	333.	416.	49	92.7	96180.
1 334 O A	81620.	343.	433.	51	81.2	99410.
1 411 O A	107890.	331.	458.	50	72.3	117920.
1 412 O A	106170.	349.	512.	50	92.0	104080.
1 413 OT	94150.	241.	331.	51	74.1	120040.
1 414 T A	104910.	295.	385.	52	79.3	109580.
1 421 O A	94410.	331.	439.	50	75.0	102580.
1 422 O A	101360.	341.	439.	49	90.0	99370.
1 423 OR	97450.	331.	458.	82.3	93650.	671.

Tabla C.5  
(continuacion)

PROPIEDADES FISICAS Y MECANICAS DE 56 VIGAS DE TORNILLO  
(Cedrela roga catenaiformis) ENSAYADAS EN CONDICION VERDE

Viga	Vigas a escala natural			Proetas pequeñas libres de defectos		
	MCE	ELF	MOR	DB	CH(%)	MUE
1 424 O	91340.	260.	367.	47	53. 4	96660.
1 431 T A	88960.	344.	476.	50	74. 2	93950.
1 432 O A	90150.	349.	484.	51	80. 1	94370.
1 433 T A	88810.	341.	448.	48	83. 3	93610.
1 434 O R	90220.	356.	472.	50	72. 8	92130.
1 511 T R	95550.	349.	494.	50	69. 1	98520.
1 512 T R	101650.	349.	476.	51	53. 2	98400.
1 513 T R	101720.	393.	526.	51	68. 6	99500.
1 514 T A	106170.	349.	512.	52	68. 6	106370.
1 521 O A	94410.	331.	457.	49	73. 9	99010.
1 522 OR A	97630.	314.	448.	49	44. 0	89030.
1 523 OT R	94160.	306.	403.	51	26. 0	92410.
1 524 O R	96370.	285.	403.	50	37. 7	91820.
1 531 T R	89760.	295.	400.	52	71. 0	93660.
1 533 O R	101650.	349.	503.	52	50. 7	88890.
1 534 O R	91180.	313.	367.	50	76. 4	102360.
Valor medio	92999.	319.	426.	50	62. 0	104311.
desv estandard	9298.	42.	68.	03	13. 6	11364.
coef variacion	10	13	16	05	20	11

Tabla C.6

**PROPIEDADES FISICAS Y MECANICAS DE 55 VIGAS DE TORNILLO  
(Cedrela ligna catenaetormis) ENSAYADAS EN CONDICION SECA**

Viga	Vigas a escala natural				Probetas pequenas libres de defectos			
	MOE	ELP	MOR	Dsa	CH(%)	MOE	MOR	
1 611	OT	R	95240.	343.	468.	51	16.0	101680.
1 612	TR	R	86470.	418.	624.	57	15.6	118140.
1 613	O	R	92690.	183.	218.	56	16.2	97490.
1 614	T	R	123970.	415.	502.	54	16.1	85670.
1 615	T	R	110060.	232.	301.	49	15.9	84840.
1 616	T	R	104230.	476.	599.	56	15.5	117270.
1 617	O	R	74890.	287.	411.	44	15.9	73910.
1 618	T	R	101920.	379.	510.	56	16.7	81310.
1 711	T	R	110500.	477.	664.	62	16.7	114220.
1 712	T	R	132260.	529.	692.	63	16.6	120130.
1 713	TO	R	135370.	519.	690.	59	16.1	125810.
1 714	O	R	125820.	537.	626.	58	15.8	782.
1 715	T	R	105700.	516.	651.	71	15.1	116420.
1 716	T	R	134640.	584.	741.	57	15.4	105800.
1 717	T	R	120860.	540.	611.	55	15.8	904.
1 718	R	R	108280.	472.	616.	47	17.6	98370.
1 811	T	R	111790.	435.	470.	68	16.1	124840.
1 812	T	R	113520.	373.	581.	58	16.6	88440.
1 813	T	R	104550.	396.	434.	56	15.5	768.
1 814	T	R	110080.	470.	683.	74	15.9	96980.
								979.

Tabla C.6  
(continuación)

PROPIEDADES FÍSICAS Y MECÁNICAS DE 55 VIGAS DE TORNILLO  
(Cedrela ing catenaiformis) ENSAYADAS EN CONDICIÓN SELA

Viga	Vigas a escala natural						Probetas pequeñas libres de defectos			
	MOE	ELP	MOR	Dsa	OH (%)	MUE	MUR	Dsa	OH (%)	MUE
1 815	R R	O	475.	54	15. 8	114240.	300.	711.		
1 816	O	A	458.	51	15. 7	112520.	737	1137.		
1 817	O	A	476.	688.	17. 2	117210.	354.	1032.		
1 818	T	A	445.	549.	15. 5	92370.	693.	561.		
1 911	T	R	318.	355.	17. 2			79630.		
1 912	OT	R	360.	61	16. 2			131190.		
1 913	T	R	607.	76	16. 6			116390.		
1 914	TO	R	636.	69	15. 5			62190.		
1 915	O	R	285.	424.	16. 9			74240.		
1 916	T	A	399.	538.	16. 9			105190.		
1 917	TO	A	396.	534.	16. 4			367.		
1 918	O	A	468.	597.	15. 7			100030.		
1 919	O	A	464.	672.	16. 6			134080.		
11011	T	R	108520.	672.	15. 4			631.		
11012	R	A	129580.	216.	15. 1			128770.		
11013	T	A	141770.	435.	74			946.		
11014	O	R	96430.	379.	45			114150.		
11015	T	A	111150.	531.	14. 8			754.		
11016	T	R	138790.	370.	49			121530.		
11017	T	T	100550.	510.	62			700.		
11018	T	R	131810.	432.	50			151570.		
			530.	467.	15. 7			122840.		
			542.	643.	72			144110.		
				626.	63			907.		
					133470.			1024.		

Tabla C. 6  
(continuacion)

PROPIEDADES FISICAS Y MECANICAS DE 55 VIGAS DE TORNILLO  
(Cedrelina catenaeformis) ENSAYADAS EN CONDICION SECA

Viga	Vigas a escala natural				Proetas pequeñas libres de defectos			
	MUE	ELP	MJR	Dsa	CH(%)	MUE	MOR	
11111	T	A		107060.	434.	566.	15.5	124960.
11112	T	A		124430.	502.	573.	154	127370.
11113	O	R		115830.	437.	530.	16.1	123250.
11114	T	R		120590.	452.	452.	156	124490.
11116	T	A		100990.	364.	485.	15.1	98630.
11117	T	R		110410.	178.	178.	51	130910.
11118	T	R		97170.	393.	465.	14.9	111900.
11211	T	R		99540.	373.	571.	58	114350.
11212	T	A		114570.	494.	687.	67	140890.
11213	T	R		102590.	181.	181.	53	15.2
11214	O	A		84210.	341.	430.	53	101700.
11215	T	R		132890.	476.	476.	67	80610.
11216	T	R		125300.	502.	608.	57	126720.
11217	T	R		84890.	359.	359.	63	997.
11218	O	R		99400.	394.	53	15.5	141330.
valor medio				109756.	413.	528.	58	936.
desv estandard				15804.	101.	141.	15	722.
coef variacion				14	24	27	5	674.

Tabla C.7

PROPIEDADES FÍSICAS Y MECÁNICAS DE 106 VÍGAS DE MANCHADO  
(Brossum al carbon) ENSAYADAS EN CONDICIÓN SECA AL AIRE.

Viga	Pruebas pequeñas libres de defectos					
	MOE	ELP	MIE	Dsa	CH(%)	MUE
<b>Vigas a escala natural</b>						
4 111 R	146350	673	819	85	17.5	132430.
4 112 R	147290.	764	85	17.5	134530.	1113.
4 121 O	163150.	729	85	19.1	158480.	1139.
4 131 O	140080.	512	710.	90	165570.	1035.
4 211 R	125290.	439.	584.	79	130360.	1157.
4 212 R	131610.	548.	584.	80	132750.	910.
4 221 R	144420.	512.	800.	79	131960.	882.
4 231 R	162190.	729.	909	86	161370.	1136.
4 311 T	144710.	476.	764	94	121920.	1026.
4 321 T	151440.	476.	837	92	106490.	972.
4 331 T	116860.	444.	514.	82	130630.	986.
4 332 O	137520.	402.	764	96	113740.	1039.
4 411 O	116960.	367.	367.	79	115100.	992.
4 421 R	162790.	476.	764	85	146710.	975.
4 431 RD	511.	511.	620.	75	167500.	700.
4 432 O	122790.	513.	512.	79	140050.	947.
4 511 T	126040.	313.	476.	87	136280.	1021.
4 521 O	146330.	476.	837	82	122370.	1108.
4 531 R	153740.	584.	764.	83	115610.	1093.
4 532 R	125030.	548.	692	90	150770.	1215.
4 611 O	158470.	602.	800.	86	130100.	1117.
4 612 O	127630.	513.	729.	75	131410.	1097.
4 621 R	138730.	547.	620.	79	116230.	1001.
4 621 R*	131090.	421.	656.	83	144660.	991.
4 631 R	105380.	331.	367.	84	141650.	1087.
4 711 T	146930.	692.	909.	92	129030.	1209.
4 712 T	172780.	656.	837	87	147680.	1043.
4 721 T	162890.	512.	762	92	155240.	1112.
4 731 R	143070.	681.	773.			

Tabla C. 7  
(continuación)

Viga	PROPIEDADES FÍSICAS Y MECÁNICAS DE 106 VÍGAS DE MAUCHINGA (Erosionum ulicarium) ENSAYADAS EN CONDICIÓN SECA AL AIRE				Pruebas pequeñas libres de defectos			
	MOE	ELP	MOR	Dsa	CH (%)	MUE	MUR	
4 811	121540.	222.	259.	77	18.9	111480.	77%	
4 821	126960.	525.	650.	79	18.6	100460.	84%	
4 822	117480.	403.	403.	81	17.4	138660.	91%	
4 831	141610.	381.	548.	80	17.6	128760.	110%	
4 911	125870.	381.	476.	79	18.6	123030.	92%	
4 912	120500.	474.	620.	82	19.1	123270.	91%	
4 921	113510.	348.	439.	88	24.0	123690.	83%	
4 931	85040.	186.	259.	72	18.4	101330.	72%	
4 113	138780.	675.	867.	75	16.0	113780.	94%	
4 114	148850.	588.	736.	82	16.4	129660.	105%	
4 122	132900.	388.	580.	76	16.7	102800.	77%	
4 123	125910.	424.	521.	74	16.6	118280.	82%	
4 124	125350.	517.	613.	75	17.1	102400.	79%	
4 132	150430.	692.	909.	86	16.2	155660.	118%	
4 133	161640.	617.	907.	81	17.2	137710.	107%	
4 134	130970.	698.	793.	86	16.7	140370.	97%	
4 213	122140.	519.	519.	80	20.8	132150.	81%	
4 214	127320.	515.	579.	77	16.5	124800.	97%	
4 222	152560.	631.	815.	80	17.0	137750.	101%	
4 223	145020.	641.	767.	77	16.7	122150.	101%	
4 224	145650.	622.	816.	80	17.0	130290.	90%	
4 232	124050.	549.	645.	85	23.0	146930.	104%	
4 233	129520.	585.	746.	79	11.9	101540.	87%	
4 234	143650.	553.	650.	75	16.2	123950.	87%	
4 312	142200.	569.	681.	77	16.4	116390.	91%	
4 313	131360.	425.	490.	68	17.1	126240.	96%	
4 314	136710.	592.	595.	87	15.9	130380.	94%	
4 322	486.	646.	16.8	82	135840.	102%		

Tabla C.7  
(continuacion)

PROPIEDADES FISICAS Y MECANICAS DE 106 VIGAS DE MANCHINGA  
(Erosionum Gleamum) ENSAYADAS EN CONDICION SECA AL AIRE

Viga	Vigas a escala natural			Probetas pequenas libres de defectos		
	MOE	MOR	Dsa	MOE	MOR	Dsa
<b>Vigas a escala natural</b>						
4 324	139820.	682.	86.	15. 4	133180.	102%
4 333	145560.	523.	87.	14. 9	138650.	100%
4 334	R R A	750.	80.	14. 2	130190.	970.
4 412	T O	596.	80.	16. 0	120070.	1024.
4 413	T R	516.	78.	16. 0	113690.	924.
4 414	T R R	480.	75.	15. 8	111530.	898.
4 422	OR	411.	495.	16. 2	137790.	1183.
4 423	R A	551.	585.	15. 9	159740.	1259.
4 424	R R R	141710.	777.	15. 5	152470.	1233.
4 433	R R R	164830.	617.	67.	117890.	925.
4 434	R R R	141740.	720.	77.	117320.	844.
4 512	R A	113300.	510.	72.	15. 1	111320.
4 513	R R R	111300.	296.	81.	14. 3	123760.
4 522	R R R	130300.	546.	83.	14. 3	1091.
4 523	R A A	140070.	553.	747.	89.	15. 2
4 514	R R R	115100.	683.	86.	14. 4	140120.
4 534	R R R	148330.	679.	85.	15. 2	145260.
4 535	R R R	143430.	600.	934.	82.	15. 0
4 613	O O	142670.	680.	840.	83.	15. 9
4 614	O O	115690.	546.	676.	82.	14. 7
4 615	T T	115830.	546.	769.	81.	15. 4
4 622	T O	150430.	426.	579.	80.	14. 7
4 623	R R R	119320.	553.	683.	77.	15. 9
4 632	R R R	143570.	359.	681.	88.	15. 7
4 633	O O	121270.	489.	585.	75.	15. 2
4 634	O O	123470.	553.	682.	89.	14. 5
		121340.	343.	382.	82.	14. 5
		116600.	482.	545.	81.	15. 7
		108240.	469.	521.	80.	15. 2

Tabla C. 7  
(continuacion)

PROPIEDADES FISICAS Y MECANICAS DE 106 VIGAS DE MANCHINGA  
( *Erosimum oleaceum* ) ENSAYADAS EN CONDICION SECA AL AIRE

Vigas a escala natural                  Probetas pequenas libres de defectos

Viga	MOE	ELP	MOR	Dsa	CH(%)	MOE	MOR
4 713 T R	160880.	691.	887.	85	15.7	164190.	1018.
4 714 O A	133820.	599.	698.	62	15.7	131100.	1113.
4 722 R R	136450.	482.	641.	79	15.6	113620.	893.
4 723 T R	151190.	553.	682.	79	16.6	143920.	1209.
4 724 OT R	161240.	650.	714.	83	16.7	158350.	1216.
4 732 OT R	178510.	553.	675.	88	15.7	164210.	1274.
4 733 R A	117970.	545.	736.	88	15.7	121740.	1094.
4 812 T A	152660.	724.	789.	82	15.9	143130.	1120.
4 813 T R	121150.	259.	259.	75	16.3	131920.	975.
4 823 T R	139360.	556.	556.	81	15.4	137010.	1142.
4 824 O R	144110.	482.	545.	77	15.8	129570.	1135.
4 825 T R	145100.	545.	545.	83	16.3	143390.	1142.
4 832 T R	141560.	482.	812.	83	15.7	140860.	1134.
4 833 R*	138710.	310.	385.	83	15.0	146660.	1083.
4 834 RO R	129420.	418.	513.	81	15.8	127130.	1105.
4 913 R A	124100.	471.	750.	81	15.5	129540.	1068.
4 914 O R	122280.	456.	521.	78	15.1	134900.	966.
4 922 T A	125390.	513.	736.	78	16.3	121240.	1017.
4 923 R R	142560.	450.	450.	74	13.9	146030.	797.
4 924 O R	122880.	577.	672.	78	14.7	137870.	1059.
4 932 R R	110350.	317.	381.	68	14.2	121580.	890.
4 933 O R	122430.	521.	617.	79	14.6	145780.	1094.
4 934 O R	116190.	323.	418.	75	14.4	135320.	893.
valor medio	134781.	510.	653.	82	16.9	131262.	1019.
desv estandar	16437.	116.	158.	55	2.0	14691.	122.
coef variacion	.12	.23	.24	.06	.12	.11	.12

Tabla C.8

PROPIEDADES FISICAS Y MECANICAS DE 67 VIGAS DE ESTORQUE  
(Myroxylon periferum) ENSAYADAS EN CONDICION SECA AL AIRE

## Vigas a escala natural

## Probetas pequeñas libres de defectos

Viga	MUE	ELP	MOR	Dsa	CH(%)	MUE	MOR	
5 111	0T R	193480.	728.	94	15.6	177010.	1682.	
5 121	T R	175530.	738.	97	15.8	163930.	1532.	
5 122	RO R	130970.	96.	94	17.0	190530.	1654.	
5 131	T R A	183560.	945.	91	15.7	184060.	1639.	
5 211	TO T	208940.	1053.	94	15.8	183730.	1753.	
5 212	A T	191810.	981.	91	15.5	169850.	1715.	
5 221	T R R	194520.	945.	89	15.6	167030.	1608.	
5 231	O R	188220.	908.	92	15.3	145090.	1424.	
5 311	R R	167330.	334.	93	15.7	147160.	1442.	
5 321	RT R	160340.	585.	93	15.3	132200.	1239.	
5 322	R R R	202390.	884.	95	15.3	177110.	1728.	
5 411	T A	205090.	949.	94	15.9	186970.	1513.	
5 421	T A	208400.	1025.	93	15.4	169880.	1603.	
5 431	R R R	147490.	244.	87	16.2	159600.	1494.	
5 511	T T	152400.	630.	92	16.7	165240.	1546.	
5 512	T A	215100.	838.	94	17.2	198270.	1750.	
5 521	T A	211640.	917.	94	17.2	199530.	1648.	
5 531	TO T	205290.	1057.	1311.	94	16.6	190350.	1616.
5 611	T A	190080.	863.	92	18.1	178650.	1597.	
5 621	T R R	213340.	967.	1040.	94	18.6	177880.	1606.
5 631	T R R	176020.	682.	632.	85.	17.0	154460.	1384.
5 711	T T	184240.	833.	988.	86.	16.9	167960.	1477.
5 81270		192480.	883.	956.	82.	17.5	167210.	1314.
			355.	755.	91.	17.7	166050.	1507.

Tabla C.8  
(continuacion)

PROPIEDADES FISICAS Y MECANICAS DE 67 VIGAS DE ESTORAOUE  
(*Myroxylon peruvitum*) ENSAYADAS EN CONDICION SECA AL AIRE

Viga	Vigas a escala natural			Pruebas pequeñas libres de defectos		
	MUE	ELF	MGR	Dsa	CH(%)	MOE
5 712 T A	158410.	772	885	17.9	139390.	1398
5 721 R A	211530.	924	1039	16.0	187900.	1523
5 731 R R	172330.	889	1036	18.0	140680.	1289
5 112 TU R	191590.	1027.	1217.	98	15.2	157490.
5 113 R R	204480.	523	560	98	14.9	197660.
5 123 T R	196510.	843	843	93	14.1	208830.
5 124 T R	181290.	627	988	89	14.2	157370.
5 132 O R	152540.	400	507	93	14.9	176260.
5 213 T A	190220.	1038.	1252	92	13.9	173250.
5 214 T A	163910.	1024.	1024.	93	13.9	184270.
5 222 TO A	193750.	1005.	1005.	89	14.1	170350.
5 223 OT A	207970.	960.	1101.	92	14.6	184060.
5 224 TO A	207520.	1050.	1194.	95	14.6	180830.
5 232 T R	168110.	477.	676.	91	13.6	177980.
5 233 O R	178230.	981.	1055.	94	13.7	186310.
5 312 O R	146510.	538.	574.	92	13.4	158670.
5 331 T R	171090.	865.	937.	88	12.9	157640.
5 412 T R	200750.	1048.	1116.	94	13.5	201300.
5 413 T R	214520.	1032.	1138.	94	13.5	190310.
5 414 T A	211540.	796.	796.	95	13.9	201180.
5 422 T R	197150.	1044.	1151.	93	13.2	168740.
5 423 T A	207510.	1057.	1092.	95	13.6	187090.
5 424 T A	188280.	1011.	1238.	92	12.9	1713.
5 433 T R	169150.	528.	528.	92	12.9	194700.
						1736.

Tabla C.8  
(continuacion)

PROPIEDADES FISICAS Y MECANICAS DE 67 VIGAS DE ESTORVAQUE  
(Myroxylon peruviana) ENSAYADAS EN CONDICION SECA AL AIRE

Viga	Vigas a escala natural			Proetas pequeñas libres de defectos		
	MOE	ELP	MUR	Dsa	CH(%)	MOE
5 434	T	R	192180.	1131.	93	13.2
5 513	T	R	213890.	792.	95	13.7
5 514	T	R	212060.	961.	89	13.6
5 515	T	R	219120.	1005.	93	13.9
5 522	T	A	214400.	1049.	95	14.0
5 523	O	A	227250.	1020.	93	14.2
5 532	O	R	206360.	996.	97	14.8
5 533	R	R	156620.	448.	92	13.6
5 534	T	A	209470.	936.	91	13.6
5 612	R	A	215180.	1040.	86	13.7
5 613	T	A	191140.	977.	85	13.2
5 614	T	R	162620.	573.	82	13.5
5 615	T	A	186490.	949.	80	13.4
5 623	T	A	181800.	894.	84	14.0
5 624	T	A	196750.	941.	1049.	13.5
5 632	OT	R	161710.	544.	544.	13.7
5 722	O	R	175950.	656.	728.	14.3
5 732	T	R	157260.	707.	883.	13.5
5 733	T	R	176140.	695.	603.	13.9
						161310.
						1498.
valor medio					.91	15.0
desv estandard					.04	1.6
coef variacion					.05	.10
						.11
						.09

6

## APENDICE D

## FORMA DE FALLA Y SU RELACION CON LOS DEFECTOS OBSERVADOS EN LAS VIGAS.

Esta información se presenta en las tablas D.1 a D.9, separadamente para cada especie y cada condición (verde o seca al aire), en orden creciente de módulo de rotura.

El código de cada viga indica la especie, árbol y troza de los que procede (ver apéndice B). La columna C se refiere a la clasificación visual según la Regla de Clasificación para Madera Estructural del PADT-REPORT: R indica una viga rechazada, A corresponde a una viga aceptada como de calidad estructural.

La columna F indica el modo de falla:

C corresponde a una falla iniciada en el canto en compresión,  
por lo general en la zona central más esforzada

T indica una falla iniciada en el canto en tracción

P denota pandeo lateral-torsional.

S indica una falla de corte, poco frecuente en las vigas ensayadas

Se listan a continuación los defectos directamente relacionados con la forma de falla. No figura esta información para las vigas en que la relación entre falla y defectos observados antes de los ensayos no fue evidente. En las vigas que fallaron por pandeo habiendo tenido arqueadura antes del ensayo se ha listado este defecto como posible causa de la falla. La columna "m" indica la gravedad del defecto o los defectos causante de la falla, teniendo como referencia la Regla de Clasificación Visual del PADT-REPORT: 1 indica un defecto aceptable, 2 corresponde a un defecto mayor que lo permitido.

Las dos columnas finales dan el módulo de rotura (MOR), en kg/cm<sup>2</sup>, y el Factor de Calidad (FC), es decir la relación entre el MOR de la viga y el

MOR promedio de las correspondientes probetas pedúreas libres de defectos. Puede observarse que por lo general la falla de las vigas ensayadas en condiciones verdes se origina en el canto en compresión, a diferencia de las vigas secas, cuya falla fue por lo general de tracción. Hay excepciones notables, pero es interesante anotar que en tales casos la forma de falla estuvo casi siempre asociada con un efecto importante.

La relación entre forma de falla y defectos observados antes del ensayo fue más evidente en las vigas de menor resistencia de cada grupo, lo que indica la influencia de los defectos en el MOR. También puede observarse que, con pocas excepciones, las vigas menos resistentes fueron vigas rechazadas por la Regla de Clasificación Visual.

Tabla D.1 FORMA DE FALLA Y SU RELACION CON LOS DEFECTOS OBSERVADOS EN LAS VIGAS DE MARUFA (Símarouta amarilla) ENSAYADAS EN CONDICION VERDE

Viga	C	F	Defectos causantes de la falla	m	MUR	FC
3 925	R	T	Perforaciones pequeñas y ataque de hongos kilofagos, zona 8.	2	76.	20
31032	R	T	Medula. Hongos kilofagos, zona 8.	2	109.	30
3 722	R	T	Medula. Hongos kilofagos, zona 8.	2	114.	36
3 932	R	T	Grano inclinado, zona 8.	2	132.	30
3 912	R	T	Medula. Ataque de hongos kilofagos, zonas 8 y 9.	2	138.	
31122	R	T	Perforaciones pequeñas, zonas 8 y 9.	2	140.	37
31125	R	T	Perforaciones pequeñas, zonas 8 y 9.	2	149.	
31012	R	T	Duramen quebradizo.	2	150.	29
3 412	R	T	Perforaciones pequeñas, zona 7.	2	191.	49
3 115	R	T	Perforaciones pequeñas y ataque de hongos kilofagos, zona 7.	2	197.	48
3 312	R	T	Grano inclinado y perforaciones pequeñas, zona 8.	1	223.	50
31312	R	T	Hongos kilofagos, zonas 8 y 9.	2	230.	51
3 212	R	T	Perforaciones pequeñas, zona 8.	1	241.	
31212	R	T	Ataque de hongos kilofagos, zona 8.	2	259.	58
3 322	R	C	Perforaciones pequeñas, zona 2.	2	277.	69
3 825	R	T	Fallas de compresion presentes antes del ensayo.	2	277.	75
3 515	R	T		291.	81	
3 82B	R	C	Perforaciones grandes, zona 2.	1	313.	
31225	R	C	Ataque de hongos kilofagos, zona 3.	2	321.	80
3 512	R	C	Duramen quebradizo.	2	322.	84
3 922	A	T		349.	1. 06	
3 712	A	C		351.	89	
3 522	R	C		355.	90	
3 622	A	C		367.	80	
3 612	R	C		373.	92	
31022	A	C		381.	89	
3 725	A	C		385.	88	
3 82E	R	C		389.	84	
31232	R	A		391.	90	
31112	A	C		400.	84	
3 612	A	C		403.	96	
3 828	A	C		403.	1. 03	
31222	R	A		458.	1. 12	
3 122	A	C		486.	90	
3 112	A	C		486.	1. 07	

Tabla D.2

**FORMA DE FALLA Y SU RELACION CON LOS DEFECTOS OBSERVADOS EN LAS VIGAS  
DE MARUFA (Sinarroba amara) · ENSAYADAS EN CONDICION SECA AL AIRE**

Viga	C	F	Defectos causantes de la falla	m	MUR	FC
3 211	R	T	Fallas de compresion presentes antes del ensayo.	2	115	19
3 913	R	T	Escanadura. Ataque de hongos kilofagos, zonas 8 y 9.	2	115	19
31011	R	T	Grano inclinado, zona 8.	2	132	22
3 820	R	T	Ataque de hongos kilofagos, zona 7.	2	132	26
31121	R	T	Perforaciones pequenas, zona 8.	2	132	31
31123	R	T	Perforaciones pequenas, zona 7.	1	150	
3 82F	R	T	Ataque de hongos kilofagos, zona 9.	2	150	24
31021	R	T	Perforaciones pequenas, zona 8.	1	150	25
3 116	R	T	Perforaciones pequenas, zona 8.	2	168	
31031	R	T	Nudo hueco, zona 8.	2	168	23
31211	R	T	Medula. Grano inclinado, zona 7.	2	168	26
3 123	R	T	Perforaciones pequenas, zona 8.	2	168	35
3 721	R	S	Grano inclinado, zona 8.	2	187	32
3 711	R	T	Grietas de seco, zonas 8 y 9.	2	187	35
3 413	R	T	Medula. Ataque de hongos kilofagos, zonas 8, 5 y 2.	2	187	37
3 313	R	T	Nudo con ataque de hongos kilofagos, zona 7.	2	205	32
3 933	R	T	Nudo con ataque de hongos kilofagos, zona 8.	2	205	34
516	R	T	Ataque de hongos kilofagos, zonas 8 y 5.	2	205	35
611	R	T	Fallas de compresion presentes antes del ensayo.	2	205	40
3 114	R	T	Perforaciones pequenas, zona 8.	2	223	53
3 623	R	S	Perforaciones pequenas, zona 6.	2	226	
31126	R	S	Escanadura en cara y canto en traccion.	2	241	47
3 921	R	T	Medula.	2	241	47
31313	R	T	Nudo con ataque de hongos kilofagos, zona 7.	2	241	50
31231	R	T	Grano inclinado, zona 8.	2	259	42
31023	R	T	Perforaciones pequenas, zonas 8 y 9.	2	277	47
3 323	R	T	Perforaciones grandes, zona 8.	2	277	48
31124	R	T	Escanadura. Ataque de hongos kilofagos, zona 8.	2	295	56
3 723	R	T	Ataque de hongos kilofagos, zona 9.	2	313	47
3 926	R	T	Perforaciones pequenas, zona 8.	2	313	51
3 911	R	T	Medula.	1	314	54
3 311	R	T	Nudo sano, zona 9.	2	331	48
3 82A	R	T	Perforaciones pequenas, zonas 8 y 9.	2	331	51
31213	R	T	Escanadura en cara y canto en compresion.	2	331	52
3 213	R	C	Medula.	2	331	57
3 513	R	S		2	349	60

Tabla D.2 FORMA DE FALLA Y SU RELACION CON LOS DEFECTOS OBSERVADOS EN LAS VIGAS  
(continuacion) DE MARUFA (Silmarouba amara) ENSAYADAS EN CONDICION SECA AL AIRE

Viga	C	F	Defectos causantes de 1 <sup>a</sup> falla	m	MUR	FC
3 321	R	T	Perforaciones pequeñas, zona 8.....	2	349.	61
3 113	R	C	Escamadura en cara.....	2	367.	50
31033	R	T	Nudo hueco, zona 8.....	2	367.	54
31013	R	T	Medula.....	1	367.	70
3 511	A	T	Perforaciones pequeñas, zona 8.....	1	385.	67
3 111	A	C	.....	1	403.	69
3 629	A	T	.....	1	403.	81
3 626	R	T	.....	1	421.	72
3 411	A	T	Perforaciones pequeñas, zona 8.....	1	421.	79
3 627	R	T	.....	1	421.	87
3 723	A	T	Grano inclinado, zona 7.....	1	421.	90
31311	R	T	Perforaciones pequeñas y ataque de hongos kilofagos, zona 8.....	2	439.	59
3 521	A	T	.....	1	439.	74
3 621	A	T	Perforaciones pequeñas, zona 8.....	1	439.	74
3 611	A	C	.....	1	439.	78
31223	A	C	.....	1	457.	70
3 813	A	C	.....	1	458.	68
31224	A	C	.....	1	458.	69
3 821	R	A	C T C	1	458.	74
31221	A	C	.....	1	476.	69
3 931	A	C	.....	1	476.	71
3 724	A	C	.....	1	476.	77
3 514	A	T	T T T	1	476.	78
3 613	A	T	.....	1	476.	81
3 820	A	T	.....	1	494.	67
3 923	A	T	.....	1	494.	75
3 622	R	C	T T	2	494.	77
3 713	R	T	.....	2	509.	76
3 924	A	T	.....	1	512.	71
31113	A	C	.....	1	512.	73
31226	R	C	T T	1	512.	74
3 726	A	C	.....	1	530.	71
31111	R	C	.....	1	548.	71
31233	A	F	.....	1	548.	76
3 121	A	C	.....	1	548.	76
3 824	A	F	.....	1	548.	76

Tabla D.3

FORMA DE FALLA Y SU RELACION CON LOS DEFECTOS OBSERVADOS EN LAS VIGAS  
DE CATAHUA AMARILLA (*Hura crepitans*) ENSAYADAS EN CONDICION VERDE

Viga	C	F	Defectos causantes de la falla	n	MOR	FC
2 812	R	C	Fallas de compresion presentes antes del ensayo.	2	78.	17
2 712	R	T	Fallas de compresion presentes antes del ensayo.	2	78.	18
2112	R	T	Escamadura en cara y canto en traccion. Hojigus kil. zona 8.	2	165.	35
2121	R	T	Fallas de compresion presentes antes del ensayo.	2	187.	30
2 711	R	T	Fallas de compresion presentes antes del ensayo.	2	205.	63
2 713	R	T	Fallas de compresion presentes antes del ensayo.	2	212.	59
21225	R	T	Fallas de compresion presentes antes del ensayo.	2	215.	37
2 215	R	C	Perforaciones pequenas, zona 2.	2	269.	79
21215	R	T	Grano inclinado, zona 8.	2	270.	53
2 915	R	C	Fallas de compresion presentes antes del ensayo.	2	277.	78
21022	R	C	Fallas de compresion presentes antes del ensayo.	2	277.	93
2 112	R	C	Fallas de compresion presentes antes del ensayo.	2	283.	84
2 225	R	C	Perforaciones pequenas, zona 2.	2	289.	68
2 925	R	C	Fallas de compresion presentes antes del ensayo.	2	295.	78
21025	R	C	Perforaciones pequenas, zona 2.	1	306.	79
2 212	R	C	Grano inclinado, zona 8.	1	309.	97
2 222	R	C	Grano inclinado, zona 7 y 8.	1	331.	75
2 523	R	T	Nudos sanos arracimados, zona 2.	1	331.	77
21212	R	P	Perforaciones pequenas, zona 2.	1	349.	62
2 912	R	C	Grano inclinado, zona 8.	1	349.	73
2 922	R	C	Perforaciones pequenas, zona 2.	2	349.	88
2 928	R	C	Perforaciones pequenas, zona 2.	1	351.	86
2 815	R	T	Grano inclinado, zona 9. Rajadura.	2	358.	97
2 125	R	C	Perforaciones pequenas, zona 9.	2	363.	67
2112	R	T	Grano inclinado, zona 9. Rajadura.	2	367.	74
21012	R	C	Perforaciones pequenas, zona 9.	2	367.	83
2 522	R	C	Perforaciones pequenas, zona 9.	2	374.	94
2 818	R	C	Perforaciones pequenas, zona 9.	2	380.	80
2 722	R	C	Perforaciones pequenas, zona 9.	2	389.	93

Tabla D.3  
(continuación)

FORMA DE FALLA Y SU RELACION CON LOS DEFECTOS OBSERVADOS EN LAS VIGAS  
DE CATAHUA AMARILLA (Hueso crepitante) ENSAYADAS EN CONDICION VERDE

Viga	C	F	Defectos causantes de la falla	W	MOR	FC
21213	R	D	Fallas de compresion presentes antes del ensayo	2	400.	.67
2415	A	C			404.	.83
21222	A	C			414.	.79
2422	R	C			418.	.88
2513	A	T	Grano inclinado, zona 8.	1	413.	.92
2115	R	C			421.	.84
2122	A	C			421.	.85
21115	R	C			424.	.91
21015	A	C			425.	.91
2618	A	P	Arqueadura.	1	444.	.69
2412	A	P			444.	.86
2425	R	C			456.	.90
2617	A	C			458.	.78
2511	R	T	Grano inclinado, zona 8.	1	458.	.93
2315	A	C			466.	.71
2512	A	C			468.	.93
2515	A	C			472.	.86
2615	A	C			476.	.81
2725	A	D			476.	1.09
2514	A	T	Grano inclinado, zonas 8 y 9.	1	483.	.87
2516	A	C			494.	.82
2613	A	T	Grano inclinado, zona 8.	1	494.	.89
2619	A	D			501.	.90
2616	A	C			512.	.83
2612	A	C			512.	.92
2622	A	C			523.	.87
2621	A	C			523.	.91
2614	R	C			537.	.96
2718	R	A			542.	1.29
2611	A	A			548.	.87
2623	A	C			551.	.84

Tabla D. 4

FORMA DE FALLA Y SU RELACION CON LOS DEFECTOS OBSERVADOS EN LAS VIGAS DE  
CATARUA AMARILLA (Masa crepitante) ENSAYADAS EN CONDICION SECA AL AIRE

Viga	C	F	M	MOR	FC	D.8
Defectos causantes de la falla						
2 911	R	T				
21226	R	T				
21123	R	T				
2 811	R	T				
21224	R	T				
21214	R	T				
2 214	R	T				
2 114	R	P				
2 813	R	T				
2 216	R	T				
2 416	R	T				
2 211	R	T				
2 224	R	T				
2 124	R	T				
2 1024	R	T				
2 921	R	T				
2 724	R	T				
2 113	R	C				
2 314	R	P				
2 21121	R	T				
2 213	R	T				
2 221	R	T				
2 114	A	T				
2 1113	R	T				
2 816	R	T				
2 321	R	T				
2 324	R	T				
2 323	R	T				
2 916	R	T				
2 123	R	T				
2 116	R	P				
2 126	R	C				
2 927	A	T				
2 823	A	R				
2 524	A	R				
2 223	R	C				
Perforaciones pequeñas, zona 8.						
			1			

Tabla D.4 FORMA DE FALLA Y SU RELACION CON LOS DEFECTOS OBSERVADOS EN LAS VIGAS DE  
(continuacion) CATAHUA AMARILLA (Hueso crepitans) ENSAYADAS EN CONDICION SECA AL AIRE

Viga	C	F	F	Defectos causantes de la falla	m	NOR	FC
2 926	R	C	P		421.	63	
2 723	A	T	T	Grano inclinado, zona 8.....	1	421.	66
2 614	A	T	T	Grano inclinado, zonas 7 y 8.....	2	421.	67
2 914	R	T	T	Grano inclinado, zona 8.....	2	421.	73
2 424	R	T	T	Grano inclinado, zona 8.....	2	439.	54
2 721	A	T	T	Grano inclinado, zona 8.....	1	439.	63
21216	R	T	T	Grano inclinado, zona 7.....	2	439.	64
21021	R	T	T	Grano inclinado, zona 8.....	1	439.	65
21221	A	G	P	Fallas de compresion presentes antes del ensayo.....	2	439.	66
2 726	A	P	C		439.	71	
21023	R	C	C		453.	55	
2 821	A	B	C		453.	67	
21011	R	T	T	Grano inclinado, zona 8.....	2	453.	79
2 326	R	T	T		476.	82	
21116	A	C	C		476.	65	
2 924	R	C	C		476.	65	
21013	R	C	C		476.	71	
21114	R	C	C		494.	66	
2 123	R	T	T	Fallas de compresion presentes antes del ensayo.....	2	494.	72
2 717	R	T	T		512.	54	
21016	R	T	T	Grano inclinado, zona 8.....	1	512.	61
21014	R	C	T		512.	67	
2 421	A	T	T	Grano inclinado, zonas 7 y 8.....	2	512.	68
2 121	R	C	T	Perforaciones pequenas, zona 2.....	2	530.	57
2 311	R	C	T		530.	65	
2 617	A	C	T	Grano inclinado, zona 8.....	1	530.	81
21111	R	T	T		548.	73	
2 411	A	T	T	Grano inclinado, zona 8.....	1	548.	76
2 426	A	T	T		548.	76	
2 413	A	T	T	Perforaciones pequenas, zona 2.....	2	548.	85
2 414	A	T	T	Grano inclinado, zona 8.....	1	566.	66
2 923	R	C	T		584.	67	
2 913	A	T	T		584.	73	
2 423	R	T	C		692.	1.07	
2 819	A	A	T				
2 313	A	T	T				

Tabla D.5

FORMA DE FALLA Y SU RELACION CON LOS DEFECTOS OBSERVADOS EN LAS VIGAS  
DE TORNILLO (Cedrela guatimaciformis) ENSAYADAS EN CONDICION VERDE

Viga	C	F	Defectos causantes de la falla	m	MOR	FC
1 332	R	T	Ataque de hongos xilofagos, zona 8.	2	126.	.23
1 321	R	T	Ataque de hongos xilofagos, zona 7.	2	289.	.43
1 221	A	P	Arqueadura.	1	325.	.54
1 224	A	C	Arqueadura.	1	325.	.57
1 413	R	P	Perforaciones pequeñas, zona 8.	1	331.	.51
1 223	A	T	Grano inclinado, zonas 8 y 9.	1	343.	.57
1 123	R	T	Perforaciones grandes, zona 8.	2	349.	.55
1 233	A	C	Grano inclinado, zona 9.	2	361.	.56
1 424	R	T	Grano inclinado, zona 9.	2	367.	.61
1 334	R	T	Grano inclinado, zona 8.	2	367.	.65
1 324	A	T	Grano inclinado, zona 8.	1	372.	.59
1 231	A	P	Arqueadura.	1	379.	.64
1 414	R	C	Escamadura en cara y canto en compresión.	2	385.	.65
1 124	A	CCC	Grano inclinado, zona 8.	2	386.	.68
1 311	A	T	Perforaciones grandes, zona 2.	2	397.	.59
1 331	R	CO	Grano inclinado, zona 8.	2	400.	.65
1 524	R	CO	Perforaciones grandes, zona 2.	2	403.	.58
1 523	R	T	Grano inclinado, zona 8.	2	403.	.69
1 212	R	C	Perforaciones grandes y ataque de hongos, zona 8.	2	410.	.71
1 333	A	T	Arqueadura.	1	416.	.64
1 234	R	P	Perforaciones grandes y ataque de hongos, zona 8.	2	416.	.65
1 133	R	P	Arqueadura.	1	416.	.69
1 232	A	CC	Perforaciones grandes y ataque de hongos, zona 8.	1	416.	.79
1 314	A	CC	Arqueadura.	1	424.	.59
1 322	A	CC	Perforaciones grandes y ataque de hongos, zona 8.	1	430.	.63
1 113	R	CC	Arqueadura.	1	433.	.65
1 334	A	CC	Perforaciones pequeñas, zona 9.	1	433.	.67
1 134	R	CC	Perforaciones pequeñas, zona 9.	1	433.	.71

TABLA D.5  
(continuacion)

FORMA DE FALLA Y SU RELACION CON LOS DEFECTOS OBSERVADOS EN LAS VIGAS  
DE TORNILLO (Cedrelinga catenaeformis) ENSAYADAS EN CONDICION VERDE

Viga	C	F	Defectos causantes de la falla	m	MUR	FC
1 421	A	P	Arqueadura.....	1	439.	.68
1 422	A	C	Grano inclinado, zona 8.....	1	439.	.72
1 433	A	T	.....	1	448.	.70
1 522	A	C	Perforaciones Pequeñas, zona 8.....	1	448.	.79
1 112	A	T	.....	1	451.	.63
1 313	A	C	.....	1	451.	.65
1 521	A	C	Perforaciones Pequeñas, zona 1.....	1	457.	.72
1 423	A	P	Arqueadura.....	1	458.	.68
1 411	A	C	.....	1	458.	.74
1 131	A	C	.....	1	464.	.71
1 211	R	C	Nudo atacado por hongos kilofagos.....	2	469.	.63
1 323	R	C	.....	2	469.	.75
1 331	R	C	Arqueadura.....	1	472.	.69
1 434	A	P	.....	1	473.	.74
1 114	R	C	.....	1	475.	.79
1 132	A	C	Arqueadura.....	1	476.	.80
1 312	R	C	.....	1	476.	.82
1 431	A	C	.....	1	484.	.73
1 432	A	C	Perforaciones Pequeñas, zona 3.....	1	485.	.63
1 213	R	C	.....	1	487.	.74
1 122	A	C	.....	1	491.	.69
1 312	A	C	Perforaciones Pequeñas, zona 2.....	1	494.	.79
1 511	R	C	.....	1	502.	.80
1 121	A	C	.....	1	503.	1.23
1 533	R	C	.....	1	512.	.67
1 514	A	C	.....	1	512.	.78
1 412	A	C	Nudo sano, zona 2.....	1	526.	.62
1 513	R	C	.....	1		

Tabla D.6

FORMA DE FALLA Y SU RELACION CON LOS DEFECTOS OBSERVADOS EN LAS VIGAS DE  
TORNILLO (Cedrelings catenaformis) ENSAYADAS EN CONDICION SECA AL AIRE

Viga	C	F	Defectos causantes de la falla	m	MOR	FC
1117	R	T	Fallas de compresion presentes antes del ensayo.	2	178.	21
11213	R	T	Fallas de compresion presentes antes del ensayo.	2	181.	25
11011	R	C	Fallas de compresion presentes antes del ensayo.	2	216.	34
1613	R	T	Nudo hueco, zona 8.	2	218.	26
1615	R	T	Grano inclinado, zona 8.	2	301.	48
1914	R	T	Grano inclinado, zona 8.	2	355.	
11217	R	T	Grano inclinado, zona 8.	2	359.	50
1912	R	T	Nudo atacado por hongos xilofagos, zona 8.	2	360.	51
11218	R	T	Grano inclinado, zona 8.	2	394.	58
1617	R	C	Grano inclinado, zona 8.	2	411.	69
1914	R	T	Grano inclinado, zona 8.	2	424.	41
11214	A	T	Arqueadura.....	2	430.	65
1813	R	P	Arqueadura.....	2	434.	56
1114	R	T	Grano inclinado, zona 9.	2	452.	47
1118	R	T	Grano inclinado, zona 8.	2	465.	67
11016	R	T	Grano inclinado, zona 8.	1	467.	57
1611	R	T	Grano inclinado, zonas 5 y 8.	2	468.	59
1811	R	T	Grano inclinado, zona 8.	2	470.	50
1815	R	T	Rajadura, Nudo sano, zona 9.	2	475.	59
11215	R	P	Arqueadura.....	1	476.	48
1116	A	P	Arqueadura.....	1	485.	74
1614	R	P	Arqueadura.....	1	502.	65
1113	R	T	Arqueadura.....	1	530.	66
11013	R	C	Arqueadura.....	1	531.	70
11014	R	C	Arqueadura.....	2	534.	76
1916	R	T	Nudo sano, zona 8.	2	534.	67
1915	R	T	Nudo sano, zona 8.	2	538.	96
1818	R	T	Nudo sano, zona 8.	2	549.	79

Tabla D.6 FORMA DE FALLA Y SU RELACION CON LOS DEFECTOS OBSERVADOS EN LAS VIGAS DE  
(continuacion) TORNILLO (Cedrelinga catenaeformis) ENSAYADAS EN CONDICION SECA AL AIRE

Viga	C	F	Defectos causantes de la falla	m	MOR	FC
11111	A	C	Fallas de compresion presentes antes del ensayo.	2	566.	67
11211	R	T			571.	63
11112	A	P			573.	68
1 812	R	T			581.	81
1 917	A	T	Grano inclinado, zona 8.	2	597.	69
1 616	R	T	Perforaciones pequenas, zona 8.	2	599.	63
1 913	R	T			607.	53
11216	R	T			608.	65
1 618	R	C			610.	1.00
1 717	A	T			611.	82
1 814	R	C	Duramen quebradizo.	2	612.	83
1 718	R	C			616.	88
1 612	R	T	Grano inclinado, zona 8.	2	624.	64
11018	R	T			626.	61
1 714	A	T			626.	80
11017	R	T	Grano inclinado, zona 8.	1	643.	71
1 715	R	T			651.	72
1 711	R	T			664.	72
1 918	A	C			672.	61
1 915	A	C			679.	75
1 814	R	T			683.	70
11212	A	T			687.	61
1 817	A	T	Ataque de hongos kilofagos, zonas 7 y 8.	2	688.	81
1 713	R	T			690.	78
1 712	R	T	Ataque de hongos kilofagos, zona 8.	2	692.	84
1 716	A	T			741.	76
11012	A	T			757.	80

Tabla D.7

FORMA DE FALLA Y SU RELACION CON LOS DEFECTOS OBSERVADOS EN LAS VIGAS  
DE MANCHINGA (*Brosimum uleanum*) ENSAYADAS EN CONDICION SECA AL AIRE

Viga	C	F	Defectos causantes de la falla	m	MOR	FC
4	813	R	Ataque de hongos kilofagos, zona 9.	2	259.	27
4	811	R	Ataque de hongos kilofagos, zonas 7 y 8.	2	259.	33
4	931	R	Escamadura. Fallas de compresion presentes antes del ensayo.	2	259.	36
4	434	R	Fallas de compresion presentes antes del ensayo.	2	296.	35
4	411	R	Perforaciones grandes y pequenas, zona 7.	2	367.	37
4	631	R	Perforaciones pequenas, zona 8.	2	367.	37
4	932	R	Grano inclinado, zona 8.	2	381.	43
4	632	R	Grano inclinado, zona 8.	2	382.	41
4	822	R	Grano inclinado, zona 8.	2	403.	44
4	934	R	Perforaciones pequenas, zona 8.	2	418.	47
4	921	R	Perforaciones pequenas, zona 8.	1	439.	52
4	923	R	Perforaciones grandes, zonas 7 y 8.	2	450.	56
4	911	R	Grano inclinado, zona 8.	2	476.	51
4	413	R	Grietas de secado y ataque de hongos, zona 9.	2	480.	52
4	313	R	Perforaciones pequenas, zona 8.	2	490.	51
4	414	R	Perforaciones pequenas, zona 9.	2	495.	55
4	433	R	Perforaciones pequenas, zona 9.	2	510.	55
4	931	R	Nudo sano, zona 7.	2	511.	52
4	432	R	Perforaciones pequenas, zona 8.	2	512.	54
4	634	R	Grano inclinado, zona 7.	2	513.	46
4	412	R	Perforaciones pequenas, zona 8.	2	516.	50
4	213	R	Perforaciones pequenas, zona 8.	1	519.	63
4	634	R	Perforaciones pequenas, zona 8.	1	521.	47
4	914	R	Rajadura.	2	521.	54
4	123	R	Perforaciones pequenas, zona 8.	2	521.	63
4	825	R	Ataque de hongos kilofagos, zona 3.	2	543.	47
4	824	R	Perforaciones pequenas, zona 8.	2	545.	48
4	633	R	Grano inclinado, zona 8.	2	545.	54
4	831	R	Arqueadura.	2	548.	49
4	823	R	Perforaciones pequenas, zona 8.	2	556.	49
4	613	R	Perforaciones pequenas, zona 8.	2	579.	59
4	214	R	Perforaciones pequenas, zonas 1 y 2.	2	579.	60
4	122	R	Perforaciones pequenas, zonas 1 y 2.	2	580.	75
4	211	R	Perforaciones pequenas, zona 2.	2	584.	50
4	212	A	Perforaciones pequenas, zona 8.	1	584.	64
4	422	R	Grano inclinado, zona 8.	2	585.	49

Tabla D.7  
(Continuación)  
FORMA DE FALLA Y SU RELACION CON LOS DEFECTOS OBSERVADOS EN LAS VIGAS  
DE MANCHINGA (Brosimum ulicanum) ENSAYADAS EN CONDICION SECA AL AIRE

Viga	C	F	Defectos causantes de la falla	m	MOR	FC
4 833	R	T	Nudo hueco, zona 5.	2	585.	54
4 622	R	C	Perforaciones pequeñas, zona 2.	2	565.	55
4 314	R	T	Perforaciones pequeñas, zona 8.	1	592.	62
4 334	A	T	Perforaciones pequeñas, zona 8.	1	596.	61
4 124	R	T	Grano inclinado, zona 8.	2	613.	77
4 933	R	T	Perforaciones pequeñas, zona 2.	2	617.	56
4 612	R	C	Perforaciones pequeñas, zona 8.	2	620.	56
4 912	R	T	Perforaciones pequeñas, zona 2.	2	620.	68
4 431	R	C	Perforaciones pequeñas, zona 2.	2	620.	89
4 722	R	T	Perforaciones pequeñas, zona 8.	2	641.	72
4 232	R	C	Nudo hueco, zona 1.	2	645.	62
4 322	R	C	Perforaciones pequeñas, zona 2.	2	646.	63
4 234	R	T	Grano inclinado, zona 8.	1	650.	75
4 821	R	C	Perforaciones pequeñas, zona 8.	1	656.	77
4 621	R	T	Perforaciones pequeñas, zona 2.	2	672.	68
4 924	R	C	Perforaciones pequeñas, zona 2.	2	676.	66
4 534	R	T	Grano inclinado, zona 8.	1	681.	66
4 615	R	C	Perforaciones pequeñas, zona 2.	1	681.	74
4 342	R	T	Perforaciones pequeñas, zona 2.	2	682.	66
4 324	R	C	Perforaciones pequeñas, zona 2.	2	682.	56
4 723	R	C	Perforaciones pequeñas, zona 2.	2	682.	60
4 623	R	T	Perforaciones pequeñas, zona 2.	1	683.	58
4 514	R	C	Perforaciones pequeñas, zona 2.	1	683.	63
4 614	R	C	Perforaciones pequeñas, zona 2.	1	692.	63
4 531	A	C	Perforaciones pequeñas, zona 2.	1	698.	63
4 714	A	C	Grano inclinado, zona 8.	1	710.	69
4 131	A	T	Perforaciones pequeñas, zona 7.	2	714.	59
4 724	R	T	Perforaciones pequeñas, zona 2.	2	729.	64
4 121	R	C	Perforaciones pequeñas, zona 2.	2	729.	65
4 611	A	C	Perforaciones pequeñas, zona 2.	1	736.	67
4 733	A	C	Escamadura, canto en tracción.	1	736.	70
4 114	A	C	Perforaciones pequeñas, zona 2.	2	736.	72
4 922	A	C	Perforaciones pequeñas, zona 2.	2	746.	65
4 233	R	C	Perforaciones pequeñas, zona 2.	2	747.	59
4 513	R	T	Perforaciones pequeñas, zona 2.	2	750.	70
4 913	A	C				

Tabla D.7  
(continuación)

Viga	C	F	Defectos causantes de la falla	m	MUR	FC
4 333	R	C	Perforaciones pequeñas, zona 2 .....	2	750.	74
4 112	A	C	.....	1	764.	69
4 521	A	C	.....	2	764.	74
4 332	T	C	.....	1	764.	75
4 311	T	T	Grano inclinado, zona 8 .....	1	767.	75
4 421	R	R	Perforaciones pequeñas, zona 8 .....	2	764.	78
4 223	R	R	Perforaciones pequeñas, zona 8 .....	1	769.	79
4 535	R	T	Perforaciones pequeñas, zona 8 .....	2	773.	69
4 731	A	C	.....	1	777.	62
4 423	A	C	Perforaciones pequeñas, zona 2 .....	1	782.	75
4 721	R	T	Perforaciones pequeñas, zonas 7 y 8 .....	2	789.	70
4 812	A	T	Grano inclinado, zona 8 .....	1	793.	81
4 134	A	T	.....	1	800.	66
4 532	A	T	Perforaciones pequeñas, zona 2 .....	1	800.	91
4 221	A	T	Perforaciones pequeñas, zona 8 .....	1	812.	72
4 832	R	T	Duramen quebradizo .....	2	815.	81
4 222	R	T	.....	1	816.	90
4 224	R	C	Perforaciones pequeñas, zona 8 .....	1	818.	66
4 424	R	C	Perforaciones pequeñas, zona 2 .....	1	819.	84
4 111	A	C	Grano inclinado, zona 8 .....	1	833.	76
4 512	T	S	Grietas de secado, zona 7 .....	2	837.	69
4 712	R	R	Duramen quebradizo .....	2	837.	82
4 511	R	R	.....	2	837.	66
4 321	R	C	.....	2	839.	76
4 533	P	T	Perforaciones pequeñas, zona 2 .....	1	840.	79
4 113	P	C	Perforaciones pequeñas, zona 8 .....	2	867.	92
4 732	T	C	Perforaciones pequeñas, zona 2 .....	2	875.	69
4 713	R	C	Nudo seco, zona 2 .....	1	887.	87
4 133	T	T	.....	1	907.	84
4 132	R	P	Arqueadura .....	1	909.	77
4 231	A	C	Perforaciones pequeñas, zonas 1 y 3 .....	1	909.	80
4 711	A	C	.....	1	909.	84
4 523	T	C	Perforaciones pequeñas, zonas 1 y 3 .....	1	934.	85

Tabla D.8 FORMA DE FALLA Y SU RELACION CON LOS DEFECTOS OBSERVADOS EN LAS VIGAS DE ESTORNAQUE (*Myroxylon perufiferum*) ENSAYADAS EN CONDICION SECA AL AIRE

Viga	C	F	Defectos causantes de la falla	m	MOR	FC
5 122	R	T	Fallas de compresion presentes antes del ensayo.....	2	150.	09
5 431	R	T	Nudo sano, zona 8.....	2	312.	21
5 311	R	T	Medula.....	2	410.	28
5 533	R	T	Medula.....	2	484.	34
5 132	R	C	Medula.....	2	507.	30
5 433	R	P	Arqueadura.....	1	528.	30
5 632	R	T	Ataque de hongos kilofagos, zona 8.....	2	544.	38
5 113	R	T	Fallas de compresion presentes antes del ensayo.....	2	560.	35
5 614	R	T	Medula, Grano inclinado, zona 8.....	2	573.	43
5 312	R	T	Grano inclinado, zona 8.....	2	574.	34
5 232	R	T	Grano inclinado, zona 7.....	2	676.	40
5 621	R	T	Perforaciones pequenas, zona 8.....	2	682.	49
5 111	R	T	Grano inclinado, zona 8.....	2	728.	43
5 722	R	P	Arqueadura.....	1	728.	47
5 711	R	P	Arqueadura.....	1	738.	48
5 513	R	P	Arqueadura.....	2	755.	50
5 414	A	T	Grano inclinado, zona 8.....	1	792.	43
5 733	R	T	Grano inclinado, zona 9.....	1	803.	54
5 321	R	T	Perforaciones grandes y ataque de hongos kilofagos, zona 8.....	1	805.	65
5 432	R	C	Perforaciones pequenas, zonas 1 y 2.....	2	826.	53
5 511	A	C	Escamadura.....	1	838.	48
5 123	R	T	Perforaciones grandes, zona 8.....	2	843.	50
5 331	R	T	Perforaciones grandes, zona 8.....	2	863.	54
5 732	R	P	Arqueadura.....	1	883.	58
5 712	A	P	Arqueadura.....	1	885.	63
5 623	A	P	Arqueadura.....	1	894.	60
5 634	A	T	Grano inclinado, zona 8.....	2	936.	68
5 331	R	T	Perforaciones pequenas, zona 8.....	2	937.	65
5 131	R	P	Arqueadura.....	2	945.	58
5 631	R	P	Arqueadura.....	1	956.	73
5 314	R	T	Arqueadura.....	1	961.	61
5 124	R	C	Arqueadura.....	1	988.	64
5 622	R	C	Arqueadura.....	1	988.	67

Tabla D.8  
(continuación)  
FORMA DE FALLA Y SU RELACION CON LOS DEFECTOS OBSERVADOS EN LAS VIGAS DE  
ESTORAKE (*Myroxylon peruviana*) ENSAYADAS EN CONDICION SECA AL AIRE

Viga	C	F	Defectos causantes de la falla	m	MUR	FC
5 222	A	P		1005.	61	
5 214	A	P		1024.	58	
5 731	R	CC		1036.	80	
5 721	A	PP		1039.	68	
5 611	A	PP		1040.	65	
5 522	A	PP		1049.	64	
5 624	A	PP		1049.	69	
5 233	R	PP		1055.	62	
5 423	A	PP		1092.	64	
5 223	A	CC		1104.	65	
5 532	R	TT	Nudo sano, zona 8.	1103.	60	
5 412	R	PT		1116.	65	
5 434	R	PT	Grano inclinado, zona 8.	1131.	67	
5 615	A	PT		1131.	75	
5 512	R	PT	Grano inclinado, zona 8.	1136.	69	
5 413	R	PT		1138.	67	
5 422	R	PC	Perforaciones pequeñas, zona 2.	1151.	69	
5 613	A	PC		1157.	72	
5 224	A	PP		1194.	71	
5 212	R	PP		1197.	70	
5 421	A	PP		1203.	75	
5 231	R	PP	Grano inclinado, zona 8.	1208.	85	
5 112	R	PT	Grano inclinado, zonas 8 y 9.	1217.	76	
5 612	R	PT		1218.	75	
5 424	A	PT		1238.		
5 411	T	CT	Grano inclinado, zona 8.	1244.	82	
213	A	CT		1252.	72	
5 523	A	CT	Perforaciones grandes, zona 2.	1274.	69	
5 221	R	CT	Grano inclinado, zona 8.	1283.	80	
5 322	R	CT		1287.	75	
5 521	R	PT		1311.	81	
5 515	A	PT		1326.	75	
211	T	PT		1378.	79	

## APENDICE E

## TABLAS RELATIVAS A LA INFLUENCIA DE DEFECTOS EN LAS PROPIEDADES MECANICAS.

Se presentan en este apéndice dos grupos de tablas. Las tablas E.1 a E.24 consideran la influencia de los defectos más importantes en el módulo de rotura (MOR) y el módulo de elasticidad (MOE), separadamente para cada especie y cada condición de ensayo. Las tablas E.25 a E.48 se refieren a la influencia de los mismos defectos en el Factor de Calidad (MOR vigas/MOR probetas) y el cociente MOE vigas/MOE probetas, para las vigas ensayadas en condición verde y en condición seca y para el conjunto de todas las vigas ensayadas.

En cada tabla se comparan resultados obtenidos para el conjunto de todas las vigas ensayadas, para las vigas aceptadas según la Regla de Clasificación Visual y para las vigas rechazadas. En cada caso se consideran las vigas que no presentaron el defecto estudiado; aquellas con el defecto en grado acep

table
-------

tableable y las vigas que tuvieron el defecto en grado no aceptable.

Si bien en cada uno de los grupos comparados se tienen vigas con otros defectos, en diversos grados de magnitud o extensión, puede suponerse que la frecuencia de estos otros defectos es similar en los diversos grupos comparados.

En algunas tablas se consideran defectos en una zona de la viga. Las zonas mencionadas son las descritas en el apéndice B.

Los valores de MOR y MOE que se presentan en las tablas E.1 a E.24 son promedios. Dado que en algunos casos los resultados corresponden a muy pocas vigas, pudiendo ser no representativos, se han indicado con \* los valores correspondientes a una sola viga y con ~ los promedios de menos de 5 vigas.

Las tablas E.25 a E.48 presentan promedios y valores mínimos de los factores de calidad y los cocientes MOE vigas/MOE probetas. Las columnas n indican el número de vigas en cada grupo.

TABLA E 1. - EFECTO DE LA MEDULA EN EL MÓDULO DE ROTURA, MOR (kg/cm<sup>2</sup>)

E. 2

A. Efecto de la Medula en el MÓDULO DE ROTURA, MOR (kg/cm<sup>2</sup>)

Espécie	Condición	Marupa	Catahua	Tornillo	Marchinga	Estoraque
		v %	s %	v %	s %	s %
Vigas sin medula						
Vigas con medula aceptable		319	353	381	416	426
Vigas con medula no aceptable		310	432	385*	416*	532
		191	235	205	301*	654
Vigas aceptadas y sin medula						
Vigas aceptadas con medula		402	464	445	492	436
Vigas rechazadas solo por medula		330	350	368	608	775
Vigas rechazadas sin medula		264	285	317	387	412
Vigas rechazadas con medula aceptable		310	348	385*	416*	500
Vigas rechazadas por medula y otros defectos		191	222	205	301*	613
Vigas cuya forma de falla tuvo una relación directa con:	a) Medula aceptable	367*				919
	b) Medula no aceptable	169	255	60*		896
						457

B. Efecto de la Medula en el MÓDULO DE ELASTICIDAD, MOE (ton/cm<sup>2</sup>)

Espécie	Condición	Marupa	Catahua	Tornillo	Marchinga	Estoraque
		v %	s %	v %	s %	s %
Vigas sin medula						
Vigas con medula aceptable		80	2	89.0	75.3	79.6
Vigas con medula no aceptable		66.0	86.6	74.34	69.5*	110.*
		57.0	77.3	85.7*	110.*	135.
Vigas aceptadas y sin medula		87.5	95.8	82.3	83.2	93.5
Vigas aceptadas con medula		94.9	92.5	93.5	114.	141
Vigas rechazadas solo por medula		83	55			201.
Vigas rechazadas sin medula		75.3	94.8	68.3	78.2	92.5
Vigas rechazadas con medula aceptable		66.0	78.3	74.3*	80.5*	108.
Vigas rechazadas por medula y otros defectos		57.0	75.9	85.7	110.*	132.
						157.

TABLA E. 2. - EFECTO DEL DURAMEN QUEBRADIZO EN LA RESISTENCIA Y RIGIDEZ DE LAS VIGAS

A. Efecto del Duramen Quebradizo en el MÓDULO DE ROTURA , MOR (Kg/cm<sup>2</sup>)

Especie	Condición	Marupa	Catahua	Tornillo	Manchinga	Estoraque
		v	s	v	s	s
Vigas sin duramen quebradizo		298	340	410	426	526
Vigas con duramen quebradizo	203*	313*	361	616*	652	985
Vigas aceptadas por Regla de Clasificación	402	469	445	492	436	662
Vigas rechazadas solo por duramen quebradizo					775	535
Vigas rechazadas sin duramen quebradizo		251	276	317	381	413
Vigas con duramen quebradizo en combinación con otros defectos no aceptables	203*	313*			609	916
Vigas cuya forma de falla tuvo una relación directa con duramen quebradizo	236*				618*	535
				616*		
				825*		

B. Efecto del Duramen Quebradizo en el MÓDULO DE ELASTICIDAD, MOE (ton/cm<sup>2</sup>)

Especie	Condición	Marupa	Catahua	Tornillo	Manchinga	Estoraque
		v	s	v	s	s
Vigas sin duramen quebradizo		75.7	87.3	75.3	79.7	93.0
Vigas con duramen quebradizo	57.1~70.9*				110.	135.
Vigas aceptadas por Regla de Clasificación	87.5	95.7	82.3	83.2	93.5	114.
Vigas rechazadas solo por duramen quebradizo						141.
Vigas rechazadas sin duramen quebradizo		70.3	83.1	68.3	78.4	92.3
Vigas con duramen quebradizo en combinación con otros defectos no aceptables	57.1~70.9*				108.	146.*
						133.
					132.	183.
						155.

TABLA E.3. - EFECTO DEL GRANO INCLINADO EN LA ZONA CENTRAL SOBRE LA RESISTENCIA Y RIGIDEZ DE LAS VIGAS

p. 4

**A. Efecto del Grano inclinado en la zona central en el MÓDULO DE ROTURA, MOR (kg/cm<sup>2</sup>)**

Especie	Condición	Marupa		Catahua		Tornillo		Manchinga		Estoraque	
		v	s	v	s	v	s	v	s	v	s
Vigas sin grano inclinado en zona central	304	370	375	438	437	551	692	971	971	1014	1014
Vigas con grano inclinado aceptable	298	323	402	419	409	586	689	1014	1014	792	792
Vigas con grano inclinado no aceptable	219	207	259	359	395	409	516				
Vigas aceptadas y sin grano inclinado	410	476	474	496	449	606	774	1100	1100		
Vigas aceptadas con grano inclinado	389	448	431	489	400	622	777	1008	1008		
Vigas rechazadas solo por grano inclinado		277*		367		480	468*				
Vigas rechazadas sin grano inclinado	240	302	234	380	417	487	637	836	836		
Vigas rechazadas con grano inclinado aceptable	262	265	368	391	413	578	662	1016	1016		
V. rechazadas por grano inclinado y otros def.	219	504	259	358	367	404	516	792	792		
Vigas cuya forma de falla tuvo una relación											
diferente con : a) grano inclinado aceptable	223	413	410	475	414	526	738	1122	1122		
b) grano inclinado no aceptable	132	199	243	309	386	471	480	817	817		

**B. Efecto del Grano inclinado en la zona central en el MÓDULO DE ELASTICIDAD, MOE (ton/cm<sup>2</sup>)**

Especie	Condición	Marupa		Catahua		Tornillo		Manchinga		Estoraque	
		v	s	v	s	v	s	v	s	v	s
Vigas sin grano inclinado en zona central	79.2	90.8	75.7	82.5	94.8	112	142	190	190		
Vigas con grano inclinado aceptable	74.3	84.6	76.6	80.7	91.6	114	134	193	193		
Vigas con grano inclinado no aceptable	57.2	71.7	66.0	74.8	86.7	99.2	124	172	172		
Vigas aceptadas y sin grano inclinado	91.6	96.0	85.0	90.5	94.9	112	145	199	199		
Vigas aceptadas con grano inclinado	81.3	94.6	80.9	78.9	89.3	123	135	210	210		
Vigas rechazadas solo por grano inclinado	72.2	77.4			91.7	95.2					
Vigas rechazadas sin grano inclinado	71.7	87.4	62.4	74.5	94.5	112	140	179	179		
Vigas rechazadas con grano inclinado aceptable	71.5	79.9	71.4	81.4	97.6	113	133	160	160		
V. rechazadas por grano inclinado y otros def	57.2	71.6	66.0	74.4	85.0	114	124	172	172		

Efecto del grado inclinado en cualquier zona sobre la resistencia y rigidez de las vigas

B Efecto del Grado de polimerización en cualquier zona en el MÓDULO DE ELÁSTICIDAD, MÓDULO (ton/cm<sup>2</sup>)

TABLA E.5.- EFECTO DE NUDOS SANOS EN LA ZONA 2 EN LA RESISTENCIA Y RIGIDEZ DE LAS VIGAS

A. Efecto de Nudos sanos en la zona 2 en el MÓDULO DE ROTURA, MOR (kg/cm<sup>2</sup>)

Espezie	Marupa		Catahua		Tornillo		Manchinga		Estoraque	
Condicion	v	s	v	s	v	s	v	s	v	s
Vigas sin nudos sanos en zona 2	298	350	381	408	423	531	655	950		
Vigas con nudos sanos aceptables	251~	229~	425*	512*	466~	521~	632~			
Vigas con nudos sanos no aceptables	132*	160~	349*				360*	513*	574*	
Vigas aceptadas y sin nudos sanos										
Vigas aceptadas con nudos sanos	402	469	446	492	436~	608	775	1089		
Vigas rechazadas solo por nudos sanos			425*		436~					
Vigas rechazadas sin nudos sanos	248	285	316	377	406	497	614	871		
Vigas rechazadas con nudos sanos aceptables	251~	229~	512*		526*	521~	632~			
V. rechazadas por nudos sanos y otros def.	132*	160~				360*	513*	574*		
Vigas cuya forma de falla tuvo una relación directa:	a) con nudos sanos aceptables		b) con nudos sanos no aceptables		349*		526*		887*	

B. Efecto de Nudos sanos en la zona 2 en el MÓDULO DE ELASTICIDAD, MOE (ton/cm<sup>2</sup>)

Espezie	Marupa		Catahua		Tornillo		Manchinga		Estoraque	
Condicion	v	s	v	s	v	s	v	s	v	s
Vigas sin nudos sanos en zona 2	74.8	88.1	75.3	79.6	92.9	111	135	187		
Vigas con nudos sanos aceptables	73.7~	79.2~	92.5*	86.8*	94.9~	97.5~	134~			
Vidas con nudos sanos no aceptables	54.1*	64.9~	60.9*			79.1*	129.*	147.*		
Vigas aceptadas y sin nudos sanos										
Vigas aceptadas con nudos sanos	87.5	95.7	82.0	83.2	93.7	114	141	201		
Vigas rechazadas solo por nudos sanos			92.5*		94.5~					
Vigas rechazadas sin nudos sanos										
Vigas rechazadas con nudos sanos aceptables	68.8	84.0	68.6	78.3	91.9	110	133	179		
V. rechazadas por nudos sanos y otros def.	73.7~	79.2~	86.8*	102*	97.5~	134	129*	147.*		

TABLA E.6.- EFECTO DE NUDOS SANOS EN LA ZONA 8 EN LA RESISTENCIA Y RIGIDEZ DE LAS VIGAS

A. Efecto de Nudos sanos en la zona 8 en el MÓDULO DE ROTURA, MOR (Kg/cm<sup>2</sup>)

Especie	Condición	Marupa	Catahua	Tornillo	Manchinga	Estoraque
		v	s	v	s	s
Vigas sin nudos sanos en zona 8		285	343	386	424	426
Vigas con nudos sanos aceptables		336*	223*	368*	397*	535
Vigas con nudos sanos no aceptables				78*	216	529
					360*	367*
Vigas aceptadas y sin nudos sanos		393	469	450	492	437*
Vigas aceptadas con nudos sanos		435*		368*	397*	549*
Vigas rechazadas sin nudos sanos		249	279	324	397	412
Vigas rechazadas con nudos sanos aceptables		138*	223*	78*	216*	498
V. rechazadas por nudos sanos y otros def.					360*	526
					682*	367*
Vigas cuya forma de falla tuvo una relación directa:	a) con nudos sanos aceptables					682*
b) con nudos sanos no aceptables						312*
						1103*
						349*

B. Efecto de Nudos sanos en la zona 8 en el MÓDULO DE ELASTICIDAD, MOE (ton/cm<sup>2</sup>)

Especie	Condición	Marupa	Catahua	Tornillo	Manchinga	Estoraque
		v	s	v	s	s
Vigas sin nudos sanos en zona 8		73.7	87.0	76.1	79.8	79.1
Vigas con nudos sanos aceptables		78.5*	90.7*	72.4*	86.2*	111
Vigas con nudos sanos no aceptables				32.4*	79.1	82.0*
					105*	135
Vigas aceptadas y sin nudos sanos		85.6	95.7	83.0	83.2	86.2*
Vigas aceptadas con nudos sanos		94.8*		72.4*	86.2*	106*
					140*	147*
Vigas rechazadas sin nudos sanos		62.7	82.6	69.4	78.5	92.2
Vigas rechazadas con nudos sanos aceptables		45.9*	90.7*	32.4*	79.1	110
V. rechazadas por nudos sanos y otros def.					82.0*	105*
					140*	133
					147*	179
					201	206*
						147*

TABLA E. 7.- EFECTO DE NUDOS SANOS EN LAS ZONAS 4 Y 6 EN LA RESISTENCIA Y RIGIDEZ DE LAS VIGAS

88

A. Efecto de Nudos sanos en zonas 4 o 6 en el MÓDULO DE ROTURA, MOR (kg/cm<sup>2</sup>)

Especie	Marupa		Catahua		Tornillo		Manchinga		Estoraque	
	v	s	v	s	v	s	v	s	v	s
Vigas sin nudos sanos en zonas 4 y 6	297	350	383	424	427	530	654	945		
Vigas con nudos sanos aceptables	237~	284	304~	352~	568	561~			940	
Vigas con nudos sanos no aceptables	259*	286	215*	270	494*	360~	742~			
Vigas aceptadas y sin nudos sanos	402	469~	445	492	441	613	777	1084		
Vigas aceptadas con nudos sanos					352~	531*	736*	1194*		
Vigas rechazadas sin nudos sanos, aceptables	245	275	319	395	409	492	612	863		
Vigas rechazadas con nudos sanos y otros defectos	237~	284	304~	352~	577~	503~			877~	
Vigas rechazadas por nudos sanos y otros defectos	259*	286	215*	270	494*	360~	742~			

B. Efecto de Nudos sanos en zonas 4 o 6 en el MÓDULO DE ELASTICIDAD, MOE (ton/cm<sup>2</sup>)

Especie	Marupa		Catahua		Tornillo		Manchinga		Estoraque	
	v	s	v	s	v	s	v	s	v	s
Condición										
Vigas sin nudos sanos en zonas 4 y 6	75.7	83.0	75.6	79.2	93.6	111.	135.	187.		
Vigas con nudos sanos aceptables	63.4~	84.6	69.2~	75.4~	110.		129~		187.	
Vigas con nudos sanos no aceptables	66.8*	79.4	58.8*	83.3	95.6*	82.0~	136~			
Vigas aceptadas y sin nudos sanos	87.5	95.7	82.3	83.2	94.8	115.	141.	200.		
Vigas aceptadas con nudos sanos					75.4~	95.4*	149.*	208.*		
Vigas rechazadas sin nudos sanos	69.8	83.1	68.7	77.5	92.0	109.	133.	179.		
Vigas rechazadas con nudos sanos aceptables	63.4~	84.6	69.2~	75.4~	113~		122~		182.	
Vigas rechazadas con nudos sanos y otros defectos	66.8*	79.4	58.8*	83.3	95.6*	82.0~	136~			

TABLA E. 8.- EFECTO DE NUDOS HUECOS EN ZONA 2 EN LA RESISTENCIA Y RIGIDEZ DE LAS VIGAS

Especie	Condición	Modulo de Rotura, MOR (Kg/cm <sup>2</sup> )						Esfuerzo
		Marupa	Catagua	Tornillo	Manchinga	Tornillo	Manchinga	
Vigas sin nudos huecos en zona 2		290	346	410	425	530	655	942
Vigas con nudos huecos aceptables	313*	223*	381	469*	546*	600*	822*	1092*
Vigas con nudos huecos no aceptables	259*	187*						
Vigas aceptadas y sin nudos huecos		402	469	445	492	436	604	775
Vigas aceptadas con nudos huecos						672*		1092*
Vigas rechazadas sin nudos huecos	241	282	317	381	410	500	616	864
Vigas rechazadas con nudos huecos aceptables	313*	223*			469*	424*		
V. rechazadas por nudos huecos y otros def.	259*	187*				360*	382*	
Vigas cuya forma de falla tuvo una relación directa con nudos huecos aceptables en zona 2				469*				
Especie	Condición	Modulo de Elasticidad, MIE (ton/cm <sup>2</sup> )						Esfuerzo
		Marupa	Catagua	Tornillo	Manchinga	Tornillo	Manchinga	
Vigas sin nudos huecos en zona 2		74.4	87.9	75.3	79.7	92.9	110.	135.
Vigas con nudos huecos aceptables	69.8*	69.7*			98.9*	110.		187.
Vigas con nudos huecos no aceptables	66.8*	67.3*				79.1*		208.*
Vigas aceptadas y sin nudos huecos		87.5	95.7	82.3	83.2	93.5	114.	141.
Vigas aceptadas con nudos huecos						109.*		200.*
Vigas rechazadas sin nudos huecos	69.7	83.8	68.3	78.4	92.1	108.	133.	180.
Vigas rechazadas con nudos huecos aceptables	69.8*	69.7*			98.9*	111.*		121.*
V. rechazadas por nudos huecos	66.8	67.3*				79.1*		

E.10

**TABLA E. 9. - EFECTO DE NUDOS HUECOS EN ZONA 8 EN LA RESISTENCIA Y RIGIDEZ DE LAS VIGAS**

**A. Efecto de Nudos huecos en la zona 8 en el MÓDULO DE ROTURA, MOR (Kg/cm<sup>2</sup>)**

Especie	Marupa	Catagua	Tornillo	Manchinga	Estoraque	
Condición	v	s	v	s	v	s
Vigas sin nudos huecos en zona 8	302	344	384	414	426	539
Vigas con nudos huecos aceptables	230*	249*	123~	247~	165* 114*	477~ 372~
Vigas con nudos huecos no aceptables						
Vigas aceptadas y sin nudos huecos	402	469	445	492	436	608
Vigas rechazadas solo por nudos huecos						538*
Vigas rechazadas sin nudos huecos	257	277	321	396	413	507
Vigas rechazadas con nudos huecos aceptables	230*	349	123~	247~	165* 114*	477~ 289~
V. rechazadas por nudos huecos y otros def.						
Vigas cuya forma de falla tuvo una relación directa con nudos huecos no aceptables		247~			372~	

**B. Efecto de Nudos huecos en la zona 8 en el MÓDULO DE ELÁSTICIDAD, MOE (ton/cm<sup>2</sup>)**

Especie	Marupa	Catagua	Tornillo	Manchinga	Estoraque	
Condición	v	s	v	s	v	s
Vigas sin nudos huecos en zona 8	76.3	87.4	76.1	79.7	93.0	111.
Vigas con nudos huecos aceptables	60.4*	79.6*	45.8~ 82.8~	28.2* 82.2*	113~ 90.2~	135.
Vigas con nudos huecos no aceptables						187.
Vigas aceptadas y sin nudos huecos	87.5	95.7	82.3	83.2	93.5	114.
Vigas rechazadas solo por nudos huecos					98.7*	141.
Vigas rechazadas sin nudos huecos	71.2	83.0	69.7	76.4	92.3	110.
Vigas rechazadas con nudos huecos aceptables	60.4*	79.6*	113~	133.		179.
V. rechazadas por nudos huecos y otros def.	45.8~ 82.8~	28.2* 82.2*	86.0~			

TABLA E. 10. - EFECTO DE NUDOS HUECOS EN ZONAS 4 Y 6 EN LA RESISTENCIA Y RIGIDEZ DE LAS VIGAS

Especie	Condicion	Modulo de Rotura, MOR (Kg/cm <sup>2</sup> )						Estoraque
		Marupa	Catahua	Tornillo	Máñaninga	S.	S.	
Vigas sin nudos huecos en zonas 4 y 6		✓	✓	✓	✓	✓	✓	
Vigas con nudos huecos aceptables	296	342	385	414	423	526	653	944
Vigas con nudos huecos no aceptables	318~	373	358*	385*	494*	605~		988*
Vigas con nudos huecos no aceptables	205~	281	165*	114*	463*	450~		
Vigas aceptadas y sin nudos huecos	402	466	445	492	436	593	775	
Vigas aceptadas con nudos huecos		512~				757*		
Vigas rechazadas sin nudos huecos	243	274	321	385	404	495		613
Vigas rechazadas con nudos huecos aceptables	318~	304~	358*	385*	494*	529~		
V. rechazadas por nudos huecos y otros def.	205~	281	165*	114*	463*	450~		
							1089	861

B. B. Efecto de Nudos huecos en zonas 4 o 6 en el MÓDULO DE ELASTICIDAD, MOE (ton/cm<sup>2</sup>)

Espectro	Marupa	Catatum	Tornillo	Manchinga	Estoraoque	
Condición	v s	v s	v s	v s	s	
Vigas sin nudos huecos en zonas 4 y 6	75.2 66.4~ 68.2~	68.2 63.6 77.8	76.3 60.6* 28.2*	80.0 74.3* 65.3*	72.8 95.6* 98.9*	109. 129. 107.
Vigas con nudos huecos aceptables						
Vigas con nudos huecos no aceptables						
Vigas aceptadas y sin nudos huecos	67.5	96.3	92.3	83.2	93.5	112.
Vigas aceptadas con nudos huecos	69.1	69.1~			142.*	141.
Vigas rechazadas sin nudos huecos	69.1	63.7	69.9	78.8	91.8	108.
Vigas rechazadas con nudos huecos aceptables	66.4~	60.9~	60.6*	74.3*	95.6*	123.
Vigas rechazadas por nudos huecos y otros def.	68.2~	77.8	28.2*	65.3*	98.9*	107.
V.U.						

TABLA E.11. - EFECTO DE LAS FALLAS DE COMPRESSION EN LA RESISTENCIA Y RIGIDEZ DE LAS VIGAS

A. Efecto de las Fallas de compresion en el modulo de rotura, MOR (Kg/cm<sup>2</sup>)

Especie	Marupa		Catahua		Tornillo		Manchinga		Estoraque	
Condicion	v	s	v	s	v	s	v	s	v	s
Vigas sin fallas de compresion	290	347	405	414	426	546	657	963		
Vigas con fallas de compresion	277*	187**	255	374			287**	252*		
Vigas aceptadas por Regla de Clasificacion	402	469	445	492	436	608	775	1089		
Vigas rechazadas solo por fallas de compresion	277*	205*	338**	364			197**	560*		
Vigas rechazadas sin fallas de compresion en combinacion con otros defectos no aceptables	243	283	346	381	413	518	618	887		
Vigas cuya forma de falla tuvo una relacion directa con fallas de compresion originales	277*	160**	255	367			377**	259*	548**	
					287**		259*		355**	

B. Efecto de las Fallas de compresion en el modulo de elasticidad, MOE (ton/cm<sup>2</sup>)

Especie	Marupa		Catahua		Tornillo		Manchinga		Estoraque	
Condicion	v	s	v	s	v	s	v	s	v	s
Vigas sin fallas de compresion	74.1	87.2	77.7	79.3	93.0	110.	135.	188.		
Vigas con fallas de compresion	72.2*	85.4**	63.6	83.6	111.**		85.0*	173.**		
Vigas aceptadas por Regla de Clasificacion	87.5	95.7	87.3	83.2	93.5	114.	141.	201.		
Vigas rechazadas solo por fallas de compresion	72.2*	87.6**	70.3.	80.8	120.**			204.**		
Vigas rechazadas sin fallas de compresion en combinacion con otros defectos no aceptables	68.5	82.8	70.9	77.7	92.3	108.	133.	180.		
					102.**		85.0*	158.**		

TABLA E.12. - EFECTO DE PERFORACIONES PEQUEÑAS EN ZONA 2 EN LA RESISTENCIA Y RIGIDEZ DE LAS VIGAS

A. Efecto de Perforaciones pequeñas en zona 2 en el MÓDULO DE ROTURA, MDR (kg/cm <sup>2</sup> )		B. Efecto de Perforaciones pequeñas en zona 2 en el MÓDULO DE ELASTICIDAD, MOE (ton/cm <sup>2</sup> )					
Espécie	Condición	Mariupá	Catáhuas	Tornillo	Manchinga	Estaroque	
		V	S	V	S	V	S
Vigas sin perforaciones pequeñas en zona 2		307	367	392	413	427	528
Vigas con perforaciones pequeñas aceptables	V.	216-	297-	297-	376	416	525
V. con perforaciones pequeñas no aceptables	V.	197-	196-	293	409		
Vigas aceptadas y sin perforaciones pequeñas		402	472	445	492	435	612
Vigas aceptadas con perforaciones pequeñas	V.	460	277*			441-	578-
Vigas rechazadas solo por perforaciones pequeñas							
Vigas rechazadas sin perforaciones pequeñas		257	304	324	370	414	493
V. rechazadas con perf. pequeñas aceptables	V.	216-	239	297-	376	404	504
V. rechazadas por perf. pequeñas y otros def.	V.	197-	196-	297-	409		
Vigas cuya forma de falla tuvo una relación directa con :	a) perf. pequeñas aceptables	348*	306*	306*	494*	751	989-
b) perf. pequeñas no aceptables		277*	315-	458-		671	

TABLA E. 13. - EFECTO DE FERFORACIONES PEQUEÑAS EN ZONA 3 EN LA RESISTENCIA Y RIGIDEZ DE LAS VIGAS.

E. 14

Efecto de perforaciones pequeñas en zona B en el MÓDULO DE ROTURA, PIOR (kg/cm<sup>2</sup>)

	Marupa		Catahua.		Tornillo		Manchinga		Estoraque	
Condición	V	S	V	S	V	S	V	S	V	S
Vigas sin perforaciones pequeñas en zona S	313	378	385	416	435	538	716	974		
Vigas con perforaciones pequeñas aceptables	242	305	353	432	406	458	656	754		
V. con perforaciones pequeñas no aceptables	144..	215	288*	304	1.26*	483..	598	749..		
Vigas aceptadas y sin perforaciones pequeñas	392	479	444	491	446	603	779	1089		
Vigas aceptadas con perforaciones pequeñas	488*	432	476*	494..	381	605..	774			
V. rectazadas solo por perforaciones pequeñas		168*								
Vigas rectazadas sin perforaciones pequeñas	271	307	317	396	420	508	691	893		
V. rectazadas con perf. pequeñas aceptables	201	256	322..	404	448..	385..	592	754		
V. rectazadas por perf. pequeñas y otros def.	144..	221	283*	304	126*	483..	598	749..		
Vigas cuya forma de falla tuvo una relación directa con :	a) perf. pequeñas aceptables		b) perf. pequeñas no aceptables							
b)	180..	358	421*	397..			661			
	145..	235	327..				598			
							814..			

### B. Efecto de Perforaciones pequeñas en zona B en el MÓDULO DE ELASTICIDAD, MOE (ton/cm<sup>2</sup>)

Espezie	Mariupa	Catatum	Torville	Marribinga	Estorrique			
Condicion	v s	v s	v s	v s	s			
Vigas sin perforaciones pequeñas en zona 8	75.0	88.4	75.3	78.9	94.2	110.	139.	138.
Vigas con perforaciones pequeñas aceptables	72.2	87.4	73.4	84.2	89.6	114.	134.	184.
V. con perforaciones pequeñas no aceptables	68.2	79.5	62.3*	77.9	64.0*	96.2**	133.	168.
Vigas aceptadas y sin perforaciones pequeñas	86.4	94.0	82.2	79.8	94.8	113.	145.	201.
Vigas aceptadas con perforaciones pequeñas	96.7*	102	83.8*	96.2	87.0	118.	140.	
V. rechazadas solo por perforaciones pequeñas	64.9*							
Vigas rectazadas sin perforaciones pequeñas	69.0	84.5	67.3	78.5	93.4	109	137.	179.
V. rectazadas con perf. pequeñas aceptables	68.1	81.8	77.1	78.9	93.9	112.	131.	184.
V. rectazadas por perf. pequeñas y otras def.	68.2	81.3	62.3*	77.9	64.0*	96.2	133.	168.

TABLA E. 14. - EFECTO DE PERFORACIONES PEQUEÑAS EN ZONAS 4 o 6 EN EL MÓDULO DE FLEXITUD, MOR (kg/cm<sup>2</sup>)

Especie	Condición	Marupa	Cataluba	Tornillo	Marchinga	Estoraque
		V	S	V	S	S
V. sin perforaciones pequeñas en zonas 4 y 6		311	378	393	412	436
Vigas con perforaciones pequeñas aceptables		212*	299	305	458	540
V. con perforaciones pequeñas no aceptables		197*	211	309*	353	520*
Vigas aceptadas y sin perforaciones		405	481	446	491	437
Vigas aceptadas con perforaciones pequeñas		367*	436	404*	494*	432
Vigas rechazadas sin perforaciones		266	314	324	382	435
Vigas rechazadas con perf. pequeñas aceptables		135*	231	289	422*	325
Vigas rechazadas por perf. pequeñas y otros def.		197*	211	309*	353	520*
Vigas cuya forma de falla tuvo una relación directa con perf. pequeñas no aceptables		241*	331*			

E. Efecto de Perforaciones pequeñas en zonas 4 o 6 en el MÓDULO DE ELASTICIDAD, MOE (ton/cm<sup>2</sup>)

Especie	Condición	Marupa	Cataluba	Tornillo	Marchinga	Estoraque
		V	S	V	S	S
V. sin perforaciones pequeñas en zonas 4 y 6		74.0	87.3	75.8	78.9	93.7
Vigas con perforaciones pequeñas aceptables		76.7*	88.1	68.6	91.4	90.6
V. con perforaciones pequeñas no aceptables		72.6*	83.8	84.8*	74.2	106,*
Vigas aceptadas y sin perforaciones		86.8	93.3	83.0	79.8	93.4
Vigas aceptadas con perforaciones pequeñas		93.2*	103	59.8*	96.2	93.9
Vigas rechazadas sin perforaciones		67.9	63.6	66.4	72.6	94.1
Vigas rechazadas con perf. pequeñas aceptables		68.5*	80.7	70.1	86.6	85.3
Vigas rechazadas por perf. pequeñas y otros def		72.6*	63.6	84.8*	74.2	105,*

TABLA E.15 - EFECTO DE PERFORACIONES GRANDES EN ZONA 2 EN LA RESISTENCIA Y RIGIDEZ DE LAS VIGAS

E.16

A. Efecto de Perforaciones grandes en zona 2 en el MODULO DE ROTURA, MOR (kg/cm<sup>2</sup>)

Especie	Condición	Marupa	Catahua	Tornillo	Manchinga	Estoraque		
		v	s	v	s	v	s	s
Vigas sin perforaciones grandes en zona 2	288	339	381	410	424	534	662	935
Vigas con perforaciones grandes aceptables	343*	394*			467*	483	1025	
V. con perforaciones grandes no aceptables	223*	314*			403*		968*	
Vigas aceptadas y sin perforaciones grandes	402	470	445	492	435	615	775	1080
Vigas rechazadas con perforaciones grandes		458*			448*	558*		1163*
Vigas rechazadas solo por perforaciones grandes					403*			
Vigas rechazadas sin perforaciones grandes	236	275	317	381	409	501	623	846
V. rechazadas con perf. grandes aceptables	343*	330*			436*	453		946*
V. rechazadas por perf. grandes y otros def.	223*	314*					427*	968*
Vigas cuya forma de falla tuvo una relación directa con : a) perf. grandes aceptables	313*							
b) perf. grandes no aceptables				403*				1283*

B. Efecto de Perforaciones grandes en zona 2 en el MODULO DE ELASTICIDAD, MOE (ton/cm<sup>2</sup>)

Especie	Condición	Marupa	Catahua	Tornillo	Manchinga	Estoraque		
		v	s	v	s	v	s	s
Vigas sin perforaciones grandes en zona 2	73.8	86.9	75.3	79.7	92.9	111.	136.	186.
Vigas con perforaciones grandes aceptables	74.7*	93.7*			94.1*	101.	115.	198.
V. con perforaciones grandes no aceptables	60.1*	89.5*			96.4*			189.*
Vigas aceptadas y sin perforaciones grandes	87.5	95.4	82.3	83.2	93.7	116.	141.	199.
Vigas aceptadas con perforaciones grandes		102.*			83.8*	97.4		217.*
V. rechazadas solo por perforaciones grandes					96.4*			
Vigas rechazadas sin perforaciones grandes	67.6	82.7	69.3	78.4	91.8	109.	134.	178.
V. rechazadas con perf. grandes aceptables	74.7*	85.4*			99.4*	102.		189.*
V. rechazadas por perf. grandes y otros def.	60.1*	89.5*					115.	189.*

TABLA E. 16. - EFECTO DE PERFORACIONES GRANDES EN ZONA 8 EN LA RESISTENCIA Y RIGIDEZ DE LAS VIGAS

A. Efecto de Perforaciones grandes en zona 8 en el MÓDULO DE ROTURA, MDR (Kg/cm<sup>2</sup>)

Especie	Condición	Marupa	Catahua	Torillo	Manchinga	Estoraque				
		v	s	v	s	s				
Vigas sin perforaciones grandes en zona 8		289	342	381	414	424	528	661	661	924
Vigas con perforaciones grandes aceptables		241*	263~	263~	452~	410~	357~	425~	425~	1160~
v. con perforaciones grandes no aceptables		295*			418~	357~				1022~
Vigas aceptadas y sin perforaciones grandes		402	469	445	492	436	608	775	775	1087
Vigas aceptadas con perforaciones grandes					416*					1105
v. rechazadas solo por perforaciones grandes		295*								
Vigas rechazadas sin perforaciones grandes		244	277	317	385	404	489	622	622	827
v. rechazadas con perf. grandes aceptables		241*		263~	464~	610~				1215~
v. rechazadas por perf. grandes y otros def.					418~	357~				1022~
Vigas cuya forma de falla tuvo una relación directa con :	a) perf. grandes aceptables				416*					
b) perf. grandes no aceptables		295*			367*					
						450*				834~

B. Efecto de Perforaciones grandes en zona 8 en el MÓDULO DE ELASTICIDAD, MOE (ton/cm<sup>2</sup>)

Especie	Condición	Marupa	Catahua	Torillo	Manchinga	Estoraque				
		v	s	v	s	s				
Vigas sin perforaciones grandes en zona 8		74, 1	86, 8	75, 3	80, 0	92, 9	111,	135,	135,	185,
Vigas con perforaciones grandes aceptables		95, 5*		71, 4~	95, 5~	95, 5~	115~			216, ~
v. con perforaciones grandes no aceptables		99, 7*			90, 0~	81, 6~		117, ~		190, ~
Vigas aceptadas y sin perforaciones grandes		87, 5	95, 7	82, 3	83, 2	93, 6	114,	141,	141,	199,
Vigas aceptadas con perforaciones grandes					91, 8*					213, ~
v. rechazadas solo por perforaciones grandes		99, 7*								
Vigas rechazadas sin perforaciones grandes		68, 7	82, 3	68, 3	78, 8	91, 8	110,	133,	133,	177,
v. rechazadas con perf. grandes aceptables		95, 5*		71, 4~	96, 7~	115, ~				214, ~
v. rechazadas por perf. grandes y otros def.					90, 0~	81, 6		117, ~	117, ~	190, ~

TABLA E. 17. - EFECTO DE PERFORACIONES GRANDES EN ZONAS 4 o 6 EN LA RESISTENCIA Y RIGIDEZ DE LAS VIGAS

P. 18

A. Efecto de Perforaciones grandes en zonas 4 o 6 en el MODULO DE ROTURA, MOR (kg/cm<sup>2</sup>)

Especie	Condicion	Marupa	Catagua	Tornillo	Manchinga	Estoraque
		v	s	v	s	v
V. sin perforaciones grandes en zonas 4 y 6	292	341	383	409	422	535
Vigas con perforaciones grandes aceptables	282~	361~	530*	436	483	668
V. con perforaciones grandes no aceptables	223*	259~	269*	295*	503*	521~
377~						1084~
Vigas aceptadas y sin perforaciones grandes	404	469	445	492	438	626
Vigas aceptadas con perforaciones grandes	381*	476~			415~	530~
Vigas rechazadas sin perforaciones grandes	246	280	319	378	398	775
Vigas rechazadas con perf. grandes aceptables	233~	131*	530*	452~	500	1110
Vigas rechazadas por perf. grandes y otros def.	223*	259~	269*	295*	503*	521~
					630	852
					377~	893~
						1084~

B. Efecto de Perforaciones grandes en zonas 4 o 6 en el MODULO DE ELASTICIDAD, MOE (ton/cm<sup>2</sup>)

Especie	Condicion	Marupa	Catagua	Tornillo	Manchinga	Estoraque
		v	s	v	s	v
V. sin perforaciones grandes en zonas 4 y 6	73.8	87.1	75.5	72.6	92.0	111.
Vigas con perforaciones grandes aceptables	75.0~	86.3~	100*	98.8	103.	136.
V. con perforaciones grandes no aceptables	80.1*	87.6~	66.7*	67.9*	102.*	121.~
						187.~
						114.~
						208.~
Vigas aceptadas y sin perforaciones grandes	86.9	96.1	82.3	83.2	93.0	116.
Vigas aceptadas con perforaciones grandes	92.8*	91.7~			98.4~	102.~
						141.
Vigas rechazadas sin perforaciones grandes	68.4	82.8	68.5	78.3	90.5	109.
Vigas rechazadas con perf. grandes aceptables	65.1~	75.5*	100.*	99.1~	104.	134.
V. rechazadas por perf. grandes y otros def.	80.1*	87.6~	66.7*	67.9*	102.*	121.~
						114.~
						178.~
						208.~

TABLA E.18. - EFECTO DE ATAQUE DE HONGOS EN ZONA 2 EN LA RESISTENCIA Y RIGIDEZ DE LAS VIGAS

A. Efecto de Hongos en zona 2 en el MÓDULO DE ROTURA, MOR (Kg/cm <sup>2</sup> )						
Especie	Condición	Marupa	Catagua	Tornillo	Manchinga	Estoraque
		v	s	v	s	s
Vigas sin hongos en zona 2		283	352	412	430	525
Vigas con hongos aceptables		304	341	418	351~	681~
Vigas con hongos no aceptables		244~	197	322~	427~	359*
Vigas aceptadas y sin hongos		396	475	445	435	604
Vigas aceptadas con hongos		414~	444~	534*	558*	672*
Vigas rechazadas sin hongos		217	286	306	363	422
Vigas rechazadas con hongos aceptables		274	282	418~	377~	428~
Vigas rechazadas por hongos y otros def.		244~	197~	322~	427~	359*
Vigas cuya forma de falla tuvo una relación directa con hongos no aceptables		187*		349*	469*	

B. Efecto de Hongos en zona 2 en el MÓDULO DE ELASTICIDAD, MOE (ton/cm<sup>2</sup>)

B. Efecto de Hongos en zona 2 en el MÓDULO DE ELASTICIDAD, MOE (ton/cm <sup>2</sup> )						
Especie	Condición	Marupa	Catagua	Tornillo	Manchinga	Estoraque
		v	s	v	s	s
Vigas sin hongos en zona 2		73.8	87.9	74.8	79.3	93.2
Vigas con hongos aceptables		75.9	89.3	85.5~	88.9	83.4~
Vigas con hongos no aceptables		63.6~	72.4	70.6~	102.~	84.9*
Vigas aceptadas y sin hongos		89.8	95.9	82.3	81.6	93.4
Vigas aceptadas con hongos		82.1~	94.9~	113.*	97.5*	107.*
Vigas rechazadas sin hongos		64.5	83.6	66.5	73.4	92.9
Vigas rechazadas con hongos aceptables		74.2	86.1	65.5~	82.9~	76.4~
Vigas rechazadas por hongos y otros defectos		63.6~	72.4	70.6~	102.~	84.9*

TABLA E. 19. - EFECTO DE HONGOS EN ZONA 8 EN EL MÓDULO DE ROTURA, MOR (kg/cm<sup>2</sup>)

E. 20

A. Efecto de Hongos en zona 8 en el MÓDULO DE ROTURA, MOR (kg/cm <sup>2</sup> )	Marupa	Catagua	Tornillo	Manchinga	Estorague	
Especie	v	s	v	s	v	
Condición						
Vigas sin hongos en zona 8	315	370	382	418	435	524
Vigas con hongos aceptables	324	329	542*	390~	426	654
Vigas con hongos no aceptables	190	225	165*	253~	277~	672
Vigas aceptadas y sin hongos	395	474	445	492	439	608
Vigas aceptadas con hongos	411~	450	411~	450	406~	606
Vigas rechazadas solo por hongos	458*	439*	416*	439	753	1089
Vigas rechazadas sin hongos	262	294	315	387	429	487
Vigas rechazadas con hongos aceptables	281	282	542*	390~	446~	624
Vigas rechazadas por hongos y otros def.	152	201	165*	253~	208~	614
Vigas cuya forma de falla tuvo una relación directa con hongos no aceptables	162	244	165*	349*	271~	581~

B. Efecto de Hongos en zona 8 en el MÓDULO DE ELASTICIDAD, MOE (torr/cm<sup>2</sup>)

B. Efecto de Hongos en zona 8 en el MÓDULO DE ELASTICIDAD, MOE (torr/cm <sup>2</sup> )	Marupa	Catagua	Tornillo	Manchinga	Estorague	
Especie	v	s	v	s	v	
Condición						
Vigas sin hongos en zona 8	77.3	89.5	76.1	79.9	94.1	109.
Vigas con hongos aceptables	78.1	85.4	76.4*	77.3~	90.8	135.
Vigas con hongos no aceptables	61.9	79.2	26.2*	78.7~	81.0~	116.~
Vigas aceptadas y sin hongos	88.7	97.7	82.3	83.2	94.1	114.
Vigas aceptadas con hongos	85.7~	88.1	87.7~	91.4~	149.	136.
Vigas rechazadas solo por hongos	98.6*	96.7*	89.5*	91.4~	101.	204.
Vigas rechazadas sin hongos	69.7	83.5	69.5	78.5	94.1	107.
Vigas rechazadas con hongos aceptables	74.3	84.4	76.4*	77.3~	93.9~	132.
Vigas rechazadas por hongos y otros def.	56.7	77.3	28.2*	78.7~	76.8~	116.~

TABLA E. 20. - EFECTO DE HONGOS EN ZONAS 4 Y 6 EN LA RESISTENCIA Y RIGIDEZ DE LAS VIGAS

Efecto de Honda en zonas 4 ó 5 en el MÓDULO DE ELÁSTICIDAD, MDE (ton/cm<sup>2</sup>)

Especie	Condicion	Marupa	Catahua	Torillo	Manchinga	Estorague			
		v	s	v	s	s			
Vigas sin hongos en zonas 4 y 6		77.2	88.4	75.9	80.0	93.0	109.	134.	187.
Vigas con hongos aceptables		74.9	90.6	79.3~	80.4~	89.9	136.	136.	178.~
Vigas con hongos no aceptables		65.1	76.1	28.2*	73.2~	96.2	132.*	133.	168.~
Vigas aceptadas y sin hongos		78.6	96.4	82.3	81.6	93.5	114.	151.	204.
Vigas aceptadas con hongos		96.3	94.6	112.*	94.7~	129.			
Vigas rechazadas solo por hongos		69.8*							
Vigas rechazadas sin hongos		76.3	84.3	68.3	79.4	92.1	107.	132.	178.~
Vigas rechazadas con hongos aceptables		65.2	86.6	79.3~	69.9~	86.7~		134.	178.~
Vigas rechazadas por hongos y otros def.		64.2	76.1	26.2*	73.2~	96.2	132.*	133.	192.~

TAELA E.21. - EFECTO DE LA ARQUEADURA EN LA RESISTENCIA Y RIGIDEZ DE LAS VIGAS

E.22

A. Efecto de la Arqueadura en el MODULO DE ROTURA , MOR (Kg/cm<sup>2</sup>)

Espezie Condicion	Marupa		Catahua		Tornillo		Manchinga		Estoraque	
	v	s	v	s	v	s	v	s	v	s
Vigas sin arqueadura	294	327	384	409	436	521	656	951		
Vigas con arqueadura aceptable	288	371	376	443	418	588	627	901		
Vigas con arqueadura no aceptable				349*	434*		579*	792*		
Vigas aceptadas y sin arqueadura	366*	477	457	495	436	607	775	1110		
Vigas aceptadas con arqueadura	410	462	426	480*	436	613*		980*		
Vigas rechazadas solo por arqueadura				259*			579*	792*		
Vigas rechazadas sin arqueadura	270	281	297	380	436	498	612	872		
Vigas rechazadas con arqueadura aceptable	237	262	336	413	395	567*	627	743*		
Vigas rechazadas por arqueadura y otros defectos				379*	434*					
Vigas cuya forma de falla tuvo una relacion directa con : a) Arqueadura aceptable	548*	444*	376*	412	489*	909*	901*			
b) Arqueadura no aceptable		259*		434*		579*	792*			

B. Efecto de la Arqueadura en el MODULO DE ELASTICIDAD, MDE (ton/cm<sup>2</sup>)

Espezie Condicion	Marupa		Catahua		Tornillo		Manchinga		Estoraque	
	v	s	v	s	v	s	v	s	v	s
Vigas sin arqueadura	72.5	85.7	75.1	76.7	93.6	108.	135.	186.		
Vigas con arqueadura aceptable	74.5*	90.3	75.7	97.7	92.5	125.	131.	193.		
Vigas con arqueadura no aceptable			84.8*		105.*	150.*		214.*		
Vigas aceptadas y sin arqueadura	82.0	94.4	82.3	77.4	93.4	112.	141.	202.		
Vigas aceptadas con arqueadura	88.8	97.0	82.2	105.*	93.7	120.*		195.		
Vigas rechazadas solo por arqueadura			92.2*				150.*	214.*		
Vigas rechazadas sin arqueadura	69.3	83.0	66.6	76.5	93.9	107.	133	178		
Vigas rechazadas con arqueadura aceptable	68.5	82.3	70.5	91.9	91.0	129.*	131.	189.*		
V. rechazadas por arqueadura y otros defectos			62.3*		105.*					

TABLA E. 22. - EFECTO DE LAS GRIETAS DE SECADO EN ZONAS 4 Y 6 EN LA RESISTENCIA Y RIGIDEZ DE LAS VIGAS

A. Efecto de las Grietas en zonas 4 o 6 en el MÓDULO DE ROTURA , MOR (kg/cm <sup>2</sup> )						
Especie	Condición	Marupa	Catahuia	Tornillo	Manchinga	Estoraque
		v	s	v	s	s
Vigas sin grietas en zonas 4 y 6		289	337	361	414	427
Vigas con grietas aceptables			390--		394--	528
Vigas con grietas no aceptables				1.14*	355--	638
Vigas aceptadas y sin grietas		402	466	445	492	469*
Vigas aceptadas con grietas			503		325*	469*
Vigas rechazadas sin grietas		244	277	317	364	410
Vigas rechazadas con grietas aceptables			277--		394--	495
V. rechazadas por grietas y otros defectos				1.14*	385*	612
Vigas rechazadas sin grietas						617*
Vigas rechazadas con grietas aceptables						714*
V. rechazadas por grietas y otros defectos						714*

B. Efecto de las Grietas en zonas 4 o 6 en el MÓDULO DE ELASTICIDAD, MOE (ton/cm<sup>2</sup>)

B. Efecto de las Grietas en zonas 4 o 6 en el MÓDULO DE ELASTICIDAD, MOE (ton/cm <sup>2</sup> )						
Especie	Condición	Marupa	Catahuia	Tornillo	Manchinga	Estoraque
		v	s	v	s	s
Vigas sin grietas en zonas 4 y 6		74.1	87.0	75.3	79.2	73.2
Vigas con grietas aceptables			88.5--		95.9--	110.
Vigas con grietas no aceptables					84.8--	135.
Vigas aceptadas y sin grietas		87.5	95.7	82.3	83.2	94.5
Vigas aceptadas con grietas			95.9--		82.2*	114.
Vigas rechazadas sin grietas					93.9*	122.*
Vigas rechazadas con grietas aceptables		68.7	83.0	68.3	77.7	91.4
V. rechazadas por grietas y otros defectos			81.0--		95.9--	106.
Vigas rechazadas sin grietas					105.*	132.
Vigas rechazadas con grietas aceptables					96.9*	122.*
V. rechazadas por grietas y otros defectos					62.2*	161.*

TABLA E. 23. - EFECTO DE RAJADURAS EN EL MÓDULO DE ROTURA, MOR (kg/cm<sup>2</sup>)

Especie Condición	Marupa		Catahua		Tornillo		Marchinga		Estoraque	
	v	s	v	s	v	s	v	s	v	s
Vigas sin rajaduras	294	351	388	414	437	515	656	957		
Vigas con rajadura aceptable		270	353*	439*	385*	617	533	966		
Vigas con rajadura no aceptable	150*	211*	271*	250*	338	409*	710	836		
Vigas aceptadas y sin rajaduras	402	469	446	492	441	592	770	1091		
Vigas aceptadas con rajaduras			425*	485*	385*	643	909*	1063		
Vigas rechazadas solo por rajaduras			367*		331*		679*	1055*		
Vigas rechazadas sin rajaduras	249	282	321	384	431	488	616	871		
Vigas rechazadas con rajadura aceptable		270	317*	439*	591	439*	666			
V. rechazadas por rajadura y otros defectos	150*	211*	223*	250*	340*	409*	731*	805		
Vigas cuya forma de falla tuvo una relación directa con rajadura (no aceptable)			367*		475*		521*			

E. Efecto de Rajaduras en el MÓDULO DE ELASTICIDAD, MGE (ton/cm<sup>2</sup>)

Especie Condición	Marupa		Catahua		Tornillo		Marchinga		Estoraque	
	v	s	v	s	v	s	v	s	v	s
Vigas sin rajaduras	74.4	83.0	75.5	79.9	93.9	107.	135.	187.		
Vigas con rajadura aceptable		78.7	84.4	88.8*	87.0	119.	130.	192.		
Vigas con rajadura no aceptable	62.4*	80.4	62.5	69.8	68.0	111.*	143.	176.		
Vigas aceptadas y sin rajaduras	87.5	95.7	82.0	83.2	94.2	112	141.	198.		
Vigas aceptadas con rajaduras			92.5*	97.0*	87.0	117.	147.*	208.		
Vigas rechazadas solo por rajaduras			97.0*	94.1*			137.		176.*	
Vigas rechazadas sin rajaduras	68.7	83.5	68.0	78.6	93.4	105	133.	180.		
Vigas rechazadas con rajadura aceptable		78.7	80.4	88.8*			121.	126.	178.	
V. rechazadas por rajadura y otros defectos	62.4*	80.4	54.3	69.8	56.5	111.	147.	176.		

TABLA E. 24. - EFECTO DE ESCAMADURAS EN LA RESISTENCIA Y RIGIDEZ DE LAS VIGAS

A. Efecto de la Escamadura en el MÓDULO DE ROTURA , MOR (Kg/cm<sup>2</sup>)

Especie	Condición	Marupa	Catagua	Tornillo	Manchinga	Estoraque
		v	s	v	s	s
Vigas sin escamadura		287	349	388	418	426
Vigas con escamadura aceptable	367*	295	212*	415~	331*	519
Vigas con escamadura no aceptable	309	237~	211~		385*	570
						656
						645
						259*
						995
						606
						728*
Vigas aceptadas y sin escamadura		405	473	492	436	609
Vigas aceptadas con escamadura	367*	430~			605~	779
Vigas rechazadas solo por escamadura	367*					736~
						1102
						939~
Vigas rechazadas sin escamadura		245	275	325	368	416
Vigas rechazadas con escamadura aceptable		205~	212*	415~	331*	487
V. rechazadas por escamadura y otros defectos	302	237~	211~		542	618
						615
						495
						259*
Vigas cuya forma de falla tuvo una relación directa con :	a) escamadura aceptable					736*
b) escamadura no aceptable		304	165~	114~	385~	838*
						259*

B. Efecto de la Escamadura en el MÓDULO DE ELASTICIDAD, MOE (ton/cm<sup>2</sup>)

Especie	Condición	Marupa	Catagua	Tornillo	Manchinga	Estoraque
		v	s	v	s	s
Vigas sin escamadura		73.5	87.1	76.6	79.6	92.8
Vigas con escamadura aceptable	93.2*	90.4	65.0*	77.7~	94.1*	114.
Vigas con escamadura no aceptable	84.9	42.8~	85.8~		105.*	113.*
						135.
						134.
						122.*
						188.
						180.
						176.*
Vigas aceptadas y sin escamadura		86.8	95.3	82.3	83.2	93.6
Vigas aceptadas con escamadura	93.2*	100.~			116.*	142.
Vigas rechazadas solo por escamadura	106.*				137.*	192.
						214.~
Vigas rechazadas sin escamadura		68.7	82.3	70.3	76.1	91.6
Vigas rechazadas con escamadura aceptable		83.3~	65.0*	77.7~	94.1*	113.~
V. rechazadas por escamadura y otros defectos	62.2	42.8~	85.8~		105.*	122.*
						133.
						132.
						122.*
						181.~
						168.
						176.*

TABLA E. 25. - EFECTO DE LA MEDULA EN LA RELACION ENTRE PROPIEDADES MECANICAS DE VIGAS Y PROBETAS

## A. Efecto de la Medula en el Factor de Calidad ( relacion MDR vigas / MDR probetas )

Condicion de las vigas al ensayarse

verde

seca al aire

todas

	n	FC	min	n	FC	min	n	FC	min
Vigas sin medula	139	.74	.18	336	.62	.09	474	.66	.09
Vigas con medula aceptable	3	.69	.51	7	.63	.48	10	.65	.48
Vigas con medula no aceptable	6	.47	.29	21	.41	.06	27	.42	.06

	n	FC	min	n	FC	min	n	FC	min
Vigas aceptadas y sin medula	73	.79	.54	106	.72	.43	179	.74	.43
Vigas aceptadas con medula	3	.69	.51	2	.71	.71	2	.71	.71
Vigas rechazadas solo por medula	47	.29	.19	55	.50	.2	55	.50	.06

	n	FC	min	n	FC	min	n	FC	min
Vigas rechazadas sin medula	65	.70	.18	230	.58	.09	295	.61	.09
Vigas rechazadas con medula aceptable	3	.69	.51	5	.60	.48	8	.63	.48
Vigas rechazadas por medula y otros defectos	47	.29	.19	39	.06	.06	25	.41	.06

	n	FC	min	n	FC	min	n	FC	min
Vigas cuya forma de falla tuvo una relacion directa con : a) Medula aceptable	2	.44	.30	1	.70	.70	1	.70	.70
b) Medula no aceptable				10	.37	.06	12	.37	.06

## B. Efecto de la Medula en la relacion R = MOE vigas / MOE probetas

Condicion de las vigas al ensayarse

verde

seca al aire

todas

	n	R	min	n	R	min	n	R	min
Vigas sin medula	138	.96	.38	336	.99	.42	474	.98	.38
Vigas con medula aceptable	3	.85	.71	7	1.01	.79	10	.96	.71
Vigas con medula no aceptable	6	.80	.56	21	.91	.58	27	.89	.56

	n	R	min	n	R	min	n	R	min
Vigas aceptadas y sin medula	73	.98	.58	106	1.03	.66	179	1.01	.58
Vigas aceptadas con medula				2	.91	.90	2	.91	.90
Vigas rechazadas solo por medula				2	.94	.92	2	.94	.92

TABLA E. 26. - EFECTO DEL DURAMEN QUEBRADO EN LA RELACION ENTRE PROPIEDADES MECANICAS DE VIGAS Y PROBETAS )  
Condicion de las vigas al ensayarse

	verde						seca al aire						todas					
	n	FC	min	n	FC	min	n	FC	min	n	FC	min	n	FC	min			
Vigas sin duramen quebrado	145	.73	.18	351	.61	.06	496	.65	.06									
Vigas con duramen quebrado	2	.56	.29	13	.51	.09	15	.52	.09									
Vigas aceptadas por Regla de Clasificacion	73	.79	.54	108	.72	.43	181	.74	.43									
Vigas rechazadas solo por duramen quebrado				1	.82	.62	1	.82	.62									
Vigas rechazadas sin duramen quebrado	72	.68	.18	243	.57	.06	315	.59	.06									
Vigas con duramen quebrado en combinacion con otros defectos no aceptables	2	.56	.29	12	.49	.09	14	.50	.09									
Vigas cuya forma de falla tuvo una relacion directa con duramen quebrado	2	.56	.29	3	.81	.72	5	.71	.29									

B. Efecto del Duramen quebrado en la relacion R = MOE vigas / MOE probetas

	verde						seca al aire						todas					
	n	R	min	n	R	min	n	R	min	n	R	min	n	R	min			
Vigas sin duramen quebrado	145	.95	.38	351	.99	.42	496	.98	.38									
Vigas con duramen quebrado	2	.66	.74	13	.98	.69	15	.97	.69									
Vigas aceptadas por Regla de Clasificacion	73	.98	.58	108	1.03	.66	181	1.01	.56									
Vigas rechazadas solo por duramen quebrado				1	1.07	1.07	1	1.07	1.07									
Vigas rechazadas sin duramen quebrado	72	.92	.36	243	.97	.42	315	.96	.36									
Vigas con duramen quebrado en combinacion con otros defectos no aceptables	2	.86	.74	12	.98	.69	14	.96	.69									

TABLA E. 27. - EFECTO DEL GRANO INCLINADO EN ZONA CENTRAL EN LA RELACION DE PROPIEDADES DE VIGAS Y PROBETAS

p. 28

A. Efecto del Grano inclinado en zona central en el Factor de Calidad ( MOR vigas / MOR probetas )

Condicion de las vigas al ensayarse

verde      seca al aire      todas

Vigas sin grano inclinado en zona central  
Vigas con grano inclinado aceptable  
Vigas con grano inclinado no aceptable

n	FC	min	n	FC	min	n	FC	min
67	.71	.17	165	.63	.09	232	.65	.09
61	.79	.30	128	.65	.06	189	.69	.06
19	.61	.23	71	.51	.17	90	.53	.17

Vigas aceptadas y sin grano inclinado  
Vigas rechazadas con grano inclinado

n	FC	min	n	FC	min	n	FC	min
40	.76	.56	75	.71	.48	115	.73	.48
33	.82	.54	33	.72	.43	66	.77	.43
2	.77	.71	4	.54	.47	6	.62	.47

Vigas rechazadas sin grano inclinado  
Vigas rechazadas con grano inclinado aceptable  
Vigas rechazadas por grano inclinado y otros def.

n	FC	min	n	FC	min	n	FC	min
27	.64	.17	90	.56	.09	117	.57	.09
28	.77	.36	95	.62	.06	123	.65	.06
17	.59	.23	67	.51	.17	84	.52	.17

Vigas cuya forma de falla tuvo una relacion directa con : a) grano inclinado aceptable  
b) grano inclinado no aceptable

n	FC	min	n	FC	min	n	FC	min
10	.79	.50	28	.69	.41	38	.71	.41
6	.52	.30	31	.50	.06	38	.51	.06

B. Efecto del Grano inclinado en zona central en la relacion R = MJE vigas / MJE probetas

Condicion de las vigas al ensayarse

verde      seca al aire      todas

Vigas sin grano inclinado en zona central  
Vigas con grano inclinado aceptable  
Vigas con grano inclinado no aceptable

n	R	min	n	R	min	n	R	min
67	.95	.43	165	1.00	.42	232	.99	.42
61	.98	.36	128	.98	.57	189	.98	.38
19	.86	.56	71	.95	.71	90	.93	.56

Vigas aceptadas y sin grano inclinado  
Vigas rechazadas con grano inclinado  
Vigas rechazadas solo por grano inclinado

n	R	min	n	R	min	n	R	min
40	.97	.62	75	1.05	.81	115	1.02	.62
33	.99	.57	33	.98	.66	66	.99	.57
2	.90	.77	4	.90	.76	6	.90	.77

Vigas rechazadas sin grano inclinado  
Vigas rechazadas con grano inclinado aceptable  
Vigas rechazadas por grano inclinado y otros def.

n	R	min	n	R	min	n	R	min
27	.92	.43	90	.96	.42	117	.95	.42
28	.96	.39	95	.98	.57	123	.98	.38
17	.96	.71	67	.96	.71	84	.94	.56

TABLA E. 28. - EFECTO DEL GRANO INCLINADO EN CUALQUIER ZONA EN LA RELACION DE PROPIEDADES DE VIGAS Y PROBETAS

A. Efecto del Grano inclinado en cualquier zona en el Factor de Calidad ( MOR vigas / MOR probetas )

Condición de las vigas al ensayarse	verde	n	FC	min	n	FC	min	n	FC	min	todas
Vigas sin grano inclinado en cualquier zona	.52	.69	.48	.102	.64	.19	.154	.65	.65	.18	
Vigas con grano inclinado aceptable	.63	.80	.50	.109	.64	.21	.172	.70	.70	.21	
Vigas con grano inclinado no aceptable	.32	.67	.23	.153	.57	.06	.185	.59	.59	.06	
Vigas aceptadas y sin grano inclinado	.31	.74	.56	.54	.71	.48	.85	.72	.72	.48	
Vigas aceptadas con grano inclinado	.42	.82	.54	.54	.72	.43	.96	.76	.76	.43	
Vigas rechazadas solo por grano inclinado	.12	.77	.53	.64	.65	.37	.76	.67	.67	.37	
Vigas rechazadas sin grano inclinado	.21	.61	.14	.48	.55	.19	.69	.57	.57	.19	
Vigas rechazadas con grano inclinado aceptable	.21	.76	.17	.55	.56	.21	.76	.62	.62	.21	
V. rechazadas por grano inclinado y otros def.	.20	.61	.19	.89	.51	.06	.109	.53	.53	.37	
Vigas cuya forma de falla tuvo una relación directa con : a) grano inclinado aceptable b) grano inclinado no aceptable	.12	.80	.50	.32	.70	.41	.44	.72	.72	.41	
	.9	.56	.30	.40	.51	.06	.48	.52	.52	.06	

B. Efecto del Grano inclinado en cualquier zona en la relación R = MOE vigas / MOE probetas

Condición de las vigas al ensayarse	verde	n	R	min	n	R	min	n	R	min	todas
Vigas sin grano inclinado en cualquier zona	.52	.94	.42	.102	1.01	.42	.154	.99	.99	.42	
Vigas con grano inclinado aceptable	.63	.99	.38	.109	.98	.66	.172	.98	.98	.38	
Vigas con grano inclinado no aceptable	.32	.89	.56	.153	.97	.49	.185	.95	.95	.49	
Vigas aceptadas y sin grano inclinado	.31	.96	.62	.54	1.06	.81	.85	1.02	1.02	.62	
Vigas aceptadas con grano inclinado	.42	1.00	.57	.54	1.00	.66	.96	1.00	1.00	.57	
Vigas rechazadas solo por grano inclinado	.12	.94	.73	.64	.97	.49	.76	.97	.97	.49	
Vigas rechazadas sin grano inclinado	.21	.93	.43	.48	.97	.42	.69	.96	.96	.42	
Vigas rechazadas con grano inclinado aceptable	.21	.94	.38	.55	.96	.66	.76	.96	.96	.39	
V. rechazadas por grano inclinado y otros def.	.20	.86	.62	.89	.97	.49	.109	.95	.95	.49	

TABLE E.29. - EFECTO DE NUDOS SANOS EN LA ZONA 2 EN LA RELACION DE PROPIEDADES DE VIGAS Y FROTETAS

E.30

A. Efecto de Nudos sanos en la zona 2 en el Factor de Calidad ( relacion MOR vigas / MOR probetas )

Condicion de las vigas al ensayarse

	n	verde	seca al aire	todas					
	n	FC	min	n	FC	min	n	FC	min
Vigas sin nudos sanos en la zona 2	138	.74	.18	350	.62	.06	488	.65	.06
Vigas con nudos sanos aceptables	7	.69	.37	9	.55	.26	16	.62	.26
Vigas con nudos sanos no aceptables	2	.51	.30	5	.37	.22	7	.41	.22
Vigas aceptadas y sin nudos sanos	70	.79	.54	108	.72	.43	178	.74	.43
Vigas aceptadas con nudos sanos	3	.75	.56	9	.55	.26	3	.75	.56
Vigas rechazadas solo por nudos sanos	1	.73	.73	5	.37	.22	1	.73	.73
Vigas rechazadas sin nudos sanos	68	.68	.18	242	.57	.06	310	.60	.06
Vigas rechazadas con nudos sanos aceptables	4	.65	.37	9	.55	.26	13	.58	.26
V. rechazadas por nudos sanos y otros defectos	1	.30	.30	5	.37	.22	6	.36	.22
Vigas cuya forma de falla tuvo una relacion directa con:									
a) nudos sanos aceptables	1	.82	.82	1	.87	.87	2	.85	.82
b) nudos sanos no aceptables	1	.73	.73				1	.73	.73

B. Efecto de Nudos sanos en la zona 2 en la relacion R = MOE vigas / MOE probetas

Condicion de las vigas al ensayarse

	n	verde	seca al aire	todas					
	n	R	min	n	R	min	n	R	min
Vigas sin nudos sanos en la zona 2	138	.95	.38	350	.99	.42	488	.98	.38
Vigas con nudos sanos aceptables	7	.94	.62	9	.92	.73	16	.93	.62
Vigas con nudos sanos no aceptables	2	.74	.73	5	.89	.71	7	.84	.71
Vigas aceptadas y sin nudos sanos	70	.99	.58	108	1.03	.66	178	1.01	.58
Vigas aceptadas con nudos sanos	3	.90	.62	9	.74	.74	3	.90	.62
Vigas rechazadas solo por nudos sanos	1	.74	.74				1	.74	.74
Vigas rechazadas sin nudos sanos	68	.92	.38	242	.97	.42	310	.96	.38
Vigas rechazadas con nudos sanos aceptables	4	.97	.81	9	.92	.73	13	.94	.73
V. rechazadas por nudos sanos y otros defectos	1	.73	.73	5	.89	.71	6	.86	.71

TABLA E. 30. - EFECTO DE NUDOS SANOS EN LA ZONA 8 EN LA RELACIÓN DE PROPIEDADES DE VIGAS Y PRUEBAS

Condición de las vigas al ensayarse	verde			seca al aire			todas		
	n	FC	min	n	FC	min	n	FC	min
Vigas sin nudos sanos en la zona 8	141	.73	.18	345	.62	.09	486	.65	.09
Vigas con nudos sanos aceptables	5	.63	.59	9	.65	.37	13	.72	.37
Vigas con nudos sanos no aceptables	1	.18	.16	11	.36	.06	12	.37	.06
Vigas aceptadas y sin nudos sanos	68	.78	.54	107	.71	.43	175	.74	.43
Vigas aceptadas con nudos sanos	5	.63	.59	1	.79	.79	6	.82	.59
Vigas rechazadas sin nudos sanos	73	.68	.18	238	.57	.09	311	.60	.09
Vigas rechazadas con nudos sanos aceptables	1	.18	.18	7	.63	.37	7	.63	.37
V. rechazadas por nudos sanos y otros defectos	1			11	.39	.06	12	.37	.06
Vigas cuya forma de falla tuvo una relación directa con: a) nudos sanos aceptables b) nudos sanos no aceptables				1	.60	.60	1	.60	.60
				2	.42	.21	2	.42	.21

B. Efecto de Nudos sanos en la zona 8 en la relación  $R = \text{MOE vidas} / \text{MOE probetas}$ 

Condición de las vigas al ensayarse	verde			seca al aire			todas		
	n	R	min	n	R	min	n	R	min
Vigas sin nudos sanos en la zona 8	141	.95	.38	345	.99	.42	486	.98	.38
Vigas con nudos sanos aceptables	5	.98	.65	8	1.00	.73	13	.99	.65
Vigas con nudos sanos no aceptables	1	.50	.50	11	.91	.58	12	.88	.50
Vigas aceptadas y sin nudos sanos	68	.98	.58	107	1.03	.66	175	1.01	.58
Vigas aceptadas con nudos sanos	5	.98	.65	1	1.15	1.15	6	1.01	.65
Vigas rechazadas sin nudos sanos aceptables	73	.93	.38	238	.97	.42	311	.96	.38
Vigas rechazadas con nudos sanos aceptables	1	.50	.50	7	.97	.73	7	.97	.73
V. rechazadas por nudos sanos y otros defectos	1			11	.91	.58	12	.88	.50

TABLA E.31. - EFECTO DE NUDOS SANOS EN ZONAS 4 Y 6 EN LA RELACION DE PROPIEDADES DE VIGAS Y FRIEJETAS

32

A. Efecto de Nudos sanos en zonas 4 o 6 en el Factor de Calidad ( relacion MOR vigas / MDR probetas )

Condicion de las vigas al ensayarse	verde			seca al aire			todas		
	n	FC	min	n	FC	min	n	FC	min
Vigas sin nudos sanos en zonas 4 y 6	139	.74	.18	328	.62	.09	467	.65	.09
Vigas con nudos sanos aceptables	5	.60	.48	21	.58	.29	26	.58	.29
Vigas con nudos sanos no aceptables	3	.58	.37	15	.51	.06	18	.52	.06
Vigas aceptadas y sin nudos sanos	71	.79	.54	105	.72	.43	176	.75	.43
Vigas aceptadas con nudos sanos	2	.57	.56	3	.70	.70	5	.65	.56
Vigas rechazadas sin nudos sanos	68	.69	.18	223	.57	.09	291	.60	.09
Vigas rechazadas con nudos sanos aceptables	3	.62	.48	18	.56	.29	21	.57	.29
Vigas rechazadas por nudos sanos y otros defectos	3	.58	.37	15	.51	.06	18	.52	.06

B. Efecto de Nudos sanos en zonas 4 o 6 en la relacion R = MOE vigas / MOE probetas

Condicion de las vigas al ensayarse	verde			seca al aire			todas		
	n	R	min	n	R	min	n	R	min
Vigas sin nudos sanos en zonas 4 y 6	139	.96	.38	328	.99	.42	467	.98	.38
Vigas con nudos sanos aceptables	5	.79	.62	21	.99	.78	26	.95	.62
Vigas con nudos sanos no aceptables	3	.84	.70	15	.93	.58	18	.91	.58
Vigas aceptadas y sin nudos sanos	71	.99	.58	105	1.03	.66	176	1.01	.58
Vigas aceptadas con nudos sanos	2	.67	.62	3	1.05	.85	5	.89	.62
Vigas rechazadas sin nudos sanos	68	.93	.38	223	.97	.42	291	.96	.38
Vigas rechazadas con nudos sanos aceptables	3	.88	.77	18	.98	.78	21	.96	.77
Vigas rechazadas por nudos sanos y otros defectos	3	.84	.70	15	.93	.58	18	.91	.58

TABLA E. 32. - EFECTO DE NUDOS HUECOS EN LA ZONA 2 EN LA RELACION DE PROPIEDADES DE VIGAS Y PROBETAS

	A. Efecto de Nudos huecos en la zona 2 en el Factor de Calidad ( relación MOR vigas / MOR probetas )					
Condición de las vigas al ensayarse	verde	seca al aire	todas	FC	min	n
Vigas sin nudos huecos en zona 2	145	73	18	356	61	6
Vigas con nudos huecos aceptables	1	63	63	5	51	20
Vigas con nudos huecos no aceptables	1	58	58	3	42	33
Vigas aceptadas y sin nudos huecos	73	79	54	106	72	43
Vigas aceptadas con nudos huecos				2	72	64
Vigas rechazadas sin nudos huecos	72	68	18	250	57	6
Vigas rechazadas con nudos huecos aceptables	1	63	63	3	37	20
Vigas rechazadas por nudos huecos y otros defectos	1	58	58	3	42	33
Vigas cuya forma de falla tuvo una relación directa con nudos huecos aceptables en zona 2	1	63	63		4	46
					4	33
					1	63
						63

### B. Efecto de Nudos huecos en la zona 2 en la relacion R = MOE vigas / MOE probetas

Condición de las vigas al ensayarse	verde			seca al aire			todas		
	n	R	min	n	R	min	n	R	min
Vigas sin nudos huecos en zona 2	145	.95	.38	356	.99	.42	501	.98	.38
Vigas con nudos huecos aceptables	1	.86	.86	5	.93	.79	5	.92	.79
Vigas con nudos huecos no aceptables	1	.85	.65	3	.90	.79	4	.89	.79
Vigas aceptadas y sin nudos huecos	73	.98	.58	106	1.03	.66	179	1.01	.58
Vigas aceptadas con nudos huecos				2	1.05	.99	2	1.05	.97
Vigas rechazadas sin nudos huecos	72	.92	.38	250	.97	.42	322	.96	.38
Vigas rechazadas con nudos huecos aceptables	1	.86	.86	3	.84	.79	4	.85	.79
V. rechazadas por nudos huecos y otros defectos	1	.85	.85	3	.90	.79	4	.89	.79

TABLA E. 33. - EFECTO DE NUDOS HUECOS EN LA ZONA 8 EN LA RELACION DE PROPIEDADES DE VIGAS Y PROBETAS

E. 33

A. Efecto de Nudos huecos en la zona 8 en el Factor de Calidad ( Relacion MOE vigas / MOE probetas )

Condicion de las vigas al ensayarse

	verde			seca al aire			todas		
	n	FC	min	n	FC	min	n	FC	min
Vigas sin nudos huecos en zona 8	143	.74	.18	354	.62	.06	497	.65	.03
Vigas con nudos huecos aceptables	1	.51	.51	3	.56	.41	4	.53	.41
Vigas con nudos huecos no aceptables	3	.34	.30	7	.43	.17	10	.40	.17
Vigas aceptadas y sin nudos huecos	73	.79	.54	108	.72	.43	181	.74	.49
Vigas rechazadas solo por nudos huecos				1	.96	.96	1	.96	.96
Vigas rechazadas sin nudos huecos	70	.70	.18	246	.57	.06	316	.60	.06
Vigas rechazadas con nudos huecos aceptables	1	.51	.51	3	.56	.41	4	.55	.41
V. rechazadas por nudos huecos y otros def.	3	.34	.30	6	.34	.17	9	.34	.17
Vigas cuya forma de falla tuvo una relacion directa con nudos huecos no aceptables.				6	.47	.23	6	.47	.23

B. Efecto de Nudos huecos en la zona 8 en la relacion R = MOE vigas / MOE probetas

Condicion de las vigas al ensayarse

	verde			seca al aire			todas		
	n	R	min	n	R	min	n	R	min
Vigas sin nudos huecos en zona 8	143	.96	.43	354	.99	.42	497	.98	.42
Vigas con nudos huecos aceptables	1	.71	.71	3	.95	.94	4	.89	.71
Vigas con nudos huecos no aceptables	3	.56	.38	7	.97	.82	10	.85	.38
Vigas aceptadas y sin nudos huecos	73	.98	.58	108	1.03	.66	181	1.01	.58
Vigas rechazadas solo por nudos huecos				1	1.20	1.20	1	1.20	1.20
Vigas rechazadas sin nudos huecos	70	.94	.43	246	.97	.42	316	.96	.42
Vigas rechazadas con nudos huecos aceptables	1	.71	.71	3	.95	.94	4	.89	.71
V. rechazadas por nudos huecos y otros defectos	3	.56	.38	6	.93	.82	9	.81	.38

TABLA E. 34. — EFECTO DE NUDOS HUECOS EN ZONAS 4 Y 6 EN LA RELACION DE PROPIEDADES DE VIGAS Y PROBETAS

A. Efecto de Nudos huecos en zonas 4 y 6 en el Factor de Calidad (relación MOB viñas / MOB acebujas)

B.B. Efecto de Nudos huecos en zonas 4 o 6 en la relacion R = MOE vinas / MOE objetos

Condición de las vigas al ensayarse	verde			seca al aire			todas		
	n	R	min	n	R	min	n	R	min
Vigas sin nudos huecos en zonas 4 y 6	140	.96	.43	346	.99	.42	486	.98	.42
Vigas con nudos huecos aceptables	3	1.01	.97	10	.92	.78	13	.95	.78
Vigas con nudos huecos no aceptables	4	.70	.38	8	.83	.64	12	.82	.38
Vigas aceptadas y sin nudos huecos	73	.98	.58	105	1.03	.66	178	1.01	.58
Vigas aceptadas con nudos huecos							3	.99	.91
Vigas rechazadas sin nudos huecos	67	.93	.43	241	.97	.42	308	.96	.42
Vigas rechazadas con nudos huecos aceptables	3	1.01	.97	7	.90	.78	10	.93	.78
V. V. rechazadas por nudos huecos y otros def.	4	.70	.38	8	.68	.64	12	.82	.38

E. 96

**TABLA E. 35. - EFECTO DE LAS FALLAS DE COMPRESSION EN LA RELACION ENTRE PROPIEDADES MECANICAS DE VIGAS Y PROBETAS**

**A. Efecto de las Fallas de compresion en el Factor de Calidad ( relacion MOR vigas / MOR probetas )**

Condicion de las vigas al ensayarse

	verde			seca al aire			todas		
	n	FC	min	n	FC	min	n	FC	min
Vigas sin fallas de compresion	137	.74	.20	346	.62	.06	483	.66	.06
Vigas con fallas de compresion	10	.62	.18	18	.39	.09	28	.47	.09
Vigas aceptadas por Regla de Clasificacion									
Vigas Rechazadas solo por fallas de compresion	73	.79	.54	108	.72	.43	181	.74	.43
Vigas rechazadas sin fallas de compresion	3	.74	.67	9	.40	.21	12	.49	.24
Vigas con fallas de compresion en combinacion con otros defectos no aceptables	64	.69	.20	238	.58	.06	302	.60	.06
Vigas cuya forma de falla tuvo una relacion directa con fallas de compresion originales	7	.56	.19	9	.38	.09	16	.46	.09
	10	.61	.17	14	.36	.09	24	.46	.09

**B. Efecto de las Fallas de compresion en la relacion R = MOE vigas / MOE probetas**

Condicion de las vigas al ensayarse

	verde			seca al aire			todas		
	n	R	min	n	R	min	n	R	min
Vigas sin fallas de compresion	137	.96	.38	346	.99	.49	483	.98	.38
Vigas con fallas de compresion	10	.88	.43	18	.65	.42	28	.86	.42
Vigas aceptadas por Regla de Clasificacion									
Vigas rechazadas solo por fallas de compresion	73	.98	.59	108	1.03	.66	181	1.01	.58
Vigas rechazadas sin fallas de compresion	3	.93	.82	9	.65	.42	12	.87	.42
Vigas con fallas de compresion en combinacion con otros defectos no aceptables	64	.93	.33	238	.98	.49	302	.97	.38
	7	.86	.43	9	.85	.68	16	.86	.43

TABLA E.36. - EFECTO DE FERFORACIONES PEQUEÑAS EN LA ZONA 2 EN LA RELACION DE PROPIEDADES DE VIGAS Y PROBETAS

A) Efecto de Perforaciones pequeñas en la zona 2 en el Factor de Calidad ( MOR vigas / MOR probetas )

Condición de las vigas al ensayarse	verde	n	FC	min	n	FC	min	n	FC	min	n	FC	min
Vigas sin perforaciones pequeñas en zona 2	127	74	.18	.233	61	.06	.260	66	.06	.260	66	.06	.260
Vigas con perforaciones pequeñas aceptables	12	68	.23	.92	61	.19	.104	61	.19	.104	61	.19	.104
Vigas con perforaciones pequeñas no aceptables	8	68	.37	.39	60	.30	.47	61	.30	.47	61	.30	.47
Vigas aceptadas y sin perforaciones pequeñas	70	79	.54	.82	71	.43	.152	.75	.43	.152	.75	.43	.152
Vigas aceptadas con perforaciones pequeñas	3	70	.64	.26	.73	.61	.29	.73	.61	.29	.73	.61	.29
V. rechazadas solo por perforaciones pequeñas	1	93	.93	4	.58	.51	.5	.65	.51	.5	.65	.51	.5
Vigas rechazadas sin perforaciones pequeñas	57	68	.18	.151	.56	.06	.208	.59	.06	.208	.59	.06	.208
V. rechazadas con perf. pequeñas aceptables	9	68	.23	.66	.56	.19	.75	.57	.19	.75	.57	.19	.75
V. rechazadas por perf. pequeñas y otros def.	7	65	.37	.35	.60	.30	.42	.61	.30	.42	.61	.30	.42
Vigas cuya forma de falla tuvo una relación directa con : a) perf. pequeñas aceptables	2	79	.79	7	.66	.62	9	.69	.62	.69	.62	.62	.69
b) perf. pequeñas no aceptables	5	79	.67	18	.65	.42	23	.68	.42	.68	.42	.68	.42

B) Efecto de Perforaciones pequeñas en la zona 2 en la relación R = MOE vigas / MOE probetas

Condición de las vigas al ensayarse	verde	n	R	min	n	R	min	n	R	min	n	R	min
Vigas sin perforaciones pequeñas en zona 2	127	95	.38	.233	98	.42	.360	.97	.38	.360	.97	.38	.360
Vigas con perforaciones pequeñas aceptables	12	89	.66	.92	1.00	.75	.104	.99	.66	.104	.99	.66	.104
Vigas con perforaciones pequeñas no aceptables	8	1.06	.77	.39	.97	.68	.47	.99	.68	.47	.99	.68	.47
Vigas aceptadas y sin perforaciones pequeñas	70	99	.58	.82	1.02	.66	.152	1.01	.58	.152	1.01	.58	.152
Vigas aceptadas con perforaciones pequeñas	3	85	.82	.26	1.03	.88	.29	1.01	.82	.29	1.01	.82	.29
V. rechazadas solo por perforaciones pequeñas	1	1.22	1.22	4	.92	.60	5	.98	.60	5	.98	.60	5
Vigas rechazadas sin perforaciones pequeñas	57	90	.38	.151	.96	.42	.208	.94	.38	.208	.94	.38	.208
V. rechazadas con perf. pequeñas aceptables	9	91	.66	.66	.99	.75	.75	.98	.66	.75	.98	.66	.75
V. rechazadas por perf. pequeñas y otros def.	7	1.04	.77	.35	.98	.68	.42	.99	.68	.42	.99	.68	.42

TABLA E.37. - EFECTO DE PERFORACIONES PEQUEÑAS EN LA ZONA 8 EN LA RELACION DE PROPIEDADES DE VIGAS Y PROBETAS

E8

A. Efecto de Perforaciones pequeñas en la zona 8 en el Factor de Calidad ( MOR vigas / MOR probetas )

Condicion de las vigas al ensayarse

verde seca al aire todas

	n	FC	min	n	FC	min	n	FC	min
Vigas sin perforaciones pequeñas en zona 8	125	.75	.18	220	.62	.06	345	.67	.06
Vigas con perforaciones pequeñas aceptables	19	.66	.20	98	.61	.21	117	.62	.20
Vigas con perforaciones pequeñas no aceptables	3	.48	.23	46	.55	.22	49	.54	.22
Vigas aceptadas y sin perforaciones pequeñas	65	.80	.56	77	.70	.43	143	.75	.43
Vigas aceptadas con perforaciones pequeñas	7	.70	.54	31	.75	.61	38	.74	.54
V. rechazadas solo por perforaciones pequeñas				1	.35	.35	1	.35	.35
Vigas rechazadas sin perforaciones pequeñas	59	.70	.18	143	.58	.06	202	.62	.06
V. rechazadas con perf. pequeñas aceptables	12	.64	.20	67	.55	.21	79	.56	.20
V. rechazadas por perf. pequeñas y otros def.	3	.48	.23	45	.55	.22	48	.55	.22
Vigas cuya forma de falla tuvo una relacion directa con :									
a) perf. pequenas aceptables	4	.48	.20	17	.66	.25	21	.62	.20
b) perf. pequenas no aceptables	1	.37	.37	27	.55	.31	28	.54	.31

B. Efecto de Perforaciones pequeñas en la zona 8 en la relacion R = MOE vigas / MOE probetas

Condicion de las vigas al ensayarse

verde seca al aire todas

	n	R	min	n	R	min	n	R	min
Vigas sin perforaciones pequeñas en zona 8	125	.96	.38	220	.98	.42	345	.97	.38
Vigas con perforaciones pequeñas aceptables	19	.92	.58	98	1.00	.71	117	.99	.58
Vigas con perforaciones pequeñas no aceptables	3	.98	.71	46	.98	.71	49	.98	.71
Vigas aceptadas y sin perforaciones pequeñas	66	.99	.62	77	1.02	.66	143	1.01	.62
Vigas aceptadas con perforaciones pequeñas	7	.89	.58	31	1.04	.79	38	1.01	.58
V. rechazadas solo por perforaciones pequeñas				1	.81	.81	1	.81	.81
Vigas rechazadas sin perforaciones pequeñas	59	.91	.38	143	.96	.42	202	.95	.38
V. rechazadas con perf. pequenas aceptables	12	.94	.66	67	.98	.71	79	.97	.66
V. rechazadas por perf. pequenas y otros def.	3	.98	.71	45	.98	.71	48	.98	.71

TABLA E.36. - EFECTO DE PERFORACIONES PEQUEÑAS EN ZONAS 4 Y 6 EN LA RELACION DE PROPIEDADES DE VIGAS Y PROBETAS

A. Efecto de Perforaciones pequeñas en zonas 4 o 6 en el Factor de Calidad ( MOR vigas / MOR probetas )

Condición de las vigas al ensayarse	verde	n	FC	min	n	FC	min	n	FC	min	todas
Vigas sin perforaciones pequeñas en zona 4 y 6	119	.75	.18	224	.61	.06	343	.66	.06		
Vigas con perforaciones pequeñas aceptables	23	.65	.20	101	.64	.19	124	.64	.19		
Vigas con perforaciones pequeñas no aceptables	5	.64	.37	39	.54	.25	44	.55	.25		
Vigas aceptadas y sin perforaciones pequeñas	63	.80	.54	74	.70	.43	137	.75	.43		
Vigas aceptadas con perforaciones pequeñas	10	.72	.57	34	.74	.61	44	.74	.57		
Vigas rechazadas sin perforaciones pequeñas	56	.70	.18	150	.56	.06	206	.60	.06		
V. rechazadas con perf. pequeñas aceptables	13	.60	.20	67	.59	.19	80	.59	.19		
V. rechazadas por perf. pequeñas y otros def.	5	.64	.37	39	.54	.25	44	.55	.25		
Vigas cuya forma de falla tuvo una relación directa con perforaciones pequeñas no aceptables				1	.47	.47	1	.47	.47		

B. Efecto de Perforaciones pequeñas en zonas 4 o 6 en la Relación R = MOE vigas / MOE probetas

Condición de las vigas al ensayarse	verde	n	R	min	n	R	min	n	R	min	todas
Vigas sin perforaciones pequeñas en zona 4 y 6	119	.95	.38	224	.98	.42	343	.97	.38		
Vigas con perforaciones pequeñas aceptables	23	.92	.58	101	1.02	.71	124	1.00	.58		
Vigas con perforaciones pequeñas no aceptables	5	1.07	.81	39	.95	.71	44	.96	.71		
Vigas aceptadas y sin perforaciones pequeñas	63	.99	.62	74	1.02	.66	137	1.01	.62		
Vigas aceptadas con perforaciones pequeñas	10	.92	.58	34	1.04	.79	44	1.01	.58		
Vigas rechazadas sin perforaciones pequeñas	56	.90	.38	150	.96	.42	206	.94	.38		
V. rechazadas con perf. pequeñas aceptables	13	.93	.71	67	1.00	.71	80	.99	.71		
V. rechazadas por perf. pequeñas y otros def.	5	1.07	.61	39	.95	.71	44	.96	.71		

TABLA E.39. - EFECTO DE PERFORACIONES GRANDES EN LA ZONA 2 EN LA RELACION DE PROPIEDADES DE VIGAS Y PROBETAS

E.40

## A. Efecto de Perforaciones grandes en la zona 2 en el Factor de Calidad ( MOR vigas / MOR probetas )

Condicion de las vigas al ensayarse

verde      seca al aire      todas

n    FC    min    n    FC    min    n    FC    min

Vigas sin perforaciones grandes en zona 2      142    73    18    342    61    06    454    65    06

Vigas con perforaciones grandes aceptables      3    61    70    14    61    28    17    65    28

Vigas con perforaciones grandes no aceptables      2    54    50    8    53    34    10    53    34

Vigas aceptadas y sin perforaciones grandes      72    79    54    103    72    43    175    75    43

Vigas aceptadas con perforaciones grandes      1    70    70    5    65    61    6    66    61

V. rechazadas solo por perforaciones grandes      1    58    58    1    58    1    1    58    1

Vigas rechazadas sin perforaciones grandes      70    68    18    239    57    06    309    59    06

V. rechazadas con perf. grandes aceptables      2    87    83    9    58    28    11    64    28

V. rechazadas por perf. grandes y otros def.      1    50    50    8    53    34    9    53    34

Vigas cuya forma de falla tuvo una relacion directa con perf. grandes no aceptables      1    58    58    1    58    2    69    58

## B. Efecto de Perforaciones grandes en la zona 2 en la relacion R = MOE vigas / MOE probetas

Condicion de las vigas al ensayarse

verde      seca al aire      todas

n    R    min    n    R    min    n    R    min

Vigas sin perforaciones grandes en zona 2      142    95    38    342    98    42    454    97    38

Vigas con perforaciones grandes aceptables      3    91    85    14    1.03    81    17    1.01    81

Vigas con perforaciones grandes no aceptables      2    93    84    9    96    84    10    95    81

Vigas aceptadas y sin perforaciones grandes      72    98    58    103    1.03    66    175    1.01    58

Vigas aceptadas con perforaciones grandes      1    95    95    5    98    81    6    98    81

V. rechazadas solo por perforaciones grandes      1    1.05    1.05    1    1.05    1    1.05    1.05

Vigas rechazadas sin perforaciones grandes      70    92    38    239    97    42    309    95    38

V. rechazadas con perf. grandes aceptables      2    89    85    9    1.06    90    11    1.03    85

V. rechazadas por perf. grandes y otros def.      1    81    81    9    96    84    9    94    81

TABLA E.40 - EFECTO DE PERFORACIONES GRANDES EN LA ZONA 8 EN LA RELACION DE PROPIEDADES DE VIGAS Y PROBETAS

A. Efecto de Perforaciones grandes en la zona 8 en el Factor de Calidad ( MOR vigas / MOR probetas )

Condicion de las vigas al ensayarse

	verde	seca al aire	todas	n	FC	min	n	FC	min	n	FC	min
Vigas sin perforaciones grandes en zona 8	141	73	18	343	.61	.06	484	.65	.06			
Vigas con perforaciones grandes aceptables	4	86	65	11	.64	.43	15	.70	.43			
Vigas con perforaciones grandes no aceptables	2	68	61	10	.58	.36	12	.60	.36			
Vigas aceptadas y sin perforaciones grandes	72	79	54	106	.72	.43	178	.74	.43			
Vigas aceptadas con perforaciones grandes	1	80	80	2	.69	.69	3	.72	.69			
V. rechazadas solo por perforaciones grandes				1	.56	.56	1	.56	.56			
Vigas rechazadas sin perforaciones grandes	69	67	18	237	.56	.06	306	.59	.06			
V. rechazadas con perf. grandes aceptables	3	88	65	9	.63	.43	12	.69	.43			
V. rechazadas por perf. grandes y otros def.	2	68	61	9	.58	.36	11	.60	.36			
Vigas cuya forma de falla tuvo una relacion directa con :												
a) perf. grandes aceptables	1	65	65	4	.58	.54	1	.65	.65			
b) perf. grandes no aceptables	1	61	61				5	.58	.54			

B. Efecto de Perforaciones grandes en la zona 8 en la relacion R = MOE vigass / MOE probetas

Condicion de las vigas al ensayarse

	verde	seca al aire	todas	n	R	min	n	R	min	n	R	min
Vigas sin perforaciones grandes en zona 8	141	.95	.38	343	.98	.42	484	.97	.38			
Vigas con perforaciones grandes aceptables	4	.96	.80	11	.99	.73	15	.99	.73			
Vigas con perforaciones grandes no aceptables	2	.80	.66	10	1.04	.84	12	1.00	.66			
Vigas aceptadas y sin perforaciones grandes	72	.78	.58	106	1.02	.66	178	1.01	.53			
Vigas aceptadas con perforaciones grandes	1	1.01	1.01	2	1.16	1.02	3	1.11	1.01			
V. rechazadas solo por perforaciones grandes				1	1.08	1.08	1	1.08	1.08			
Vigas rechazadas sin perforaciones grandes	69	.92	.38	237	.97	.42	306	.96	.38			
V. rechazadas con perf. grandes aceptables	3	.95	.80	9	.96	.73	12	.96	.73			
V. rechazadas por perf. grandes y otros def.	2	.80	.66	9	1.04	.84	11	.99	.66			



TAbla E.41. - EFECTO DE PERFORACIONES GRANDES EN ZONAS 4 Y 6 EN LA RELACION DE PROPRIEDADES DE VIGAS Y PROBETAS

ED 42

Condición de las vigas al ensayarse	Verde											
	seca al aire			seca al aire			todas			todas		
n	FC	min	n	FC	min	n	FC	min	n	FC	min	
Vigas sin perforaciones grandes en zonas 4 y 6	135	.73	19	335	.61	.06	470	.65	.06	169	.75	.48
Vigas con perforaciones grandes aceptables	9	.68	.29	20	.60	.26	29	.62	.26	12	.69	.43
Vigas con perforaciones grandes no aceptables	3	.84	.50	9	.50	.32	12	.58	.32			
Vigas aceptadas y sin perforaciones grandes												
Vigas aceptadas con perforaciones grandes												
Vigas rechazadas sin perforaciones grandes	69	.79	.54	100	.72	.48	169	.75	.48	12	.69	.43
Vigas rechazadas con perf. grandes aceptables	4	.74	.63	8	.66	.43						
Vigas rechazadas por perf. grandes y otros def.	3	.84	.50	9	.50	.32	12	.58	.32			

B. Efecto de Perforaciones grandes en zonas 4 o 6 en la Relación R = MOE vigas / MOE probetas

Condición de las vigas al ensayarse	Verde											
	seca al aire			seca al aire			todas			todas		
n	R	min	n	R	min	n	R	min	n	R	min	
Vigas sin perforaciones grandes en zonas 4 y 6	135	.95	.38	335	.99	.42	470	.98	.38	169	.99	.74
Vigas con perforaciones grandes aceptables	9	.94	.74	20	1.02	.84	29	.99	.81	12	.93	.81
Vigas con perforaciones grandes no aceptables	3	1.03	.81	9	.70	.81						
Vigas aceptadas y sin perforaciones grandes												
Vigas aceptadas con perforaciones grandes												
Vigas rechazadas sin perforaciones grandes	69	.98	.58	100	1.02	.66	169	1.01	.58	12	1.03	.94
Vigas rechazadas con perf. grandes aceptables	4	.98	.91	8	1.06	.91						
Vigas rechazadas por perf. grandes y otros def.	3	1.03	.81	9	.90	.81	12	.93	.81			

TABLA E.42. - EFECTO DE ATAQUES DE HONGOS EN LA ZONA 2 EN LA RELACION DE PROPIEDADES DE VIGAS Y PROBETAS

Condicion de las vigas al ensayarse		verde			seca al aire			todas		
	n	FC	min	n	FC	min	n	FC	min	
Vigas sin hongos en zona 2	125	.73	.18	277	.61	.06	402	.65	.06	
Vigas con hongos aceptables	18	.76	.23	74	.64	.27	92	.66	.23	
Vigas con hongos no aceptables	4	.59	.51	13	.41	.22	17	.45	.22	
Vigas aceptadas y sin hongos	69	.78	.54	83	.71	.43	152	.74	.43	
Vigas aceptadas con hongos	4	.92	.68	25	.74	.61	29	.77	.61	
Vigas rechazadas sin hongos	56	.67	.18	194	.57	.06	250	.60	.06	
V. rechazadas con hongos aceptables	14	.72	.23	49	.58	.27	63	.61	.23	
V. rechazadas por hongos y otros defectos	4	.59	.51	13	.41	.22	17	.45	.22	
Vigas cuya forma de falla tuvo una relacion directa con hongos no aceptables	1	.63	.63	2	.40	.37	3	.47	.37	

Condicion de las vigas al ensayarse		verde			seca al aire			todas		
	n	R	min	n	R	min	n	R	min	
Vigas sin hongos en zona 2	125	.95	.38	277	.98	.42	402	.97	.38	
Vigas con hongos aceptables	18	.97	.66	74	1.02	.68	92	1.01	.66	
Vigas con hongos no aceptables	4	.84	.71	13	.89	.71	17	.88	.71	
Vigas aceptadas y sin hongos	69	.98	.58	83	1.02	.66	152	1.01	.58	
Vigas aceptadas con hongos	4	.97	.74	25	1.03	.89	29	1.03	.74	
Vigas rechazadas sin hongos	56	.91	.38	194	.96	.42	250	.95	.38	
V. rechazadas con hongos aceptables	14	.97	.66	49	1.01	.68	63	1.00	.66	
V. rechazadas por hongos y otros defectos	4	.84	.71	13	.89	.71	17	.88	.71	

E. Efecto de Hongos en la zona 2 en la relacion R = MOE vigas / MOE probetas

TALEA E. 43. - EFECTO DE ATAQUES DE HONGOS EN LA ZONA 8 EN LA RELACION DE PROPIEDADES DE VIGAS Y PROBETAS

E. 43

A. Efecto de Hongos en la zona 8 en el Factor de Calidad ( MOR vigas / MOR probetas )

Condicion de las vigas al ensayarse

	verde			seca al aire			todas		
	n	FC	min	n	FC	min	n	FC	min
Vigas sin hongos en zona 8	118	.75	.18	277	.62	.06	395	.66	.06
Vigas con hongos aceptables	18	.81	.48	63	.62	.25	61	.66	.25
Vigas con hongos no aceptables	11	.46	.20	24	.46	.17	35	.46	.17
Vigas aceptadas y sin hongos	66	.78	.54	88	.71	.43	154	.74	.43
Vigas aceptadas con hongos	7	.84	.57	20	.74	.63	27	.76	.57
Vigas rechazadas solo por hongos	2	.89	.65	1	.59	.59	3	.79	.59
Vigas rechazadas sin hongos	52	.70	.18	189	.58	.06	241	.61	.06
Vigas rechazadas con hongos aceptables	11	.79	.48	43	.56	.25	54	.61	.25
Vigas rechazadas por hongos y otros defectos	9	.36	.20	23	.45	.17	32	.43	.17
Vigas cuya forma de falla tuvo una relacion directa con hongos no aceptables	7	.40	.20	13	.48	.19	20	.45	.19

B. Efecto de Hongos en la zona 8 en la relacion R = MOE vigas / MOE probetas

Condicion de las vigas al ensayarse

	verde			seca al aire			todas		
	n	R	min	n	R	min	n	R	min
Vigas sin hongos en zona 8	118	.97	.43	277	.99	.42	395	.98	.42
Vigas con hongos aceptables	18	.92	.66	63	.99	.70	61	.98	.66
Vigas con hongos no aceptables	11	.79	.38	24	.96	.76	35	.91	.38
Vigas aceptadas y sin hongos	66	.99	.58	88	1.03	.66	154	1.01	.58
Vigas aceptadas con hongos	7	.95	.71	20	1.02	.88	27	1.00	.71
Vigas rechazadas solo por hongos	2	1.03	.80	1	.91	.91	3	.99	.80
Vigas rechazadas sin hongos	52	.95	.43	189	.96	.42	241	.96	.42
Vigas rechazadas con hongos aceptables	11	.90	.66	43	.98	.70	54	.97	.66
Vigas rechazadas por hongos y otros defectos	9	.74	.38	23	.96	.76	32	.90	.38

TAELA E. 44. - EFECTO DE ATAQUES DE HONGOS EN ZONAS 4 Y 6 EN LA RELACION DE FRITIERAS DE VIGAS Y PROBETAS

A. Efecto de Hongos en zonas 4 o 6 en el Factor de Calidad ( MOR vigas / MOR probetas )

Condicion de las vigas al ensayarse

	verde	n	FC	min	n	FC	min	n	FC	min
Vigas sin hongos en zonas 4 y 6	114	75	.18	259	61	.06	373	.65	.06	
Vigas con hongos aceptables	23	74	.20	82	64	.09	105	.66	.09	
Vigas con hongos no aceptables	10	54	.29	23	47	.14	33	.49	.14	
Vigas aceptadas y sin hongos	66	78	.54	77	71	.43	143	.74	.43	
Vigas aceptadas con hongos	7	88	.79	31	73	.61	86	.76	.61	
V. rechazadas solo por hongos				1	67	.67	1	.67	.67	
Vigas rechazadas sin hongos	48	71	.18	182	57	.06	230	.69	.06	
V. rechazadas con hongos aceptables	16	68	.20	51	59	.09	67	.61	.09	
V. rechazadas por hongos y otros defectos	10	54	.29	22	46	.14	32	.49	.14	

B. Efecto de Hongos en zonas 4 o 6 en la relacion R = MOE vigas / MOE probetas

Condicion de las vigas al ensayarse

	verde	n	R	min	n	R	min	n	R	min
Vigas sin hongos en zonas 4 y 6	114	.96	.43	259	.98	.42	373	.97	.42	
Vigas con hongos aceptables	23	.97	.56	82	1.03	.69	105	1.01	.56	
Vigas con hongos no aceptables	10	.82	.38	23	.93	.64	33	.69	.38	
Vigas aceptadas y sin hongos	66	.98	.58	77	1.02	.66	143	1.00	.58	
Vigas aceptadas con hongos	7	1.05	.99	31	1.05	.68	38	1.05	.68	
V. rechazadas solo por hongos				1	1.10	1.10	1	1.10	1.10	
Vigas rechazadas sin hongos	48	.93	.43	182	.96	.42	230	.95	.42	
V. rechazadas con hongos aceptables	16	.94	.56	51	1.01	.69	67	1.00	.56	
V. rechazadas por hongos y otros defectos	10	.82	.38	22	.92	.64	32	.89	.38	

TABLA E. 45. - EFECTO DE LA ARQUEADURA EN LA RELACION ENTRE PROPIEDADES MECANICAS DE VIGAS Y FRUETAS.

97°

#### A. Efecto de la Arqueadura en el Factor de Calidad ( relación MOR vigas / MOR probetas )

Cohesion de las viñas en ensayos

	n	FC	min	n	FC	min	n	FC	min	n	FC	min
Vigas sin arqueadura	67	.75	.18	306	.61	.06	373	.63	.06	132	.68	.18
Vigas con arqueadura aceptable	80	.72	.18	52	.62	.19	6	.58	.43	6	.58	.43
Vigas con arqueadura no aceptable												
Vigas aceptadas y sin arqueadura	35	.60	.57	85	.71	.43	120	.74	.43			
Vigas aceptadas con arqueadura	38	.78	.54	23	.73	.61	61	.76	.54			
Vigas rechazadas solo por arqueadura												
Vigas rechazadas sin arqueadura	32	.70	.18	221	.57	.06	253	.59	.06			
Vigas rechazadas con arqueadura aceptable	42	.66	.18	29	.54	.19	71	.61	.18			
Vigas rechazadas por arqueadura y otros defectos				3	.67	.56	3	.67	.56			
Vigas cuya forma de falla tuvo una relacion directa con :	a) Arqueadura aceptable	9	.63	.51	12	.64	.30	21	.64	.30		
b) Arqueadura no aceptable				4	.51	.43	4	.51	.43			

B. Efecto de la Arqueadura en la Relación  $R = MOE_{\text{vigas}} / MOE_{\text{probetas}}$ , verde

Condición de las vigas al ensayar

	n	R	min	n	R	min	n	R	min
Vigas sin arqueadura	67	.96	.38	306	.96	.42	373	.98	.38
Vigas con arqueadura aceptable	80	.95	.50	52	1.00	.68	132	.97	.50
Vigas con arqueadura no aceptable				6	.99	.80	6	.99	.80
Vigas aceptadas y sin arqueadura	35	.99	.58	85	1.02	.66	120	1.01	.58
Vigas aceptadas con arqueadura	38	.97	.62	23	1.04	.88	61	1.00	.62
Vigas rechazadas solo por arqueadura				3	1.05	.95	3	1.05	.95
Vigas rechazadas sin arqueadura	32	.92	.38	221	.97	.42	253	.96	.38
Vigas rechazadas con arqueadura aceptable	42	.92	.50	29	.96	.68	71	.93	.50
Vigas rechazadas por arqueadura y otros defectos	3	.94	.80	80			3	.94	.80

TABLA E. 46. - EFECTO DE LAS GRIETAS EN ZONAS 4 o 6 EN LA RELACION ENTRE PROPIEDADES DE VIGAS Y PROBETAS

A. Efecto de las Grietas en zonas 4 o 6 en el Factor de Calidad (relación MOR vigas / MOR probetas )

Condición de las vigas al ensayarse

	n	FC	min	n	FC	min	n	FC	min
Vigas sin grietas en zonas 4 y 6	144	.79	.18	350	.61	.06	494	.65	.06
Vigas con grietas aceptables	2	.61	.57	12	.56	.34	57	.57	.34
Vigas con grietas no aceptables	1	.63	.63	2	.36	.17	5	.46	.17
Vigas aceptadas y sin grietas	72	.79	.54	105	.72	.43	177	.75	.43
Vigas aceptadas con grietas	1	.57	.57	3	.72	.68	4	.68	.57
Vigas rechazadas sin grietas	72	.68	.18	245	.57	.06	317	.60	.06
Vigas rechazadas con grietas aceptables	1	.65	.18	9	.51	.34	10	.53	.16
Vigas rechazadas por grietas y otros defectos	1	.63	.63	2	.38	.17	3	.46	.17

B. Efecto de las Grietas en zonas 4 o 6 en la relación R = MOE vigas / MOE probetas

Condición de las vigas al ensayarse

	n	R	min	n	R	min	n	R	min
Vigas sin grietas en zonas 4 y 6	144	.95	.38	350	.99	.42	494	.98	.38
Vigas con grietas aceptables	2	.77	.58	12	.97	.84	14	.94	.58
Vigas con grietas no aceptables	1	.86	.86	2	.96	.90	3	.93	.86
Vigas aceptadas y sin grietas	72	.99	.62	105	1.03	.66	177	1.01	.62
Vigas aceptadas con grietas	1	.58	.58	3	.98	.88	4	.88	.58
Vigas rechazadas sin grietas	72	.92	.38	245	.97	.42	317	.96	.38
Vigas rechazadas con grietas aceptables	1	.96	.58	9	.97	.84	10	.97	.50
Vigas rechazadas por grietas y otros defectos	1	.86	.86	2	.96	.90	3	.93	.86

TAELA E. 47.- EFECTO DE RAJADURAS EN LA RELACION ENTRE PROPIEDADES MECANICAS DE VIGAS Y PROBETAS

E. 48

## A. Efecto de Rajaduras en el Factor de Calidad ( relacion MOR vigas / MOR probetas )

## Condicion de las vigas al ensayarse

	verde			seca al aire			todas		
	n	FC	min	n	FC	min	n	FC	min
Vigas sin rajaduras	133	.75	.48	311	.62	.06	444	.66	.06
Vigas con rajadura aceptable	5	.66	.57	33	.61	.28	38	.62	.28
Vigas con rajadura no aceptable	9	.53	.48	20	.54	.09	29	.52	.09
Vigas aceptadas y sin rajaduras	69	.79	.54	96	.72	.43	165	.75	.43
Vigas aceptadas con rajaduras	4	.68	.57	12	.70	.48	16	.69	.48
Vigas rechazadas solo por rajaduras	2	.66	.51	3	.67	.54	5	.67	.51
Vigas rechazadas sin rajaduras	64	.70	.48	215	.57	.06	279	.60	.06
Vigas rechazadas con rajadura aceptable	1	.59	.59	21	.56	.28	22	.56	.28
Vigas rechazadas por rajadura y otros defectos	7	.49	.48	17	.49	.09	24	.49	.09
Vigas cuya forma de falla tuvo una relacion directa con rajadura no aceptable	1	.74	.74	2	.56	.54	3	.62	.54

## B. Efecto de Rajaduras en la relacion R = MOE vigas / MOE probetas

## Condicion de las vigas al ensayarse

	verde			seca al aire			todas		
	n	R	min	n	R	min	n	R	min
Vigas sin rajaduras	133	.96	.38	311	.98	.42	444	.97	.38
Vigas con rajadura aceptable	5	.91	.58	33	1.02	.78	38	1.01	.58
Vigas con rajadura no aceptable	9	.82	.43	20	1.00	.64	29	.95	.43
Vigas aceptadas y sin rajaduras	69	.99	.62	96	1.02	.66	165	1.01	.62
Vigas aceptadas con rajaduras	4	.88	.58	12	1.05	.81	16	1.00	.58
Vigas rechazadas solo por rajaduras	2	.92	.78	3	1.10	.91	5	1.02	.78
Vigas rechazadas sin rajaduras	64	.93	.38	215	.96	.42	279	.95	.38
Vigas rechazadas con rajadura aceptable	1	.04	.1	21	1.01	.78	22	1.01	.78
Vigas rechazadas por rajadura y otros defectos	7	.79	.43	17	.98	.64	24	.93	.43

TABLA E 48.- EFECTO DE ESCAMADURAS EN LA RELACION ENTRE PROPIEDADES MECANICAS DE VIGAS Y PROBETAS

## A. Efecto de Escamaduras (Acerbelladuras) en el Factor de Calidad (relación MOR vigas / MOR probetas)

Condición de las vigas al ensayarse	verde			seca al aire			todas		
	n	FC	min	n	FC	min	n	FC	min
Vigas sin escamadura	141	.74	.18	317	.62	.06	458	.66	.06
Vigas con escamadura aceptable	3	.64	.51	33	.57	.09	36	.58	.09
Vigas con escamadura no aceptable	3	.66	.35	14	.44	.14	17	.48	.14
Vigas aceptadas y sin escamadura	72	.79	.54	98	.72	.43	170	.75	.43
Vigas aceptadas con escamadura	1	.80	.80	10	.70	.48	11	.71	.48
Vigas rechazadas solo por escamadura				1	.50	.50	1	.50	.50
Vigas rechazadas sin escamadura	69	.68	.18	219	.58	.06	288	.60	.06
Vigas rechazadas con escamadura aceptable	2	.55	.51	23	.52	.09	25	.52	.09
Vigas rechazadas por escamadura y otros defectos	3	.66	.35	13	.43	.14	16	.47	.14
Vigas cuya forma de falla tuvo una relación directa con:									
a) Escamadura aceptable				2	.59	.48	2	.59	.48
b) Escamadura no aceptable	4	.50	.35	11	.42	.14	15	.44	.14

B. Efecto de Escamaduras (Acerbelladuras) en la relación  $R = MOE$  vigas /  $MOE$  probetas

Condición de las vigas al ensayarse	verde			seca al aire			todas		
	n	R	min	n	R	min	n	R	min
Vigas sin escamadura	141	.96	.43	317	.99	.42	458	.98	.42
Vigas con escamadura aceptable	3	.93	.78	33	1.00	.69	36	1.01	.69
Vigas con escamadura no aceptable	3	.78	.38	14	.92	.64	17	.90	.38
Vigas aceptadas y sin escamadura	72	.98	.58	98	1.02	.66	170	1.01	.58
Vigas aceptadas con escamadura	1	.96	.96	10	1.04	.85	11	1.03	.85
Vigas rechazadas solo por escamadura				1	.94	.94	1	.94	.94
Vigas rechazadas sin escamadura	69	.93	.43	219	.97	.42	288	.96	.42
Vigas rechazadas con escamadura aceptable	2	.91	.78	23	.99	.69	25	.98	.69
Vigas rechazadas por escamadura y otro defectos	3	.78	.38	13	.92	.64	16	.89	.38

En setiembre de 1974, la Comisión del Acuerdo de Cartagena –su máximo organismo– aprobó la Decisión 89 constituyendo los Proyectos Andinos de Desarrollo Tecnológico en el Área de los Recursos Forestales Tropicales (PADT-REFORT). Los PADT son uno de los instrumentos de política tecnológica del Acuerdo de Cartagena dentro del área de asimilación y generación de tecnología destinado a solucionar problemas subregionales de interés común y de importancia económica y social.

Los PADT-REFORT están constituidos por un conjunto de proyectos orientados a la utilización racional de la madera proveniente de los bosques tropicales de la Subregión y se realizan con la participación de instituciones nacionales con la coordinación de la Junta del Acuerdo de Cartagena. En los países la ejecución de las actividades de los PADT-REFORT es responsabilidad de las siguientes instituciones:

Bolivia	:	Centro de Desarrollo Forestal
Colombia	:	Instituto Nacional de Recursos Naturales y del Ambiente. INDERENA.
Ecuador	:	Programa Forestal del Ministerio de Agricultura y Ganadería.
Perú	:	Instituto Nacional Forestal y de Fauna. INFOR.
Venezuela	:	Ministerio del Ambiente y de los Recursos Naturales Renovables.

La presente publicación es un informe de las investigaciones realizadas en el Laboratorio Andino de Ingeniería de la Madera (LADIMA) por el personal técnico de la Junta del Acuerdo de Cartagena.

